



# Aanvraag omgevingsvergunning milieu DSL-01

Milieurisicoanalyse (MRA)

22 april 2025

**Kenmerk** R003-1276528KLB-V06-ivl-NL

## Verantwoording

**Titel**  
**Opdrachtgever** DSL-01 B.V.  
**Projectleider**  
**Auteur(s)**  
**Tweede lezer(s)**  
**Projectnummer** 1276528  
**Aantal pagina's** 35  
**Datum** 22 april 2025  
**Handtekening** Ontbreekt in verband met digitale verwerking.  
Dit rapport is aantoonbaar vrijgegeven.

## Colofon

TAUW bv  
Handelskade 37  
Postbus 133  
7400 AC Deventer  
T +31 57 06 99 91 1  
E info.deventer@tauw.com

## Inhoud

|       |   |    |
|-------|---|----|
| 1     | Inleiding .....   | 5  |
| 1.1   | Aanleiding milieurisicoanalyse .....                          | 5  |
| 1.2   | Wettelijk kader milieurisicoanalyse .....                     | 6  |
| 1.3   | Leeswijzer .....  | 6  |
| 1.4   | Versiebeheer .....  | 6  |
| 2     | Beschrijving van de inrichting .....                          | 7  |
| 2.1   | Ligging van de inrichting .....                               | 7  |
| 2.2   | Bedrijfsactiviteiten .....                                    | 9  |
| 2.3   | Indeling van de locatie .....                                 | 10 |
| 3     | Stand der Veiligheidstechniek .....                           | 12 |
| 4     | Beschrijving van riolsystemen .....                           | 13 |
| 4.1   | Riolsystemen en afvalwaterstromen .....                       | 13 |
| 4.1.1 | Hemelwaterriool .....   | 13 |
| 4.1.2 | Schoonafvalwaterriool .....                                   | 14 |
| 4.1.3 | Procesafvalwaterriool .....                                   | 14 |
| 4.1.4 | Sanitair riool .....  | 15 |
| 4.1.5 | Persleiding naar North Water .....                            | 15 |
| 4.2   | Voorzieningen ter beheersing van onvoorziene lozingen .....   | 15 |
| 4.2.1 | Tankputten en vloeistofdichte of -kerende voorzieningen ..... | 15 |
| 4.2.2 | Vetafscheiders .....  | 15 |
| 4.2.3 | Opvangputten .....  | 16 |
| 4.2.4 | Brandwatervijver .....  | 17 |
| 4.2.5 | Olie en waterafscheider en oliebooms steiger .....            | 17 |
| 4.2.6 | Afsluiters sloot .....  | 17 |
| 4.2.7 | Procedures .....  | 17 |
| 4.3   | Afstroommogelijkheden per bedrijfsonderdeel .....             | 17 |
| 4.3.1 | Kantoren, technische dienst en laboratoria .....              | 17 |
| 4.3.2 | Bulkopslag in tankputten .....                                | 17 |
| 4.3.3 | Bulkverladingen per tankwagen .....                           | 19 |
| 4.3.4 | Procesinstallaties .....                                      | 20 |

**Kenmerk** R003-1276528KLB-V06-ivl-NL

|           |   |    |
|-----------|---|----|
| 4.3.5     | Opslag verpakte gevaarlijke stoffen en werkvoorraad ..... | 21 |
| 4.3.6     | Transportleidingen .....                                  | 21 |
| 4.3.7     | Scheepsverlading.....                                     | 22 |
| 5         | Selectie van relevante activiteiten .....                 | 23 |
| 5.1       | Selectie van stoffen op inrichtingsniveau .....           | 23 |
| 5.1.1     | Stofeigenschappen en modelstoffen.....                    | 23 |
| 5.1.2     | Ontvangende watersystemen .....                           | 25 |
| 5.2       | Selectie van activiteiten.....                            | 25 |
| 5.2.1     | Selectie van insluitsystemen.....                         | 25 |
| 6         | Modellering in Proteus.....                               | 28 |
| 6.1       | Inleiding over Proteus Software .....                     | 28 |
| 6.2       | Afstroommodel .....                                       | 28 |
| 6.3       | Uitgangspunten .....                                      | 28 |
| 6.3.1     | Risico-units.....   | 28 |
| 6.3.2     | Doorstroom-units.....                                     | 31 |
| 6.3.3     | Ontvangende systemen .....                                | 32 |
| 6.3.4     | Modelstoffen.....   | 32 |
| 7         | Resultaten .....  | 33 |
| 7.1       | Risico's lozing op oppervlaktewater .....                 | 33 |
| 7.2       | Drijf laagvorming .....                                   | 33 |
| 7.3       | Volumecontaminatie.....                                   | 34 |
| 7.4       | Falen BWZI .....  | 34 |
| 7.5       | Restrisico's afsluitbare sloot.....                       | 34 |
| 8         | Conclusie.....  | 35 |
| Bijlage 1 | Wettelijk kader   |    |
| Bijlage 2 | Inrichtingstekening                                       |    |
| Bijlage 3 | Rioleringstekening  |    |
| Bijlage 4 | Stand der Veiligheidstechniek                             |    |
| Bijlage 5 | Sub selectie  |    |
| Bijlage 6 | Proteus rapportage  |    |



## 1 Inleiding

### 1.1 Aanleiding milieurisicoanalyse

Op het bedrijventerrein Oosterhorn in de gemeente Eemsdelta is DSL-01 B.V., een dochteronderneming van SkyNRG, voornemens een installatie voor de productie van duurzame luchtvaartbrandstof (DLB) te realiseren. SkyNRG is opgericht in 2010 met als doel de wereldwijde distributie en verkoop van DLB te versnellen. Het bedrijf is actief in de gehele keten: R&D en projectontwikkeling, inkoop en verkoop van duurzame luchtvaartbrandstoffen en het afleveren van DLB op vliegvelden. Bovendien zet de onderneming in op de ontwikkeling van regionale productieketens voor DLB. Daartoe stapt SkyNRG nu met DSL-01 ook in de productie van DLB. SkyNRG's eerste productiefabriek in Delfzijl zal gaan leveren aan onder andere Schiphol als alternatief voor fossiele kerosine. Bijzonder aan deze fabriek is dat deze zich volledig toelegt op de productie van DLB en dat doet door reststromen te gebruiken als grondstof. In tegenstelling tot fossiele luchtvaartbrandstof, die geraffineerd wordt uit aardolie, wordt de DLB geproduceerd uit industriële bijproducten, residuen en reststromen die plantaardige of dierlijke oliën of vetten bevatten.

De beoogde inrichting zal de naam DSL-01 dragen, waar de afkorting DSL staat voor 'Direct Supply Line'. De voorgenomen activiteiten van DSL-01 bestaan uit de ontvangst, opslag en chemische bewerking van plantaardige en dierlijke reststromen, waarmee eindproducten worden vervaardigd als DLB, bio-nafta, bio-propaan en bio-butaan. Deze producten worden per binnenvaartschip of tankwagen afgevoerd naar de afnemers. Met de realisatie van de voorgenomen duurzame brandstofinstallatie voorziet DSL-01 in de toenemende vraag van de markt naar DLB. Het voorgenomen initiatief draagt bij aan de Nederlandse en Europese doelstellingen op het gebied van circulariteit en CO<sub>2</sub>-reductie. Tevens past de komst van DSL-01 op het bedrijventerrein Oosterhorn in de ontwikkeling van een sterk cluster van duurzame, biobased en circulaire chemiebedrijven.

De voorliggende milieurisicoanalyse (hierna: MRA) is onderdeel van de vergunningaanvraag voor een omgevingsvergunning milieu. Het betreft een zogenaamde oprichtingsvergunning, waarvoor de provincie Groningen als bevoegd gezag is aangewezen voor het afgeven van de beschikking. Tegelijkertijd wordt een m.e.r.-procedure doorlopen conform het Besluit milieueffectrapportage. Ten behoeve van het bepalen van de juiste uitgangspunten en het opstellen van deze rapportage hebben er diverse overleggen plaatsgevonden met de engineeringpartner Technip Energies (T.en) en de Omgevingsdienst Groningen (ODG) die optreedt als coördinator van alle betrokken bevoegde gezagen.

Kenmerk R003-1276528KLB-V06-ivl-NL

## 1.2 Wettelijk kader milieurisicoanalyse

Het voorkomen van (zware) ongevallen waarbij schadelijke stoffen kunnen vrijkomen, is een belangrijk doel in het milieubeleid in Nederland. Het gaat in dat beleid om de bescherming van zowel mens als milieu. De MRA heeft als doel om de risico's van onvoorziene lozingen inzichtelijk te maken, om een overwogen beslissing te maken van mogelijke risico's. De MRA maakt onderdeel uit van het Veiligheidsrapport.

Het beleidsmatig kader, met daarin de relevante wetgeving en beoordelingskaders, is verder toegelicht in bijlage 1 van dit rapport.

## 1.3 Leeswijzer

Hoofdstuk 2 beschrijft de locatie en bedrijfsactiviteiten. In hoofdstuk 3 wordt de inrichting getoetst aan de stand der veiligheidstechniek. Vervolgens wordt in hoofdstuk 4 ingegaan op de rioolssystemen en beschrijving van de afstroomroutes. Op basis van de aanwezige stoffen wordt in hoofdstuk 5 een selectie op inrichtingsniveau (stoffen) en installatieniveau (relevante insluitsystemen) uitgevoerd. Vervolgens worden de geselecteerde insluitsystemen verwerkt in een model zoals beschreven in hoofdstuk 6. De resultaten worden in hoofdstuk 7 weergegeven en besproken. Hoofdstuk 8 geeft tot slot de algemene conclusie van de gehele MRA.

## 1.4 Versiebeheer

In onderstaande tabel is het versiebeheer van de MRA weergegeven.

Tabel 1.1 Overzicht voorgaande rapporten betreffende de MRA

| Versie | Datum             | Kenmerk                    | Omschrijving   |
|--------|-------------------|----------------------------|--|
| 1      | 23 maart 2023     | R003-1276528KLB-V01-lir-NL | Eerste versie van de MRA   |
| 2      | 4 juli 2023       | R003-1276528KLB-V02-hme-NL | Actualisatie MRA naar aanleiding van FEED upgrade en opmerkingen bevoegd gezag |
| 3      | 22 september 2023 | R003-1276528KLB-V03-rlx-NL | Derde versie van de MRA  |
| 4      | 3 september 2024  | R003-1276528KLB-V04-ivl-NL | Vierde versie van de MRA   |
| 5      | 26 februari 2025  | R003-1276528KLB-V05-ivl-NL | Vijfde versie van de MRA   |

Kenmerk R003-1276528KLB-V06-ivl-NL

## 2 Beschrijving van de inrichting

### 2.1 Ligging van de inrichting

De beoogde locatie van de voorgenomen inrichting DSL-01 bevindt zich op het industriegebied Oosterhorn in de gemeente Eemsdelta en is onderdeel van het Chemie Park Delfzijl. Op onderstaande afbeeldingen is middels de rode cirkel de globale ligging van de inrichting weergegeven.



Figuur 2.1 Regionale ligging DSL-01 (bron: <https://www.bing.com/maps/>)

Kenmerk

R003-1276528KLB-V06-ivl-NL



Figuur 2.2 Luchtfoto met beoogde inrichtingsgrens DSL-01 (bron: CycloMedia Street Smart 2023)

**Kenmerk** R003-1276528KLB-V06-ivl-NL

## 2.2 Bedrijfsactiviteiten

DSL-01 B.V. is voornemens om een installatie voor de productie van duurzame luchtvaartbrandstof (DLB) / Sustainable Aviation Fuel (SAF) te realiseren, genaamd DSL-01 (Direct Supply Line). DSL-01 heeft de ambitie om duurzame luchtvaartbrandstof als alternatief voor fossiele kerosine op grote schaal beschikbaar te stellen voor de luchtvaartsector. Met de ontwikkeling van dit project draagt DSL-01 bij aan de energietransitie en een duurzamere luchtvaart in het bijzonder.

De hoofdactiviteit van de inrichting is de productie van duurzame luchtvaart brandstof (DLB), met als bijproducten bio-nafta, bio-propaan en bio-butaan. Daarnaast ontstaan in het proces restproducten, zoals WRU-residu en zwavelkoek. Als grondstof hiervoor worden industriële bijproducten, residuen en reststromen die plantaardige of dierlijke oliën, vetten of vetzuren bevatten of derivaten daarvan gebruikt. Deze grondstoffen worden per as en binnenvaartschip aangevoerd. Daarnaast worden hulpstoffen ook per as of via een directe pijpleiding naar de inrichting gebracht. De DLB en de bio-nafta zullen per binnenvaartschip van de locatie worden afgevoerd, terwijl het geproduceerde bio-propaan, bio-butaan, WRU-residu en zwavelkoek per as worden afgevoerd. De inrichting bestaat uit diverse reactoren, kolommen, warmtewisselaars, tanks (niet-militair), compressoren, pompen en technische installaties.

Het productieproces van DSL-01 bestaat uit de volgende hoofdproces onderdelen:

1. Aanvoer en opslag van grondstoffen en hulpstoffen
2. Voorbehandeling grondstoffen
3. Tussenopslag van voorbehandelde grondstoffen
4. Productie van eindproducten
5. Opslag en afvoer van eindproducten, bijproducten en reststromen
6. Proces ondersteunende activiteiten

Jaarlijks produceert DSL-01<sup>1</sup> (zie voor een volledig overzicht ook de massabalans zoals bijgevoegd als bijlage 10 van de aanvraag):

- Eindproducten
  - Circa 123 kton DLB
- Bijproducten
  - Circa 25 kton bio-nafta
  - Circa 6,5 kton bio-butaan
  - Circa 10 kton bio-propaan
- Overige reststromen
  - Circa 35 kton per jaar residu afkomstig van de waterterugwinningsinstallatie (WRU)

Voor een uitgebreide procesbeschrijving wordt verwezen naar de procesbeschrijving in de aanvraag.

---

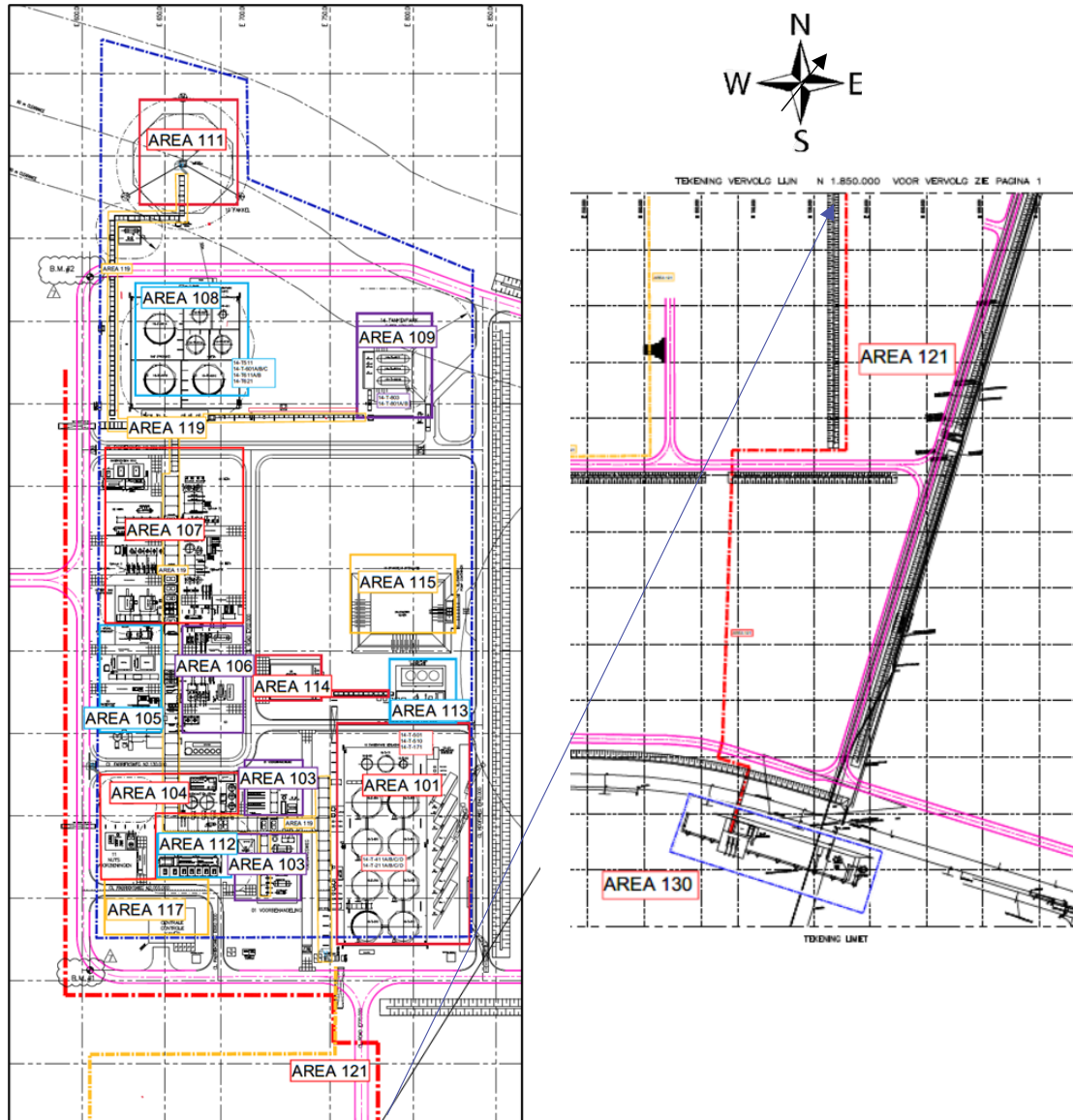
<sup>1</sup> Deze doorzetcijfers betreffen de afgeronde cijfers. In onderhavige MRA is met de reële doorzetcijfers gerekend. De reële doorzetcijfers liggen een fractie hoger en zijn opgenomen in bijlage 10 van de aanvraag



Kenmerk R003-1276528KLB-V06-ivl-NL

### 2.3 Indeling van de locatie

In onderstaande figuur is een afbeelding opgenomen van de beoogde indeling van de locatie. In de onderstaande tabel wordt een overzicht gegeven van de verschillende gebieden op het terrein van DSL-01.



Figuur 2.3 Indeling inrichting DSL-01

**Kenmerk** R003-1276528KLB-V06-ivl-NL

*Tabel 2.1 Overzicht van de verschillende te onderscheiden gebieden binnen DSL-01*

| Gebiedsnummer | Beschrijving  |
|---------------|---|
| 101           | Opslag en lossing grondstof, geschoonde grondstof en WRU-residu   |
| 102           | Niet in gebruik   |
| 103           | Voorbehandeling   |
| 104           | Nutsvoorzieningen   |
| 105           | Waterstofproductiefabriek (WPF)   |
| 106           | Zuurgasbehandeling installatie, zuurgas scrubber en Amine installatie   |
| 107           | HEFA-installatie en gerelateerde processen  |
| 108           | Opslag DLB en bio-nafta en opslag en verlading koolwaterstoffenslops  |
| 109           | Propaan en Butaan opslag en laadstation   |
| 110           | Niet in gebruik   |
| 111           | Fakkel  |
| 112           | Elektriciteitsdistributiestation SS10   |
| 113           | Koelwaterinstallatie  |
| 114           | Afvalwaterputten  |
| 115           | Bluswatervijver   |
| 116           | Niet in gebruik   |
| 117           | Controlekamer   |
| 119           | Hoofdpijpleidingenstraat (intern DSL-01)  |
| 120           | Niet in gebruik   |
| 121           | Pijpleidingenstraat extern (OSBL) <ul style="list-style-type: none"> <li>- tussen DSL-01 en steiger DSL-01 (rode stippellijn)</li> <li>- tussen DSL-01 en North Water (oranje stippellijn)</li> </ul> |
| 122-129       | Niet in gebruik   |
| 130           | Steiger   |

De inrichtingstekeningen zijn opgenomen in bijlage 2.



Kenmerk R003-1276528KLB-V06-ivl-NL

### 3 Stand der Veiligheidstechniek

Om het risico op onvoorziene lozingen te beperken dienen industriële bedrijven de best beschikbare technieken door te voeren. Uitgangspunt hierbij is dat procedures, voorzieningen en maatregelen gericht zijn op het beperken van de frequentie en/of omvang van een onvoorziene lozing. De maatregelen en procedures zijn omschreven in de 'Beschrijving van de stand der veiligheidstechniek' van het Rijksinstituut voor Integraal Zoetwaterbeheer en Afvalwaterbehandeling (hierna: RIZA).

In de richtlijn is, naast de algemene procedures en voorzieningen, een onderverdeling gemaakt op basis van verschillende activiteiten. Per activiteit is de stand der veiligheidstechniek beschreven. Voor DSL-01 zijn de volgende activiteiten van toepassing:

- Algemene procedures
- Algemene technische voorzieningen
- Overslag in eenheden
- Bulkoverslag van/naar een schip
- Bulkoverslag van/naar een transporteenheid
- Batchprocessen
- Continu proces
- Opslag in emballage
- Opslag in houders
- Leidingtransport
- Intern transport
- Drijfvaagvormende stoffen

Er is een toetsing uitgevoerd aan de hand van de stand der veiligheidstechniek, deze is bijgevoegd in bijlage 4 van dit rapport. In de toetsing is voor diverse maatregelen het volgende aangegeven: '*Ja, wordt nader invulling aan gegeven*'. Ten tijde van het opstellen van de MRA is nog niet aan alle onderdelen van de stand der veiligheidstechniek invulling gegeven, omdat DSL-01 zich nog deels in de ontwerpfase bevindt. Hierdoor zijn diverse procedures en LOD's nog niet aanwezig, omdat deze afgestemd dienen te worden op het definitieve ontwerp van de inrichting. Echter, DSL-01 zal alvorens de inrichting in gebruik wordt genomen voldoen aan de stand der veiligheidstechniek. Zodra de desbetreffende procedures en LOD's zijn voorzien, zullen die op aanvraag met het bevoegd gezag gedeeld worden.

Kenmerk R003-1276528KLB-V06-ivl-NL

## 4 Beschrijving van riolsystemen

### 4.1 Riolsystemen en afvalwaterstromen

Binnen DSL-01 zijn de volgende rioleringssystemen aanwezig:

- Hemelwaterriool
- Schoonafvalwaterriool (potentieel verontreinigd)
- Procesafvalwaterriool
- Sanitair riool

In bijlage 3 van dit rapport zijn de rioleringstekening van de inrichting, het processchema water en de inrichtingstekening opgenomen.

#### 4.1.1 Hemelwaterriool

Het hemelwaterriool verzamelt hemelwater/regenwater dat op wegen, open (niet bestrate) gebieden en op daken van gebouwen (bijvoorbeeld controlekamer) valt. De capaciteit van het hemelwaterriool is gebaseerd op de maximaal te verwachten hoeveelheid neerslag zoals is aangegeven door stichting RioNed. Het hemelwater stroomt onder zwaartekracht naar een insluitbare sloot direct oostelijk van het terrein van DSL-01 (welke aan beide kanten voorzien is van duikers met afsluiters dan wel beweegbare stuwen), waarna het verder afloopt in het slotennetwerk van het Heveskes terrein. Ook de brandwatervijver loopt op zwaartekracht over naar de insluitbare sloot.

Hemelwater dat buiten het ommuurde gebied op de steiger in het Oosterhornkanaal valt, wordt direct op het oppervlaktewater geloosd.

Hemelwater dat gedurende een belading binnen het ommuurde gebied op de steiger valt (waar de beladingsinstallaties ook in staan) en hemelwater dat op de dampverwerkingsinstallatie valt wordt afgevoerd via een olie-waterscheider naar een afvalwaterbuffervat. Dit afvalwater behoort schoon te zijn en alleen bij een lekkage van grondstoffen, DLB of bio-nafta kan er een verontreiniging optreden. Als het buffervat vol is wordt dit gecontroleerd op verontreinigingen. Er wordt handmatig een monster van het buffervat genomen en dit wordt gecontroleerd in het laboratorium op de aanwezigheid van koolwaterstoffen (BOD/COD meting). Indien voldaan wordt aan de lozingseisen, wordt het schone afvalwater op het Oosterhornkanaal geloosd. Indien blijkt dat de inhoud van het afvalwaterbuffervat verontreinigd is, dan wordt het verontreinigde afvalwater met behulp van een vacuümwagen leeggezogen en naar North Water, dan wel een andere erkende verwerker gebracht voor verwerking.

**Kenmerk** R003-1276528KLB-V06-ivl-NL

#### 4.1.2 Schoonafvalwaterriool

Het schoonafvalwaterriool verzamelt regenwater dat valt op betonnen vloeren met open procesinstallaties en in de tankputten, de koelwaterspui en de maximale belasting aan bluswater.

Om te voorkomen dat vervuild water wordt afgelaten naar het oppervlaktewater, zijn diverse veiligheidsmaatregelen getroffen:

- De riolen van de tankputten staan standaard dicht (met een klep). Na regenval dient er door de operator gekeken te worden of er water in de goten van de tankput staat. Zo ja, dan wordt dit water bemonsterd. Indien er geen verontreinigingen worden aangetroffen, wordt het regenwater in de goten van de tankput naar het schoonwaterriool gezet. Is het wel verontreinigd, dan wordt het afgelaten naar het procesafvalwaterriool
- Het schoonafvalwaterriool watert af op zwaartekracht naar de schoonafvalwaterput. Deze wordt dagelijks bemonsterd en geanalyseerd op de aanwezigheid van verontreinigingen. Indien er verontreinigingen worden aangetroffen wordt de inhoud van de schoonafvalwaterput naar de procesafvalwaterput gepompt voor verwerking door North Water
- Onder reguliere omstandigheden wordt de inhoud van de schoonafvalwaterput naar de brandwatervijver gepompt. Ook deze vijver wordt regelmatig gecontroleerd op verontreinigingen. De brandwatervijver watert onder reguliere omstandigheden op zwaartekracht via een overloop af op het slotensysteem van het Heveskes terrein
- Als blijkt dat het water verontreinigd is, wordt de afvoer van de schoonafvalwaterput naar de brandwatervijver direct gestopt en wordt de overloop van de brandwatervijver naar het slotensysteem van het Heveskesterrein geblokkeerd/gesloten
- Als laatste barrière is er de insluitbare sloot direct oostelijk van het DSL-01 terrein. Deze sloot is voorzien van 2 duikers nabij het lozingspunt. De duikers zijn op een afstand van 200 m van elkaar gelegen en voorzien van afsluiters. Indien nodig worden de afsluiters in de duikers gesloten, waardoor een eventuele verontreiniging beperkt en beheersbaar blijft en er geen significante vervuiling van de sloot en/of het Oosterhornkanaal ontstaat

#### 4.1.3 Procesafvalwaterriool

Het procesafvalwaterriool verzamelt afvalwater afkomstig van de vetafscheiders bij de grondstofinname (als gevolg van eventuele morsingen), de sedimentvangers in de zuurgasbehandelingsinstallatie, enkele schone stoomcondensaatstromen, ontzuurd water uit de zuurwaterscrubber. Voordat het procesafvalwater op de procesafvalwaterbufferput wordt geloosd, vindt eerst behandeling in vetafscheiders en sedimentvangers plaats. Deze voorzieningen verwijderen oliën, vetten en vaste deeltjes uit het afvalwater en worden regelmatig gecontroleerd en indien nodig geleegd met behulp van een vacuümtruck.

Het procesafvalwaterriool voert het procesafvalwater af op zwaartekracht naar de procesafvalwaterbufferput. Vanuit deze put wordt het afvalwater verpompt naar de afvalwaterzuiveringsinstallatie van North Water. Om de hydraulische en kwalitatieve parameters van dit afvalwater te monitoren wordt er regelmatig een monster genomen en geanalyseerd.

**Kenmerk** R003-1276528KLB-V06-ivl-NL

#### **4.1.4 Sanitair riool**

Het sanitair afvalwaterriool verzamelt het afvalwater afkomstig van het sanitair in de gebouwen op het DSL-01 terrein, zijnde de centrale controlekamer en het lokale kantoor van de logistieke medewerkers. Dit afvalwater wordt met behulp van een pomp geïnjecteerd in de persleiding van het procesafvalwater naar de afvalwaterzuiveringsinstallatie van North Water.

#### **4.1.5 Persleiding naar North Water**

Het afvalwater van DSL-01 wordt via een persleiding naar North Water gepompt. Het sanitair riool en de opvangputten voor schoonafvalwater en het procesafvalwater zijn op de persleiding aangesloten. Het sanitair afvalwater wordt rechtstreeks naar North Water doorgepompt.

### **4.2 Voorzieningen ter beheersing van onvoorziene lozingen**

Op de inrichting van DSL-01 zijn diverse voorzieningen aanwezig die de gevolgen van een onvoorziene lozing beperken dan wel voorkomen. Hieronder worden deze kort benoemd.

#### **4.2.1 Tankputten en vloeistofdichte of -kerende voorzieningen**

Opslagtanks staan in tankputten of zijn dubbelwandig uitgevoerd. De tankputten zijn voorzien van afsluiters, welke standaard dicht staan, om hemelwater gecontroleerd af te laten na een regenbui. De verlaadplaatsen en procesinstallaties zijn voorzien van vloeistofdichte of -kerende vloeren die afvoeren naar 1 van de afvalwaterriolen.

#### **4.2.2 Vetafscheiders**

Op de inrichting zijn 5 vetafscheiders aanwezig. De vetafscheiders zijn gesitueerd nabij de grondstoffenverlaadplaats, de koolstoffenverlaadplaats (gebied 108) , in de hemelwaterafvoer van de transformatoren en 2 in de toevoerleidingen naar de schoonafvalwaterput.

De vetafscheiders laten het water door en houden olie en vetresten vast. De olie en vetresten worden periodiek middels een vacuümtruck verwijderd. In onderstaande tabel zijn de uitgangspunten van de vetafscheiders opgenomen.

Kenmerk R003-1276528KLB-V06-ivl-NL

Tabel 4.1 Gegevens vetafscheiders

| Omschrijving                 | Locatie                                 | Gebied | Inhoud (m <sup>3</sup> ) | Debiet (m <sup>3</sup> /u) |
|------------------------------|---|--------|--------------------------|----------------------------|
| Vetafscheider 1              | Grondstoffen -verlading                 | 101    | 2,5                      | 46,5                       |
| Vetafscheider 2 <sup>2</sup> | Koolwaterstoffen-verlading              | 108    | Nader te bepalen         | Nader te bepalen           |
| Vetafscheider 3              | Substation SS10                         | 112    | Nader te bepalen         | Nader te bepalen           |
| Vetafscheider 4              | Schoonafvalwater toevoerleiding (noord) | -      | Nader te bepalen         | Nader te bepalen           |
| Vetafscheider 5              | Schoonafvalwater toevoerleiding (zuid)  | -      | nader te bepalen         | nader te bepalen           |

#### 4.2.3 Opvangputten

Op de inrichting zijn een 2-tal opvangputten aanwezig, namelijk

- Schoonafvalwaterput
- Procesafvalwaterput

Beide opvangputten hebben een bruto opvangcapaciteit van circa 600 m<sup>3</sup>. Beide opvangputten zijn bij de ingang voorzien van een vetvanger. De beide opvangputten worden frequent bemonsterd en als volgt doorgepompt:

- Schoonafvalwaterput → brandwatervijver
- Procesafvalwaterput → North Water (AWZI) of Schoonafvalwater

Indien het afvalwater niet voldoet aan de lozingseisen wordt het als volgt verwerkt:

- Schoonafvalwaterput → Procesafvalwaterput
- Procesafvalwaterput → Opslag bij North Water (AWZI) of binnenvaartschip / tankwagens

De opvangputten zijn elk voorzien van 2 pompen met niveaumeting en geleidbaarheidsmeting. Beide pompen zijn niveau gestuurd (hoog niveau en hoog-hoog niveau). Als het laag niveau wordt bereikt worden de pompen automatisch uitgeschakeld. Indien een afwijkende waarde wordt gemeten door de geleidbaarheidsmeting worden de pompen automatisch gestopt. Zo wordt geborgd dat een onvoorziene lozing wordt opgevangen en niet automatisch wordt doorgepompt. De procesafvalwaterput is voorzien van een overstortleiding naar de schoonafvalwaterput.

Ingeval van een calamiteit kunnen beide opvangputten ingezet worden voor de opvang van (verontreinigd) bluswater en onvoorziene lozingen. De schoonafvalwaterput heeft een beschikbare inhoud van 400 m<sup>3</sup>. De procesafvalwaterput heeft een beschikbare inhoud van 480 m<sup>3</sup>. In het geval de opvangcapaciteit niet voldoende is (bijvoorbeeld in geval van een grote calamiteit), stromen de putten al dan niet via de brandwatervijver over in de inblokkeerbare sloot.

<sup>2</sup> 4 vetafscheiders zijn nog niet gedimensioneerd. Derhalve wordt deze vanuit een worst-case aanpak niet meegenomen in het MRA-model

**Kenmerk** R003-1276528KLB-V06-ivl-NL

#### **4.2.4 Brandwatervijver**

De brandwatervijver heeft een inhoud van circa 5.100 m<sup>3</sup>. De vijver is voorzien van een overstortleiding die direct afvoert op de naastgelegen inblokkeerbare sloot.

#### **4.2.5 Olie en waterafscheider en oliebooms steiger**

Het lozingspunt op de steiger is voorzien van een OWAS. Daarnaast is de steiger voorzien van een lekbak. Om de verspreiding van grondstoffen, bio-nafta of DLB als gevolg van een calamiteit te voorkomen worden op de steiger oliebooms voorzien. De oliebooms worden bij een calamiteit in het water gelaten. In het uitzonderlijke geval dat een onvoorziene lozing via de sloot het Oosterhornkanaal bereikt, worden de oliebooms op de steiger eveneens ingezet.

#### **4.2.6 Afsluiters sloot**

Het hemelwaterriool wordt aangesloten op een sloot aan de oostzijde van de inrichting. De sloot voert af naar het Oosterhornkanaal en wordt tijdens significante calamiteiten ingezet als noodopvang. Hiertoe worden nabij het lozingspunt 2 duikers gerealiseerd met een afsluiter die onder normale bedrijfsomstandigheden open staat. In geval van een calamiteit, zoals brand of een significante onvoorziene lozing worden de afsluiters dichtgezet. Deze werkwijze wordt middels een procedure vastgelegd.

#### **4.2.7 Procedures**

Om calamiteiten te voorkomen en/of de eventuele gevolgen hiervan zoveel mogelijk te beperken gaat DSL-01 bovenstaande maatregelen en werkwijzen borgen middels werkinstructies en (calamiteiten)procedures. Een voorbeeld hiervan is een procedure voor het afdalen van hemelwater uit de tankputten.

### **4.3 Afstroommogelijkheden per bedrijfsonderdeel**

In onderstaande sub paragrafen worden per bedrijfsonderdeel de relevante afstroommogelijkheden benoemd.

#### **4.3.1 Kantoren, technische dienst en laboratoria**

De gebouwen zijn aangesloten op het sanitair riool.

#### **4.3.2 Bulkopslag in tankputten**

Op de inrichting van DSL-01 zijn 3 tankputten aanwezig. Deze worden hieronder per stuk kort beschreven.

##### **4.3.2.1 Tankput 101**

Tankput 101 (grondstoffen) is aan de zuidzijde van de inrichting gelegen. De tankput heeft een oppervlakte van 6.000 m<sup>2</sup> en een netto inhoud van 7.950 m<sup>3</sup>. In de tankput zijn goten aanwezig die zijn aangesloten op drainageleidingen. De tankput is voorzien van 2 aansluitpunten op het schoonafvalwaterriool en deze zijn beide voorzien van afsluiters (handbediend gesloten). De drainageleidingen zijn tevens voorzien van een aansluiting op het procesafvalwaterriool.

Deze verbinding is eveneens voorzien van afsluiters (handbediend gesloten). Rondom tankput 101 liggen straatkolken naar het schoonafvalwaterriool. Bij de scenario's 'topping'<sup>3</sup> of 'spigot'<sup>4</sup> wordt het deel van de vloeistof dat over de tankputrand stroomt via het schoonafvalwaterriool naar de schoonafvalwaterput afgevoerd. Hier wordt de spill gebufferd en door een externe verwerker verwijderd. Indien de schoonafvalwaterput over onvoldoende capaciteit beschikt, wordt het overtollige deel automatisch overgepompt naar de procesafvalwaterput. In het uitzonderlijke geval dat deze put overstroomt, stroomt de spill via het hemelwaterriool naar de sloot. De sloot is voorzien van 2 duikers met afsluiters die bij een calamiteit handmatig dichtgezet worden. Zodoende wordt een eventuele spill nabij het lozingspunt ingedamd.

#### **4.3.2.2 Tankput 104**

De tankput in area 104 (nutsvoorzieningen) is aan de zuidoostzijde van de inrichting gelegen, ten zuiden van de HEFA-unit. De tankput heeft een oppervlakte van 154 m<sup>2</sup> en een netto inhoud van 195 m<sup>3</sup>. In de tankput zijn goten aanwezig die zijn aangesloten op een drainageleiding. De drainageleiding is voorzien van een afsluiter (handbediend gesloten) en is aangesloten op het schoonafvalwaterriool. Rond tankput 104 zijn straatkolken naar het procesafvalwaterriool aanwezig. Indien het scenario 'topping' of 'spigot' zich voordoet zal de vrijgekomen massa via deze riolen afstromen naar de afvalwaterputten.

#### **4.3.2.3 Tankput 108**

Tankput 108 (product tankopslag/ koolwaterstoffenverlaadstation) is aan de noordzijde van de inrichting gelegen. De tankput heeft een oppervlakte van 4.335 m<sup>2</sup> en een netto inhoud van 6.825 m<sup>3</sup>. In de tankput zijn goten aanwezig die zijn aangesloten op een drainageleiding. De drainageleiding is voorzien van een afsluiter (handbediend gesloten) en is aangesloten op het schoonafvalwaterriool. Rondom tankput 108 liggen straatkolken naar het schoonafvalwaterriool. Bij de scenario's 'topping' of 'spigot' wordt het deel van de vloeistof dat over de tankputrand stroomt via het schoonafvalwaterriool naar de schoonafvalwaterput afgevoerd. Hier wordt de spill gebufferd en door een externe verwerker verwijderd. Indien de schoonhemelwaterput over onvoldoende capaciteit beschikt, wordt het overtollige deel automatisch overgepompt naar de procesafvalwaterput. In het uitzonderlijke geval dat deze put overstroomt, stroomt de spill via het hemelwaterriool naar de sloot. De sloot is voorzien van 2 duikers met afsluiters die bij een calamiteit handmatig dichtgezet worden. Zodoende wordt een eventuele spill nabij het lozingspunt ingedamd.

---

<sup>3</sup> Topping is het verschijnsel dat kan optreden bij het instantaan falen van een tank in een tankput. Hierbij kan door de beweging van de plotseling vrijkomende inhoud van de tank een hoeveelheid vloeistof over de rand van de tankput golven

<sup>4</sup> Spigot treedt op bij het continu falen van een tank in een tankput. Door een lek (gat) in de tankwand ontstaat een straal waardoor een deel van de inhoud over de rand van de tankput spuit



Kenmerk R003-1276528KLB-V06-ivl-NL

### 4.3.3 Bulkverladings per tankwagen

Binnen DSL-01 wordt voor bulkverlading per tankauto gebruik gemaakt van 2 verlaadplaatsen. Deze worden hieronder beschreven.

#### 4.3.3.1 Verlaadplaats 101

Aan de zuidoostzijde van tankput 101 is verlaadplaats 101 gesitueerd. De verlaadplaats omvat 6 verlaadstraten met een totale oppervlakte van 1.000 m<sup>2</sup>. De verlaadplaats is bestemd voor bulkverlading per tankwagen van ruwe grondstoffen, geschoonde grondstoffen, WRU-residu en grondstoffslops. De verlaadstraten zijn aangesloten op het procesafvalwaterriool. Dit riool is voorzien van een vetafscheider. Gezien de omvang van de verlaadstraat en de aanwezige afvoer naar het procesafvalwaterriool wordt de kans op afstromen van de verlaadplaats klein geacht. Ingeval de verlaadplaats als gevolg van bijvoorbeeld het scenario breuk tankwagen in het uitzonderlijke geval toch zou overstromen, stroomt de vrijgekomen vloeistof naar het hemelwaterriool of het schoonafvalwaterriool.

Tabel 4.2 Gegevens verlaadplaats 101

| Stof                    | Activiteit | Maximale doorzet per jaar (ton) | Inhoud tankwagen (ton) | Tijd aanwezig (min) | Uitvoering |
|-------------------------|------------|---------------------------------|------------------------|---------------------|------------|
| Ruwe grondstoffen       | Lossen     | 215.756                         | 25                     | 90                  | losarm     |
| Geschoonde grondstoffen | Laden      | 55.309                          | 25                     | 90                  | laadarm    |
| WRU-residu              | Laden      | 35.138                          | 25                     | 90                  | laadarm    |
| Grondstoffslops         | Laden      | 50                              | 25                     | 90                  | laadarm    |

#### 4.3.3.2 Verlaadplaats 104

Nabij tankput 104 is verlaadplaats 104 gesitueerd. De verlaadplaats is bestemd voor bulkverlading per tankwagen van hulpstoffen. De verlaadstraten zijn aangesloten op het procesafvalwaterriool.

Tabel 4.3 Gegevens verlaadplaats 104

| Stof                  | Maximale doorzet per jaar (ton) | Inhoud tankwagen (ton) | Tijd aanwezig (min) | Uitvoering |
|-----------------------|---------------------------------|------------------------|---------------------|------------|
| Natriumhydroxide 45 % | 1.206                           | 25                     | 90                  | loslang    |
| Citroenzuur 50 %      | 1.951                           | 25                     | 90                  | loslang    |
| Zoutzuur 35 %         | 499                             | 25                     | 90                  | loslang    |

#### 4.3.3.3 Verlaadplaats 108

Nabij tankput 108 is verlaadplaats 108 gesitueerd. De verlaadplaats is bestemd voor bulkverlading per tankwagen van slops en hernieuwbare diesel. De verlaadstraat is aangesloten op het procesafvalwaterriool.

Kenmerk R003-1276528KLB-V06-ivl-NL

Tabel 4.4 Gegevens verlaadplaats 108

| Stof                | Activiteit | Maximale doorzet per jaar (ton) | Inhoud tankwagen (ton) | Tijd aanwezig (min) | Uitvoering |
|---------------------|------------|---------------------------------|------------------------|---------------------|------------|
| Koolwaterstoffslops | Laden      | 50                              | 25                     | 90                  | laadslang  |
| Hernieuwbare diesel | Lossen     | 400                             | 25                     | 90                  | losslang   |

#### 4.3.4 Procesinstallaties

Binnen DSL-01 worden ruwe grondstoffen door middel van diverse processtappen omgezet naar DLB, bio-nafta, vloeibaar gemaakte bio-butaan en bio-propaan. De processtappen worden hieronder op hoofdlijnen besproken. Voor een uitgebreide beschrijving wordt verwezen naar de procesbeschrijving in de aanvraag.

##### 4.3.4.1 Voorbehandeling

In de voorbehandeling worden de ruwe grondstoffen ontdaan van vervuilingen om zo de kwaliteit van de grondstof voor het verdere proces te verhogen. De voorbehandeling bestaat uit de volgende stappen:

- a. Hydrothermale voorreiniging
- b. Elektrostatische scheiding van olie en water
- c. Waterterugwinning (WRU)

Het voorbehandelingsproces start met de hydrothermale reiniging en wordt gevolgd door de elektrostatische scheidingssectie (hierna ESEP), waarna de schone grondstof naar de tussentijdse opslagtanks wordt gevoerd.

De tussenproducten worden bemonsterd en geanalyseerd om de voortgang en effectiviteit van het voorbehandelingsproces te monitoren. Als de effectiviteit onvoldoende is, wordt het tussenproduct overgebracht naar de verwarmde 1.000 m<sup>3</sup> off-spec tank om opnieuw te worden behandeld.

De voorbehandeling is aan de zuidzijde van de inrichting gelegen, ter hoogte van tankput 101. Binnen de voorbehandeling zijn straatkolken aanwezig die zijn aangesloten op het schoonafvalwaterriool en het procesafvalwaterriool. In geval van een calamiteit (brand of een onvoorziene lozing) zal het vrijgekomen bluswater of product via het riool afstromen naar een van de opvangputten. Indien de vloeistofdichte vloer zou overstromen kan een deel van het product afhankelijk van de locatie via het terrein naar het schoonafvalwaterriool, het procesafvalwaterriool en het hemelwaterriool afstromen.

**Kenmerk** R003-1276528KLB-V06-ivl-NL

#### **4.3.4.2 HEFA-unit**

In de HEFA-unit worden de schone tussenproducten omgezet naar DLB, bio-nafta en vloeibaar gemaakte bio-butaan en bio-propaan. Hiertoe worden de volgende stappen doorlopen:

- Aanvoer voorbehandelde grondstoffen
- Hydrodeoxygeneren, Hydrokraken, Hydro-isomerisatie en Hydro-dearomatisering (HDO, HC, HI en HDA)
- (stoom)Strippen en fractioneren van de zuivere koolwaterstoffen in DLB, bio-nafta, bio-propaan en bio-butaan

De HEFA-unit is aan de westzijde van de inrichting gelegen, ten zuiden van tankput 108. Binnen de HEFA-unit zijn straatkolken aanwezig die zijn aangesloten op het procesafvalwaterriool. Rondom de HEFA-unit zijn ten aanzien van de afvoer van verontreinigd bluswater straatkolken aanwezig die afstromen op het schoonafvalwaterriool. In geval van een calamiteit (brand of een onvoorziene lozing) zal het vrijgekomen bluswater of product via het riool afstromen naar een van de opvangputten. Indien de vloeistofdichte vloer zou overstromen zal het product naar het schoonafvalwaterriool of het hemelwaterriool afstromen.

#### **4.3.5 Opslag verpakte gevaarlijke stoffen en werkvoorraad**

Op de inrichting van DSL-01 zijn diverse verpakte gevaarlijke stoffen aanwezig. De verpakte gevaarlijke stoffen betreffen werkvoorraad, waarbij het voornamelijk gaat om hulpstoffen. Deze additieven worden in zogenaamde IBC-containers geleverd en opgeslagen in een zogenoemd 'moeder-dochter' systeem. Hierbij staat 1 IBC actief te doseren en staat er 1 IBC naast op standby, ingeval de eerste IBC leeg is. De beide IBC's zijn voorzien van opvangbakken die groot genoeg zijn om de gehele inhoud van beide IBC's op te vangen. Derhalve is er geen afvoer naar het riool. De IBC-containers worden op verschillende plaatsen op het terrein van DSL-01 geplaatst.

Daarnaast wordt er eens in het kwartaal een ISO-tankcontainer of tankwagen met N-Methyldiethanolamine (hierna: MDEA) nabij de amine-unit (area 106) geplaatst. De ISO-tankcontainer of tankwagen heeft een inhoud van maximaal 25 ton.

Ingeval van een onvoorziene lozing bij IBC-containers of ISO-tankcontainer en/of tankwagen zal de vrijgekomen stof in alle gevallen afstromen naar het proceswaterriool of schoonafvalwaterriool.

#### **4.3.6 Transportleidingen**

Ten behoeve van het interne transport van grondstoffen en eindproducten zijn tussen de inluitsystemen en opslagtanks transportleidingen aanwezig. Op de inrichting van DSL-01 zijn de transportleidingen bovengronds gelegen. Op diverse locaties op de inrichting lopen derhalve leidingdelen over leidingbruggen. Ingeval van een onvoorziene lozing zal de vrijgekomen stof in afstromen naar het proceswaterriool of schoonafvalwaterriool.

**Kenmerk** R003-1276528KLB-V06-ivl-NL

#### 4.3.7 Scheepsverlading

Scheepsverlading vindt plaats op steiger aan het Oosterhornkanaal. Op de steiger worden DLB en bio-nafta en ruwe grondstof verladen. De steiger is voorzien van een laadarm voor DLB, een laadarm voor bio-nafta en een losarm voor ruwe grondstof. In onderstaande tabel zijn de verlaadgegevens weergegeven.

Tabel 4.5 Gegevens verlading steiger

| Stof                           | Activiteit<br>(laden/ lossen) | Inhoud schip<br>(ton) | Aantal schepen<br>(# / jaar) | Tijd<br>aanwezig<br>(uur) | Doorzet<br>(ton / per jaar) |
|--------------------------------|-------------------------------|-----------------------|------------------------------|---------------------------|-----------------------------|
| DLB                            | Laden                         | 2.500                 | 49                           | 12                        | 123.259                     |
| Bio-nafta                      | Laden                         | 1.000                 | 25                           | 8                         | 25.034                      |
| Ruwe<br>grondstof <sup>5</sup> | Lossen                        | 1.000                 | 55                           | 12                        | 55.000                      |

<sup>5</sup> Voor de inname van grondstoffen vraagt DSL-01 2 situaties aan, namelijk 100 % per tankauto of 55 kton per jaar per schip en de rest per tankwagen

Kenmerk R003-1276528KLB-V06-ivl-NL

## 5 Selectie van relevante activiteiten

Voor de modellering van de risico's is een selectie gemaakt van de relevante activiteiten. Hiervoor is de selectiemethodiek van de Commissie Integraal Waterbeheer<sup>6</sup> gehanteerd.

### 5.1 Selectie van stoffen op inrichtingsniveau

Voor de MRA is geïventariseerd welke stoffen binnen de inrichting voorkomen en in welke hoeveelheden. Aan de hand van deze informatie en de bijbehorende stoffeigenschappen kan worden bepaald welke stoffen een relevant risico kunnen veroorzaken.

#### 5.1.1 Stoffeigenschappen en modelstoffen

In de MRA zijn de milieugevaarlijke stoffeigenschappen maatgevend. Hierbij gaat het om de volgende 4 parameters:

1. Zuurstofdepletie (BZV-waarde)
2. Acute toxiciteit (H-zinnen en LC<sub>50</sub>-waarde)
3. Vorming van drijflagen (oplosbaarheid en dichtheid)
4. Inhibitieconcentratie bacteriën in de waterzuivering (IC<sub>50</sub>-waarde)

In Proteus is een stoffenlijst aanwezig waarin diverse stoffen inclusief stoffeigenschappen zijn opgenomen. De lijst is echter beperkt, waardoor het in veel gevallen noodzakelijk is om modelstoffen aan te maken.

Op de inrichting van DSL-01 worden verschillende stoffen en mengsels opgeslagen en verwerkt. Doordat de aanwezige stoffen niet zijn opgenomen in de stoffenlijst in Proteus, is besloten om modelstoffen aan te maken. De stoffeigenschappen van de stoffen en mengsels zijn voornamelijk afkomstig uit de aangeleverde MSDS'en. Daar waar stoffeigenschappen ontbraken, is de ECHA-databank geraadpleegd. Wanneer de IC<sub>50</sub>-waarde voor bacteriën ontbreekt is, overeenkomstig de Proteushandleiding, een waarde gelijk aan 10 maal de LC<sub>50</sub>-waarde vis gehanteerd.

##### 5.1.1.1 Grondstoffen en eindproduct

De ruwe grondstoffen die binnen DSL-01 worden verwerkt betreffen bijproducten, residuen of reststoffen die dierlijke oliën en vetten bevatten of derivaten daarvan. Dit betekent dat zowel de samenstelling van ruwe grondstoffen als de doorzet van specifieke ruwe grondstoffen kunnen variëren over tijd. Derhalve is besloten om voor de ruwe grondstoffen en de schone grondstoffen in de voorbehandeling en HEFA-unit modelstoffen te hanteren.

Voor de grondstoffen geldt dat deze verwarmd worden opgeslagen en verwerkt, omdat deze stoffen bij omgevingstemperatuur vaste stoffen betreffen (smeltpunt varieert tussen 25 °C – 65 °C).

---

<sup>6</sup> Commissie Integraal Waterbeheer (CIW), 'Integrale aanpak van risico's van onvoorziene lozingen', (februari 2000)

**Kenmerk** R003-1276528KLB-V06-ivl-NL

Ingeval van een onvoorziene lozing zullen de grondstoffen als vloeistof vrijkomen en vervolgens stollen. Dit betekent dat de afstroming van grondstoffen beperkt is, omdat de stof een vaste vorm aanneemt.

In het geval de stof in het riool terechtkomt, zal het riool verstopten en blijft het resterende deel op het terrein liggen. In het rekenprogramma Proteus wordt enkel gerekend met vloeistoffen en wordt geen rekening gehouden met het stollen van producten. Vanuit een worst-case benadering worden de grondstoffen wel meegenomen in de MRA.

De modelstoffen bevatten worst-case eigenschappen, waardoor een representatief beeld van het risico wordt gegenereerd. Omdat de samenstelling van de grondstoffen kan variëren is ervoor gekozen om niet het memo 'Omgaan met BZV- of TZV-waarden in Proteus 4'<sup>7</sup> te hanteren, maar uit te gaan van een worst-case BZV-waarde van 3 gram O<sub>2</sub> / gram. Deze BZV-waarde is eveneens voor DLB, hernieuwbare diesel en bio-nafta gehanteerd.

#### 5.1.1.2 Zuren en basen

Overeenkomstig het memo 'zuren en basen'<sup>8</sup> is de toxiciteitswaarde op basis van het pH effect berekend voor de aanwezige zuren en basen (zie tabel 5.1). Op basis van de volgende formules uit het memo zijn de toxiciteitswaarden voor het oppervlaktewater en de RWZI berekend:

Voor lozing op oppervlaktewater:  $pH EC50 = \text{buffercapaciteit} \div N \times \text{mmv} \times 100 \div A$

Voor lozing op de RWZI:  $pH IC50bact = \text{buffercapaciteit} \div N \times \text{mmv} \times 100 \div A$

pH EC50: toxiciteit in mg/l door zuur of base voor oppervlaktewater

pH IC50bact: toxiciteit in mg/l voor zuur of base voor de RWZI

buffercapaciteit: benodigde hoeveelheid zuur of base in meq/l om de pH tot pH 6 te verlagen of tot pH 9 verhogen (zie onderstaande tabel voor defaultwaarden)

N: aantal protonen of hydroxylionen dat per molecuul beschikbaar is

mmv: massa mol verhouding in g/mol

A: percentage zuur of base

Tabel 5.1 Defaultwaarden buffercapaciteit uit memo Zuren en basen

| Zuur of base | pH effect         | Buffercapaciteit defaultwaarde in meq/l |      |
|--------------|-------------------|---|------|
|              |                   | oppervlaktewater                        | RWZI |
| Zuur         | Verlagen tot pH 6 | 1,19                                    | 3,15 |
| Base         | Verhogen tot pH 9 | 1,11                                    | 2,7  |

Indien in het MSDS van een stof een lagere toxiciteitswaarde (hogere toxiciteit per mg) is opgenomen dan de berekende toxiciteitswaarde, is de toxiciteitswaarde uit het MSDS aangehouden.

<sup>7</sup> Braam, L., Kuiper, P. & Vroon, D. (april 2022). Omgaan met BZV- of TZV-waarden in Proteus 4.5

<sup>8</sup> Rijkswaterstaat (oktober 2022). Zuren en basen

**Kenmerk** R003-1276528KLB-V06-ivl-NL

Tabel 5.2 Berekening toxiciteitswaarde zuren en basen

| Stof                  | A (%) | Mmv (g / mol) | N (proton / hydroxilion) | pH EC50 oppervlaktewater (mg/l) | pH EC50 RWZI (mg/l) |
|-----------------------|-------|---------------|--------------------------|---------------------------------|---------------------|
| Natriumhydroxide 45 % | 45 %  | 40            | 1                        | 98,67                           | 240                 |
| Citroenzuur 50 %      | 50 %  | 192,12        | 1                        | 457,25                          | 1210,36             |
| Zoutzuur 35 %         | 35 %  | 36,46         | 1                        | 123,96                          | 328,14              |

### 5.1.1.3 Gassen en vaste stoffen

Waterbezwaarlijke stoffen die in gasvorm worden opgeslagen (in gasflessen of in bulk) worden niet beschouwd in deze MRA. Bij vrijkomen zullen deze stoffen zich namelijk verspreiden in de lucht, derhalve wordt het afstroomrisico voor deze stoffen nihil geacht.

Vaste stoffen die worden opgeslagen in een silo of big bag worden in deze MRA eveneens niet beschouwd. Bij vrijkomen zullen deze stoffen namelijk naast het opslagmedium blijven liggen of (gedeeltelijk) met de wind verwaaien; in beide gevallen is de afstroming verwaarloosbaar. Indien de vaste stoffen in een (PGS 15) opslagvoorziening met brandbare stoffen worden opgeslagen én goed oplosbaar zijn, dan worden deze wel beschouwd in deze MRA. De stoffen kunnen dan namelijk afstromen met het bluswater dat vrijkomt bij een brand in de opslagvoorziening.

### 5.1.2 Ontvangende watersystemen

Een onvoorzien lozing bij DSL-01 kan afstromen naar het Oosterhornkanaal of de AWZI van North Water. Detailgegevens van deze ontvangende watersystemen zijn gegeven in bijlage 6 (van dit rapport), hoofdstuk 7.

## 5.2 Selectie van activiteiten

Per geselecteerde stof worden de relevante activiteiten beoordeeld. De insluitsystemen worden geselecteerd middels de selectiemethodiek van de CIW. De overige activiteiten (onder andere verlading en opslag in emballage) worden kwalitatief beoordeeld op relevantie.

### 5.2.1 Selectie van insluitsystemen

De sub selectie van insluitsystemen is uitgevoerd op basis van inhoud, stoffeigenschappen en reële afstroomroutes naar het riool dan wel oppervlaktewater. Op de inrichting van DSL-01 is een groot aantal insluitsystemen aanwezig. Derhalve is er in de eerste fase voor gekozen om enkel de insluitsystemen met vloeibare gevaarlijke stoffen op te nemen in het overzicht sub selectie. Ondergrondse insluitsystemen en insluitsystemen binnen een gesloten bouwwerk zijn derhalve niet meegenomen, omdat deze geen reële afstroommogelijkheden hebben. Gezien de grote hoeveelheid aan insluitsystemen is ervoor gekozen om 3 sub selectie overzichten te hanteren. Het gebruik van separate sub selectie overzichten per onderdeel van de inrichting maakt het overzichtelijker en in de toekomst eenvoudiger om eventuele wijzigingen te verwerken. In het gebruik van de overzichten is rekening gehouden met de selectie op inrichtingsniveau. Daar waar een stof op inrichtingsniveau is geselecteerd, zijn alle insluitsystemen met deze stof in de sub selectie opgenomen. De selectie is weergegeven in bijlage 5 van dit rapport.



**Kenmerk** R003-1276528KLB-V06-ivl-NL

#### **5.2.1.1 Opslagtanks**

In de sub selectie zijn alle opslagtanks met gevaarlijke stoffen meegenomen. Voor het volume is het bruto volume ingevuld. De selectie is weergegeven in bijlage 5 van dit rapport.

#### **5.2.1.2 Procesinstallaties**

In de sub selectie zijn de procesinstallaties van de voorbehandeling en HEFA-unit meegenomen. Voor het volume van de procesinstallaties van de voorbehandeling is het bruikbare volume meegenomen. Voor het volume van de procesinstallaties van de HEFA-unit is het bruto-volume van de insluitsystemen meegenomen. Deze keuze is gemaakt vanwege het ontbreken van het bruikbare volume. In de procesinstallaties zijn (deels) gasvormige stoffen aanwezig. In het kader van de MRA zijn de insluitsystemen volledig gevuld met vloeibare gevaarlijke stoffen. Deze aanpak is als zodanig worst-case. De selectie is weergegeven in bijlage 5 van dit rapport.

#### **5.2.1.3 Weg- en scheepsverladingen**

Bulkverladingen worden niet meegenomen in de sub selectie. Uitgangspunt is dat de verladingen van de geselecteerde stoffen worden meegenomen in het Proteus-model. Derhalve zijn de volgende verladingsactiviteiten geselecteerd:

- Ruwe grondstoffen
- DLB
- Bio-nafta
- Geschoonde grondstoffen
- WRU-residu
- Grondstoffenslops
- Koolwaterstoffenslops
- Hernieuwbare diesel
- Zoutzuur 35 %
- Citroenzuur 50 %
- Natriumhydroxide 45 %

In paragraaf 4.3.3 zijn reeds de relevante verladingsgegevens opgenomen. Deze zijn als zodanig meegenomen in de Proteus-modellering.

#### **5.2.1.4 Leidingtransport**

Op de inrichting van DSL-01 is een grote hoeveelheid aan transportleidingen aanwezig. Gelet op de hoeveelheid leidingen en het feit dat risico's in Proteus niet gecumuleerd worden, heeft het geen meerwaarde om alle leidingen separaat te modelleren. Derhalve is het gebruikelijk om alleen de grootste leidingen mee te nemen. In onderstaande tabel zijn de gegevens van de geselecteerde leidingen weergegeven.

**Kenmerk** R003-1276528KLB-V06-ivl-NL

*Tabel 5.3 Gegevens leidingtransport*

| Naam                     | Route                         | Stof             | Lengte | Diameter | Tijd gevuld (%) |
|--------------------------|-------------------------------|------------------|--------|----------|-----------------|
|                          |                               |                  | (m)    | (inch)   |                 |
| Leiding ruwe grondstof   | Opslagtank - voorbehandeling  | Ruwe grondstof   | 145    | 4        | 100             |
| Leiding schone grondstof | Opslagtank – HEFA-unit        | Schone grondstof | 321    | 3        | 100             |
| Leiding DLB I            | Opslagtank - inrichtingsgrens | DLB              | 524    | 10       | 100             |
| Leiding bio-nafta I      | Opslagtank - inrichtingsgrens | Bio-nafta        | 529    | 6        | 100             |
| Leiding DLB II           | Inrichtingsgrens - steiger    | DLB              | 1.750  | 10       | 100             |
| Leiding bio-nafta II     | Inrichtingsgrens - steiger    | Bio-nafta        | 1.750  | 6        | 100             |

\* In het kader van de MRA is 'fractie van de tijd' voor de leidingen naar de steiger en de leidingen naar de off-spec tanks ingesteld op 100 %. In werkelijkheid is de stof niet 100 % van de tijd aanwezig

## 6 Modelling in Proteus

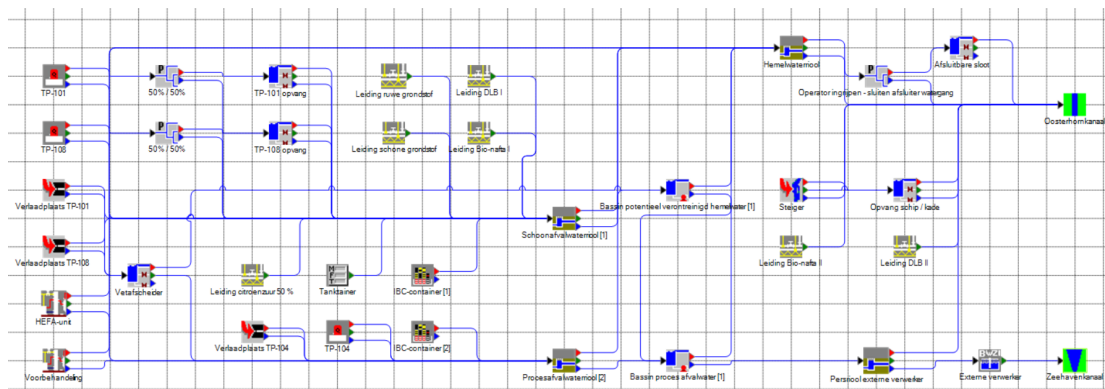
### 6.1 Inleiding over Proteus Software

In de voorgaande hoofdstukken zijn selecties gemaakt op stof- en installatieniveau.

Alle geselecteerde onderdelen zijn gemodelleerd in het voorgeschreven rekenprogramma Proteus (versie 4.5.0), om hiermee de restricties te bepalen.

### 6.2 Afstroommodel

In onderstaande figuur wordt het afstroommodel weergegeven zoals deze is ingevoerd in Proteus. Deze is ook te raadplegen in bijlage 6 (van dit rapport), hoofdstuk 3. Alle risicovolle installaties en activiteiten zoals beschreven in hoofdstuk 5 zijn opgenomen in het model.



Figuur 6.1 Afstroommodel zoals gemodelleerd in Proteus

### 6.3 Uitgangspunten

In dit hoofdstuk wordt een toelichting gegeven van de gehanteerde uitgangspunten en aannames voor de modellering van de risico's in Proteus.

#### 6.3.1 Risico-units

- In het model is de bruto inhoud van de opslagtanks gemodelleerd. De vullingsgraad bedraagt 97 %, met uitzondering van de tanks met DLB. De vullingsgraad van de tanks met DLB bedraagt 94 %
- In tankput 101 en tankput 108 staan meerdere opslagtanks, waarbij tankput 108 een geschakelde tankput betreft voorzien van interne wanden. In Proteus wordt ervan uitgegaan dat iedere opslagtank in een eigen tankput staat. Bij het scenario 'topping' houdt het programma derhalve geen rekening met aanwezige barrières, zoals opslagtanks en interne wanden. Hiertoe heeft Deltares in 2010 in opdracht van RWS een onderzoek uitgevoerd naar overslag als gevolg van falen van verticale opslagtanks<sup>9</sup>. Overeenkomstig de uitkomsten uit het 'Deltares-rapport' is de invloed van andere tanks in de tankput en barrières meegenomen.

<sup>9</sup> Wellens, P. & Gerber, G. (2010). *Onderzoek naar overslag als gevolg van falen van verticale opslagtanks*

Hiertoe zijn P-splitters toegepast om de kans van afstroming naar het terrein bij het scenario 'topping' inzichtelijk te maken:

- In tankput 101 staan 11 opslagtanks in een rechthoekige tankput. De aanwezige opslagtanks worden omringd door andere opslagtanks. De omringende opslagtanks vormen zodoende een barrière die de uitstroom als gevolg van een calamiteit naar het terrein beperkt. In vergelijking met paragraaf 4.7 uit het Deltares-rapport worden de opslagtanks niet aan alle zijden omringd door andere opslagtanks. Afhankelijk van de positie worden de opslagtanks aan 2 of 3 zijden door andere tanks omringd. Aangezien alle opslagtanks deels worden omringd door andere opslagtanks is er, naast de tankputwand, sprake van een extra barrière in de tankput. Hierdoor wordt een eventuele onvoorziene uitstroming als gevolg van het scenario 'topping' in 2 richtingen gebroken en opgevangen in de tankput. Om deze situatie te modelleren is een P-splitter toegepast voor de kans op afstroming naar het terrein. De kansverdeling bedraagt 50/50. De connector die de afstroming naar de tankput representeert is verbonden met een put die de tankput representeert. De doorstroom- en overstroomconnector zijn verbonden met het schoonafvalwaterriool. Rondom de tankput zijn namelijk aan alle zijden straatkolken voorzien die afstromen naar het schoonafvalwaterriool
- Tankput 108 is voorzien van lagere interne tankputwanden. De opslagtanks grenzen daardoor met maximaal 2 zijden aan het terrein. Indien de vloeistofstroom in de richting van de tankputwand uitstroomt wordt deze deels gebroken door de tankwand en 'topt' de uitgestroomde stof in de naastgelegen tankputsectie. De uitgestroomde vloeistof wordt daarop gebroken door de aanwezige opslagtank(s). Om deze situatie te modelleren is een P-splitter toegepast voor de kans op afstroming naar het terrein. De kansverdeling bedraagt 50/50. De connector die de afstroming naar de tankput representeert is verbonden met een put die de tankput representeert. De doorstroom- en overstroomconnector is verbonden met het schoonafvalwaterriool. Rondom de tankput zijn namelijk aan alle zijden straatkolken voorzien die afstromen naar het schoonafvalwaterriool
- De tankputten hebben een wandhoogte van 2 m. Aangezien Proteus geen hoogte van 2 m berekent bij de invoer van de opslagtanks, netto oppervlakte tankput en bruto oppervlakte tankput, is naar de hoogte van 2 m toegerekend. Hiertoe is het bruto volume verhoogd totdat het programma een tankwand hoogte van 2 m berekende. Dit is als zodanig afgestemd met het bevoegd gezag
- De reactoren en vaten in de voorbehandeling zijn gemodelleerd als continue reactoren. De druk in een reactor kan in Proteus tot maximaal 10 atmosfeer worden ingesteld. In werkelijkheid zijn er echter diverse vaten en reactoren aanwezig met een druk > 10 barg. Het is dus niet mogelijk om de werkelijke druk in het model mee te nemen. Derhalve is voor deze reactoren en vaten de druk op 10 atmosfeer ingesteld. Bij de overige vaten en reactoren is de ontwerpdruk gemodelleerd
- In het model is de functionele inhoud van de reactoren en vaten in de voorbehandeling gemodelleerd. Het recept betreft 100 % ruwe grondstof gelijk aan de functionele inhoud van de reactoren en vaten. In werkelijkheid zijn de reactoren en vaten ten dele gevuld met ruwe grondstof. Deze aanpak is als zodanig conservatief

Kenmerk R003-1276528KLB-V06-ivl-NL

- De 'tijdsfractie in bedrijf' is voor alle reactoren en vaten in de voorbehandeling ingesteld op 100 %. De verblijftijd is op 24 uur ingesteld. Deze aanpak is als zodanig conservatief
- In het model is de volledige inhoud van de reactoren en vaten in de HEFA-unit gemodelleerd. De vulgraad is ingesteld op 90 % en het recept betreft 90 % van de volledige inhoud van de reactoren en vaten. Uitgangspunt hierbij is dat gerekend is met de dichtheid van de schone grondstof (900 kg/m<sup>3</sup>). Voor de insluitsystemen met bio-nafta (dichtheid 675 kg/m<sup>3</sup>) betreft dit een overschatting. In werkelijkheid zijn de reactoren en vaten ten dele gevuld met schone grondstof. Deze aanpak is als zodanig conservatief
- De 'tijdsfractie in bedrijf' is voor alle reactoren en vaten in de HEFA-unit ingesteld op 100 %. De verblijftijd is op 24 uur ingesteld. Deze aanpak is als zodanig conservatief
- Bij een onvoorziene lozing in de reactoren of vaten zal een deel van de inhoud van de vrijgekomen stoffen bij het overstromen altijd in een van de bedrijfsriolen terecht komen. Vanuit een conservatieve aanpak is de overstromconnector van de 'productie-eenheden' enkel met het hemelwaterriool verbonden
- Uit de sub selectie volgt dat zoutzuur 35 % niet wordt geselecteerd. In het model zijn de opslagtank en de verladingsactiviteiten wel meegenomen in verband met de rekenregels voor tankputten
- De connectoren van de leidingen die over de inrichting voeren zijn verbonden met het schoonafvalwaterriool. De leidingbruggen voeren vrijwel volledig over terreindelen die op een van de bedrijfsriolen zijn aangesloten. In het model is de volledige lengte van de leidingen gemodelleerd. De leidingen zijn gemodelleerd zonder rekening te houden met eventuele inblokafsluiters, met uitzondering van de leidingen tussen de inrichting en de steiger (DLB II en bio-nafta II). Deze aanpak is als zodanig conservatief
- De connector van de leidingen die naar de steiger voeren (leiding DLB II en leiding bio-nafta II) zijn direct verbonden met het Oosterhornkanaal. In het model zijn inblokafsluiters in de leidingen gemodelleerd
- In het model is de parameter 'fractie van de tijd' voor de leidingen naar de steiger ingesteld op 100 %. In werkelijkheid is de stof niet 100 % van de tijd aanwezig. Deze aanpak is als zodanig conservatief
- De IBC-containers zijn gemodelleerd als een PGS 15-opslagvoorziening kleiner dan 10.000 kg. Omdat Proteus risico's niet cumuleert zijn er 2 IBC-containers gemodelleerd. Aangezien de IBC-containers verspreid staan over de inrichting is 1 IBC-container aangesloten op het schoonafvalwaterriool en 1 IBC-container op het procesafvalwaterriool
- Hoewel de IBC-containers in de praktijk gevuld zijn met 1 IBC zijn de containers in het model gevuld met 2 IBC's. Om de risico's voor zowel een oplosbaar additief als een niet-oplosbaar additief inzichtelijk te maken, zijn 2 modelstoffen aangemaakt (zie paragraaf 6.3.4)
- De ISO-tankcontainer/ tankwagen met MDEA is gemodelleerd middels een user-defined source. Hierin is het scenario 'instantaan falen' van de ISO-tankcontainer/ tankwagen gemodelleerd. De faalkans bedraagt  $5 \cdot 10^{-6}$  en de duur van het scenario bedraagt 60 seconden

**Kenmerk** R003-1276528KLB-V06-ivl-NL

- In het model is het lossen van ruwe grondstof per schip ook gemodelleerd, naast het verladen per tankwagen met de maximale jaarlijkse doorzet. In de praktijk zal wanneer de ruwe grondstof per schip wordt verladen, de doorzet per tankwagen afnemen. Omdat Proteus risico's niet cumuleert zijn beide activiteiten afzonderlijk gemodelleerd

### 6.3.2 Doorstroom-units

- De inhoud van de riolen is gebaseerd op de dimensionering zoals weergegeven op de rioleringstekening. De afsluiter (doorstromen) is ingesteld op 'afvoer zonder afsluiter'
- De bruto inhoud van de opvangputten bedraagt 600 m<sup>3</sup>. In het model is het werkelijk volume dat bij calamiteiten beschikbaar is om onvoorziene lozingen op te vangen ingevoerd. De schoonafvalwaterput heeft een beschikbare inhoud van 400 m<sup>3</sup>. De procesafvalwaterput heeft een beschikbare inhoud van 480 m<sup>3</sup>
- De opvangputten worden voorzien van geleidsbaarheidsmeting die gekoppeld wordt aan de pomp. Indien sprake is van een afwijkende waarde, zoals bij een spill, worden de pompen automatisch gestopt. Omdat er dan een klein restrisico overblijft dat de pomp toch aanstaat is het pomptype ingesteld op 'hand bediend op afstand (pomp uit)'. De pompcapaciteit bedraagt 100 m<sup>3</sup>. Het activeren van de pompen is ingesteld op 120 m<sup>3</sup>, overeenkomstig het niveau waarop het afvalwater wordt afgepompt
- Vanuit beide opvangputten kan hemelwater worden doorgepompt naar de brandwatervijver. Aangezien de brandwatervijver een overstort heeft naar het hemelwaterriool, is de brandwatervijver niet apart gemodelleerd. Bij een calamiteit wordt de pomp tussen de schoonafvalwaterput en brandwatervijver overigens uitgezet. De overstroomconnector van beide opvangputten is daarom rechtstreeks met het hemelwaterriool verbonden
- Het hemelwaterriool wordt aangesloten op een afsluitbare sloot aan de oostzijde van de inrichting. De afsluitbare sloot voert af naar het Oosterhornkanaal en wordt tijdens significante calamiteiten ingezet als noodopvang. Hiertoe worden in de sloot 2 duikers gerealiseerd met afsluiters die onder normale bedrijfsomstandigheden open staan. In geval van een calamiteit, zoals brand of een significante onvoorziene lozing, worden de afsluiters zo snel mogelijk dichtgezet. Deze werkwijze wordt middels een procedure vastgelegd. Aangezien het hier om een procedurele handeling gaat is een P-splitter gemodelleerd met een kans van 1/10 op falen door de operator. Deze kans is overeenkomstig de faalkans voor operator ingrijpen uit de Handleiding Risicoberekeningen Bevi
- De afsluitbare sloot is circa 2 m diep. Uitgaande dat de afsluitbare sloot deels met hemelwater is gevuld, bedraagt de beschikbare opvangcapaciteit circa 400 m<sup>3</sup> (l= 200 m x b= 2 m x d= 1 m). De afsluitbare sloot is gemodelleerd als standaard put met een opvangcapaciteit van 400 m<sup>3</sup>. Aangezien de kans op sluiten via een P-splitter is gemodelleerd, is de doorstroomconnector van de afsluitbare sloot ingesteld op 'geen afvoer'
- De zuivering technische gegevens van de waterzuiveringsinstallatie van de externe verwerker zijn opgevraagd bij North Water

**Kenmerk** R003-1276528KLB-V06-ivl-NL

- Aangezien North Water geen publieke Rioolwaterzuiveringsinstallatie (hierna: RWZI) uitbaat, maar een externe RWZI, is gekozen om een bedrijfswaterzuiveringsinstallatie (hierna: BWZI) te modelleren. In Proteus is het namelijk niet mogelijk om een commerciële RWZI te modelleren. Dit is een beperking van het programma.  
Het Zeehavenkanaal is als ontvangend watersysteem gemodelleerd, omdat na een BWZI altijd ontvangend water gemodelleerd dient te worden

### **6.3.3 Ontvangende systemen**

Als ontvangend systeem voor de insluitsystemen via het persriool is de RWZI van North Water (externe verwerker) en het Zeehavenkanaal gemodelleerd. Het Zeehavenkanaal is gemodelleerd als een estuarium met een breedte van 270 m en een diepte van 10 m.

Als ontvangend systeem voor een eventuele onvoorziene lozing vanuit de insluitsystemen op de inrichting is het Oosterhornkanaal en de afsluitbare sloot gemodelleerd. De afsluitbare sloot is in overleg met het waterschap gemodelleerd om de risico's voor het deel van de sloot tussen de 2 stuwdammen inzichtelijk te maken.

Het Oosterhornkanaal is gemodelleerd als kanaal. De Oosterhornhaven is gemodelleerd als haven. De totale lengte van de Oosterhornhaven is 3 km. De breedte van de haven is 60 m.

### **6.3.4 Modelstoffen**

Voor de relevante grondstoffen en eindproducten zijn modelstoffen aangemaakt. Ondanks dat de grondstoffen onder omgevingstemperatuur vaste stoffen betreffen, is vanuit een worst-case aanpak toch een modelstof aangemaakt (zie ook paragraaf 5.1.1.1). Aangezien de samenstelling van de grondstoffen sterk varieert is ervoor gekozen om een stof aan te maken met worst-case eigenschappen. Voor de toxiciteit is de classificatie H400-stof. Aangezien het hier om een drijver gaat is de toxiciteit ondergeschikt.

Voor het tussenproduct is een modelstof aangemaakt vergelijkbaar met de ruwe grondstof. Het enige verschil is dat de dichtheid van de stof is aangepast. In de voorbehandeling worden diverse componenten uit de stof onttrokken (waaronder water), waardoor de dichtheid van het tussenproduct kleiner is dan die van de ruwe grondstof.

Alle detailgegevens met betrekking tot stoffeigenschappen (zoals toxiciteit, dichtheid et cetera) zijn volledig weergegeven in bijlage 5 van dit rapport. De in het model ingevoerde stofparameters zijn na te lezen in bijlage 6 (van dit rapport), hoofdstuk 8.



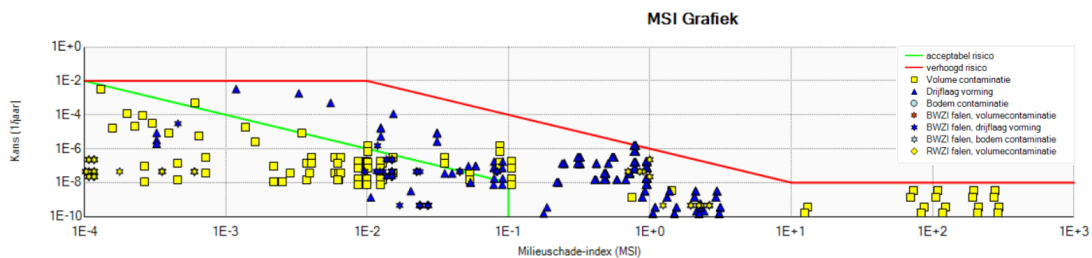
## 7 Resultaten

### 7.1 Risico's lozing op oppervlaktewater

De resultaten van de modelberekeningen zijn weergegeven in de door Proteus gegenereerde rapportage en opgenomen in bijlage 6 van dit rapport.

De beoordeling van de resultaten van Proteus wordt uitgevoerd aan de hand van het referentiekader, zoals aangegeven in het rapport 'Integrale aanpak van risico's van onvoorziene lozingen' en de nota van Rijkswaterstaat 'beoordelingskader restrisico onvoorziene lozingen' d.d. 17 oktober 2013. Proteus genereert zelf de zogenoemde milieuschade index (MSI). Het bepalen van de milieuschade index vindt plaats op basis van volumecontaminatie (aquatoxische effecten), oevercontaminatie (drijfslagen) en falen RWZI.

In onderstaande figuur zijn de door Proteus berekende restrisico's gegeven met betrekking tot drijfslagvorming en volumecontaminatie.



Figuur 7.1 MSI-Grafiek DSL-01

In de grafiek is op de horizontale as het milieueffect en op de verticale as de kans op optreden van het scenario met het milieueffect uitgezet:

- De groene lijn geeft de grens aan tot waar het scenario nog gezien wordt als 'verwaarloosbaar'
- Tussen de groene en rode lijn wordt het scenario beschouwd als 'acceptabel'
- Boven de rode lijn heeft het scenario een 'verhoogd risico'

### 7.2 Drijfslagvorming

Uit de resultaten van de modellering met Proteus wordt duidelijk dat de risico's op drijfslagvorming (blauwe driehoeken) binnen de inrichting van DSL-01 acceptabel of verwaarloosbaar zijn.

De resultaten van de modelering in Proteus zijn weergegeven in bijlage 6 van dit rapport. Derhalve is het voor DSL-01 niet noodzakelijk om aanvullende maatregelen te treffen.

Kenmerk R003-1276528KLB-V06-ivl-NL

### 7.3 Volumecontaminatie

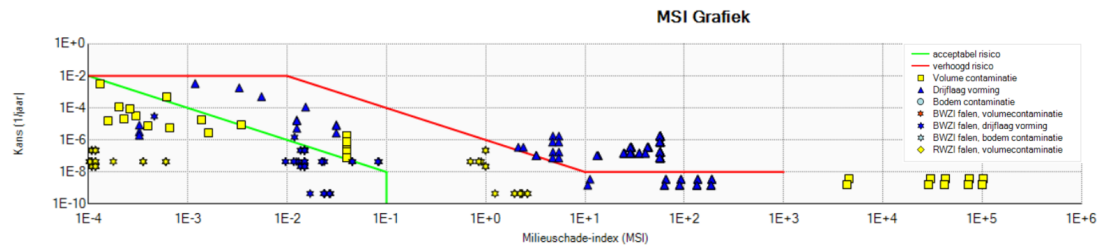
Uit de resultaten van de modellering met Proteus wordt duidelijk dat de risico's op volumecontaminatie (gele vierkantjes) binnen de inrichting van DSL-01 acceptabel of verwaarloosbaar zijn. De resultaten van de modelering in Proteus zijn weergegeven in bijlage 6 van dit rapport. Derhalve is het voor DSL-01 niet noodzakelijk om aanvullende maatregelen te treffen.

### 7.4 Falen BWZI

Uit de resultaten van de modellering met Proteus wordt duidelijk dat de risico's op het falen van de BWZI (gele en blauwe sterretjes) acceptabel of verwaarloosbaar zijn. De resultaten van de modelering in Proteus zijn weergegeven in bijlage 6 van dit rapport. Derhalve is het voor DSL-01 niet noodzakelijk om aanvullende maatregelen te treffen.

### 7.5 Restriscio's afsluitbare sloot

In overleg met het waterschap zijn ook de restriscio's voor de afsluitbare sloot met 2 duikers inzichtelijk gemaakt. In onderstaande figuur is de MSI-grafiek weergegeven.



Figuur 7.2 MSI-grafiek eindpunt afsluitbare sloot

Uit de resultaten uit Proteus volgt dat voor meerdere faalscenario's bij de opslagtanks in tankput 101 en tankput 108 verhoogde restriscio's op drijfslagvorming worden berekend. Voor de overige insluitsystemen geldt dat acceptabele restriscio's worden berekend voor zowel drijfslagvorming als volumecontaminatie.

Doordat de afsluitbare sloot is uitgevoerd met 2 duikers en afsluiters blijft een eventuele drijfslag beperkt en kan deze snel beheerst en verwijderd worden.

**Kenmerk** R003-1276528KLB-V06-ivl-NL

## 8 Conclusie

Op het bedrijventerrein Oosterhorn in de gemeente Eemsdelta is DSL-01 B.V., een dochteronderneming van SkyNRG, voornemens een installatie voor de productie van duurzame luchtvaartbrandstof (DLB) te realiseren. De beoogde inrichting zal de naam DSL-01 dragen, waar de afkorting DSL staat voor Direct Supply Line. De voorgenomen activiteiten van DSL-01 bestaan uit de ontvangst, opslag en chemische bewerking van (gevaarlijke) reststoffen. De eindproducten bestaan uit duurzame luchtvaartbrandstof, bio-nafta, bio-propaan en bio-butaan.

DSL-01 vraagt een omgevingsvergunning aan voor het onderdeel milieu. Ten behoeve van de aanvraag is een MRA uitgevoerd. Met Proteus 4.5 zijn de effecten van een eventuele onvoorziene lozing berekend. Uit de Proteusmodellering blijkt dat de risico's op volumecontaminatie en drijfslagvorming voor het Oosterhornkanaal acceptabel of verwaarloosbaar zijn. De risico's op het falen van de BWZI zijn ook acceptabel of verwaarloosbaar. Op basis van de resultaten wordt daarom geconcludeerd dat DSL-01 voldoende maatregelen heeft getroffen om de risico's op onvoorziene lozingen te beheersen.

**Kenmerk** R003-1276528KLB-V06-ivl-NL

## **Bijlage 1      Wettelijk kader**

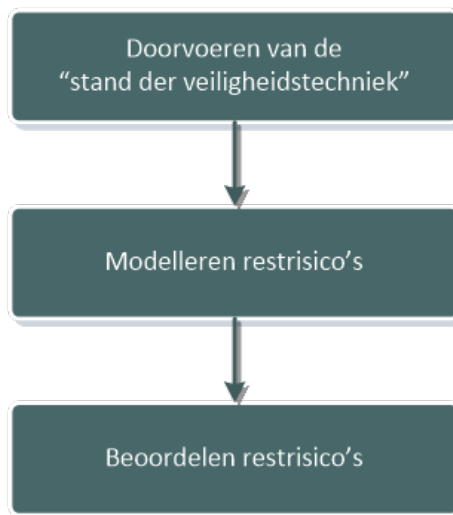
## Wettelijk kader milieurisicoanalyse

### 1.1 Inleiding

In deze bijlage worden de wettelijke basis en de achtergronddocumenten die relevant zijn voor het opstellen van een MRA besproken. Het doel van een MRA is het inzichtelijk maken van de (rest)risico's waarbij schade aan zowel mens als milieu mogelijk is. De beheersing van deze risico's, onvoorziene lozingen, speelt in Nederland een grote rol in het beleid om zware ongevallen te voorkomen. De risicoanalyse richt zich specifiek op de verontreiniging van water door aquatoxische stoffen. Anders dan de naam doet vermoeden, worden overige milieurisico's zoals bodem en lucht verontreiniging niet meegenomen in de beoordeling.

### 1.2 Inleiding waterkwaliteit en onvoorziene lozingen

In de Derde Nota Waterhuishouding en in het eerder verschenen Indicatief Meerjarenprogramma Water zijn de beleidsmatige uitgangspunten voor het Nederlandse waterkwaliteitsbeleid beschreven. In een nota van de CIW zijn deze uitgangspunten voor het beleidsterrein van de onvoorziene lozingen verder uitgewerkt en geconcretiseerd naar een praktische aanpak.<sup>1</sup> De gevolgde aanpak is in grote lijnen hetzelfde als voor reguliere lozingen van afvalwater, zie ook onderstaande figuur. Door middel van het implementeren van de 'stand der veiligheidstechniek' moeten onvoorziene lozingen en de gevolgen daarvan zoveel mogelijk voorkomen worden. Deze aanpak is vergelijkbaar met de emissie-aanpak van reguliere lozingen van afvalwater.



Figuur 1 Globale aanpak van risico's van onvoorziene lozingen

---

<sup>1</sup> Commissie Integraal Waterbeheer (CIW), Integrale aanpak van risico's van onvoorziene lozingen, februari 2000

### 1.3 Stand der veiligheidstechniek

De 'stand der veiligheidstechniek' beschrijft het niveau van de voorzieningen om onvoorziene lozingen, of de gevolgen daarvan, zoveel als redelijkerwijs mogelijk is te voorkomen. Dit uitgangspunt geldt ongeacht de aard van de inrichting en de daar gehanteerde stoffen en processen. Voor een aantal specifieke activiteiten, met name wat betreft de opslag en transport van (gevaarlijke) stoffen, heeft de overheid richtlijnen opgesteld. Deze richtlijnen dienen als een referentie om risico's voor de mens zoveel mogelijk te voorkomen. Het is duidelijk dat deze richtlijnen tevens een gunstige invloed hebben op de risico's voor de omgeving. Een voorbeeld hiervan is de zogenoemde PGS<sup>2</sup> 15-richtlijn inzake de opslag van gevaarlijke stoffen in emballage. Het RIZA heeft een rapport opgesteld waar de beschikbare informatie bij elkaar is gebracht.<sup>3</sup> De beschrijvingen kunnen dienen als referentie bij de evaluatie van voorzieningenniveaus binnen inrichtingen.

Implementatie van de stand der veiligheidstechniek betekent doorgaans niet dat het risico tot nul wordt gereduceerd. Om voor de lokale situatie na te gaan of het algemene niveau van voorzieningen voldoende is om onaanvaardbare negatieve invloeden als gevolg van onvoorziene lozingen te voorkomen, is een toets noodzakelijk. In deze toets dienen de locatiespecifieke omstandigheden met betrekking tot het risicomanagement, alsook de lozingssituatie betrokken te worden. Hiervoor is het noodzakelijk om inzicht te verkrijgen in de restrisico's van een activiteit, installatie of locatie. Voor het inschatten van de restrisico's dient een geschikt risicoanalysemodel toegepast te worden. Het toepassen van deze modellen heeft als belangrijk voordeel dat de risicoschatting voor alle situaties volgens een eenduidige methode plaatsvindt.

### 1.4 Modelleren restrisico's

Bij het modelleren van de restrisico's wordt doorgaans een selectie gemaakt van de meest risicovolle activiteiten binnen de te beschouwen inrichting. Dit omdat het ondoenlijk is om alle activiteiten binnen een inrichting te modelleren. Voor het opstellen van de milieuparagraaf van een veiligheidsrapport is hiertoe een selectiesysteem ontwikkeld.<sup>4</sup> Dit systeem selecteert activiteiten uitgaande van de hoeveelheid gevaarlijke stoffen binnen de inrichting en de aquatische toxiciteit van deze stoffen.

### 1.5 Beoordelen restrisico's

Tenslotte dient door het bevoegd gezag een uitspraak gedaan te worden omtrent de toelaatbaarheid van de resterende risico's van onvoorziene lozingen. Deze beoordeling kan plaatsvinden op basis van kwalitatieve en/of kwantitatieve criteria. In de nota van de CIW is voor een kwantitatieve beoordeling een eerste aanzet gegeven.<sup>5</sup>

---

<sup>2</sup> Publicatiereeks Gevaarlijke Stoffen

<sup>3</sup> Rijksinstituut voor Integraal Zoetwaterbeheer en Afvalwaterbehandeling (RIZA), Beschrijving van de stand der veiligheidstechniek, mei 1999

<sup>4</sup> Rijksinstituut voor Integraal Zoetwaterbeheer en Afvalwaterbehandeling (RIZA), De selectie van activiteiten binnen inrichtingen, mei 1999

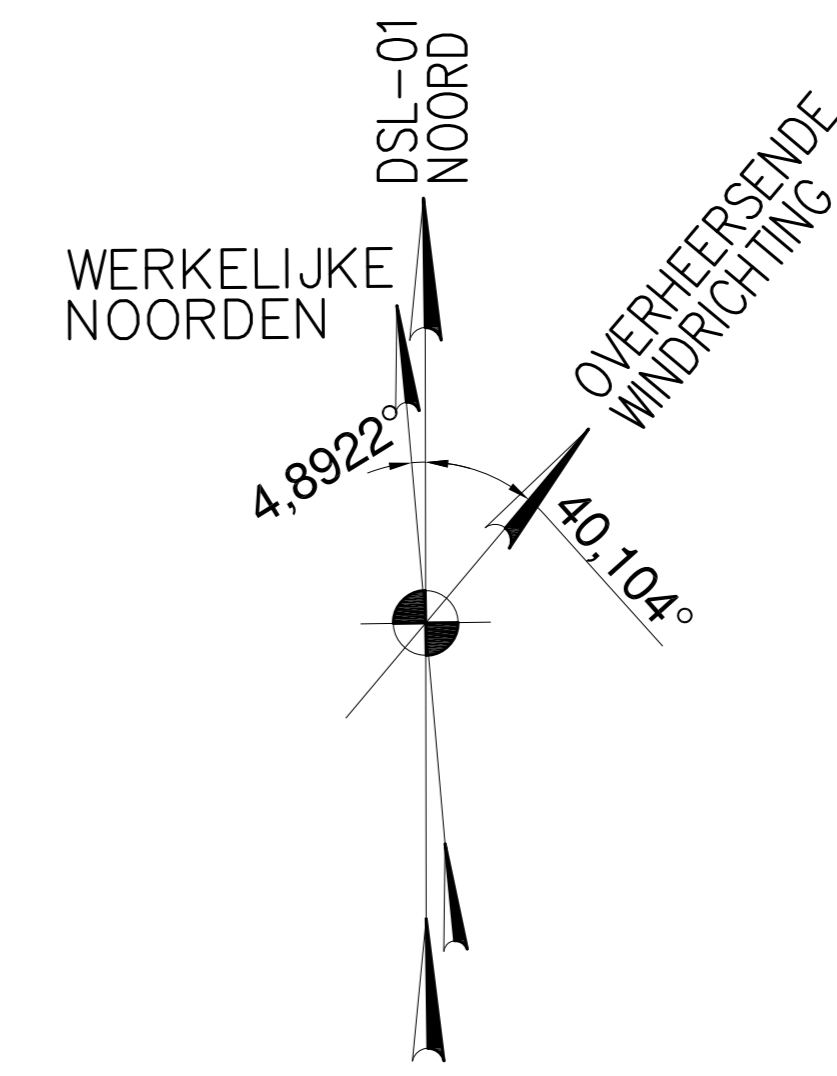
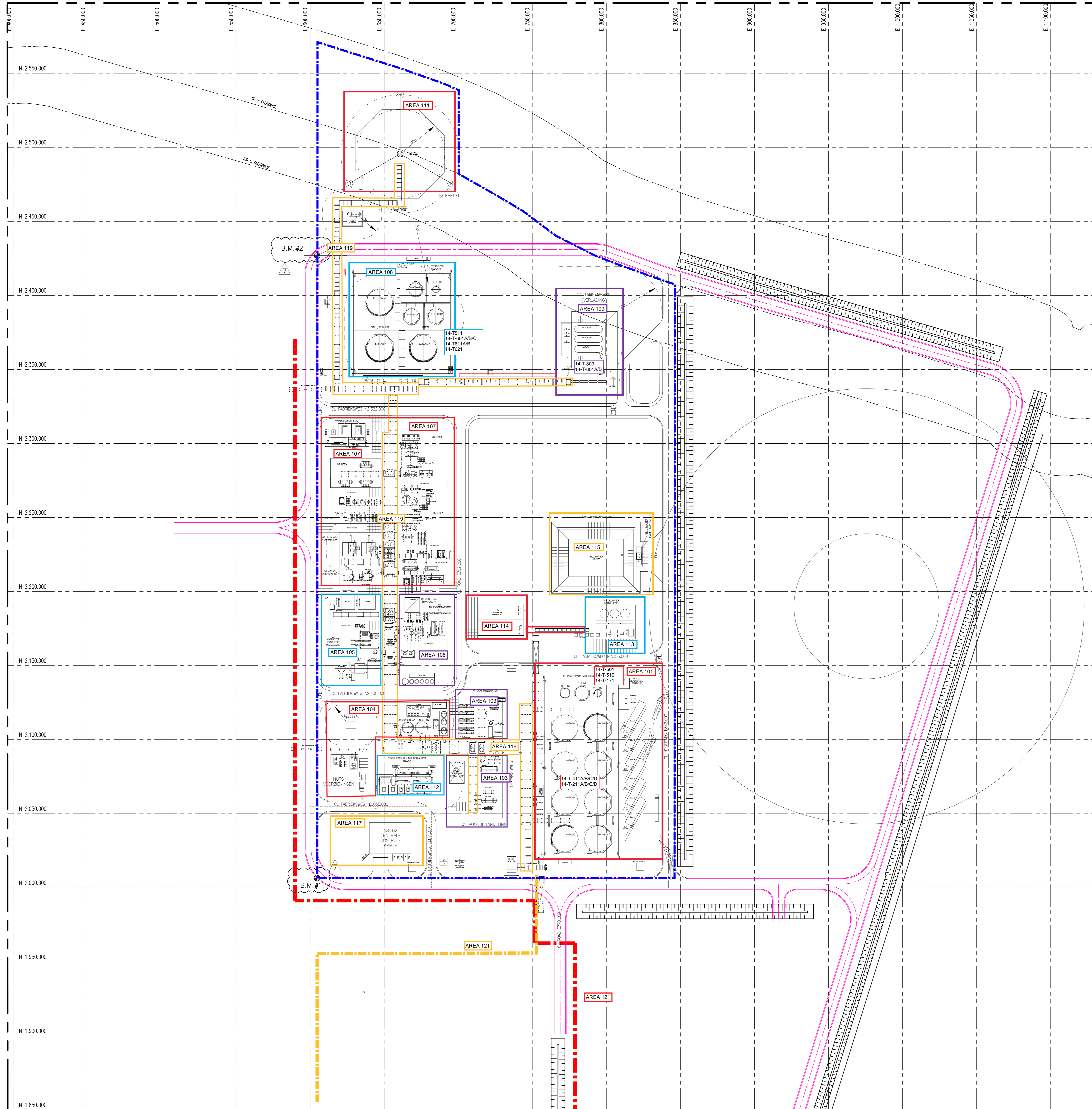
<sup>5</sup> Rijkswaterstaat (RWS), Beoordelingskader restrisico onvoorziene lozingen, 17 oktober 2013

**Kenmerk** R003-1276528KLB-V06-ivl-NL

## **Bijlage 2 Inrichtingstekening**



TEKENING LIMIET



LIJST VAN PROCESTANKS

| TANK NUMMER     | OMSCHRIJVING         |
|-----------------|----------------------|
| 14-T-601A/B/C   | SAF (PRODUKT)        |
| 14-T-621        | AFGEKEURD PRODUKT    |
| 14-T-511        | KOOLWATERSTOF REST   |
| 14-T-611A/B     | NAFTA PRODUKT        |
| 14-T-803A/B     | PROPAAN PRODUKT      |
| 14-T-801        | BUTAAN PRODUKT       |
| 14-T-510        | VET RESTEN           |
| 14-T-501        | AFVALWATER PITCHTANK |
| 14-T-171        | AFGEKEURDE GRONDSTOF |
| 14-T-411A/B/C/D | HALF PRODUKT OPSLAG  |
| 14-T-211A/B/C/D | GRONDSTOF OPSLAG     |

ALGEMENE OPMERKINGEN

- HOOG PUNT VAN BESTRATING EL + 100,000 IS GELIJK AAN 2,50 NAP
- COORDINATEN / AFMETINGEN ZIJN IN MM TENZIJ ANDERS AANGEGEVEN
- REFERENTIEPUNTEN BM1# EN BM2# TE PLAATSEN VOLGENS ONDERSTAANDE COORDINATEN

Coördinaten

| Coördinaten systeem | DSL-01  |           | Rijksdriehoek |           |
|---------------------|---------|-----------|---------------|-----------|
|                     | Oost    | Noord     | X (Oost)      | Y (Noord) |
| B.M.#1              | 604.730 | 2.006.581 | 260453946     | 592970324 |
| B.M.#2              | 604.730 | 2.428.792 | 260489788     | 593389062 |

OPMERKINGEN

LIJST VAN PROCESINSTALLATIES

| EENHEID NUMMER | BESCHRIJVING   | BLAD | OPMERKINGEN |
|----------------|--|------|-------------|
| 00             | ALGEMEEN   | 001  |             |
| 01             | VOORBEHANDELING  | 001  |             |
| 02             | HEFA (HYDROGENATIE EN CONVERSIE) HYDROGENATIE EN CONVERSIE INSTALLATIE | 001  |             |
| 03             | WATERSTOF PRODUCTIE INSTALLATIE  | 001  |             |
| 04             | ZUURWATERWASSER EN AMINE BEHANDELING                                   | 001  |             |
| 05             | AFVALWATER VERZAMELING   | 001  |             |
| 06             | WATER TERUGWIN INSTALLATIE   | 001  |             |
| 07             | ZUUR GAS BEHANDELING   | 001  |             |
| 08             | AFGAS COMPRESSOR   | 001  |             |
| 09             | CONDENSAAT & STOOM   | 001  |             |
| 10             | FAKKEL   | 001  |             |
| 11             | NUTS VOORZIENINGEN   | 001  |             |
| 12             | NIET GEBRUIKT  | -    |             |
| 13             | NIET GEBRUIKT  | -    |             |
| 14             | TANKENPARK (VERLADING EN PRODUKT)                                      | 001  |             |
| 15             | SCHIEPSVERLADING   | 002  |             |
| 16             | BRANDBLUS INSTALLATIE  | 001  |             |
| 17             | KOELWATER INSTALLATIE  | 001  |             |
| 18             | ALGEMENE GEBOUWEN (INCL. CONTROLE KAMER)                               | 001  |             |

LIJST VAN GEBOUWEN

| GEBOUW NUMMER | BESCHRIJVING                     | BLAD | OPMERKINGEN |
|---------------|----------------------------------|------|-------------|
| 11-05         | WATERMETERGEBOUW                 | 001  |             |
| 14-01         | NIET PERMANENT VERLADINGSKANTOOR | 001  |             |
| 15-01         | SCHUILPLAATS OP AANLEGSTEIGER    | 002  |             |
| 18-02         | CENTRALE CONTROLE KAMER          | 001  |             |
| 18-03         | SS10 HOOFD ONDERSTATION          | 001  |             |
| 18-04         | GOS GAS ONTVANGST STATION        | 001  |             |
| 18-05         | SS12 ONDERSTATION                | 001  |             |

REFERENTIE

LEGENDA

- PAARSE WEGEN = EIGENDOM GRONINGEN SEAPORTS
- ENGINEERING DOOR = GRONINGEN SEAPORTS
- GEBOUW DOOR = GRONINGEN SEAPORTS
- KOSTEN GEDRAGEN = GRONINGEN SEAPORTS

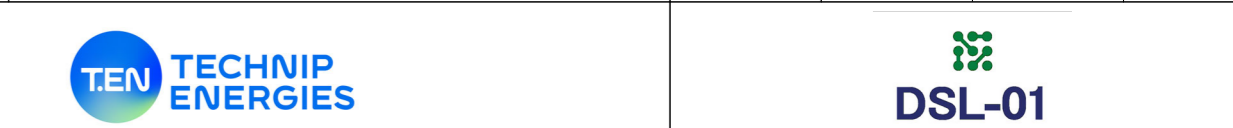
--- INRICHTINGSGRENS

WEG OVER OF ONDERDOOR GANG

LEIDING EN/OF KABELTRACE VAN GRSP

0 10 20 30 40 50 60 70 80 90 100m

| REV. | DATUM      | WIJZIGINGEN       | TEK. | VERIF. | SPEC. IOR. | PROJ. LEIDER |
|------|------------|-------------------|------|--------|------------|--------------|
| 10   | 25-04-2025 | ISSUE FOR REVIEW  | INA  | APIS   | APIS       | TFLI         |
| 09   | 05-03-2025 | ISSUE FOR REVIEW  | INA  | APIS   | APIS       | TFLI         |
| 08   | 20-02-2025 | ISSUE FOR REVIEW  | INA  | APIS   | APIS       | TFLI         |
| 07   | 20-08-2024 | ISSUE FOR REVIEW  | JNAN | WHOF   | PTEL       | TFLI         |
| 06   | 15-04-2024 | ISSUE FOR REVIEW  | JTOD | PTEL   | PTEL       | TFLI         |
| 05   | 29-03-2024 | ISSUE FOR REVIEW  | JTOD | PTEL   | PTEL       | TFLI         |
| 04   | 01-04-2021 | ISSUED FOR DESIGN | PPDT | WHOF   | RNRD       | TFLI         |



DSL-01 B.V.  
DELFTZUL, THE NETHERLANDS  
DSL-01 FEED UPGRADE

OVERALL PLOT PLAN (NL)

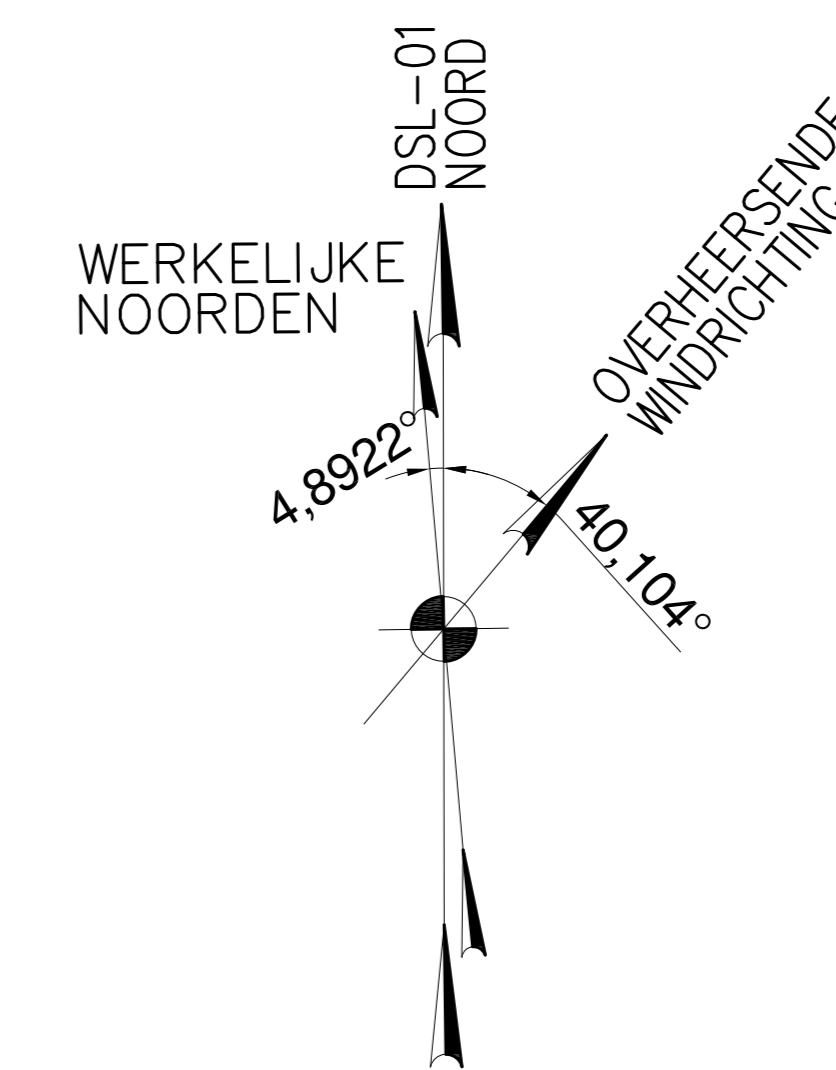
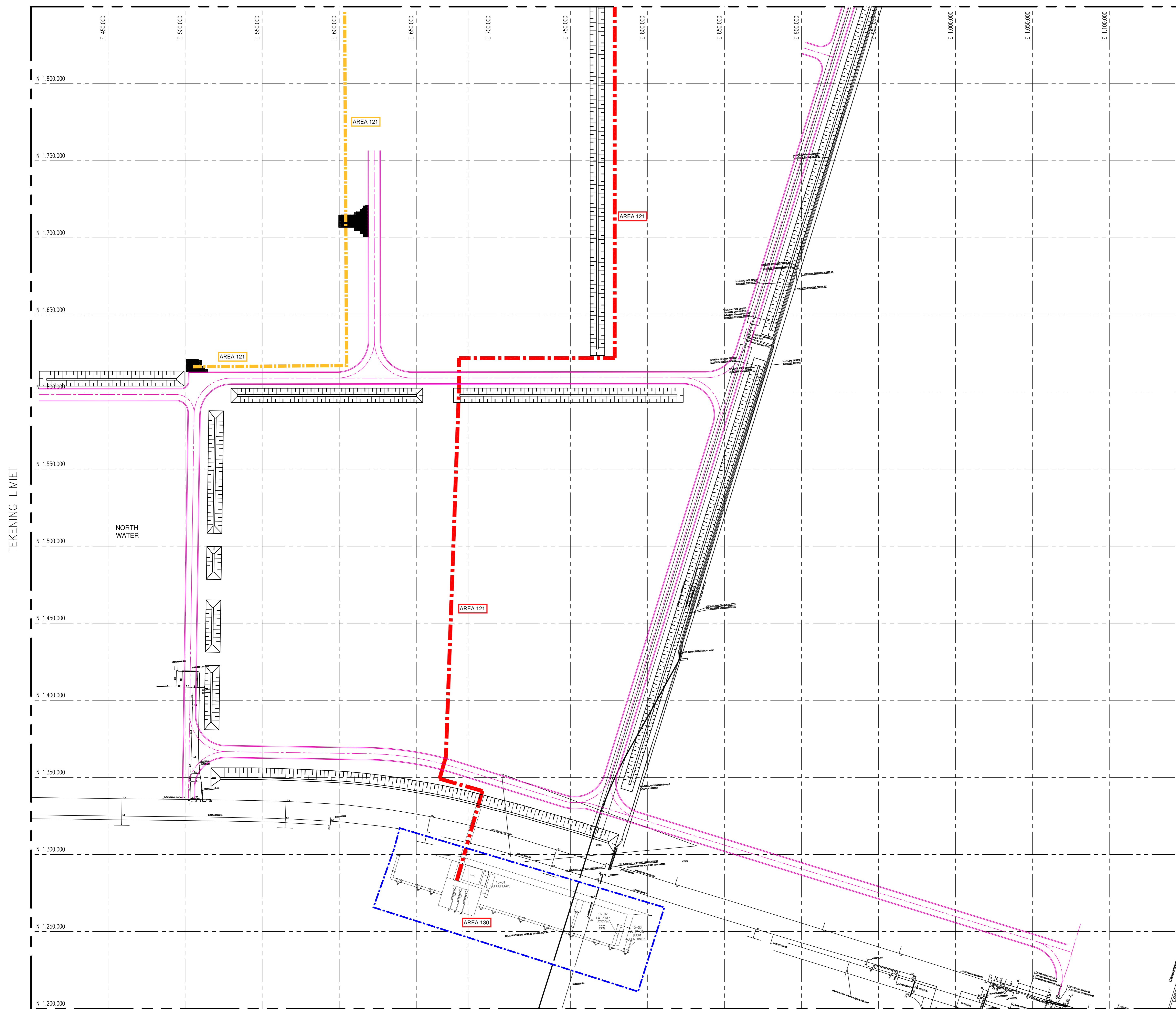
|        |        |                                   |
|--------|--------|-----------------------------------|
| Schaal | 1:1000 | 080561C_00_DW_0051_001_001,002,10 |
|--------|--------|-----------------------------------|

TEKENING VERVOLG LIJN N 1.850.000 VOOR VERVOLG ZIE PAGINA 2

Copyright - All Rights Reserved by Technip Energies. Exact information, unauthorized disclosure or use of the information is strictly prohibited and may result in serious legal consequences.



TEKENING VERVOLG LIJN N 1.850.000 VOOR VERVOLG ZIE PAGINA 1



ALGEMENE OPMERKINGEN

- HOOG PUNT VAN BESTRATING EL + 100,000 IS GELIJK AAN 2,50 NAP
- COORDINATEN / AFMETINGEN ZIJN IN MM TENZIJ ANDERS AANGEGEVEN
- REFERENTIEPUNTEN BM1# EN BM2# TE PLAATSEN VOLGENS ONDERSTAANDE COORDINATEN

| Coördinaten                   |         |                                      |            |
|-------------------------------|---------|--------------------------------------|------------|
| DSL-01<br>Coördinaten systeem |         | Rijksdriehoek<br>Coördinaten systeem |            |
| Oost                          | Noord   | X (Oost)                             | Y (Noord)  |
| B.M.#1                        | 604.730 | 2.006.581                            | 260453946  |
| B.M.#2                        | 604.730 | 2.428.792                            | 2604489788 |

OPMERKINGEN

LIJST VAN PROCESINSTALLATIES

| EENHEID NUMMER | BESCHRIJVING                               | BLAD | OPMERKINGEN |
|----------------|--|------|-------------|
| 00             | ALGEMEEN                                   | 001  |             |
| 01             | VOORBEHANDELING                            | 001  |             |
| 02             | HEFA HYDROGENATIE EN CONVERSIE INSTALLATIE | 001  |             |
| 03             | WATERSTOF PRODUCTIE INSTALLATIE            | 001  |             |
| 04             | ZUURWATERWASSER EN AMINE BEHANDELING       | 001  |             |
| 05             | AFVALWATER VERZAMELING                     | 001  |             |
| 06             | WATER TERUGWIN INSTALLATIE                 | 001  |             |
| 07             | ZUUR GAS BEHANDELING                       | 001  |             |
| 08             | AFGAS COMPRESSOR                           | 001  |             |
| 09             | CONDENSAAT & STOOM                         | 001  |             |
| 10             | FAKKEL                                     | 001  |             |
| 11             | NUTS VOORZIENINGEN                         | 001  |             |
| 12             | NIET GEBRUIKT                              | -    |             |
| 13             | NIET GEBRUIKT                              | -    |             |
| 14             | TANKENPARK (VERLADING EN PRODUKT)          | 001  |             |
| 15             | SCHIEPVERLADING                            | 002  |             |
| 16             | BRANDBLUS INSTALLATIE                      | 001  |             |
| 17             | KOELWATER INSTALLATIE                      | 001  |             |
| 18             | ALGEMENE GEBOUWEN (INCL. CONTROLE KAMER)   | 001  |             |

LIJST VAN GEBOUWEN

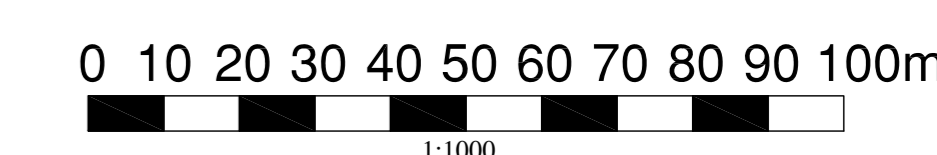
| GEBOUW NUMMER | BESCHRIJVING                            | BLAD | OPMERKINGEN |
|---------------|---|------|-------------|
| 11-05         | WATERMETERGEBOUW                        | 001  |             |
| 14-01         | NIET PERMANENT KANTOOR VOOR VERLADINGEN | 001  |             |
| 15-01         | SCHUILPLAATS OP AANLEGSTEIGER           | 002  |             |
| 18-02         | CENTRALE CONTROLE KAMER                 | 001  |             |
| 18-03         | SS10 HOOFD ONDERSTATION                 | 001  |             |
| 18-04         | GOS GAS ONTVANGST STATION               | 001  |             |
| 18-05         | SS12 ONDERSTATION                       | 001  |             |

REFERENTIE

LEGENDA

- PAARSE WEGEN = EIGENDOM GRONINGEN SEAPORTS
- ENGINEERING DOOR = GRONINGEN SEAPORTS
- GEBOUW DOOR = GRONINGEN SEAPORTS
- KOSTEN GEDRAGEN = GRONINGEN SEAPORTS

- INRICHTINGSGRENS
- WEG OVER OF ONDERDOOR GANG
- LEIDING EN/OF KABELTRACE VAN GRSP



| REV. | DATUM      | WIJZIGINGEN       | TEK. | VERIF. | SPEC. RUC. | PROJ. LEIDER |
|------|------------|-------------------|------|--------|------------|--------------|
| 09   | 05-03-2025 | ISSUE FOR REVIEW  | INAI | APIS   | APIS       | TFU          |
| 08   | 20-02-2025 | ISSUE FOR REVIEW  | INAI | APIS   | APIS       | TFU          |
| 07   | 20-08-2024 | ISSUE FOR REVIEW  | INAI | WHOF   | PTEL       | TFU          |
| 06   | 15-04-2024 | ISSUE FOR REVIEW  | JTOO | PTEL   | PTEL       | TFU          |
| 05   | 29-03-2024 | ISSUE FOR REVIEW  | JTOO | PTEL   | PTEL       | TFU          |
| 04   | 01-04-2021 | ISSUED FOR DESIGN | PPOT | WHOF   | RNRD       | TFU          |



DSL-01 B.V.  
DELFTZIJL, THE NETHERLANDS  
DSL-01 FEED UPGRADE

OVERALL PLOT PLAN (NL)

Schaal 1:1000

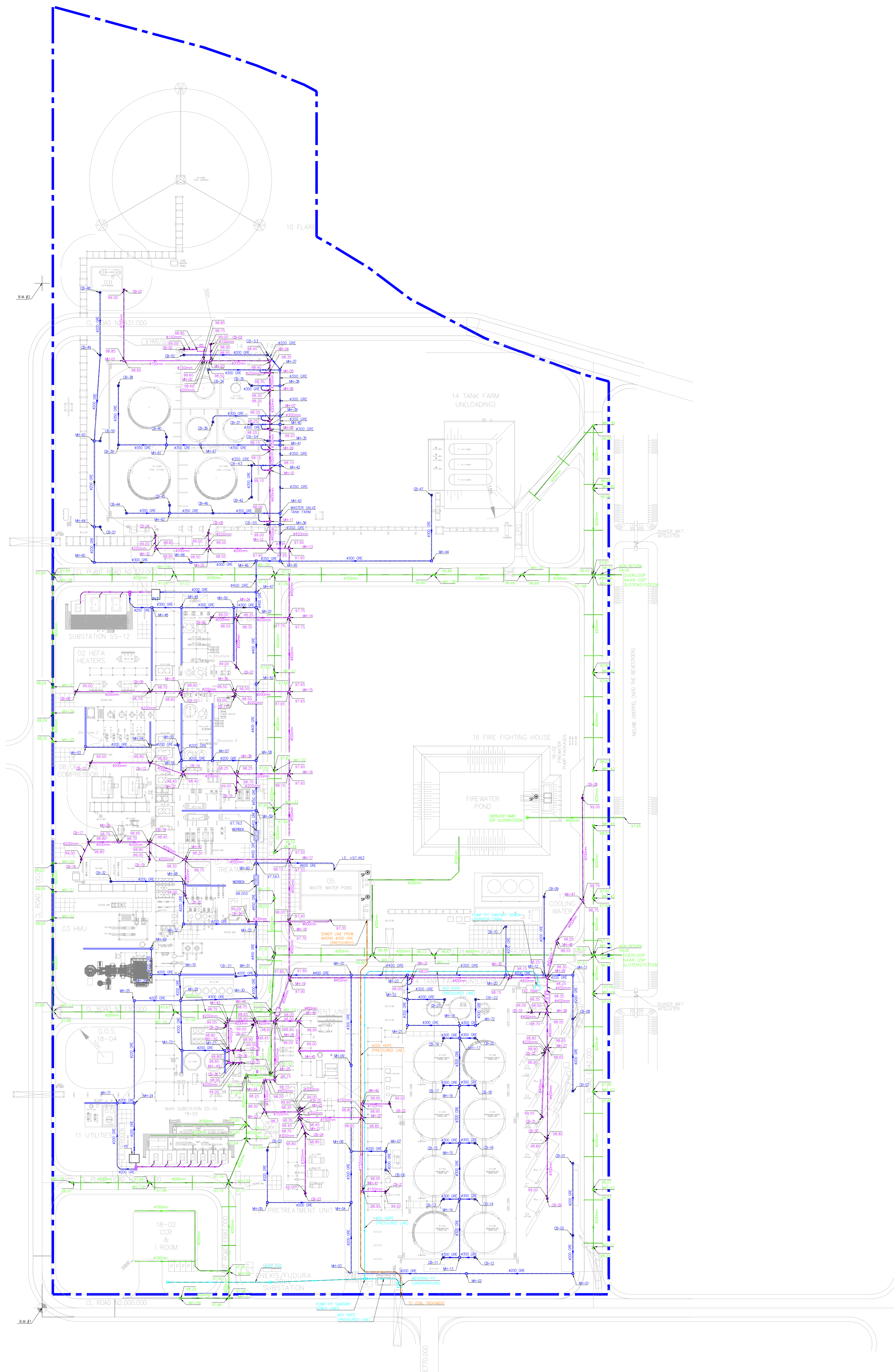
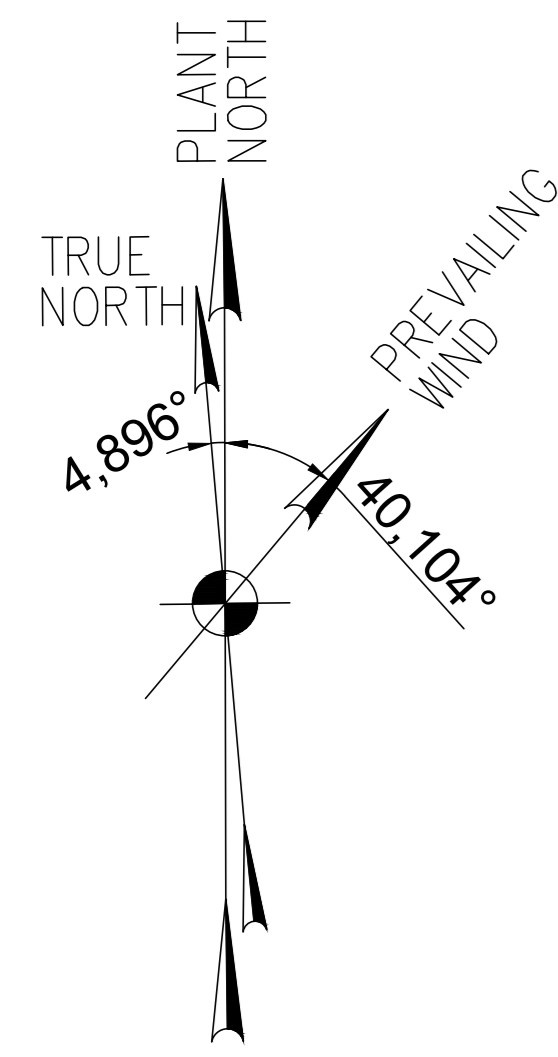
080561C\_00\_DW\_0051\_001\_001,002\_09

Copyright - All Rights Reserved by Technip Energies. No part of this document may be reproduced, stored in a retrieval system, or used in any form or by any means, electronic, mechanical, photocopying, recording, or otherwise, without the prior written permission of Technip Energies.

**Kenmerk** R003-1276528KLB-V06-ivl-NL

## **Bijlage 3 Rioleringstekening**





GENERAL NOTES

- HIGH POINT OF PAVING EL. +100.000 EQUALS +2,50M NAP
- COORDINATES/DIMENSIONS ARE IN MILLIMETER, UNLESS OTHERWISE NOTED
- REFERENCE POINTS B.M. #1 AND B.M. #2 TO BE PLACED ACC. FOLLOWING COORDINATES:

|        | Coordinates                |           |                                 |           |
|--------|----------------------------|-----------|---------------------------------|-----------|
|        | D.S.L.-1 Coordinate System |           | Rijksdriehoek Coordinate System |           |
|        | East                       | North     | X (East)                        | Y (North) |
| B.M.#1 | 600.000                    | 2.000.000 | 260448670                       | 593964177 |
| B.M.#2 | 600.000                    | 2.450.000 | 260487076                       | 593412535 |

NOTES

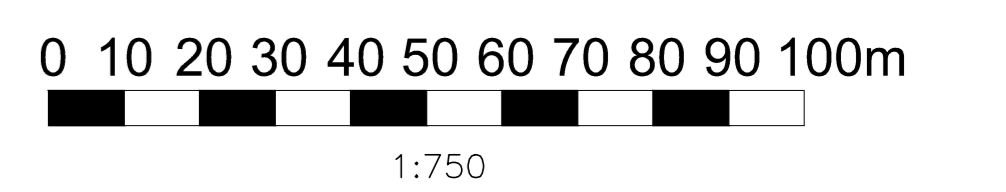
HOLDS

REFERENCES

- 080561C-00-DW-0051-001 OVERALL PLOT PLAN
- 080561C-00-DW-0051-001 INRICHTINGTEKENING DSL-01
- 080561C-00-DW-1425-001 WEGEN EN BESTRATING

LEGENDA/LEGEND

- Ø### PVC HEMLWATERRIOL/STORM WATER SEWER
- Ø### GRE SCHOONAFVALWATERRIOL/POTENTIAL CONTAMINATED STORM WATER SEWER
- Ø### GRE PROCESAFVALWATERRIOL/PROCESS WATER SEWER
- Ø### PVC SANITAIR AFVALWATERRIOL/SANITARY WATER SEWER
- Ø### GRE PROCESAFVALWATERLEIDING NAAR EXTERNE AFVALWATERZUIVERING/PROCESS SEWER LINE TO OSBL TREATMENT PLANT
- BW BRANDWATERLEIDING/FIREWATER LINE
- Ø### GRE KOELWATERLEIDING/COOLING WATER LINE
- Ø### GRE AARDGASLEIDING/NATURAL GAS LINE
- INRICHTINGSGRENS/BATTERY LIMIT
- OS OLIE / WATER SCHEIDER OIL / WATER SEPARATOR
- SP BEMONSTERINGSPUNT/SAMPLING POINT
- CB STRAATKOLK OF AFVOERPUT/CATCH BASIN
- NH INSPECTIEPUT/MANHOLE
- STUWPUT/WEIRBOX
- VETVANGPUT/FAT TRAP
- AFVOERGoot/DRAIN TRENCH



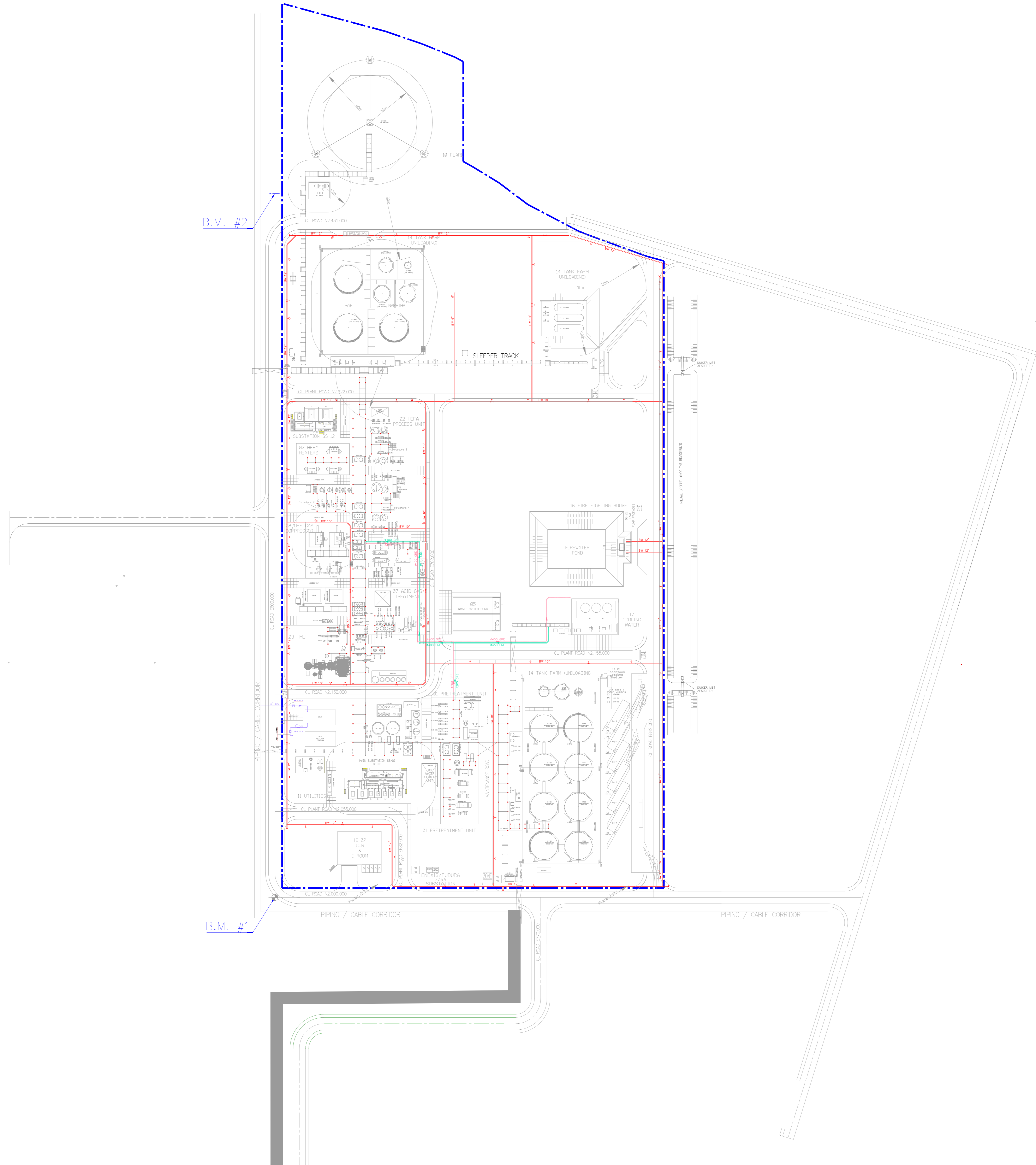
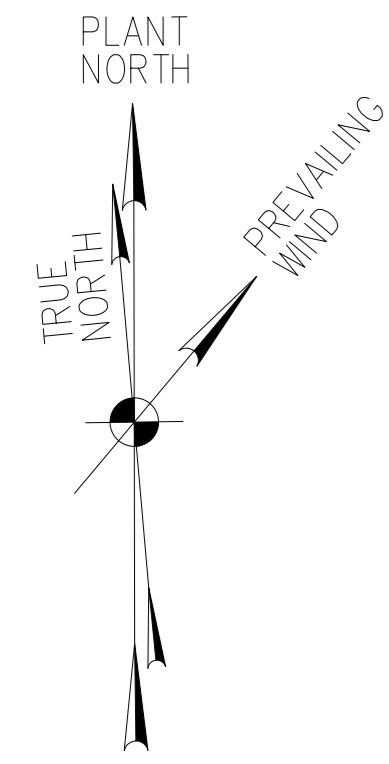
|      |            |  |      |       |            |            |
|------|------------|--|------|-------|------------|------------|
| 08   | 16-04-2025 | VOOR DEFINITIEF ONTWERP/ISSUE FOR DESIGN | RSAB | RG    | RG         | TFU        |
| 07   | 29-11-2024 | VOOR DEFINITIEF ONTWERP/ISSUE FOR DESIGN | JC   | DL    | RG         | TFU        |
| 06   | 26-09-2024 | VOOR DEFINITIEF ONTWERP/ISSUE FOR DESIGN | JC   | DC    | RG         | TFU        |
| 05   | 30-08-2024 | FOR INFORMATION                          | JC   | DC    | RG         | TFU        |
| 04   | 08-05-2024 | TER INFORMATIE                           | RSAB | RG    | RG         | TFU        |
| 03   | 12-08-2021 | TER INFORMATIE                           | RSAB | RG    | RG         | TFU        |
| 02   | 15-03-2021 | TER INFORMATIE                           | PSER | RG    | RG         | TFU        |
| 01   | 04-03-2021 | TER INFORMATIE                           | PSER | RG    | RG         | TFU        |
| 00   | 21-01-2021 | TER INFORMATIE                           | PSER | RG    | RG         | TFU        |
| REV. | DATE       | MODIFICATIONS                            | DWG  | CHECK | SPEC. ENG. | PROJ. MAN. |

TECHNIP ENERGIES

DSL-01 B.V.  
 DEFLZIJL, THE NETHERLANDS  
 DSL-01 FEED UPGRADE

CONCEPT ONTWERP/CONCEPT DESIGN  
 ONDERGRONDSE PIJPLEIDINGEN EN UTILITIES/  
 UNDERGROUND PIPING AND UTILITIES





ALGEMENE OPMERKINGEN

1. HOOGSTE PUNT BESTRATING EL. +100.000 GELIJK AAN +2,50M NAP
2. COORDINATEN/AFMETINGEN ZIJN IN MILLIMETER, TENZIJ ANDERS AANGEGEVEN
3. REFERENTIE PUNTEN B.M. #1 EN B.M. #2 TE PLAATSEN AAN HAND VAN DE VOLGENDE COORDINATEN:

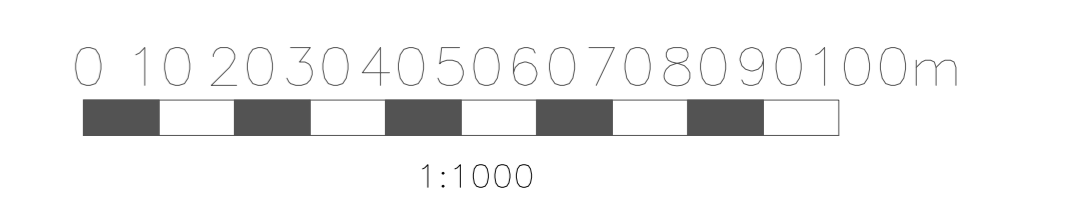
|         | Coördinaten                 |           |                                  |           |
|---------|-----------------------------|-----------|----------------------------------|-----------|
|         | D.S.L.-1 Coördinaat Systeem |           | Rijksdriehoek Coördinaat Systeem |           |
|         | Oost                        | Noord     | X (Oost)                         | Y (Noord) |
| B.M. #1 | 600.000                     | 2.000.000 | 260448670                        | 592964177 |
| B.M. #2 | 600.000                     | 2.450.000 | 260487076                        | 593412535 |

REFERENTIES

- 080561C-00-DW-0051-001 INRICHTINGTEKENING DSL-01  
 080561C-00-DW-1425-001 WEGEN EN BESTRATING  
 080561C-00-DW-6100-191 BRANDWATER SYSTEMEN

LEGENDA / LEGEND

- BW BRANDWATERLEIDING / FIREWATER LINE
- $\phi 500$  GRE KOELWATERLEIDING / COOLING WATER LINE
- 4" CS AARDGASLEIDING / NATURAL GAS LINE
- - - INRICHTINGSGRENS / BATTERY LIMIT



| REV. | DATUM    | WIJZIGINGEN                                | DWG  | CHECK | SPEC. ENG. | PROJ. MAN. |
|------|----------|--|------|-------|------------|------------|
| 08   | 16-04-25 | VOOR DEFINITIEF ONTWERP / ISSUE FOR DESIGN | RSAB | RG    | RG         | TFLJ       |
| 07   | 29-11-24 | VOOR DEFINITIEF ONTWERP / ISSUE FOR DESIGN | RSAB | RG    | RG         | TFLJ       |
| 06   | 26-09-24 | VOOR DEFINITIEF ONTWERP / ISSUE FOR DESIGN | RSAB | RG    | RG         | TFLJ       |
| 05   | 30-08-24 | TER INFORMATIE/FOR INFORMATION             | RSAB | RG    | RG         | TFLJ       |
| 04   | 08-05-24 | TER INFORMATIE/FOR INFORMATION             | RSAB | RG    | RG         | TFLJ       |
| 03   | 12-08-21 | TER INFORMATIE/FOR INFORMATION             | RSAB | RG    | RG         | TFLJ       |
| 02   | 15-03-21 | TER INFORMATIE/FOR INFORMATION             | PSER | RG    | RG         | TFLJ       |
| 01   | 04-03-21 | TER INFORMATIE/FOR INFORMATION             | PSER | RG    | RG         | TFLJ       |
| 00   | 21-01-21 | TER INFORMATIE/FOR INFORMATION             | PSER | RG    | RG         | TFLJ       |



DSL-01 B.V.  
 DELFZIJL, NEDERLAND  
 DSL-01 FEED UPGRADE

CONCEPT ONTWERP/CONCEPT DESIGN  
 ONDERGRONDSE PIJPLEIDINGEN EN UTILITIES/  
 UNDERGROUND PIPING AND UTILITIES

|                  |                                |            |
|------------------|--------------------------------|------------|
| Schaal<br>1:1000 | 080561C 00 DW 1443 001 002 002 | Rev.<br>08 |
|------------------|--------------------------------|------------|

Dit document of deze tekening is eigendom van Technip Energies en zal niet worden verspreid, gereproduceerd, gekopieerd, openbaar gemaakt of gebruikt zonder voorafgaande schriftelijke toestemming van Technip Energies.

**Kenmerk** R003-1276528KLB-V06-ivl-NL

## **Bijlage 4      Stand der Veiligheidstechniek**

| <b>Stand der veiligheidstechniek</b><br><i>Algemene procedures en voorzieningen</i>  |    | Opgesteld door: TAUW (Kor Buist)<br>Datum: 03-07-2022<br>Bedrijf :DSL-01 B.V. |
|--|---|---|
| <b>Onderdeel stand der veiligheidstechniek</b>   | <b>Voldoet aan SVT / toelichting</b>  |   |
| <b>Algemeen</b>  |   |   |
| <p>Het beleid van DSL-01 B.V. inzake het milieu is vastgelegd in een Milieubeleidsverklaring waarin de volgende aspecten in acht worden genomen:</p> <ul style="list-style-type: none"> <li>• Nakomen en naleven van milieuvorschriften die door de overheid zijn gesteld in milieuvergunningen</li> <li>• Anticiperen op komende wetgeving</li> <li>• Het bedrijven en onderhouden van installaties en processen die zo weinig als mogelijk nadelige gevolgen hebben voor milieu en veiligheid</li> <li>• Het ontwikkelen van minder milieuschadelijke grond- en hulpstoffen, produkten en processen (bijvoorbeeld biologisch afbreekbare stoffen)</li> <li>• Het stimuleren van milieubewust handelen bij alle personeelsleden</li> <li>• Het opbouwen van een goede relatie met overheden en derden</li> </ul> <p>Het milieuzorgsysteem (MZS) bestaat uit verschillende hoofdstukken:</p> <ol style="list-style-type: none"> <li>1. Organisatie milieuzorg</li> <li>2. Integratie milieu en veiligheidszorg in bedrijfsvoering</li> <li>3. Taken bij normaal bedrijf</li> <li>4. Taken bij storingen en calamiteiten</li> <li>5. Procedures</li> <li>6. Instructies</li> <li>7. Metingen en registraties</li> <li>8. Interne controles en inspecties</li> <li>9. Voorlichting en opleiding</li> <li>10. Interne en externe rapportages</li> <li>11. Externe controles</li> <li>12. Milieustoffenregistratie</li> <li>13. Milieufactieprogramma</li> </ol> | Ja, deze zal opgezet zijn ruim voor ingebruikname confirm de vereisten.   |   |
| Het kwaliteitszorgsysteem (KZS) van DSL-01 B.V. is gecertificeerd volgens de norm:   | NVT (DSL-01 B.V. beschikt nu niet over een KZS)   |   |
| Datum laatste validatie kwaliteitszorgsysteem heeft plaatsgevonden in:   | NVT   |   |
| Het certificaat is geldig tot:   | NVT   |   |
| <b>Procedures</b>  |   |   |
| Calamiteitenplan.<br>DSL-01 B.V. beschikt over een een calamiteitenplan voor wat betreft de calamiteitenbestrijding zijn zowel de bedrijfsleiding als de gemeentelijke brandweer hierin betrokken.   | Ja, deze zal opgezet zijn ruim voor ingebruikname confirm de vereisten.   |   |
| Systeem voor vroegtijdige herkenning van onvoorziene gebeurtenissen; evaluatie van calamiteiten. Naast de diverse detectoren in gebouwen om brand en rook te signaleren is het personeel uitvoerig geïnstrueerd over het vroegtijdige herkennen en signaleren van onvoorziene gebeurtenissen. Binnen DSL-01 B.V. worden bovendien ongewenste gebeurtenissen en onveilige situaties gesignaleerd, vastgelegd en onderzocht.   | Ja, wordt nader invulling aangegeven.   |   |
| Systeem voor het informeren van belanghebbenden.<br>Naast het informeren van de formele relaties (bevoegd gezagen) zijn door DSL-01 B.V. protocollen opgesteld op welke wijze er gecommuniceerd wordt met andere buurtbedrijven, omwonenden en het publiek.  | Ja, dit zal opgezet zijn ruim voor ingebruikname confirm de vereisten.  |   |
| Werkvoorschriften.<br><i>De werkvoorschriften voor reguleren en afwijkende situaties zijn vastgelegd in het KZS.</i>   | Ja, dit wordt opgenomen in de procedures en trainingen  |   |
| Oefeningen.<br><i>Oefeningen vinden regelmatig plaats.</i>   | Ja, dit wordt opgenomen in de procedures en trainingen  |   |
| Fail safe ontwerp  | Ja, in het ontwerp is een volledige HAZID (Hazards Identification) en HAZOP (Hazards & Operability study) uitgevoerd, inclusief een SIL (Safety Integrity Study) study om tot een fail-safe ontwerp te komen. Voorbeelden hiervan zijn een volledig fakkelsysteem om systemen snel drukvrij en veilig te kunnen maken, drukveiligheidsventielen, dubbele en/of onafhankelijke monitoring van proces-condities en automatische uitschakeling van apparaten of systemen indien teveel afgeweken wordt van veilige procesparameters. |   |
| Register met relevante informatie van aanwezige stoffen.<br>Om de productie alsmede de voorraden grondstoffen en producten goed te kunnen beheersen wordt door DSL-01 B.V. een database systeem gebruikt.  | Ja, deze zal opgezet zijn ruim voor ingebruikname confirm de vereisten.   |   |
| Procedures voor het verwerken en opslaan van afvalwater<br><i>De procedures hiervoor zijn opgenomen in het KZS.</i>  | Ja, dit wordt opgenomen in de procedures en trainingen  |   |
| Wijzigingen aan installaties vinden plaats met eenduidige procedures.<br><i>De procedures hiervoor zijn opgenomen in het KZS</i>   | Ja, dit wordt opgenomen in de procedures en trainingen  |   |

|   |  |
|---|--|
| Te nemen verbeteracties na calamiteit.  | Ja, dit wordt opgenomen in de procedures en trainingen   |
| <b>Algemene technische voorzieningen</b>  |  |
| Inrichting rioolsysteem is zodanig dat onvoorziene lozingen niet onopgemerkt kunnen plaatsvinden.   | Ja, één van de acties die DSL-01 B.V. uitvoert is de controle (bemonstering) van afvalwater in de opvangbassins alvorens het afvalwater wordt doorgepompt naar North Water. Hierdoor worden eventuele onvoorziene lozingen gedetecteerd. Indien het afvalwater niet aan de lozingseisen voldoet, wordt het gebufferd en verwijderd door een externe verwerken. Hiermee wordt voorkomen dat een onvoorziene lozing onopgemerkt de inrichting verlaat. |
| Er is een mogelijkheid voor het tijdelijk bergen van stoffen die vrijkomen bij een onvoorziene gebeurtenis.   | Ja, DSL-01 B.V. heeft hiertoe twee opvangbassins voorzien. Indien de opvangcapaciteit in de opvangbassins niet toereikend is kan de een eventuele onvoorziene lozing in het riool of de nabijgelegen sloot worden gebufferd. De sloot rondom het terrein is hiertoe voorzien van een duiker met een handmatige afsluiter.  |
| Er is een speciale voorziening voor de afvoer en behandeling van afvalwater dat ontstaat bij spoeloperaties, het opstarten en het al dan niet gepland uit bedrijf nemen voor zover het afvalwater qua aard afwijkt van de reguliere kwaliteit.  | Ja, de opvangbassins   |
| Er zijn op afroep voldoende geschikte blusvoorzieningen beschikbaar.  | Ja   |
| De binnen de inrichting aanwezige wegen zijn duidelijk aangegeven en bewegwijzerd. Op het bedrijfsterrein is de maximaal toelaatbare snelheid duidelijk weergegeven.  | Ja, langs alle wegen die het DSL-01 terrein binnenkomen staan borden met de maximale snelheid. Bovendien dient iedereen voor betreden van het terrein een veiligheidsvideo en -test te maken waarin deze maximale snelheid ook aan bod komt. Alle wegen zijn voorzien van benamingen en iedereen die het terrein op komt, krijgt bij de poort/receptie een plattegrond van het DSL-01 terrein met uitleg.  |
| Bij onderdelen van de installatie en of activiteiten met waterbezwaarlijke stoffen is aangegeven op welke wijze eventuele brand bestreden dient te worden.  | Ja   |
| Het terrein is dusdanig omheind dat voorkomen wordt dat onbevoegden toegang hebben.   | Ja, het terrein is onderdeel van het Chemiepark Delfzijl en dit is een afgesloten, omhekt en bewaakt terrein.  |
| Het terrein is goed toegankelijk voor alle voertuigen die in geval van een calamiteit toegang tot de inrichting moeten hebben.  | Ja   |
| <b>Voorzieningen en maatregelen voor het opruimen van drijfslagen</b>   |  |
| Binnen een half uur na constatering van het incident is de organisatie voor het beheersen/verwijderen van een drijfslag gemobiliseerd. De organisatie (voor het beheersen van een calamiteit) heeft voldoende mandaat om zonodig (externe) bedrijven in te kunnen schakelen.  | Ja, dit wordt opgenomen in de contractering met de te contracteren externe partij  |
| De maatregelen en voorzieningen zijn erop gericht dat binnen maximaal 2 uur na constatering van het incident de drijfslag beheersbaar moet zijn. NB Bedrijven kunnen voor de termijn van 2 uur niet terugvallen op Rijkswaterstaat, dus kunnen voor wat betreft de haalbaarheid van 2 uur niet verwijzen naar RWS. Voor bestrijding van drijfslagen op open water heeft RWS een mobilisatietijd nodig van 1,5 tot 4 uur. Reden daarvoor is dat er eerst naar toe gevaren moet worden. | Ja, dit wordt opgenomen in de contractering met de te contracteren externe partij  |
| Er zijn aantoonbare afspraken gemaakt met een extern bedrijf om drijfslagen te verwijderen. De afspraken zijn van dienaar dat het bedrijf binnen 2 uur na constatering van het incident daadwerkelijk aan de slag gaat.   | Ja, dit wordt opgenomen in de contractering met de te contracteren externe partij wat ruim voor de ingebruikname zal zijn voltooid   |
| Het betreffende externe bedrijf waarmee afspraken (eventueel contract) zijn gemaakt, beschikt aantoonbaar over de organisatie, middelen en ervaring om adequaat drijfslagen te verwijderen.   | Ja, dit zal als basis meegenomen worden in de keuze van de externe partij:   |
| Het betreffende externe bedrijf is met naam en toenaam alsmede recente contactgegevens opgenomen in het noodplan.   | Ja, dit zal na contractering worden toegevoegd aan het noodplan.   |
| Het betreffende externe bedrijf is in staat om binnen 2 tot 6 uur na constatering van het incident ter plaatse te zijn met materieel om de drijfslag op te ruimen.  | Ja, dit wordt opgenomen in de contractering met de te contracteren externe partij wat ruim voor de ingebruikname zal zijn voltooid   |

De informatie die nodig is om een realistische opruimtijd (OT) te bepalen en adequate keuzen/beslissingen te kunnen nemen, is aanwezig en actueel. Het gaat daarbij om de volgende informatie:

- a. Factoren die invloed hebben op de verspreiding van drijfvlagen (scheepvaartverkeer, inname en lozingspunten derden, windintensiteit en richting), de schade die drijfvlagen kan toebrengen (nabijheid van oevers en de aard van de oever denk aan natuur-, recreatiewaarde)
- b. Nabijheid van natuurgebieden
- c. Nabijheid van drinkwaterinnamepunten
- d. Afsluitmogelijkheden van haven waar incident plaatsvindt
- e. Bedrijven in de nabijheid die voor hun bedrijfsactiviteiten afhankelijk zijn van het oppervlaktewater waar het incident plaatsvindt.

Ja, dit zal als basis meegenomen worden in de keuze & contractering van de externe partij:

Er is een overzicht van de inzetbare opruimcapaciteit (OC), onderscheiden naar eigen en extern bedrijf. De inzetbare capaciteit is afhankelijk van de technische voorziening die ingezet wordt.

Daarvan moet bekend zijn:

- a. De aard en toepasbaarheid van de technische voorziening voor het oppervlaktewater waar het incident kan plaatsvinden
- b. De beschikbaarheid van de mogelijk in te zetten voorziening in de regio
- c. De capaciteit van de mogelijk in te zetten technische voorziening

Ja, dit wordt opgenomen in (de bijlagen van) het noodplan



**Stand der veiligheidstechniek**  
*Overslag in eenheden*



Opgesteld door: TAUW (Kor Buist)  
Datum: 03-07-2022  
Bedrijf :DSL-01 B.V.

Het verplaatsen van een of meerdere verpakkingseenheden (flessen, cans, drums, zakken, bigbags en/of multiboxen) van een transportmiddel naar een ander transportmiddel dan wel naar een bewaarinrichting

| Onderdeel stand der veiligheidstechniek   | Voldoet aan SVT / toelichting  |
|---|--|
| <b>Algemeen</b>   |  |
| Verlading vindt alleen plaats op de overslagplaats.   | Ja   |
| De verlading vindt plaats in aanwezigheid van voldoende deskundig en gekwalificeerd personeel (zoals onder andere is aangegeven in de "leidraad vergunningverlening stuwadoorsbedrijven").  | Ja, dit wordt opgenomen in de kwalificaties van aan te nemen personeel en in de procedures en trainingen   |
| Op de overslagplaats vinden geen andere activiteiten plaats dan die direct met de verlading van doen hebben.  | Ja   |
| Op de overslagplaats vindt geen opslag plaats anders dan de dagvoorraad.  | Ja   |
| Er zijn voorzieningen en procedures om eventueel gelekt/gemorst product zo spoedig mogelijk op te kunnen ruimen.  | In geval van een lek of een morsing van vloeibaar product zijn er verschillende voorzieningen en procedures die gevolgd kunnen worden om dit zo snel mogelijk op te ruimen. De exacte procedures worden ruim voor gebruikname vastgesteld.<br>Voorzieningen omvatten<br>- absorberend materiaal (bijvoorbeeld korrels, matten, rollen, sokken en kussens, welke het gelekte of gemorste vloeibare product opnemen en verdere verspreiding voorkomen.)<br>- lekbakken en barrières (deze kunnen rond de lekplaats worden geplaatst om de verspreiding van het gemorste materiaal te beperken)<br>- persoonlijke beschermingsmiddelen (Afhankelijk van het soort vloeibaar product kunnen PBM's nodig zijn om de mensen die de schoonmaak uitvoeren te beschermen, bijvoorbeeld handschoenen, gezichtsbescherming, chemisch bestendige kleding, etc.)<br>- afvalcontainers voor het veilig verzamelen en afvoeren van het geabsorbeerde product.<br><br>Ten aanzien van procedures omtrent lekken en morsen:<br>1) Veiligheid Eerst! Afhankelijk van de aard van het gemorste vloeibare product, moet het gebied mogelijk worden geëvacueerd en/of geventileerd om het risico op blootstelling of letsel te minimaliseren. Bovendien moeten de juiste PBM's worden gedragen.<br>2) Beperk het Gebied: Gebruik lekbakken of barrières om het gebied waar het product is gemorst te beperken en verdere verspreiding te voorkomen.<br>3) Breng absorberende materialen aan: Gebruik het absorberende materiaal om het gelekte of gemorste product op te nemen. Begin aan de buitenrand en werk naar binnen toe om verdere verspreiding te voorkomen.<br>4) Verzamel en verwijder het gelekte/gemorste materiaal, inclusief eventueel absorbtie materiaal. Nadat het vloeibare product volledig is geabsorbeerd, verzamel het materiaal en doe het in een goedgekeurde afvalcontainer.<br>5) Reinig het gebied: Na het verwijderen van het geabsorbeerde product, reinig het gebied grondig om eventuele resten te verwijderen.<br>6) Documentatie: Houd gedetailleerde verslagen bij van het incident, inclusief de aard van het gelekte of gemorste product, de hoeveelheid, de acties die zijn ondernomen om op te ruimen en de uiteindelijke verwijdering.<br>7) Training: Zorg ervoor dat alle personeelsleden die mogelijk betrokken kunnen zijn bij het opruimen van lekkages en morsingen goed getraind zijn in de juiste procedures. De specifieke voorzieningen en procedures kunnen variëren afhankelijk van de aard van het vloeibare product dat is gemorst, de omvang van het morsen, de locatie en de van toepassing zijnde regelgeving. |
| De verpakking is deugdelijk en verkeert in goede staat van onderhoud (bijvoorbeeld goedgekeurd door het R.V.I.) en voldoet aan de vervoers- en overslagwijze zoals dat is voorgeschreven in de vervoerswetgeving (ADR, RID, ADN en RVGZ). | Ja   |
| <b>Bouwkundige aspecten</b>   |  |
| De grenzen van de overslagplaats zijn aangegeven (fysisch/belijning).   | De overslaglocatie en haar begrenzing zal worden aangegeven middels duidelijk (fluorescerende) gele belijning op de grond, informatieborden en aanrijdbeveiligingen.   |
| De verpakking is deugdelijk en verkeert in goede staat van onderhoud en voldoet aan de vervoers- en overslagwijze zoals dat is voorgeschreven in de vervoerswetgeving (ADR, RID, ADN en RVGZ).  | Alle grondstoffen, producten, bijproducten en chemicaliën worden in bulk aangevoerd danwel afgevoerd. Enkel sommige chemicaliën en additieven worden verpakt aangeleverd. Vervoersmiddelen dienen te voldoen aan minimale eisen teneinde ingezet te mogen worden voor vervoer naar/vanaf DSL-01. Deze vervoersmiddelen worden bij aankomst bij DSL-01 terrein visueel geïnspecteerd en de begeleidende papieren worden bij de receptie gecontroleerd op correctheid. Mocht een vervoersmiddel technische gebreken hebben, dan wordt toegang tot de site geweigerd.   |
| De overslagplaats is voorzien van een vloeistofdichte vloer.  | Ja, de overslagplaatsen worden overeenkomstig de voorschriften uit de relevante BBT-documenten uitgevoerd.   |
| Het eventueel gelekt/gemorst product kan niet direct (ongecontroleerd) afstromen naar oppervlaktwater of een zuiveringstechnische voorziening.  | Ja   |
| De vloeistofdichte vloer is zodanig uitgelegd dat er een geleidelijke overgang is tussen deze vloer en de bestrating erom heen (waardoor het "dansen" van de producten op het vervoermiddel wordt voorkomen).                             | Ja, daar waar een vloeistofdichte vloer voorzien dient te worden.  |
| <b>Technische voorzieningen</b>   |  |
| Op de overslagplaats zijn adequate brandblusmiddelen binnen handbereik en direct inzetbaar aanwezig.  | Elke overslagplaats is voorzien van kleine blusmiddelen geschikt voor directe inzetbaarheid door de personen aanwezig en voor de stoffen die daar verladen worden. DSL-01 zal ook een speciale logistieke operator aanstellen die verantwoordelijk is voor toezicht bij overslag en voor het correct en veilig overstapen van stoffen. Bij elke overslagplaats zijn ook monitoren en/of bluskanonnen aanwezig. Alle overslagplaatsen worden middels camera's permanent bewaakt vanuit de controlekamer. Bij brand kan er ook direct vanuit de controlekamer worden ingegrepen.   |
| De overslagplaats is voorzien van goede verlichting en kan (aanrijdingsproof) worden afgezet.   | De gehele site van DSL-01, de overslagplaatsen in het bijzonder, zullen tijdens gebruik goed verlicht zijn. Alle overslagplaatsen worden uitgerust met aanrijdbeveiligingen (stalen beugels met zwart/gele bestreping). Na parkeren zullen tankauto's gezekerd worden met een rolbeveiliging zodat de tankwagens niet onverhoopt kan gaan rollen.  |
| <b>Overige aspecten</b>   |  |
| De overslagapparatuur (c.q. hijsgereedschappen) voldoet aan de daarvoor geldende wettelijke bepalingen en eisen (zoals bijv. P 88-2, P115-1, P156, CP7), alsmede ondergaat het de daarin voorgeschreven periodieke inspecties.            | Alle vaste en mobiele hijsinstallaties op het terrein van DSL-01 dienen minimaal te voldoen aan de geldende wettelijke eisen. Dit wordt voor zowel aankoop als inzet van dergelijke apparatuur procedureel vastgelegd. Na ingebruikname door DSL-01 van deze apparatuur wordt deze opgenomen in het algehele onderhoudsprogramma van DSL-01 en is het de verantwoordelijkheid van de onderhoudsafdeling om deze apparatuur te inspecteren en onderhouden conform de voorschriften en de wettelijke eisen. Om het onderhoudsprogramma adequaat te kunnen managen wordt een MMS (maintenance management systeem) geïmplementeerd waarin alle onderhoudsbehoeften, voorschriften en eisen staan vermeld en waarbij er automatisch melding gemaakt wordt van de noodzaak tot inspectie, reparatie of vervanging.   |

|  |   |   |
|--|---|---|
| <b>Stand der veiligheidstechniek</b><br><i>Bulk overslag van/naar een schip</i>  |    | Opgesteld door: TAUW (Kor Buist)<br>Datum: 03-07-2022<br>Bedrijf: DSL-01 B.V. |
| <i>Het verplaatsen van stoffen van een schip naar een tankauto, spoorwag, opslag- of procesvat dan wel een verplaatsing vanuit een vat naar een schip met behulp van bijvoorbeeld een leiding, jakobs ladder of grijper.</i>   |   |   |
| <b>Onderdeel stand der veiligheidstechniek</b>   |   | <b>Voldoet aan SVT / toelichting</b>  |
| <b>Algemeen</b>  |   |   |
| De verlading vindt plaats in aanwezigheid van personeel met een deskundige opleiding/training en kwalificatie. In de directe nabijheid van het toezien personeel dient een noodstopchakelaar aangebracht te zijn. Het toezicht kan eventueel op afstand plaatsvinden met behulp van TV-bewaking onder voorwaarde dat de noodstopchakelaar in de directe nabijheid naast de monitor is geplaatst.   | DSL-01 zal een aparte logistieke operator aannemen die beschikt over de juiste opleiding en achtergrond en die intern verder getraind zal worden om ter plekke van de verlading toezicht te houden op de verladingsactiviteiten. Toezicht op de verlading gebeurt tevens vanuit de centrale controlekamer middels permanente camerabewaking op elke verladingslocatie. Elke verladingslocatie is uitgerust met een noodstopchakelaar en de noodstop kan ook geactiveerd worden vanuit de controlekamer.   |   |
| Er mag alleen continu overslag plaatsvinden van/naar de uitsluitend daarvoor bestemde opslagvoorziening middels de daartoe aangebrachte aansluitpunten.  | Ja, deze instructie wordt opgenomen in de procedures en trainingen  |   |
| De overslag moet lekvrj geschieden.  | Bij de verlading van onvlambare stoffen en vloeibare gassen zal gebruikt gemaakt worden van zogenaamde 'dry-break'-koppelingen, waarbij er geen morsing optreedt indien de verbinding onbedoeld verbroken wordt. Voor de verlading van grondstoffen en gelijkwaardige stoffen wordt onder de verbinding tussen vervoersmiddel en de installatie altijd een lekbak geplaatst zodat een eventuele kleine morsing niet op de grond terecht komt. Alle verladingslocaties zijn bovendien uitgerust met een lekdichte vloer en aangesloten op het procesafvalwatersysteem. |   |
| Bij het begin van het verladen van een brandgevaarlijk product waarbij elektrostatische oplading mogelijk is, naar een tank waarin een explosief gasmengsel aanwezig kan zijn, moet gedurende een aanlooperperiode als gesteld in het rapport "gevaaren van statische elektriciteit in de procesindustrie" van de stuurgroep RIVEPRO, de vloeistofsnelheid in de vullleiding worden beperkt tot 1 m/sec; er moeten voorzieningen zijn om deze beperkingen te waarborgen. | Alle vervoersmiddelen dienen voorafgaand aan verlading te worden geaard middels een aardlekverbinding, die op alle verladingslocaties aanwezig is, voordat de verladingsinstallatie gekoppeld mag worden met het vervoersmiddel. Het is 1 van de taken van de logistieke operator om hierop toezicht te houden. Na aarden kan koppeling geschieden. De laadsnelheid zal beperkt worden zodat opbouw van statische elektriciteit beperkt is. De beladingsnelheid wordt gecontroleerd/beheerd door de beladingscomputer vanuit de centrale controlekamer.               |   |
| Elk aansluitpunt voor los- en laadarmen of -slangen, moet zijn voorzien van een duidelijk zichtbaar en leesbaar opschrift, waaruit blijkt voor welk product het aansluitpunt wordt gebruikt.   | Elk aansluitpunt zal over een duidelijk leesbaar bord beschikken waarop het nummer/code van het verladingspunt staat en de stoffen die daar verladen worden. Ook zal er duidelijk vermeld worden welke PBM's verplicht zijn en of het een ATEX omgeving is.   |   |
| Bij de overslag dient gebruik gemaakt te worden van zogenaamde "break-away" (of gelijkwaardige) koppelingen.   | Dry-break koppelingen zijn voorzien voor alle producten die op schip verladen worden (DLB en nafta)   |   |
| <b>Bouwkundige aspecten</b>  |   |   |
| Indien een los- of laadslang niet wordt gebruikt moet deze knivrij worden opgeborgen en tegen beschadiging zijn beschermd.   | Ja, deze instructie wordt opgenomen in de procedures en trainingen  |   |
| Los- en laadarmen of -slangen moeten zodanig worden ondersteund, beschermd en bediend, dat beschadiging tijdens het gebruik wordt voorkomen.   | Laadbomen voor schepen zijn hydraulisch bedienbaar vanaf een veilige plaats en kunnen alleen binnen hun toegestane werkgebied opereren. Deze zijn zodanig ontworpen dat de bomen niet beschadigd kunnen worden tijdens gebruik.   |   |
| Er zijn voorzieningen voorhanden om eventueel gelekt/gemorst product zo spoedig mogelijk op te ruimen.   | Ja  |   |
| Het eventueel op de wal of schip gelekt/gemorst product mag niet in de (hemel)waterafvoer terecht kunnen komen dan wel direct in het oppervlaktewater kunnen geraken. Gemorst product dient zo spoedig mogelijk opgeruimd te worden.   | Ja  |   |
| Op de overslagplaats zijn adequate brandblusmiddelen operationeel aanwezig.  | Ja  |   |
| De overslaglocatie dient voorzien te zijn van goede verlichting  | Ja  |   |
| In geval overslagverbindingen over een steiger lopen dient de steiger voorzien te zijn van opvangbakken.   | Ja  |   |
| <b>Technische voorzieningen</b>  |   |   |
| Laad- en losinstallaties moeten ter afleiding van statische elektriciteit en ter beveiliging tegen de gevolgen van blikseminslag zijn geaard door middel van aardelektroden, waarvan de verspreidingsweerstand niet meer dan 5 ohm mag bedragen; de aarding moet voldoen aan de tijdens het ontwerp van de installatie vigerende Richtlijn voor bliksemafleiderinstallaties, volgens de norm NEN 1014, uitgave 1971, en aanvullingen, uitgave 1982 en 1985.              | Ja. Bovendien zullen alle vervoersmiddelen voordat deze gekoppeld worden, ook geaard te worden aan dezelfde aardelektrode als de verladingsinstallatie, zodat er geen spanningsverschil kan ontstaan tussen vervoersmiddel en verladingsinstallatie.  |   |
| Indien van toepassing dient de uitlaat van de dampruimte van een scheepstank bij de verlading te zijn aangesloten op een doelmatig werkend systeem voor het veilig afvoeren van dampen. In de dampafvoer- of dampretourleiding moet tevens zo dicht mogelijk bij de genoemde uitlaat een vloeistofalarm zijn geïnstalleerd.  | De scheepsverlading is uitgerust met een dampretour- en verwerkingsstelsel. Schepen zijn standaard uitgerust met overvulbeveiliging. Het ontwerp van de dampretourinstallatie is zodanig dat er geen ophoping van vloeistof kan voorkomen in de dampleidingen tussen schip en dampverwerkingsinstallatie.   |   |
| Indien los- en laadleidingen en -slangen na het lossen of laden worden leeggemaakt, dan moeten voorzieningen zijn aangebracht om ze leeg te laten stromen voordat ont koppeling plaatsvindt; de vrijkomende stoffen moeten naar een daartoe bestemd systeem worden afgevoerd.  | Ja, deze instructie wordt opgenomen in de procedures en trainingen  |   |
| <b>Overige aspecten</b>  |   |   |
| Indien bij het leegdrukken van een scheepstank gebruik wordt gemaakt van een gas, dan mag hiervoor uitsluitend een gas worden gebruikt dat inert is ten opzichte van het te verladen product; de toevoer moet onmiddellijk worden afgesloten na het leegdrukken van de scheepstank.  | NVT, er worden geen schepen gelost op de locatie, enkel beladen.  |   |
| De los- en laadarmen of -slangen moeten geschikt zijn voor de te verladen producten en een barstdruk hebben van ten minste viermaal de hoogst voorkomende werkdruk.  | Voor alle verladingspunten worden specifieke eisen opgesteld aan de verladingsystemen inclusief eisen aan materialen, pakkingen, minimale barstdruk, temperatuurbestendigheid, etc.   |   |
| Bij toepassing van los- en laadslangen moeten deze steeds eerst visueel op een goede staat worden gecontroleerd alvorens te worden gebruikt; beschadigde slangen mogen niet worden gebruikt en moeten voor reparatie of vernietiging direct worden afgevoerd.  | Ja, deze instructie wordt opgenomen in de procedures en trainingen  |   |
| Productleidingen van laad- en losinstallaties die niet worden gebruikt, moeten met een blindflens zijn afgesloten, zodat lekkage, ook in geval van een storing of een bedieningsfout, wordt voorkomen.   | Dit is standaard procedure en zal ook opgenomen worden in de procedures van DSL-01.   |   |
| Alvorens met de belading wordt begonnen moet er door het personeel, dat zorgdraagt voor de belading, op worden toegezien dat de juiste herkenningstekens zijn aangebracht op de te beladen tankauto dan wel spoorwag.  | Ja, deze instructie wordt opgenomen in de procedures en trainingen  |   |
| Het aan- of afkoppelen van een leiding of slang, die gebruikt wordt voor het transporteren van brandbare vloeistoffen moet met explosievrij gereedschap geschieden.  | Op de gehele DSL-01 site wordt uitsluitend gebruik toegestaan van vonkvrij/explosie veilig/ATEX-gekeurd gereedschap.  |   |

**Stand der veiligheidstechniek**Bulkoverslag van/naar een transporteenheid

Opgesteld door: TAUW (Kor Buist)

Datum: 03-07-2022

Bedrijf :DSL-01 B.V.

Het verplaatsen van stoffen van een tankauto of spoorketelwagon naar een opslag- of procesvat dan wel een verplaatsing vanuit een vat naar een tankauto of spoorketelwagon.

| Onderdeel stand der veiligheidstechniek  | Voldoet aan SVT / toelichting   |
|--|---|
| <b>Algemeen</b>  |   |
| De overslagplaats wordt alleen voor overslag gebruikt. Doorgaand transport kan geen gebruik maken van deze locatie.  | Ja  |
| Er is continu toezicht op de verlading door twee personen. Zowel de chauffeur als de operator zijn aanwezig. In geval van een onvoorzien voorval kan het voertuig worden verplaatst teneinde de gevolgen te minimaliseren.   | Ja, dit wordt opgenomen in de procedures en trainingen  |
| Er zijn voorzieningen en procedures om eventueel gelekt/gemorst product zo spoedig mogelijk op te ruimen.  | Ja, dit wordt opgenomen in de procedures en trainingen  |
| In het calamiteitenplan zijn procedures opgenomen die specifiek zijn toegesneden op verladingsactiviteiten.  | Ja, dit wordt opgenomen in zowel de procedures en trainingen als in het calamiteitenplan  |
| Bij het begin van het onderdoor laden van een brandgevaarlijk product waarbij elektrostatische oplading mogelijk is, wordt gedurende een aanlooperperiode de vloeistofsnelheid in de vulleiding beperkt.   | Ja, de laadsnelheid en ramp-up/down wordt voor elk brandgevaarlijk product vastgelegd in de beladingscomputer en kan niet overschreden worden. Uiteraard dienen alle tankwagens adequaat geaard te zijn voordat belading kan worden begonnen. Als er geen aardingsstekker wordt gebruikt, kan er niet beladen worden.   |
| Bij het boven door laden van een brandgevaarlijk product waarbij elektrostatische oplading mogelijk is, wordt gedurende de gehele laadperiode de vloeistofsnelheid in de vulleiding beperkt.   | NVT, alle verladingen op tankwagens gebeuren onderlangs.  |
| <b>Bouwkundige aspecten</b>  |   |
| De overslagplaats is voorzien van een vloeistofdichte vloer welke onder afschot ligt. Het hemelwater en gemorst product worden opgevangen in een opvangbak/tank dat tenminste de inhoud van een transporteenheid kan bevatten. Voor de afvoer dient een handmatige handeling verricht te worden zoals bijvoorbeeld het inzetten van een zuigwagen, afpompen of aflaten via een handbediende afsluiter. | De overslaglocatie is voorzien van een vloeistofdichte vloer welke onder afschot ligt. Het hemelwater en gemorst product worden via een olie/water-scheider naar het procesafvalwatersysteem geleid, wat uitmondt in een betonnen opvangput van 300 m3.   |
| Indien er voor 9.00 uur en na 16.00 uur nog verladingsactiviteiten plaatsvinden dient de overslagplaats voldoende verlicht te kunnen worden.   | De overslaglocatie is voorzien van verlichting tussen zonsopgang en zonsondergang.  |
| Indien mogelijk heeft de verladingsinstallatie een overkapping. (NB: verlading van sommige stoffen mag niet onder een overkapping plaatsvinden).   | De verladingslocaties zijn niet uitgerust met een overkapping.  |
| <b>Technische voorzieningen</b>  |   |
| Onder elke flensverbinding is een kleine opvang gecreëerd zodat druppels kunnen worden opgevangen. Dit is met name van belang bij manifolds  | Onder elke flensverbinding die regelmatig verbroken wordt en die zich niet bevindt boven een vloeistofdichte vloer met opvangmogelijkheden, zal een kleine opvang gecreëerd worden.   |
| Op de verlaadplaats zijn adequate brandblusmiddelen operationeel aanwezig.   | Ja  |
| Op de overslagplaats is materiaal aanwezig om tijdens verladingsactiviteiten de locatie aanrijdingsproof af te kunnen zetten.  | De gehele site van DSL-01, de overslagplaatsen in het bijzonder, zullen tijdens gebruik goed verlicht zijn. Alle overslagplaatsen worden uitgerust met aanrijbeveiligingen (stalen beugels met zwart/gele bestreping. Na parkeren zullen tankauto's gezekeerd worden met een rolbeveiliging zodat de tankwagens niet kan gaan rollen.   |
| Laad- en losinstallaties zijn geaard ter afleiding van statische elektriciteit en beveiliging tegen de gevolgen van blikseminslag.   | Ja. Bovendien zullen alle vervoersmiddelen voordat deze gekoppeld worden, ook geaard te worden aan dezelfde aardelektrode als de verladingsinstallatie, zodat er geen spanningsverschil kan ontstaan tussen vervoersmiddel en verladingsinstallatie.  |
| Het merendeel van de laadinstallaties is voorzien van afzuiging waardoor emissies naar de buitenlucht worden voorkomen en voorzien van een overvulbeveiliging welke bij aanspreken ervan automatisch de laadklep sluit en de laadpomp stopt. Tevens is er een noodstop voorzien.   | Ja, alle laadinstallaties zijn voorzien van automatische overvulbeveiliging welke de laadpomp direct uitschakelt. Bij alle laadstations is een noodstop voorzien, alle laadstations zijn uitgerust met camera zodat de controlekamer de belading kan volgen en ook vanuit daar de noodstop kan bedienen. De laadplaatsen zijn uitgerust met dampretourleidingen die de damp terugvoeren naar de opslagtank. |
| Bij het lossen worden de tankauto's met een slang aangesloten op het leidingwerk van de lospomp en wordt het product verpompt naar de met stikstof geïnertiseerde opslag tanks.  | Ja, maar producten met een vlamptpunt >100C worden niet geïnertiseerd. In plaats daarvan worden de eventuele dampen en geurcomponenten uit deze tanks door een actief koolfilter geleid voordat deze naar de buitenlucht gaan.  |
| <b>Overige aspecten</b>  |   |
| De los- en laadarmen of -slangen zijn geschikt voor de te verladen producten en hebben een barstdruk van ten minste viermaal de hoogst voorkomende werkdruk.   | Voor alle verladingspunten worden specifieke eisen opgesteld aan de verladingsystemen inclusief eisen aan materialen, pakkingen, minimale barstdruk, temperatuurbestendigheid, etc.   |
| Bij gebruik van de los- en laadslangen worden deze steeds eerst visueel op een goede staat gecontroleerd alvorens te worden gebruikt; beschadigde slangen worden niet gebruikt en worden direct afgevoerd voor reparatie of vernietiging.  | Ja, dit wordt opgenomen in de procedures en trainingen  |
| Productleidingen van laad- en losinstallaties die niet gebruikt worden zijn met een blindflens afgesloten, zodat lekkage, ook in geval van een storing of een bedieningsfout, wordt voorkomen.   | Dit is standaard procedure en zal ook opgenomen worden in de procedures van DSL-01.   |

**Stand der veiligheidstechniek**Batchprocessen

Opgesteld door: TAUW (Kor Buist)

Datum: 03-07-2022

Bedrijf :DSL-01 B.V.

*Alle apparatuur, gerekend vanaf de koppeling met de aan- dan wel afvoerleiding, die samenhangt met het chargegewijs bewerken van stoffen in een daartoe uitgeruste vaten waarbij de bewerking bestaat uit mengen, reageren en/of rectificeren.*

| Onderdeel stand der veiligheidstechniek  | Voldoet aan SVT / toelichting  |
|--|--|
| <b>Algemeen</b>  |  |
| De wisseling van batches vindt zoveel mogelijk geautomatiseerd plaats.   | Ja   |
| Het toevoegen van grond- en hulpstoffen is slechts mogelijk na positieve identificatie.  | Ja   |
| In de werkvoorschriften zijn procedures opgenomen inzake de handelswijze bij afwijkende omstandigheden.  | Ja, dit wordt opgenomen in de procedures en trainingen   |
| Er wordt een logboek bijgehouden waarin afwijkende omstandigheden en de reactie daarop worden vastgelegd.  | Ja, dit wordt opgenomen in de procedures en trainingen   |
| In de ontwerpfase van de installatie is een HAZOP-analyse uitgevoerd.  | Ja   |
| <b>Bouwkundige aspecten</b>  |  |
| Er is per installatie, of een deel daarvan, een vloeistofdichte containment met afloop naar een verzamelsysteem. De opgevangen vloeistoffen dienen vervolgens een adequate behandeling te ondergaan. | Ja   |
| De installatie is bij voorkeur overkapt.   | N.v.t.   |
| <b>Technische voorzieningen</b>  |  |
| Het vloeistofniveau in tanks wordt bewaakt. Bij afwijkingen vindt alarmering plaats en wordt volgens een vaste procedure ingegrepen.   | Voor alle tanks is niveaumonitoring voorzien, hoog-niveau en hoog-hoog niveau alarmering, waarna volgens vaste procedures automatisch of handmatig wordt ingegrepen.   |
| Het niveau, de druk en de temperatuur in de procesvaten wordt bewaakt. Bij afwijkingen vindt alarmering plaats.  | Ja   |
| Lekkage van pompen wordt gedetecteerd en teruggehouden.  | Alle pompen worden regelmatig visueel geïnspecteerd op lekkages. Grote, danwel kritisch pompen zijn voorzien van automatische lekdetectie.   |
| Verontreiniging van koelwater als gevolg van lekkage van warmtewisselaars wordt op een voldoende niveau gedetecteerd.  | Het koelwater wordt dagelijks bemonsterd en geanalyseerd op verontreinigingen om potentiële lekkages van warmtewisselaars tijdig te kunnen zien. Ook vindt er elke shift visuele inspectie en geurinspectie plaats bij de koeltorens |
| Monsternamesystemen zijn lekvrij uitgevoerd.   | Ja, monsternamesystemen zijn ontworpen om veilig en zonder lekkages monsters te kunnen nemen.  |
| Er zijn interlocksysteem aanwezig om gevaarlijke situaties bij oplijnen uit te schakelen.  | Ja   |
| Bij het wegvallen van utilities schakelt de installatie automatisch naar een "veilige" toestand.   | Ja   |

**Stand der veiligheidstechniek**Continu proces

Opgesteld door: TAUW (Kor Buist)

Datum: 03-07-2022

Bedrijf :DSL-01 B.V.

*Alle apparatuur, gerekend vanaf de aan- dan wel tot de afvoerleiding, die samenhangt met het continu bewerken van stoffen in een daartoe uitgeruste houders waarbij de bewerking kan bestaan uit mengen, reageren en/of rectificeren.*

| Onderdeel stand der veiligheidstechniek  | Voldoet aan SVT / toelichting  |
|--|--|
| <b>Algemeen</b>  |  |
| In de werkvoorschriften zijn procedures opgenomen inzake de handelswijze bij afwijkende omstandigheden.  | Ja, dit wordt opgenomen in de procedures en trainingen   |
| Er wordt een logboek bijgehouden waarin afwijkende omstandigheden en de reactie daarop vastgelegd worden.  | Ja, dit wordt opgenomen in de procedures en trainingen   |
| In de ontwerpfase van de installatie is een HAZOP-analyse uitgevoerd.  | Ja   |
| <b>Bouwkundige aspecten</b>  |  |
| Er is per installatie, of een deel daarvan, een vloeistofdichte containment met afloop naar een verzamelsysteem. De opgevangen vloeistoffen dienen vervolgens een adequate behandeling te ondergaan. | Ja   |
| <b>Technische voorzieningen</b>  |  |
| Het vloeistofniveau in tanks wordt bewaakt. Bij afwijkingen vindt alarmering plaats en wordt volgens een vaste procedure ingegrepen.   | Voor alle tanks is niveaumonitoring voorzien, hoog-niveau en hoog-hoog niveau alarmering, waarna volgens vaste procedures automatisch of handmatig wordt ingegrepen.   |
| Het niveau, de druk en de temperatuur in de procesvaten wordt bewaakt. Bij afwijkingen vindt alarmering plaats.  | Ja   |
| Lekkage van pompen wordt gedetecteerd en teruggehouden.  | Alle pompen worden regelmatig visueel geïnspecteerd op lekkages. Grote, danwel kritisch pompen zijn voorzien van automatische lekdetectie.   |
| Verontreiniging van koelwater als gevolg van lekkage van warmtewisselaars wordt op een voldoende niveau gedetecteerd.  | Het koelwater wordt dagelijks bemonsterd en geanalyseerd op verontreinigingen om potentiële lekkages van warmtewisselaars tijdig te kunnen zien. Ook vindt er elke shift visuele inspectie en geurinspectie plaats bij de koeltorens |
| Monsternamesystemen zijn lekvrij uitgevoerd.   | Ja, monsternamesystemen zijn ontworpen om veilig en zonder lekkages monsters te kunnen nemen.  |
| Er zijn interlocksysteem aanwezig om gevaarlijke situaties bij oplijnen uit te schakelen.  | Ja   |
| Bij het wegvallen van utilities schakelt de installatie automatisch naar een "veilige" toestand (fail safe design).  | Ja   |

**Stand der veiligheidstechniek**Opslag in emballage

Opgesteld door: TAUW (Kor Buist)

Datum: 03-07-2022

Bedrijf :DSL-01 B.V.

Een ruimte bestemd voor de bewaring van stoffen in flessen, cans, drums, zakken, bigbags en/of multiboxen. (Uitgezonderd de opslag van dagvoorraad, dagproductie en laboratoria.)

| Onderdeel stand der veiligheidstechniek  | Voldoet aan SVT / toelichting                     |
|--|---|
| <b>Algemeen</b>  |   |
| Er wordt een administratie bijgehouden inzake de opgeslagen producten.   | Ja, deze zal opgezet zijn ruim voor ingebruikname |
| De opslagruimte is niet toegankelijk voor onbevoegden.   | Ja  |
| In geval van een buitenopslag dient het verpakkingsmateriaal bestand te zijn tegen alle weersinvloeden.  | N.v.t.  |
| <b>Bouwkundige aspecten</b>  |   |
| Een opslagruimte mag niet op een verdieping van een gebouw zijn gesitueerd.  | Ja  |
| De vloer van een opslagruimte moet vervaardigd zijn van onbrandbaar en vloeistofdicht materiaal.   | Ja  |
| De opslagruimte beschikt over een doelmatige bliksemafleider.  | N.v.t.  |
| In de vloer van de opslagruimte mogen zich geen openingen bevinden die in directe verbinding staan of kunnen worden gebracht met riolen dan wel met het oppervlaktewater.  | Ja  |
| Het dak van het opslaggebouw moet bestand zijn tegen vliegvluur overeenkomstig NEN 3882.   | Ja, deze vereisten worden gesteld aan het ontwerp |
| De wanden en deuren van het opslaggebouw moeten een brandwerendheid hebben van tenminste 60 minuten.   | Ja, deze vereisten worden gesteld aan het ontwerp |
| Indien het opslaggebouw is gelegen binnen een afstand van 10 meter van andere gebouwen, een opslag van brandbaar materiaal of de erfafscheiding, moeten de wanden en deuren een brandwerendheid van tenminste 60 minuten bezitten.   | Ja, deze vereisten worden gesteld aan het ontwerp |
| In het opslaggebouw moeten zich 2 deuren tegenover elkaar bevinden.  | N.v.t.  |
| Het opslaggebouw wordt geventileerd door middel van een doelmatig, operationeel ventilatiesysteem. Hierbij dienen de ventilatieopeningen voorzien te zijn van vlamkerende voorzieningen en, waar nodig, van doeltreffende voorzieningen om ontsteking van buitenaf te voorkomen. | N.v.t.  |
| In geval van een buitenopslag dient de opslagruimte aanrijdingsproof afgezet te zijn.  | N.v.t.  |
| Een buitenopslag ligt op voldoende afstand van overige onderdelen van de inrichting om overslag van brand te voorkomen.  | N.v.t.  |
| Voor de beheersing van risico's buiten de inrichting en de bereikbaarheid van de brandweer dient de afstand van een opslag tot een gevoelige bestemming buiten de inrichting minimaal 20 m te bedragen.  | Ja  |
| <b>Technische voorzieningen</b>  |   |
| De gerealiseerde bescherming is van nivo 1.  | N.v.t. Opslagvoorziening is > 10.000 kg           |
| De opslagruimte beschikt over voldoende, adequate en operationeel beschikbare blusmiddelen.  | Ja  |
| Is een bluswateropvangvoorziening aanwezig.  | N.v.t.  |
| Voldoet de bluswatervoorziening aan de eisen vloeistofdicht en resistentie.  | N.v.t.  |
| Wordt de bluswatervoorziening gevuld onder vrij verval of door middel van actieve transportinstallaties (bv. pompen).  | N.v.t.  |
| Bluswatervoorziening en productopvang opgesplitst naar ruimte (zodanig).   | N.v.t.  |
| Opslaggebouwen zijn afdoende beschermd tegen blikseminslag.  | N.v.t.  |

**Stand der veiligheidstechniek**Opslag in houders

Opgesteld door: TAUW (Kor Buist)

Datum: 03-07-2022

Bedrijf :DSL-01 B.V.

Een ruimte specifiek bestemd voor de bewaring van stoffen in (deels) bovengrondse houders, zoals tanks of silo's.

| Onderdeel stand der veiligheidstechniek   | Voldoet aan SVT / toelichting                          |
|---|--|
| <b>Algemeen</b>   |  |
| Het vullen de houders vindt slechts plaats na positieve identificatie van de stof.  | Ja   |
| Het niveau van de stof in de houder wordt bewaakt. Bij afwijkingen vindt alarmering plaats en wordt volgens een vaste procedure ingegrepen.   | Ja   |
| De eventueel aanwezige afsluiters van de tankput zijn normaliter gesloten.  | Ja   |
| Er is een eenduidige procedure voor het drainen van de tankput.   | Ja, dit wordt opgenomen in de procedures en trainingen |
| Op regelmatige basis wordt het opslaggebied geïnspecteerd op lekkage en de algehele conditie van de tanks en randapparatuur.  | Ja, dit wordt opgenomen in de procedures en trainingen |
| <b>Bouwkundige aspecten</b>   |  |
| Er is per installatie, of een deel daarvan, een vloeistofdichte containment met afloop naar een verzamelsysteem. De opgevangen vloeistoffen dienen vervolgens een adequate behandeling te ondergaan.                          | Ja   |
| De buitenopslag is, om overslag van brand te voorkomen, op voldoende afstand van overige onderdelen van de inrichting gelegen. In geval een brandwerende muur is aangebracht gelden andere afstanden (zie hiervoor CPR 15-2). | Ja   |
| Voor de beheersing van risico's buiten de inrichting en de bereikbaarheid van de brandweer is de afstand van een opslag tot een gevoelige bestemming buiten de inrichting minimaal 20 m.                                      | Ja   |
| <b>Technische voorzieningen</b>   |  |
| Opslagtanks dienen van een sprinklersysteem voorzien te zijn wanneer er een kans bestaat op hitte straling.   | Ja   |
| Lekkage van pompen wordt gedetecteerd en opgevangen.  | Ja   |
| Verontreiniging van koelwater als gevolg van lekkage van warmtewisselaars wordt op een voldoende niveau gedetecteerd.   | Ja   |
| Monsternamesystemen zijn lekvrij uitgevoerd.  | Ja   |
| Er zijn interlocksysteem aanwezig om gevaarlijke situaties bij oplijnen uit tetschakelen.   | Ja   |

**Stand der veiligheidstechniek**Leidingstransport

Opgesteld door: TAUW (Kor Buist)

Datum: 03-07-2022

Bedrijf :DSL-01 B.V.

Het binnen de inrichting transporteren van stoffen door vaste leidingen van een opslagvoorziening naar een proces.

Op grond van deze definitie kent leidingtransport in het geval van **BEDRIJF** de volgende verschijningsvormen:

- ondergrondse leidingen;
- bovengrondse leidingen op maaiveld en in stellingen.

| Onderdeel stand der veiligheidstechniek   | Voldoet aan SVT / toelichting  |
|---|--|
| <b>Algemeen</b>   |  |
| Op regelmatige afstanden zijn afsluiters geplaatst.   | Ja   |
| Op regelmatige basis, zo mogelijk één maal per week, worden de leidingen visueel op lektheid geïnspecteerd.   | Ja, dit wordt opgenomen in de procedures en trainingen   |
| Alle leidingen en bijbehorende appendages zijn zodanig uitgevoerd dat er geen ontoelaatbare spanningen ten gevolge van montage, verzakkingen of temperatuurverschillen kunnen ontstaan. | Ja   |
| Aan leidingen moet duidelijk zichtbaar zijn voor welk doel en welke stof ze worden gebruikt.  | Alle leidingen worden voorzien van kleurcoderingen en bestickering op passende locaties die aard en type product aangeven. |
| <b>Ondergrondse leidingen</b>   |  |
| De ondergrondse leidingen zijn alle weergegeven op een kaart die regelmatig wordt bijgehouden.  | ja   |
| Ondergrondse leidingen worden bovengronds aangegeven.   | ja   |
| Leidingen liggen voldoende diep (minimaal 0,8 m) en zijn voorzien van kathodische bescherming.  | Ja, als het metalen leidingen zijn. Voor GRP-leidingen is geen kathodische bescherming voorzien.                           |
| De leidingen kunnen met behulp van een pig gereinigd worden.  | Er zijn geen pigging-installaties voorzien   |
| <b>Bovengrondse leidingen</b>   |  |
| Op maaiveld (de maximale vrije ruimte tussen leiding en maaiveld bedraagt 0,5 m).   | Ja   |
| De leidingen liggen in leidinggoten en zijn voldoende ondersteund.  | Ja   |
| De leidinggoot is gecompartmenteerd, zo mogelijk iedere 150 meter.  | Ja   |
| De afvoer van hemelwater vindt plaats conform de opslag in tanks.   | Niet van toepassing  |
| Eventuele wegdoorvoeren zijn als 'viaduct' uitgevoerd.  | Ja   |
| <b>Leidingbruggen</b>   |  |
| Bij eventuele wegkruisingen zijn de leidingen beveiligd door middel van een doorrijpoort waarop de doorrijhoogte staat vermeld. Minimale doorrijhoogte is 4.2 meter.                    | Ja, doorrijhoogte van 6m is aangehouden in het ontwerp.  |
| De leidingbrug is aantoonbaar aanrijdingsproof.   | Ja   |
| De constructie van de leidingbrug is brandwerend.   | Ja, indien de leidingbrug in een gebied staat met verhoogd brandgevaar.  |
| De hemelwaterafvoer rondom een leidingbrug is afsluitbaar.  | Niet van toepassing. Hemelwater wordt gecontroleerd afgevangen in de schoonafvalwaterput                                   |



**Stand der veiligheidstechniek**Intern transport

Opgesteld door: TAUW (Kor Buist)

Datum: 03-07-2022

Bedrijf :DSL-01 B.V.

Het binnen een inrichting, in een gebouw en/of in de open lucht, verplaatsen (anders dan via leidingen) van stoffen.

Voorbeelden van intern transport zijn:

- transport van een pallet (emballage), multibox met een heftruck;
- transport van een pallet (emballage), multibox met een lepelwagen;
- transport met behulp van een steekwagen;
- transport in een emmer of jerrycan.

| Onderdeel stand der veiligheidstechniek   | Voldoet aan SVT / toelichting  |
|---|--|
| <b>Algemeen</b>   |  |
| Het interne transport moet worden gedaan door voldoende opgeleid personeel.   | Ja, dit wordt opgenomen in de kwalificaties van aan te nemen personeel en in de procedures en trainingen |
| Het interne transport met behulp van motorvoertuigen mag slechts worden gedaan door gediplomeerd personeel.   | Ja, dit wordt opgenomen in de kwalificaties van aan te nemen personeel en in de procedures en trainingen |
| De stoffen moeten verpakt zijn in emballage die niet door de stoffen wordt aangetast en die bestand is tegen de wijze van transporteren en tegen de omstandigheden waaronder het transport plaatsvindt. | Ja   |
| De transportmiddelen moeten voor het betreffende transport zijn bestemd en moeten op de daarvoor bestemde wijze worden gebruikt.  | Ja   |
| Het transportmiddel moet zo veel en zo vaak als nodig worden onderhouden.   | Ja, dit wordt opgenomen in de procedures en trainingen   |
| Op het transportmiddel dient een brandblusmiddel operationeel en binnen handbereik beschikbaar te zijn.   | Ja   |
| Zodra blijkt dat gedurende het interne transport de emballage is gaan lekken dient deze onmiddellijk in een vloeistofdichte opvangbak geplaatst te worden.  | Ja   |

**Kenmerk** R003-1276528KLB-V06-ivl-NL

**Bijlage 5**      **Sub selectie**

**Mogelijke afstroomroutes**

- Oppervlaktewater  
 RWZI

**Afstroming naar oppervlaktewater**

Gegevens ontvangende oppervlaktewater

Type oppervlaktewater waarop wordt geloosd:

De afmetingen van het oppervlaktewaterlichaam: Diepte [m]   
Breedte [m]

Weegfactor (oplosbare stoffen):   
Weegfactor (drijfslagvormende stoffen):

Tabel met drempelwaarden oppervlaktewater

| Effectparameter   |  |   | Drempelwaarde   |
|---|--|---|---|
| Acute toxiciteit  | Zuurstofdepletie   | Drijfslagvorming  | zonder weegfactor                                     |
| LC <sub>50</sub><br>EC <sub>50</sub><br>IC <sub>50</sub>  | Biochemisch<br>zuurstofverbruik<br>(BZV)   | Dichtheid < 1.000 kg/m <sup>3</sup><br>&<br>Oplosbaarheid < 100 g/l | [kg]  |
| < 1 mg/l - (H400/H410)<br>1-10 mg/l - (H411)<br>10-100 mg/l - (H412)<br>100-1000 mg/l<br>> 1000 mg/l - (H413) | > 1,5 gO <sub>2</sub> /g<br>0,15-1,5 gO <sub>2</sub> /g<br>< 0,15 gO <sub>2</sub> /g | Ja  | 1.000<br>10.000<br>100.000<br>1.000.000<br>10.000.000 |

| Nr.               | Stofnaam                    | Hoeveelheid             |                             | Stofgegevens            |                              |                      |                  |                              |               | Toetsing drempelwaarden |                        |               |   |               |           | Selectie         |               |               |
|-------------------|-----------------------------|-------------------------|-----------------------------|-------------------------|------------------------------|----------------------|------------------|------------------------------|---------------|-------------------------|------------------------|---------------|---|---------------|-----------|------------------|---------------|---------------|
|                   |                             | Maximaal aanwezig       |                             | Toxiciteit              |                              |                      | Inhibitie        | Biochemisch zuurstofverbruik |               | Oppervlaktewater        |                        |               |   |               |           | Oppervlaktewater |               |               |
|                   |                             | Volume                  | Massa                       | LC <sub>50</sub>        | EC <sub>50</sub>             | IC <sub>50</sub>     | IC <sub>50</sub> | Dichtheid                    | Oplosbaarheid | BZV                     | Toxiciteit             | Drempelwaarde | BZV   | Drempelwaarde | Drijfslag | Drempelwaarde    | Selectiegetal | Aanwijsggrond |
| [m <sup>3</sup> ] | [kg]                        | (vis, 96 uur)<br>[mg/l] | (daphnia, 48 uur)<br>[mg/l] | (alg, 72 uur)<br>[mg/l] | (bacterie, 96 uur)<br>[mg/l] | [kg/m <sup>3</sup> ] | [g/l]            | [gO <sub>2</sub> /g]         | Categorie     | [kg]                    | Categorie              | [kg]          | Dichtheid < 1.000 kg/m <sup>3</sup><br>&<br>Oplosbaarheid < 100 g/l | [kg]          | [-]       |                  |               |               |
| 1                 | Ruwe grondstof              | 17.855                  | 16.069.500                  | 0,9                     | 0,9                          | 0,9                  | 9                | 900                          | 0             | 3,00                    | < 1 mg/l - (H400/H410) | 200           | > 1,5 gO <sub>2</sub> /g  | 200           | Ja        | 20.000           | 80.347,50     | Toxiciteit    |
| 2                 | Schone grondstof            | 13.200                  | 11.880.000                  | 0,9                     | 0,9                          | 0,9                  | 9                | 900                          | 0             | 3,00                    | < 1 mg/l - (H400/H410) | 200           | > 1,5 gO <sub>2</sub> /g  | 200           | Ja        | 20.000           | 59.400,00     | Toxiciteit    |
| 3                 | DLB                         | 12.129                  | 9.339.330                   | 9,0                     | 9,0                          | 9,0                  | 90               | 770                          | 0             | 3,00                    | 1-10 mg/l - (H411)     | 2.000         | > 1,5 gO <sub>2</sub> /g  | 200           | Ja        | 20.000           | 46.696,65     | BZV           |
| 4                 | Nafta                       | 2.572                   | 1.736.100                   | 0,9                     | 0,9                          | 0,9                  | 9                | 675                          | 0             | 3,00                    | < 1 mg/l - (H400/H410) | 200           | > 1,5 gO <sub>2</sub> /g  | 200           | Ja        | 20.000           | 8.680,50      | Toxiciteit    |
| 5                 | Hernieuwbare diesel         | 205                     | 205.000                     | 1.001                   | 1.001                        | 1.001                | 10.010           | 1.000                        | 5             | 3,00                    | > 1000 mg/l - (H413)   | 2.320.000     | > 1,5 gO <sub>2</sub> /g  | 232           | Nee       | -                | 883,62        | BZV           |
| 6                 | Natronloog 45%              | 51                      | 75.480                      | 98,7                    | 98,7                         | 98,7                 | 240              | 1.480                        | 1.000         | 0,00                    | 10-100 mg/l - (H412)   | 23.200        | n.v.t.  | -             | Nee       | -                | 3,25          | Toxiciteit    |
| 7                 | Citroenzuur 50%             | 51                      | 74.970                      | 440                     | -                            | -                    | 1.210            | 1.470                        | 1.330         | 0,53                    | 100-1000 mg/l          | 232.000       | 0,15-1,5 gO <sub>2</sub> /g   | 2.320         | Nee       | -                | 32,31         | BZV           |
| 8                 | Zoutzuur 35%                | 51                      | 60.690                      | 124                     | 124                          | 124                  | 328              | 1.190                        | 1.000         | 0,00                    | 100-1000 mg/l          | 232.000       | n.v.t.  | -             | Nee       | -                | 0,26          | -             |
| 9                 | MDEA                        | 24                      | 25.000                      | 1.466                   | 233                          | 37                   | 410              | 1.038                        | 1.000         | 0,00                    | 10-100 mg/l - (H412)   | 23.200        | n.v.t.  | -             | Nee       | -                | 1,08          | Toxiciteit    |
| 10                | Modelstof additieven (opl.) | 25                      | 30.000                      | 0,3                     | 0,3                          | 0,3                  | 10               | 1.200                        | 1.000         | 1,50                    | < 1 mg/l - (H400/H410) | 232           | > 1,5 gO <sub>2</sub> /g  | 232           | Ja        | -                | 129,31        | Toxiciteit    |
| 11                | Modelstof additieven (drl.) | 25                      | 23.500                      | 0,3                     | 0,3                          | 0,3                  | 10               | 940                          | 5             | 1,50                    | < 1 mg/l - (H400/H410) | 200           | > 1,5 gO <sub>2</sub> /g  | 200           | Ja        | 20.000           | 117,50        | Toxiciteit    |

| Nr. | Gegevens insluitsysteem |                 |                     |                   |                    |                             | Toetsing drempelwaarden |               |                |   |      | Selectie         |            |               |
|-----|-------------------------|-----------------|---------------------|-------------------|--------------------|-----------------------------|-------------------------|---------------|----------------|---|------|------------------|------------|---------------|
|     | Locatie                 | Installatienaam | Aanwezige stof      | Maximaal aanwezig | Onvoorziene lozing | Oppervlaktewater en/of RWZI | Oppervlaktewater        |               |                |   |      | Oppervlaktewater |            |               |
|     |                         |                 |                     | Volume            |                    |                             | Massa                   | Afstroomroute | Toxiciteit     | Drempelwaarde   | BZV  | Drempelwaarde    | Drijfslag  | Drempelwaarde |
|     |                         |                 | [m <sup>3</sup> ]   | [kg]              |                    | Categorie                   | [kg]                    | Categorie     | [kg]           | Dichtheid < 1.000 kg/m <sup>3</sup> & Oplosbaarheid < 100 g/l | [kg] | [-]              |            |               |
| 1   | TP-101                  | 14-T-211A       | Ruwe grondstof      | 4.400,0           | 3.960.000          | Oppervlaktewater            | < 1 mg/l - (H400/H410)  | 20            | > 1,5 gO2/g    | 20  | Ja   | 2.000            | 198.000,00 | Toxiciteit    |
| 2   | TP-101                  | 14-T-211B       | Ruwe grondstof      | 4.400,0           | 3.960.000          | Oppervlaktewater            | < 1 mg/l - (H400/H410)  | 20            | > 1,5 gO2/g    | 20  | Ja   | 2.000            | 198.000,00 | Toxiciteit    |
| 3   | TP-101                  | 14-T-211C       | Ruwe grondstof      | 4.400,0           | 3.960.000          | Oppervlaktewater            | < 1 mg/l - (H400/H410)  | 20            | > 1,5 gO2/g    | 20  | Ja   | 2.000            | 198.000,00 | Toxiciteit    |
| 4   | TP-101                  | 14-T-211D       | Ruwe grondstof      | 4.400,0           | 3.960.000          | Oppervlaktewater            | < 1 mg/l - (H400/H410)  | 20            | > 1,5 gO2/g    | 20  | Ja   | 2.000            | 198.000,00 | Toxiciteit    |
| 5   | TP-101                  | 14-T-171        | Ruwe grondstof      | 1.000,0           | 900.000            | Oppervlaktewater            | < 1 mg/l - (H400/H410)  | 20            | > 1,5 gO2/g    | 20  | Ja   | 2.000            | 45.000,00  | Toxiciteit    |
| 6   | TP-101                  | 14-T-411A       | Schone grondstof    | 4.402,0           | 3.961.800          | Oppervlaktewater            | < 1 mg/l - (H400/H410)  | 20            | > 1,5 gO2/g    | 20  | Ja   | 2.000            | 198.090,00 | Toxiciteit    |
| 7   | TP-101                  | 14-T-411B       | Schone grondstof    | 4.402,0           | 3.961.800          | Oppervlaktewater            | < 1 mg/l - (H400/H410)  | 20            | > 1,5 gO2/g    | 20  | Ja   | 2.000            | 198.090,00 | Toxiciteit    |
| 8   | TP-101                  | 14-T-411C       | Schone grondstof    | 4.402,0           | 3.961.800          | Oppervlaktewater            | < 1 mg/l - (H400/H410)  | 20            | > 1,5 gO2/g    | 20  | Ja   | 2.000            | 198.090,00 | Toxiciteit    |
| 9   | TP-101                  | 14-T-411D       | Schone grondstof    | 4.402,0           | 3.961.800          | Oppervlaktewater            | < 1 mg/l - (H400/H410)  | 20            | > 1,5 gO2/g    | 20  | Ja   | 2.000            | 198.090,00 | Toxiciteit    |
| 10  | TP-101                  | 14-T-501        | Hernieuwbare diesel | 205,0             | 205.000            | Oppervlaktewater            | > 1000 mg/l - (H413)    | 232.000       | > 1,5 gO2/g    | 23  | Nee  | -                | 8.836,21   | BZV           |
| 11  | TP-101                  | 14-T-510        | Ruwe grondstof      | 50,0              | 45.000             | Oppervlaktewater            | < 1 mg/l - (H400/H410)  | 20            | > 1,5 gO2/g    | 20  | Ja   | 2.000            | 2.250,00   | Toxiciteit    |
| 12  | TP-104                  | 14-T-301        | Natronloog 45%      | 51,0              | 75.480             | Oppervlaktewater            | 10-100 mg/l - (H412)    | 2.320         | n.v.t.         | -   | Nee  | -                | 32,53      | Toxiciteit    |
| 13  | TP-104                  | 14-T-311        | Citroenzuur 50%     | 51,0              | 74.970             | Oppervlaktewater            | 100-1000 mg/l           | 23.200        | 0,15-1,5 gO2/g | 232   | Nee  | -                | 323,15     | BZV           |
| 14  | Area 106                | Tanktainer      | MDEA                | 24,1              | 25.000             | Oppervlaktewater            | 10-100 mg/l - (H412)    | 2.320         | n.v.t.         | -   | Nee  | -                | 10,78      | Toxiciteit    |
| 15  | TP-108                  | 14-T-601A       | DLB                 | 4.466,0           | 3.438.820          | Oppervlaktewater            | 1-10 mg/l - (H411)      | 200           | > 1,5 gO2/g    | 20  | Ja   | 2.000            | 171.941,00 | BZV           |
| 16  | TP-108                  | 14-T-601B       | DLB                 | 4.466,0           | 3.438.820          | Oppervlaktewater            | 1-10 mg/l - (H411)      | 200           | > 1,5 gO2/g    | 20  | Ja   | 2.000            | 171.941,00 | BZV           |
| 17  | TP-108                  | 14-T-601C       | DLB                 | 4.466,0           | 3.438.820          | Oppervlaktewater            | 1-10 mg/l - (H411)      | 200           | > 1,5 gO2/g    | 20  | Ja   | 2.000            | 171.941,00 | BZV           |
| 18  | TP-108                  | 14-T-611A       | Nafta               | 754,0             | 508.950            | Oppervlaktewater            | < 1 mg/l - (H400/H410)  | 20            | > 1,5 gO2/g    | 20  | Ja   | 2.000            | 25.447,50  | Toxiciteit    |
| 19  | TP-108                  | 14-T-611B       | Nafta               | 754,0             | 508.950            | Oppervlaktewater            | < 1 mg/l - (H400/H410)  | 20            | > 1,5 gO2/g    | 20  | Ja   | 2.000            | 25.447,50  | Toxiciteit    |
| 20  | TP-108                  | 14-T-621        | Nafta               | 1.022,0           | 689.850            | Oppervlaktewater            | < 1 mg/l - (H400/H410)  | 20            | > 1,5 gO2/g    | 20  | Ja   | 2.000            | 34.492,50  | Toxiciteit    |
| 21  | TP-108                  | 14-T-511        | Nafta               | 50,0              | 33.750             | Oppervlaktewater            | < 1 mg/l - (H400/H410)  | 20            | > 1,5 gO2/g    | 20  | Ja   | 2.000            | 1.687,50   | Toxiciteit    |

**Mogelijke afstroomroutes**

- Oppervlaktewater  
 RWZI

**Afstroming naar oppervlaktewater**

Gegevens ontvangende oppervlaktewater

Type oppervlaktewater waarop wordt geloosd:

De afmetingen van het oppervlaktewaterlichaam: Diepte [m]   
Breedte [m]

Weegfactor (oplosbare stoffen):   
Weegfactor (drijfslaagvormende stoffen):

Tabel met drempelwaarden oppervlaktewater

| Effectparameter   |  |   | Drempelwaarde   |
|---|--|---|---|
| Acute toxiciteit  | Zuurstofdepletie   | Drijfslaagvorming   | zonder weegfactor                                     |
| LC <sub>50</sub><br>EC <sub>50</sub><br>IC <sub>50</sub>  | Biochemisch<br>zuurstofverbruik<br>(BZV)   | Dichtheid < 1.000 kg/m <sup>3</sup><br>&<br>Oplosbaarheid < 100 g/l | [kg]  |
| < 1 mg/l - (H400/H410)<br>1-10 mg/l - (H411)<br>10-100 mg/l - (H412)<br>100-1000 mg/l<br>> 1000 mg/l - (H413) | > 1,5 gO <sub>2</sub> /g<br>0,15-1,5 gO <sub>2</sub> /g<br>< 0,15 gO <sub>2</sub> /g | Ja  | 1.000<br>10.000<br>100.000<br>1.000.000<br>10.000.000 |

Subselectie  
Selectiestap 1: Inrichtingsniveau

Opgesteld door: TAUW (Kor Buist)  
Datum: 23-07-2024



| Nr.               | Stofnaam       | Hoeveelheid             |                             | Stofgegevens            |                              |                      |                  |                              | Toetsing drempelwaarden |                  |                        |               |   | Selectie      |                  |               |               |               |
|-------------------|----------------|-------------------------|-----------------------------|-------------------------|------------------------------|----------------------|------------------|------------------------------|-------------------------|------------------|------------------------|---------------|---|---------------|------------------|---------------|---------------|---------------|
|                   |                | Maximaal aanwezig       |                             | Toxiciteit              |                              |                      | Inhibitie        | Biochemisch zuurstofverbruik |                         | Oppervlaktewater |                        |               |   |               | Oppervlaktewater |               |               |               |
|                   |                | Volume                  | Massa                       | LC <sub>50</sub>        | EC <sub>50</sub>             | IC <sub>50</sub>     | IC <sub>50</sub> | Dichtheid                    | Oplosbaarheid           | BZV              | Toxiciteit             | Drempelwaarde | BZV   | Drempelwaarde | Drijfslag        | Drempelwaarde | Selectiegetal | Aanwijsggrond |
| [m <sup>3</sup> ] | [kg]           | (vis, 96 uur)<br>[mg/l] | (daphnia, 48 uur)<br>[mg/l] | (alg, 72 uur)<br>[mg/l] | (bacterie, 96 uur)<br>[mg/l] | [kg/m <sup>3</sup> ] | [g/l]            | [gO <sub>2</sub> /g]         | Categorie               | [kg]             | Categorie              | [kg]          | Dichtheid < 1.000 kg/m <sup>3</sup><br>&<br>Oplosbaarheid < 100 g/l | [kg]          | [-]              |               |               |               |
| 1                 | Ruwe Grondstof | 95,3                    | 85.770                      | 0,9                     | 0,9                          | 0,9                  | 9                | 900                          | 0                       | 3,00             | < 1 mg/l - (H400/H410) | 200           | > 1,5 gO <sub>2</sub> /g  | 200           | Ja               | 20.000        | 428,85        | Toxiciteit    |

| Nr. | Gegevens insluitsysteem |                 |                |                             |               |                                     | Toetsing drempelwaarden |                       |                  |                       |  | Selectie              |                      |              |
|-----|-------------------------|-----------------|----------------|-----------------------------|---------------|-------------------------------------|-------------------------|-----------------------|------------------|-----------------------|--|-----------------------|----------------------|--------------|
|     | Locatie                 | Installatienaam | Aanwezige stof | Maximaal aanwezig           |               | Onvoorziene lozing<br>Afstroomroute | Oppervlaktewater        |                       |                  |                       |  | Oppervlaktewater      |                      |              |
|     |                         |                 |                | Volume<br>[m <sup>3</sup> ] | Massa<br>[kg] |                                     | Toxiciteit<br>Categorie | Drempelwaarde<br>[kg] | BZV<br>Categorie | Drempelwaarde<br>[kg] | Drijfslag<br>Dichtheid < 1.000 kg/m <sup>3</sup><br>&<br>Oplosbaarheid < 100 g/l | Drempelwaarde<br>[kg] | Selectiegetal<br>[-] | Aanwijsgrond |
| 1   | Locatie 103             | 06-V-001        | Ruwe grondstof | 50,1                        | 45.090        | Beide                               | < 1 mg/l - (H400/H410)  | 20                    | > 1,5 gO2/g      | 20                    | Ja   | 2.000                 | 2.254,50             | Toxiciteit   |
| 2   | Locatie 103             | 06-V-201        | Ruwe grondstof | 10,2                        | 9.180         | Beide                               | < 1 mg/l - (H400/H410)  | 20                    | > 1,5 gO2/g      | 20                    | Ja   | 2.000                 | 459,00               | Toxiciteit   |
| 3   | Locatie 103             | 01-V-401        | Ruwe grondstof | 12,7                        | 11.430        | Beide                               | < 1 mg/l - (H400/H410)  | 20                    | > 1,5 gO2/g      | 20                    | Ja   | 2.000                 | 571,50               | Toxiciteit   |
| 4   | Locatie 103             | 01-V-402        | Ruwe grondstof | 19,7                        | 17.730        | Beide                               | < 1 mg/l - (H400/H410)  | 20                    | > 1,5 gO2/g      | 20                    | Ja   | 2.000                 | 886,50               | Toxiciteit   |
| 5   | Locatie 103             | 01-R-401        | Ruwe grondstof | 1,3                         | 1.170         | Beide                               | < 1 mg/l - (H400/H410)  | 20                    | > 1,5 gO2/g      | 20                    | Ja   | 2.000                 | 58,50                | Toxiciteit   |
| 6   | Locatie 103             | 01-R-402        | Ruwe grondstof | 1,3                         | 1.170         | Beide                               | < 1 mg/l - (H400/H410)  | 20                    | > 1,5 gO2/g      | 20                    | Ja   | 2.000                 | 58,50                | Toxiciteit   |



**Mogelijke afstroomroutes**

- Oppervlaktewater  
 RWZI

**Afstroming naar oppervlaktewater**

Gegevens ontvangende oppervlaktewater

Type oppervlaktewater waarop wordt geloosd:

De afmetingen van het oppervlaktewaterlichaam: Diepte [m]   
Breedte [m]

Weegfactor (oplosbare stoffen):   
Weegfactor (drijfslaagvormende stoffen):

Tabel met drempelwaarden oppervlaktewater

| Effectparameter   |  |   | Drempelwaarde   |
|---|--|---|---|
| Acute toxiciteit  | Zuurstofdepletie   | Drijfslaagvorming   | zonder weegfactor                                     |
| LC <sub>50</sub><br>EC <sub>50</sub><br>IC <sub>50</sub>  | Biochemisch<br>zuurstofverbruik<br>(BZV)   | Dichtheid < 1.000 kg/m <sup>3</sup><br>&<br>Oplosbaarheid < 100 g/l | [kg]  |
| < 1 mg/l - (H400/H410)<br>1-10 mg/l - (H411)<br>10-100 mg/l - (H412)<br>100-1000 mg/l<br>> 1000 mg/l - (H413) | > 1,5 gO <sub>2</sub> /g<br>0,15-1,5 gO <sub>2</sub> /g<br>< 0,15 gO <sub>2</sub> /g | Ja  | 1.000<br>10.000<br>100.000<br>1.000.000<br>10.000.000 |

Subselectie  
Selectiestap 1: Inrichtingsniveau

Opgesteld door: TAUW (Kor Buist)  
Datum: 23-07-2024



| Nr.               | Stofnaam         | Hoeveelheid             |                             | Stofgegevens            |                              |                      |                  |                      |               | Toetsing drempelwaarden      |                        |               |   |               |                  | Selectie      |               |              |
|-------------------|------------------|-------------------------|-----------------------------|-------------------------|------------------------------|----------------------|------------------|----------------------|---------------|------------------------------|------------------------|---------------|---|---------------|------------------|---------------|---------------|--------------|
|                   |                  | Maximaal aanwezig       |                             | Toxiciteit              |                              |                      | Inhibitie        | Oplosbaarheid        |               | Biochemisch zuurstofverbruik | Oppervlaktewater       |               |   |               | Oppervlaktewater |               |               |              |
|                   |                  | Volume                  | Massa                       | LC <sub>50</sub>        | EC <sub>50</sub>             | IC <sub>50</sub>     | IC <sub>50</sub> | Dichtheid            | Oplosbaarheid | BZV                          | Toxiciteit             | Drempelwaarde | BZV   | Drempelwaarde | Drijfslag        | Drempelwaarde | Selectiegetal | Aanwijsgrond |
| [m <sup>3</sup> ] | [kg]             | (vis, 96 uur)<br>[mg/l] | (daphnia, 48 uur)<br>[mg/l] | (alg, 72 uur)<br>[mg/l] | (bacterie, 96 uur)<br>[mg/l] | [kg/m <sup>3</sup> ] | [g/l]            | [gO <sub>2</sub> /g] | Categorie     | [kg]                         | Categorie              | [kg]          | Dichtheid < 1.000 kg/m <sup>3</sup><br>&<br>Oplosbaarheid < 100 g/l | [kg]          | [-]              |               |               |              |
| 1                 | Schone grondstof | 346                     | 311.760                     | 0,90                    | 0,90                         | 0,90                 | 9                | 900                  | 5             | 3,00                         | < 1 mg/l - (H400/H410) | 200           | > 1,5 gO <sub>2</sub> /g  | 200           | Ja               | 20.000        | 1.558,80      | Toxiciteit   |
| 2                 | Nafta            | 551                     | 372.195                     | 0,90                    | 0,90                         | 0,90                 | 9                | 675                  | 5             | 3,00                         | < 1 mg/l - (H400/H410) | 200           | > 1,5 gO <sub>2</sub> /g  | 200           | Ja               | 20.000        | 1.860,98      | Toxiciteit   |

| Nr. | Gegevens insluitsysteem |                  |                   |                   |                             |                    | Toetsing drempelwaarden |               |             |   |           |               | Selectie         |              |
|-----|-------------------------|------------------|-------------------|-------------------|-----------------------------|--------------------|-------------------------|---------------|-------------|---|-----------|---------------|------------------|--------------|
|     | Locatie                 | Installatienaam  | Aanwezige stof    | Maximaal aanwezig |                             | Onvoorziene lozing | Oppervlaktewater        |               |             |   |           |               | Oppervlaktewater |              |
|     |                         |                  |                   | Volume            | Massa                       | Afstroomroute      | Toxiciteit              | Drempelwaarde | BZV         | Drempelwaarde   | Drijfslag | Drempelwaarde | Selectiegetal    | Aanwijsgrond |
|     |                         |                  | [m <sup>3</sup> ] | [kg]              | Oppervlaktewater en/of RWZI | Categorie          | [kg]                    | Categorie     | [kg]        | Dichtheid < 1.000 kg/m <sup>3</sup> & Oplosbaarheid < 100 g/l | [kg]      | [-]           |                  |              |
| 1   | HEFA-unit               | Reactor 02-R-101 | Schone grondstof  | 74,5              | 67.050                      | Oppervlaktewater   | < 1 mg/l - (H400/H410)  | 20            | > 1,5 gO2/g | 20  | Ja        | 2.000         | 3.352,50         | Toxiciteit   |
| 2   | HEFA-unit               | Reactor 02-R-102 | Schone grondstof  | 46,2              | 41.580                      | Oppervlaktewater   | < 1 mg/l - (H400/H410)  | 20            | > 1,5 gO2/g | 20  | Ja        | 2.000         | 2.079,00         | Toxiciteit   |
| 3   | HEFA-unit               | Reactor 02-R-103 | Schone grondstof  | 23,7              | 21.330                      | Oppervlaktewater   | < 1 mg/l - (H400/H410)  | 20            | > 1,5 gO2/g | 20  | Ja        | 2.000         | 1.066,50         | Toxiciteit   |
| 4   | HEFA-unit               | Vessel 02-V-101  | Schone grondstof  | 38,6              | 34.740                      | Oppervlaktewater   | < 1 mg/l - (H400/H410)  | 20            | > 1,5 gO2/g | 20  | Ja        | 2.000         | 1.737,00         | Toxiciteit   |
| 5   | HEFA-unit               | Vessel 02-V-102  | Schone grondstof  | 10,4              | 9.360                       | Oppervlaktewater   | < 1 mg/l - (H400/H410)  | 20            | > 1,5 gO2/g | 20  | Ja        | 2.000         | 468,00           | Toxiciteit   |
| 6   | HEFA-unit               | Vessel 02-V-411  | Schone grondstof  | 1,0               | 900                         | Oppervlaktewater   | < 1 mg/l - (H400/H410)  | 20            | > 1,5 gO2/g | 20  | Ja        | 2.000         | 45,00            | Toxiciteit   |
| 7   | HEFA-unit               | Vessel 02-V-103  | Schone grondstof  | 40,3              | 36.270                      | Oppervlaktewater   | < 1 mg/l - (H400/H410)  | 20            | > 1,5 gO2/g | 20  | Ja        | 2.000         | 1.813,50         | Toxiciteit   |
| 8   | HEFA-unit               | Vessel 02-C-301  | Schone grondstof  | 27,9              | 25.110                      | Oppervlaktewater   | < 1 mg/l - (H400/H410)  | 20            | > 1,5 gO2/g | 20  | Ja        | 2.000         | 1.255,50         | Toxiciteit   |
| 9   | HEFA-unit               | Vessel 02-C-201  | Nafta             | 49,0              | 33.075                      | Oppervlaktewater   | < 1 mg/l - (H400/H410)  | 20            | > 1,5 gO2/g | 20  | Ja        | 2.000         | 1.653,75         | Toxiciteit   |
| 10  | HEFA-unit               | Vessel 02-V-302  | Nafta             | 4,1               | 2.768                       | Oppervlaktewater   | < 1 mg/l - (H400/H410)  | 20            | > 1,5 gO2/g | 20  | Ja        | 2.000         | 138,38           | Toxiciteit   |
| 11  | HEFA-unit               | Vessel 02-V-201  | Nafta             | 7,4               | 4.995                       | Oppervlaktewater   | < 1 mg/l - (H400/H410)  | 20            | > 1,5 gO2/g | 20  | Ja        | 2.000         | 249,75           | Toxiciteit   |
| 12  | HEFA-unit               | Column 02-C-203  | Nafta             | 36,1              | 24.368                      | Oppervlaktewater   | < 1 mg/l - (H400/H410)  | 20            | > 1,5 gO2/g | 20  | Ja        | 2.000         | 1.218,38         | Toxiciteit   |
| 13  | HEFA-unit               | Column 02-C-202  | Nafta             | 273,4             | 184.545                     | Oppervlaktewater   | < 1 mg/l - (H400/H410)  | 20            | > 1,5 gO2/g | 20  | Ja        | 2.000         | 9.227,25         | Toxiciteit   |
| 14  | HEFA-unit               | Vessel 02-V-202  | Nafta             | 54,7              | 36.923                      | Oppervlaktewater   | < 1 mg/l - (H400/H410)  | 20            | > 1,5 gO2/g | 20  | Ja        | 2.000         | 1.846,13         | Toxiciteit   |
| 15  | HEFA-unit               | Reactor 02-R-302 | Schone grondstof  | 7,7               | 6.930                       | Oppervlaktewater   | < 1 mg/l - (H400/H410)  | 20            | > 1,5 gO2/g | 20  | Ja        | 2.000         | 346,50           | Toxiciteit   |
| 16  | HEFA-unit               | Vessel 02-V-301  | Schone grondstof  | 7,0               | 6.300                       | Oppervlaktewater   | < 1 mg/l - (H400/H410)  | 20            | > 1,5 gO2/g | 20  | Ja        | 2.000         | 315,00           | Toxiciteit   |
| 17  | HEFA-unit               | Column 02-C-401  | Nafta             | 46,8              | 31.590                      | Oppervlaktewater   | < 1 mg/l - (H400/H410)  | 20            | > 1,5 gO2/g | 20  | Ja        | 2.000         | 1.579,50         | Toxiciteit   |
| 18  | HEFA-unit               | Column 02-C-402  | Nafta             | 54,4              | 36.720                      | Oppervlaktewater   | < 1 mg/l - (H400/H410)  | 20            | > 1,5 gO2/g | 20  | Ja        | 2.000         | 1.836,00         | Toxiciteit   |
| 19  | HEFA-unit               | Column 02-C-403  | Nafta             | 52,9              | 35.708                      | Oppervlaktewater   | < 1 mg/l - (H400/H410)  | 20            | > 1,5 gO2/g | 20  | Ja        | 2.000         | 1.785,38         | Toxiciteit   |
| 20  | HEFA-unit               | Vessel 02-V-402  | Nafta             | 7,7               | 5.198                       | Oppervlaktewater   | < 1 mg/l - (H400/H410)  | 20            | > 1,5 gO2/g | 20  | Ja        | 2.000         | 259,88           | Toxiciteit   |
| 21  | HEFA-unit               | Column 02-C-404  | Schone grondstof  | 13,2              | 11.880                      | Oppervlaktewater   | < 1 mg/l - (H400/H410)  | 20            | > 1,5 gO2/g | 20  | Ja        | 2.000         | 594,00           | Toxiciteit   |
| 22  | HEFA-unit               | Vessel 02-V-403  | Schone grondstof  | 3,5               | 3.150                       | Oppervlaktewater   | < 1 mg/l - (H400/H410)  | 20            | > 1,5 gO2/g | 20  | Ja        | 2.000         | 157,50           | Toxiciteit   |
| 23  | HEFA-unit               | Vessel 02-V-105  | Schone grondstof  | 47,8              | 43.020                      | Oppervlaktewater   | < 1 mg/l - (H400/H410)  | 20            | > 1,5 gO2/g | 20  | Ja        | 2.000         | 2.151,00         | Toxiciteit   |
| 24  | HEFA-unit               | Reactor 02-R-301 | Schone grondstof  | 17,6              | 15.840                      | Oppervlaktewater   | < 1 mg/l - (H400/H410)  | 20            | > 1,5 gO2/g | 20  | Ja        | 2.000         | 792,00           | Toxiciteit   |
| 25  | HEFA-unit               | Vessel 02-V-411  | Schone grondstof  | 10,3              | 9.270                       | Oppervlaktewater   | < 1 mg/l - (H400/H410)  | 20            | > 1,5 gO2/g | 20  | Ja        | 2.000         | 463,50           | Toxiciteit   |
| 26  | HEFA-unit               | Vessel 04-V-603  | Schone grondstof  | 0,5               | 450                         | Oppervlaktewater   | < 1 mg/l - (H400/H410)  | 20            | > 1,5 gO2/g | 20  | Ja        | 2.000         | 22,50            | Toxiciteit   |
| 27  | HEFA-unit               | Vessel 04-V-604  | Schone grondstof  | 12,5              | 11.250                      | Oppervlaktewater   | < 1 mg/l - (H400/H410)  | 20            | > 1,5 gO2/g | 20  | Ja        | 2.000         | 562,50           | Toxiciteit   |
| 28  | HEFA-unit               | Vessel 15-V-611  | Schone grondstof  | 10,0              | 9.000                       | Oppervlaktewater   | < 1 mg/l - (H400/H410)  | 20            | > 1,5 gO2/g | 20  | Ja        | 2.000         | 450,00           | Toxiciteit   |

**Kenmerk** R003-1276528KLB-V06-ivl-NL

## **Bijlage 6      Proteus rapportage**

# Rapportage

2025-02-25, 09:36:06

---

# 1 Projectgegevens

---

## 1.1 Bedrijfsgegevens

Bedrijfsnaam

Omschrijving

Contactpersoon

Telefoon

E-Mail

Postadres

Postcode

Plaats

UitgevoerdDoor

VanBedrijf

OppervlakBedrijfsterrein m<sup>2</sup>

Centroïde

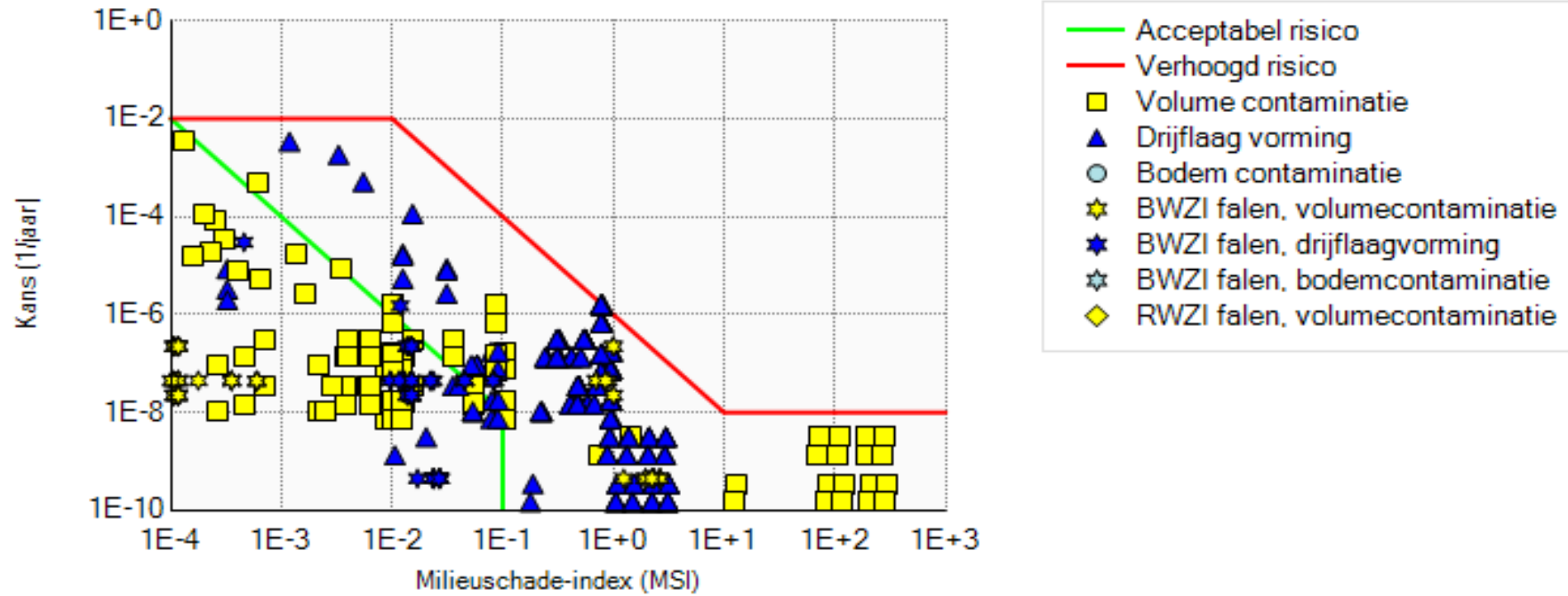
X-coördinaat

Y-coördinaat

## 2 Executive Summary

### 2.1 MSI Grafiek

MSI Grafiek



## 2.2 Verhoogd risico units

| Group  | Afstroomroute  | Frequentie | Massa uitstroom | Volume contaminatie | MSI Factored | Weegfactor | Oever Contaminatie | Uitstroom tijd | Bluswater | RWZI      |               |                          | LC50 gewogen |
|--|--|------------|-----------------|---------------------|--------------|------------|--------------------|----------------|-----------|-----------|---------------|--------------------------|--------------|
|  |  |            |                 |                     |              |            |                    |                |           | inhibitie | overbelasting | Actief slib beïnvloeding |              |
|  |  | [j-1]      | [kg]            | [m3]                |              |            | [m]                | [s]            | [m3]      |           |               |                          | [m3]         |
| TP-101,14-T-411D,Kleine brand,Schone grondstof     | R34[D]->D341[D]->D466[D]->D473[D]->D29[D]->D751[B]->W765                   | 4,500E-10  | 2,312E+5        |                     | 0,000E+0     | 1,000E+0   |                    | 2,880E+4       | 5,853E+3  | ja (BWZI) |               | ja (BWZI)                | 2,569E+8     |
| TP-101,14-T-411D,Kleine brand,Schone grondstof     | R34[D]->D341[D]->D466[D]->D473[D]->D29[D]->D751[B]->W765                   | 4,500E-10  | 2,632E+5        |                     | 0,000E+0     | 1,000E+0   |                    | 2,880E+4       | 7,955E+3  | ja (BWZI) |               | ja (BWZI)                | 2,925E+8     |
| TP-101,14-T-411C,Kleine brand,Schone grondstof     | R34[D]->D341[D]->D466[D]->D473[D]->D29[D]->D751[B]->W765                   | 4,500E-10  | 2,312E+5        |                     | 0,000E+0     | 1,000E+0   |                    | 2,880E+4       | 5,853E+3  | ja (BWZI) |               | ja (BWZI)                | 2,569E+8     |
| TP-101,14-T-411C,Kleine brand,Schone grondstof     | R34[D]->D341[D]->D466[D]->D473[D]->D29[D]->D751[B]->W765                   | 4,500E-10  | 2,632E+5        |                     | 0,000E+0     | 1,000E+0   |                    | 2,880E+4       | 7,955E+3  | ja (BWZI) |               | ja (BWZI)                | 2,925E+8     |
| TP-101,14-T-411B,Kleine brand,Schone grondstof     | R34[D]->D341[D]->D466[D]->D473[D]->D29[D]->D751[B]->W765                   | 4,500E-10  | 2,312E+5        |                     | 0,000E+0     | 1,000E+0   |                    | 2,880E+4       | 5,853E+3  | ja (BWZI) |               | ja (BWZI)                | 2,569E+8     |
| TP-101,14-T-411B,Kleine brand,Schone grondstof     | R34[D]->D341[D]->D466[D]->D473[D]->D29[D]->D751[B]->W765                   | 4,500E-10  | 2,632E+5        |                     | 0,000E+0     | 1,000E+0   |                    | 2,880E+4       | 7,955E+3  | ja (BWZI) |               | ja (BWZI)                | 2,925E+8     |
| TP-101,14-T-411A,Kleine brand,Schone grondstof     | R34[D]->D341[D]->D466[D]->D473[D]->D29[D]->D751[B]->W765                   | 4,500E-10  | 2,312E+5        |                     | 0,000E+0     | 1,000E+0   |                    | 2,880E+4       | 5,853E+3  | ja (BWZI) |               | ja (BWZI)                | 2,569E+8     |
| TP-101,14-T-411A,Kleine brand,Schone grondstof     | R34[D]->D341[D]->D466[D]->D473[D]->D29[D]->D751[B]->W765                   | 4,500E-10  | 2,632E+5        |                     | 0,000E+0     | 1,000E+0   |                    | 2,880E+4       | 7,955E+3  | ja (BWZI) |               | ja (BWZI)                | 2,925E+8     |
| TP-101,14-T-411D,Instantaan falen,Schone grondstof | R34[D]->D341[D]->D466[D]->D473[D]->D29[D]->D751[B]->W765                   | 4,455E-8   | 1,287E+0        |                     | 0,000E+0     | 1,000E+0   |                    | 1,130E+5       | 0,000E+0  | ja (BWZI) |               | ja (BWZI)                | 1,430E+3     |
| TP-101,14-T-411D,Continu falen,Schone grondstof    | R34[D]->D341[D]->D466[D]->D473[D]->D29[D]->D751[B]->W765                   | 4,455E-8   | 7,172E+0        |                     | 0,000E+0     | 1,000E+0   |                    | 1,130E+5       | 0,000E+0  | ja (BWZI) |               | ja (BWZI)                | 7,969E+3     |
| TP-101,14-T-411D,Topping,Schone grondstof          | R34[O]->D573[D]->D341[D]->D466[D]->D473[D]->D29[D]->D751[B]->W765          | 2,250E-7   | 1,287E+0        |                     | 0,000E+0     | 1,000E+0   |                    | 1,130E+5       | 0,000E+0  | ja (BWZI) |               | ja (BWZI)                | 1,430E+3     |
| TP-101,14-T-411D,Topping,Schone grondstof          | R34[O]->D573[O]->D504[D]->D341[D]->D466[D]->D473[D]->D29[D]->D751[B]->W765 | 2,250E-8   | 1,287E+0        |                     | 0,000E+0     | 1,000E+0   |                    | 1,130E+5       | 0,000E+0  | ja (BWZI) |               | ja (BWZI)                | 1,430E+3     |
| TP-101,14-T-411C,Instantaan falen,Schone grondstof | R34[D]->D341[D]->D466[D]->D473[D]->D29[D]->D751[B]->W765                   | 4,455E-8   | 1,287E+0        |                     | 0,000E+0     | 1,000E+0   |                    | 1,130E+5       | 0,000E+0  | ja (BWZI) |               | ja (BWZI)                | 1,430E+3     |
| TP-101,14-T-411C,Continu falen,Schone grondstof    | R34[D]->D341[D]->D466[D]->D473[D]->D29[D]->D751[B]->W765                   | 4,455E-8   | 7,172E+0        |                     | 0,000E+0     | 1,000E+0   |                    | 1,130E+5       | 0,000E+0  | ja (BWZI) |               | ja (BWZI)                | 7,969E+3     |
| TP-101,14-T-411C,Topping,Schone grondstof          | R34[O]->D573[D]->D341[D]->D466[D]->D473[D]->D29[D]->D751[B]->W765          | 2,250E-7   | 1,287E+0        |                     | 0,000E+0     | 1,000E+0   |                    | 1,130E+5       | 0,000E+0  | ja (BWZI) |               | ja (BWZI)                | 1,430E+3     |



| Group  | Afstroomroute  | Frequentie | Massa uitstroom | Volume contaminatie | MSI Factored | Weegfactor | Oever Contaminatie | Uitstroom tijd | Bluswater | RWZI      |               |                          | LC50 gewogen |
|--|--|------------|-----------------|---------------------|--------------|------------|--------------------|----------------|-----------|-----------|---------------|--------------------------|--------------|
|  |  | [j-1]      | [kg]            | [m3]                |              |            | [m]                | [s]            | [m3]      | inhibitie | overbelasting | Actief slib beïnvloeding | [m3]         |
| TP-101,14-T-411C,Topping,Schone grondstof          | R34[O]->D573[O]->D504[D]->D341[D]->D466[D]->D473[D]->D29[D]->D751[B]->W765 | 2,250E-8   | 1,287E+0        |                     | 0,000E+0     | 1,000E+0   |                    | 1,130E+5       | 0,000E+0  | ja (BWZI) |               | ja (BWZI)                | 1,430E+3     |
| TP-101,14-T-411B,Instantaan falen,Schone grondstof | R34[D]->D341[D]->D466[D]->D473[D]->D29[D]->D751[B]->W765                   | 4,455E-8   | 1,287E+0        |                     | 0,000E+0     | 1,000E+0   |                    | 1,130E+5       | 0,000E+0  | ja (BWZI) |               | ja (BWZI)                | 1,430E+3     |
| TP-101,14-T-411B,Continu falen,Schone grondstof    | R34[D]->D341[D]->D466[D]->D473[D]->D29[D]->D751[B]->W765                   | 4,455E-8   | 7,172E+0        |                     | 0,000E+0     | 1,000E+0   |                    | 1,130E+5       | 0,000E+0  | ja (BWZI) |               | ja (BWZI)                | 7,969E+3     |
| TP-101,14-T-411B,Topping,Schone grondstof          | R34[O]->D573[D]->D341[D]->D466[D]->D473[D]->D29[D]->D751[B]->W765          | 2,250E-7   | 1,287E+0        |                     | 0,000E+0     | 1,000E+0   |                    | 1,130E+5       | 0,000E+0  | ja (BWZI) |               | ja (BWZI)                | 1,430E+3     |
| TP-101,14-T-411B,Topping,Schone grondstof          | R34[O]->D573[O]->D504[D]->D341[D]->D466[D]->D473[D]->D29[D]->D751[B]->W765 | 2,250E-8   | 1,287E+0        |                     | 0,000E+0     | 1,000E+0   |                    | 1,130E+5       | 0,000E+0  | ja (BWZI) |               | ja (BWZI)                | 1,430E+3     |
| TP-101,14-T-411A,Instantaan falen,Schone grondstof | R34[D]->D341[D]->D466[D]->D473[D]->D29[D]->D751[B]->W765                   | 4,455E-8   | 1,287E+0        |                     | 0,000E+0     | 1,000E+0   |                    | 1,130E+5       | 0,000E+0  | ja (BWZI) |               | ja (BWZI)                | 1,430E+3     |
| TP-101,14-T-411A,Continu falen,Schone grondstof    | R34[D]->D341[D]->D466[D]->D473[D]->D29[D]->D751[B]->W765                   | 4,455E-8   | 7,172E+0        |                     | 0,000E+0     | 1,000E+0   |                    | 1,130E+5       | 0,000E+0  | ja (BWZI) |               | ja (BWZI)                | 7,969E+3     |
| TP-101,14-T-411A,Topping,Schone grondstof          | R34[O]->D573[D]->D341[D]->D466[D]->D473[D]->D29[D]->D751[B]->W765          | 2,250E-7   | 1,287E+0        |                     | 0,000E+0     | 1,000E+0   |                    | 1,130E+5       | 0,000E+0  | ja (BWZI) |               | ja (BWZI)                | 1,430E+3     |
| TP-101,14-T-411A,Topping,Schone grondstof          | R34[O]->D573[O]->D504[D]->D341[D]->D466[D]->D473[D]->D29[D]->D751[B]->W765 | 2,250E-8   | 1,287E+0        |                     | 0,000E+0     | 1,000E+0   |                    | 1,130E+5       | 0,000E+0  | ja (BWZI) |               | ja (BWZI)                | 1,430E+3     |
| TP-101,14-T-171,Instantaan falen,Ruwe grondstof    | R34[D]->D341[D]->D466[D]->D473[D]->D29[D]->D751[B]->W765                   | 4,500E-8   | 1,216E+0        |                     | 0,000E+0     | 1,000E+0   |                    | 1,038E+5       | 0,000E+0  | ja (BWZI) |               | ja (BWZI)                | 1,351E+3     |
| TP-101,14-T-171,Continu falen,Ruwe grondstof       | R34[D]->D341[D]->D466[D]->D473[D]->D29[D]->D751[B]->W765                   | 4,500E-8   | 2,124E+0        |                     | 0,000E+0     | 1,000E+0   |                    | 1,038E+5       | 0,000E+0  | ja (BWZI) |               | ja (BWZI)                | 2,360E+3     |
| TP-101,14-T-171,Topping,Ruwe grondstof             | R34[O]->D573[D]->D341[D]->D466[D]->D473[D]->D29[D]->D751[B]->W765          | 2,250E-7   | 1,398E+0        |                     | 0,000E+0     | 1,000E+0   |                    | 1,038E+5       | 0,000E+0  | ja (BWZI) |               | ja (BWZI)                | 1,554E+3     |
| TP-101,14-T-171,Topping,Ruwe grondstof             | R34[O]->D573[O]->D504[D]->D341[D]->D466[D]->D473[D]->D29[D]->D751[B]->W765 | 2,250E-8   | 1,398E+0        |                     | 0,000E+0     | 1,000E+0   |                    | 1,038E+5       | 0,000E+0  | ja (BWZI) |               | ja (BWZI)                | 1,554E+3     |
| TP-101,14-T-211D,Instantaan falen,Ruwe grondstof   | R34[D]->D341[D]->D466[D]->D473[D]->D29[D]->D751[B]->W765                   | 4,500E-8   | 1,400E+0        |                     | 0,000E+0     | 1,000E+0   |                    | 1,038E+5       | 0,000E+0  | ja (BWZI) |               | ja (BWZI)                | 1,556E+3     |
| TP-101,14-T-211D,Continu falen,Ruwe grondstof      | R34[D]->D341[D]->D466[D]->D473[D]->D29[D]->D751[B]->W765                   | 4,500E-8   | 4,238E+0        |                     | 0,000E+0     | 1,000E+0   |                    | 1,038E+5       | 0,000E+0  | ja (BWZI) |               | ja (BWZI)                | 4,709E+3     |
| TP-101,14-T-211D,Topping,Ruwe grondstof            | R34[O]->D573[D]->D341[D]->D466[D]->D473[D]->D29[D]->D751[B]->W765          | 2,250E-7   | 1,401E+0        |                     | 0,000E+0     | 1,000E+0   |                    | 1,038E+5       | 0,000E+0  | ja (BWZI) |               | ja (BWZI)                | 1,556E+3     |

| Group  | Afstroomroute  | Frequentie | Massa uitstroom | Volume contaminatie | MSI Factored | Weegfactor | Oever Contaminatie | Uitstroom tijd | Bluswater | RWZI      |               |                          | LC50 gewogen |
|--|--|------------|-----------------|---------------------|--------------|------------|--------------------|----------------|-----------|-----------|---------------|--------------------------|--------------|
|  |  |            |                 |                     |              |            |                    |                |           | inhibitie | overbelasting | Actief slib beïnvloeding |              |
|  |  | [j-1]      | [kg]            | [m3]                |              |            | [m]                | [s]            | [m3]      |           |               |                          | [m3]         |
| TP-101,14-T-211D,Topping,Ruwe grondstof          | R34[O]->D573[O]->D504[D]->D341[D]->D466[D]->D473[D]->D29[D]->D751[B]->W765 | 2,250E-8   | 1,401E+0        |                     | 0,000E+0     | 1,000E+0   |                    | 1,038E+5       | 0,000E+0  | ja (BWZI) |               | ja (BWZI)                | 1,556E+3     |
| TP-101,14-T-211C,Instantaan falen,Ruwe grondstof | R34[D]->D341[D]->D466[D]->D473[D]->D29[D]->D751[B]->W765                   | 4,500E-8   | 1,400E+0        |                     | 0,000E+0     | 1,000E+0   |                    | 1,038E+5       | 0,000E+0  | ja (BWZI) |               | ja (BWZI)                | 1,556E+3     |
| TP-101,14-T-211C,Continu falen,Ruwe grondstof    | R34[D]->D341[D]->D466[D]->D473[D]->D29[D]->D751[B]->W765                   | 4,500E-8   | 4,238E+0        |                     | 0,000E+0     | 1,000E+0   |                    | 1,038E+5       | 0,000E+0  | ja (BWZI) |               | ja (BWZI)                | 4,709E+3     |
| TP-101,14-T-211C,Topping,Ruwe grondstof          | R34[O]->D573[D]->D341[D]->D466[D]->D473[D]->D29[D]->D751[B]->W765          | 2,250E-7   | 1,401E+0        |                     | 0,000E+0     | 1,000E+0   |                    | 1,038E+5       | 0,000E+0  | ja (BWZI) |               | ja (BWZI)                | 1,556E+3     |
| TP-101,14-T-211C,Topping,Ruwe grondstof          | R34[O]->D573[O]->D504[D]->D341[D]->D466[D]->D473[D]->D29[D]->D751[B]->W765 | 2,250E-8   | 1,401E+0        |                     | 0,000E+0     | 1,000E+0   |                    | 1,038E+5       | 0,000E+0  | ja (BWZI) |               | ja (BWZI)                | 1,556E+3     |
| TP-101,14-T-211B,Instantaan falen,Ruwe grondstof | R34[D]->D341[D]->D466[D]->D473[D]->D29[D]->D751[B]->W765                   | 4,500E-8   | 1,400E+0        |                     | 0,000E+0     | 1,000E+0   |                    | 1,038E+5       | 0,000E+0  | ja (BWZI) |               | ja (BWZI)                | 1,556E+3     |
| TP-101,14-T-211B,Continu falen,Ruwe grondstof    | R34[D]->D341[D]->D466[D]->D473[D]->D29[D]->D751[B]->W765                   | 4,500E-8   | 4,238E+0        |                     | 0,000E+0     | 1,000E+0   |                    | 1,038E+5       | 0,000E+0  | ja (BWZI) |               | ja (BWZI)                | 4,709E+3     |
| TP-101,14-T-211B,Topping,Ruwe grondstof          | R34[O]->D573[D]->D341[D]->D466[D]->D473[D]->D29[D]->D751[B]->W765          | 2,250E-7   | 1,401E+0        |                     | 0,000E+0     | 1,000E+0   |                    | 1,038E+5       | 0,000E+0  | ja (BWZI) |               | ja (BWZI)                | 1,556E+3     |
| TP-101,14-T-211B,Topping,Ruwe grondstof          | R34[O]->D573[O]->D504[D]->D341[D]->D466[D]->D473[D]->D29[D]->D751[B]->W765 | 2,250E-8   | 1,401E+0        |                     | 0,000E+0     | 1,000E+0   |                    | 1,038E+5       | 0,000E+0  | ja (BWZI) |               | ja (BWZI)                | 1,556E+3     |
| TP-101,14-T-211A,Instantaan falen,Ruwe grondstof | R34[D]->D341[D]->D466[D]->D473[D]->D29[D]->D751[B]->W765                   | 4,500E-8   | 1,400E+0        |                     | 0,000E+0     | 1,000E+0   |                    | 1,038E+5       | 0,000E+0  | ja (BWZI) |               | ja (BWZI)                | 1,556E+3     |
| TP-101,14-T-211A,Continu falen,Ruwe grondstof    | R34[D]->D341[D]->D466[D]->D473[D]->D29[D]->D751[B]->W765                   | 4,500E-8   | 4,238E+0        |                     | 0,000E+0     | 1,000E+0   |                    | 1,038E+5       | 0,000E+0  | ja (BWZI) |               | ja (BWZI)                | 4,709E+3     |
| TP-101,14-T-211A,Topping,Ruwe grondstof          | R34[O]->D573[D]->D341[D]->D466[D]->D473[D]->D29[D]->D751[B]->W765          | 2,250E-7   | 1,401E+0        |                     | 0,000E+0     | 1,000E+0   |                    | 1,038E+5       | 0,000E+0  | ja (BWZI) |               | ja (BWZI)                | 1,556E+3     |
| TP-101,14-T-211A,Topping,Ruwe grondstof          | R34[O]->D573[O]->D504[D]->D341[D]->D466[D]->D473[D]->D29[D]->D751[B]->W765 | 2,250E-8   | 1,401E+0        |                     | 0,000E+0     | 1,000E+0   |                    | 1,038E+5       | 0,000E+0  | ja (BWZI) |               | ja (BWZI)                | 1,556E+3     |
| TP-108,14-T-621,Kleine brand,Bio-nafta           | R38[D]->D341[D]->D466[D]->D473[D]->D29[D]->D751[B]->W765                   | 4,500E-10  | 1,238E+5        |                     | 0,000E+0     | 1,000E+0   |                    | 2,880E+4       | 8,490E+2  | ja (BWZI) |               | ja (BWZI)                | 1,376E+8     |
| TP-108,14-T-601C,Kleine brand,DLB                | R38[D]->D341[D]->D466[D]->D473[D]->D29[D]->D751[B]->W765                   | 4,500E-10  | 1,948E+5        |                     | 0,000E+0     | 1,000E+0   |                    | 2,880E+4       | 3,012E+3  | ja (BWZI) |               | ja (BWZI)                | 2,165E+7     |
| TP-108,14-T-601C,Kleine brand,DLB                | R38[D]->D341[D]->D466[D]->D473[D]->D29[D]->D751[B]->W765                   | 4,500E-10  | 2,218E+5        |                     | 0,000E+0     | 1,000E+0   |                    | 2,880E+4       | 4,101E+3  | ja (BWZI) |               | ja (BWZI)                | 2,464E+7     |

| Group                                       | Afstroomroute  | Frequentie | Massa uitstroom | Volume contaminatie | MSI Factored | Weegfactor | Oever Contaminatie | Uitstroom tijd | Bluswater | RWZI      |               |                          | LC50 gewogen |
|---|--|------------|-----------------|---------------------|--------------|------------|--------------------|----------------|-----------|-----------|---------------|--------------------------|--------------|
|   |  | [j-1]      | [kg]            | [m3]                |              |            | [m]                | [s]            | [m3]      | inhibitie | overbelasting | Actief slib beïnvloeding | [m3]         |
| TP-108,14-T-601B,Kleine brand,DLB           | R38[D]->D341[D]->D466[D]->D473[D]->D29[D]->D751[B]->W765                   | 4,500E-10  | 1,948E+5        |                     | 0,000E+0     | 1,000E+0   |                    | 2,880E+4       | 3,012E+3  | ja (BWZI) |               | ja (BWZI)                | 2,165E+7     |
| TP-108,14-T-601B,Kleine brand,DLB           | R38[D]->D341[D]->D466[D]->D473[D]->D29[D]->D751[B]->W765                   | 4,500E-10  | 2,218E+5        |                     | 0,000E+0     | 1,000E+0   |                    | 2,880E+4       | 4,101E+3  | ja (BWZI) |               | ja (BWZI)                | 2,464E+7     |
| TP-108,14-T-601A,Kleine brand,DLB           | R38[D]->D341[D]->D466[D]->D473[D]->D29[D]->D751[B]->W765                   | 4,500E-10  | 1,948E+5        |                     | 0,000E+0     | 1,000E+0   |                    | 2,880E+4       | 3,012E+3  | ja (BWZI) |               | ja (BWZI)                | 2,165E+7     |
| TP-108,14-T-601A,Kleine brand,DLB           | R38[D]->D341[D]->D466[D]->D473[D]->D29[D]->D751[B]->W765                   | 4,500E-10  | 2,218E+5        |                     | 0,000E+0     | 1,000E+0   |                    | 2,880E+4       | 4,101E+3  | ja (BWZI) |               | ja (BWZI)                | 2,464E+7     |
| TP-108,14-T-621,Instantaan falen,Bio-nafta  | R38[D]->D341[D]->D466[D]->D473[D]->D29[D]->D751[B]->W765                   | 4,500E-8   | 8,982E+4        |                     | 0,000E+0     | 1,000E+0   |                    | 2,880E+4       | 0,000E+0  | ja (BWZI) |               | ja (BWZI)                | 9,980E+7     |
| TP-108,14-T-621,Continu falen,Bio-nafta     | R38[D]->D341[D]->D466[D]->D473[D]->D29[D]->D751[B]->W765                   | 4,455E-8   | 1,227E+0        |                     | 0,000E+0     | 1,000E+0   |                    | 1,407E+5       | 0,000E+0  | ja (BWZI) |               | ja (BWZI)                | 1,363E+3     |
| TP-108,14-T-621,Topping,Bio-nafta           | R38[O]->D547[D]->D341[D]->D466[D]->D473[D]->D29[D]->D751[B]->W765          | 2,250E-7   | 7,745E-1        |                     | 0,000E+0     | 1,000E+0   |                    | 1,407E+5       | 0,000E+0  | ja (BWZI) |               | ja (BWZI)                | 8,605E+2     |
| TP-108,14-T-621,Topping,Bio-nafta           | R38[O]->D547[O]->D332[D]->D341[D]->D466[D]->D473[D]->D29[D]->D751[B]->W765 | 2,250E-8   | 7,745E-1        |                     | 0,000E+0     | 1,000E+0   |                    | 1,407E+5       | 0,000E+0  | ja (BWZI) |               | ja (BWZI)                | 8,605E+2     |
| TP-108,14-T-611B,Instantaan falen,Bio-nafta | R38[D]->D341[D]->D466[D]->D473[D]->D29[D]->D751[B]->W765                   | 4,500E-8   | 7,011E+4        |                     | 0,000E+0     | 1,000E+0   |                    | 2,880E+4       | 0,000E+0  | ja (BWZI) |               | ja (BWZI)                | 7,790E+7     |
| TP-108,14-T-611B,Continu falen,Bio-nafta    | R38[D]->D341[D]->D466[D]->D473[D]->D29[D]->D751[B]->W765                   | 4,500E-8   | 8,486E+4        |                     | 0,000E+0     | 1,000E+0   |                    | 2,880E+4       | 0,000E+0  | ja (BWZI) |               | ja (BWZI)                | 9,428E+7     |
| TP-108,14-T-611B,Topping,Bio-nafta          | R38[O]->D547[D]->D341[D]->D466[D]->D473[D]->D29[D]->D751[B]->W765          | 2,250E-7   | 9,962E+4        |                     | 0,000E+0     | 1,000E+0   |                    | 2,880E+4       | 0,000E+0  | ja (BWZI) |               | ja (BWZI)                | 1,107E+8     |
| TP-108,14-T-611B,Topping,Bio-nafta          | R38[O]->D547[O]->D332[D]->D341[D]->D466[D]->D473[D]->D29[D]->D751[B]->W765 | 2,250E-8   | 9,962E+4        |                     | 0,000E+0     | 1,000E+0   |                    | 2,880E+4       | 0,000E+0  | ja (BWZI) |               | ja (BWZI)                | 1,107E+8     |
| TP-108,14-T-611A,Instantaan falen,Bio-nafta | R38[D]->D341[D]->D466[D]->D473[D]->D29[D]->D751[B]->W765                   | 4,500E-8   | 7,011E+4        |                     | 0,000E+0     | 1,000E+0   |                    | 2,880E+4       | 0,000E+0  | ja (BWZI) |               | ja (BWZI)                | 7,790E+7     |
| TP-108,14-T-611A,Continu falen,Bio-nafta    | R38[D]->D341[D]->D466[D]->D473[D]->D29[D]->D751[B]->W765                   | 4,500E-8   | 8,486E+4        |                     | 0,000E+0     | 1,000E+0   |                    | 2,880E+4       | 0,000E+0  | ja (BWZI) |               | ja (BWZI)                | 9,428E+7     |
| TP-108,14-T-611A,Topping,Bio-nafta          | R38[O]->D547[D]->D341[D]->D466[D]->D473[D]->D29[D]->D751[B]->W765          | 2,250E-7   | 9,962E+4        |                     | 0,000E+0     | 1,000E+0   |                    | 2,880E+4       | 0,000E+0  | ja (BWZI) |               | ja (BWZI)                | 1,107E+8     |
| TP-108,14-T-611A,Topping,Bio-nafta          | R38[O]->D547[O]->D332[D]->D341[D]->D466[D]->D473[D]->D29[D]->D751[B]->W765 | 2,250E-8   | 9,962E+4        |                     | 0,000E+0     | 1,000E+0   |                    | 2,880E+4       | 0,000E+0  | ja (BWZI) |               | ja (BWZI)                | 1,107E+8     |

| Group   | Afstroomroute  | Frequentie | Massa uitstroom | Volume contaminatie | MSI Factored | Weegfactor | Oever Contaminatie | Uitstroom tijd | Bluswater | RWZI      |               |                          | LC50 gewogen |
|---|--|------------|-----------------|---------------------|--------------|------------|--------------------|----------------|-----------|-----------|---------------|--------------------------|--------------|
|   |  |            |                 |                     |              |            |                    |                |           | inhibitie | overbelasting | Actief slib beïnvloeding |              |
|   |  | [j-1]      | [kg]            | [m3]                |              |            | [m]                | [s]            | [m3]      |           |               |                          | [m3]         |
| TP-108,14-T-601C,Instantaan falen,DLB   | R38[D]->D341[D]->D466[D]->D473[D]->D29[D]->D751[B]->W765                   | 4,455E-8   | 1,298E+0        |                     | 0,000E+0     | 1,000E+0   |                    | 9,588E+4       | 0,000E+0  | ja (BWZI) |               | ja (BWZI)                | 1,442E+2     |
| TP-108,14-T-601C,Continu falen,DLB  | R38[D]->D341[D]->D466[D]->D473[D]->D29[D]->D751[B]->W765                   | 4,455E-8   | 7,108E+0        |                     | 0,000E+0     | 1,000E+0   |                    | 9,588E+4       | 0,000E+0  | ja (BWZI) |               | ja (BWZI)                | 7,898E+2     |
| TP-108,14-T-601C,Topping,DLB  | R38[O]->D547[D]->D341[D]->D466[D]->D473[D]->D29[D]->D751[B]->W765          | 2,250E-7   | 1,298E+0        |                     | 0,000E+0     | 1,000E+0   |                    | 9,588E+4       | 0,000E+0  | ja (BWZI) |               | ja (BWZI)                | 1,442E+2     |
| TP-108,14-T-601C,Topping,DLB  | R38[O]->D547[O]->D332[D]->D341[D]->D466[D]->D473[D]->D29[D]->D751[B]->W765 | 2,250E-8   | 1,298E+0        |                     | 0,000E+0     | 1,000E+0   |                    | 9,588E+4       | 0,000E+0  | ja (BWZI) |               | ja (BWZI)                | 1,442E+2     |
| TP-108,14-T-601B,Instantaan falen,DLB   | R38[D]->D341[D]->D466[D]->D473[D]->D29[D]->D751[B]->W765                   | 4,455E-8   | 1,298E+0        |                     | 0,000E+0     | 1,000E+0   |                    | 9,588E+4       | 0,000E+0  | ja (BWZI) |               | ja (BWZI)                | 1,442E+2     |
| TP-108,14-T-601B,Continu falen,DLB  | R38[D]->D341[D]->D466[D]->D473[D]->D29[D]->D751[B]->W765                   | 4,455E-8   | 1,932E+0        |                     | 0,000E+0     | 1,000E+0   |                    | 9,588E+4       | 0,000E+0  | ja (BWZI) |               | ja (BWZI)                | 2,147E+2     |
| TP-108,14-T-601B,Topping,DLB  | R38[O]->D547[D]->D341[D]->D466[D]->D473[D]->D29[D]->D751[B]->W765          | 2,250E-7   | 1,298E+0        |                     | 0,000E+0     | 1,000E+0   |                    | 9,588E+4       | 0,000E+0  | ja (BWZI) |               | ja (BWZI)                | 1,442E+2     |
| TP-108,14-T-601B,Topping,DLB  | R38[O]->D547[O]->D332[D]->D341[D]->D466[D]->D473[D]->D29[D]->D751[B]->W765 | 2,250E-8   | 1,298E+0        |                     | 0,000E+0     | 1,000E+0   |                    | 9,588E+4       | 0,000E+0  | ja (BWZI) |               | ja (BWZI)                | 1,442E+2     |
| TP-108,14-T-601A,Instantaan falen,DLB   | R38[D]->D341[D]->D466[D]->D473[D]->D29[D]->D751[B]->W765                   | 4,455E-8   | 1,298E+0        |                     | 0,000E+0     | 1,000E+0   |                    | 9,588E+4       | 0,000E+0  | ja (BWZI) |               | ja (BWZI)                | 1,442E+2     |
| TP-108,14-T-601A,Continu falen,DLB  | R38[D]->D341[D]->D466[D]->D473[D]->D29[D]->D751[B]->W765                   | 4,455E-8   | 1,932E+0        |                     | 0,000E+0     | 1,000E+0   |                    | 9,588E+4       | 0,000E+0  | ja (BWZI) |               | ja (BWZI)                | 2,147E+2     |
| TP-108,14-T-601A,Topping,DLB  | R38[O]->D547[D]->D341[D]->D466[D]->D473[D]->D29[D]->D751[B]->W765          | 2,250E-7   | 1,298E+0        |                     | 0,000E+0     | 1,000E+0   |                    | 9,588E+4       | 0,000E+0  | ja (BWZI) |               | ja (BWZI)                | 1,442E+2     |
| TP-108,14-T-601A,Topping,DLB  | R38[O]->D547[O]->D332[D]->D341[D]->D466[D]->D473[D]->D29[D]->D751[B]->W765 | 2,250E-8   | 1,298E+0        |                     | 0,000E+0     | 1,000E+0   |                    | 9,588E+4       | 0,000E+0  | ja (BWZI) |               | ja (BWZI)                | 1,442E+2     |
| HEFA-unit,02-C-202,Instantaan falen,Receptnr 1: Tussenproduct (C.Reactor: 02-C-202) | R115[D]->D357[D]->D473[D]->D29[D]->D751[B]->W765                           | 1,500E-6   | 6,142E-1        |                     | 0,000E+0     | 1,000E+0   |                    | 1,407E+5       | 0,000E+0  | ja (BWZI) |               | ja (BWZI)                | 6,824E+2     |
| HEFA-unit,02-C-202,Continu falen,Receptnr 1: Tussenproduct (C.Reactor: 02-C-202)    | R115[D]->D357[D]->D473[D]->D29[D]->D751[B]->W765                           | 2,997E-5   | 2,379E-2        |                     | 0,000E+0     | 1,000E+0   |                    | 1,000E+0       | 0,000E+0  | ja (BWZI) |               |                          | 2,643E+1     |

## 2.3 Acceptabel risico units

| Group  | Afstroomroute  | Frequentie | Massa uitstroom | Volume contaminatie | MSI Factored | Weegfactor | Oever Contaminatie | Uitstroom tijd | Bluswater | RWZI      |               |                          | LC50 gewogen |
|--|--|------------|-----------------|---------------------|--------------|------------|--------------------|----------------|-----------|-----------|---------------|--------------------------|--------------|
|  |  |            |                 |                     |              |            |                    |                |           | inhibitie | overbelasting | Actief slib beïnvloeding |              |
|  |  | [j-1]      | [kg]            | [m3]                |              |            | [m]                | [s]            | [m3]      |           |               |                          | [m3]         |
| TP-101,14-T-411D,Kleine brand,Schone grondstof | R34[D]->D341[D]->D466[O]->D9[D]->D698[D]->W77          | 3,500E-10  | 4,908E+6        |                     | 2,272E+0     | 5,000E+0   | 2,353E+4           | 3,315E+3       | 5,853E+3  |           |               |                          | 5,453E+9     |
| TP-101,14-T-411D,Kleine brand,Schone grondstof | R34[D]->D341[D]->D466[O]->D9[D]->D698[D]->W77          | 3,500E-10  | 4,908E+6        | 7,361E+8            | 2,115E+2     | 4,310E+0   |                    | 3,315E+3       | 5,853E+3  |           |               |                          | 5,453E+9     |
| TP-101,14-T-411D,Kleine brand,Schone grondstof | R34[D]->D341[D]->D466[O]->D9[D]->D698[O]->D704[O]->W77 | 3,150E-9   | 4,548E+6        |                     | 2,105E+0     | 5,000E+0   | 2,353E+4           | 3,072E+3       | 5,853E+3  |           |               |                          | 5,053E+9     |
| TP-101,14-T-411D,Kleine brand,Schone grondstof | R34[D]->D341[D]->D466[O]->D9[D]->D698[O]->D704[O]->W77 | 3,150E-9   | 4,548E+6        | 6,821E+8            | 1,960E+2     | 4,310E+0   |                    | 3,072E+3       | 5,853E+3  |           |               |                          | 5,053E+9     |
| TP-101,14-T-411D,Kleine brand,Schone grondstof | R34[D]->D341[D]->D466[O]->D9[D]->D698[D]->W77          | 1,500E-10  | 4,820E+6        |                     | 2,232E+0     | 5,000E+0   | 2,314E+4           | 3,312E+3       | 5,853E+3  |           |               |                          | 5,356E+9     |
| TP-101,14-T-411D,Kleine brand,Schone grondstof | R34[D]->D341[D]->D466[O]->D9[D]->D698[D]->W77          | 1,500E-10  | 4,820E+6        | 7,230E+8            | 2,078E+2     | 4,310E+0   |                    | 3,312E+3       | 5,853E+3  |           |               |                          | 5,356E+9     |
| TP-101,14-T-411D,Kleine brand,Schone grondstof | R34[D]->D341[D]->D466[O]->D9[D]->D698[O]->D704[O]->W77 | 1,350E-9   | 4,460E+6        |                     | 2,065E+0     | 5,000E+0   | 2,314E+4           | 3,065E+3       | 5,853E+3  |           |               |                          | 4,956E+9     |
| TP-101,14-T-411D,Kleine brand,Schone grondstof | R34[D]->D341[D]->D466[O]->D9[D]->D698[O]->D704[O]->W77 | 1,350E-9   | 4,460E+6        | 6,690E+8            | 1,923E+2     | 4,310E+0   |                    | 3,065E+3       | 5,853E+3  |           |               |                          | 4,956E+9     |
| TP-101,14-T-411D,Kleine brand,Schone grondstof | R34[D]->D341[D]->D466[O]->D9[D]->D698[D]->W77          | 3,500E-10  | 6,799E+6        |                     | 3,148E+0     | 5,000E+0   | 2,353E+4           | 4,593E+3       | 7,955E+3  |           |               |                          | 7,555E+9     |
| TP-101,14-T-411D,Kleine brand,Schone grondstof | R34[D]->D341[D]->D466[O]->D9[D]->D698[D]->W77          | 3,500E-10  | 6,799E+6        | 1,020E+9            | 2,931E+2     | 4,310E+0   |                    | 4,593E+3       | 7,955E+3  |           |               |                          | 7,555E+9     |
| TP-101,14-T-411D,Kleine brand,Schone grondstof | R34[D]->D341[D]->D466[O]->D9[D]->D698[O]->D704[O]->W77 | 3,150E-9   | 6,439E+6        |                     | 2,981E+0     | 5,000E+0   | 2,353E+4           | 4,350E+3       | 7,955E+3  |           |               |                          | 7,155E+9     |
| TP-101,14-T-411D,Kleine brand,Schone grondstof | R34[D]->D341[D]->D466[O]->D9[D]->D698[O]->D704[O]->W77 | 3,150E-9   | 6,439E+6        | 9,659E+8            | 2,775E+2     | 4,310E+0   |                    | 4,350E+3       | 7,955E+3  |           |               |                          | 7,155E+9     |
| TP-101,14-T-411D,Kleine brand,Schone grondstof | R34[D]->D341[D]->D466[O]->D9[D]->D698[D]->W77          | 1,500E-10  | 6,680E+6        |                     | 3,093E+0     | 5,000E+0   | 2,314E+4           | 4,590E+3       | 7,955E+3  |           |               |                          | 7,422E+9     |
| TP-101,14-T-411D,Kleine brand,Schone grondstof | R34[D]->D341[D]->D466[O]->D9[D]->D698[D]->W77          | 1,500E-10  | 6,680E+6        | 1,002E+9            | 2,879E+2     | 4,310E+0   |                    | 4,590E+3       | 7,955E+3  |           |               |                          | 7,422E+9     |
| TP-101,14-T-411D,Kleine brand,Schone grondstof | R34[D]->D341[D]->D466[O]->D9[D]->D698[O]->D704[O]->W77 | 1,350E-9   | 6,320E+6        |                     | 2,926E+0     | 5,000E+0   | 2,314E+4           | 4,343E+3       | 7,955E+3  |           |               |                          | 7,022E+9     |
| TP-101,14-T-411D,Kleine brand,Schone grondstof | R34[D]->D341[D]->D466[O]->D9[D]->D698[O]->D704[O]->W77 | 1,350E-9   | 6,320E+6        | 9,480E+8            | 2,724E+2     | 4,310E+0   |                    | 4,343E+3       | 7,955E+3  |           |               |                          | 7,022E+9     |
| TP-101,14-T-411C,Kleine brand,Schone grondstof | R34[D]->D341[D]->D466[O]->D9[D]->D698[D]->W77          | 3,500E-10  | 4,908E+6        |                     | 2,272E+0     | 5,000E+0   | 2,353E+4           | 3,315E+3       | 5,853E+3  |           |               |                          | 5,453E+9     |
| TP-101,14-T-411C,Kleine brand,Schone grondstof | R34[D]->D341[D]->D466[O]->D9[D]->D698[D]->W77          | 3,500E-10  | 4,908E+6        | 7,361E+8            | 2,115E+2     | 4,310E+0   |                    | 3,315E+3       | 5,853E+3  |           |               |                          | 5,453E+9     |
| TP-101,14-T-411C,Kleine brand,Schone grondstof | R34[D]->D341[D]->D466[O]->D9[D]->D698[O]->D704[O]->W77 | 3,150E-9   | 4,548E+6        |                     | 2,105E+0     | 5,000E+0   | 2,353E+4           | 3,072E+3       | 5,853E+3  |           |               |                          | 5,053E+9     |
| TP-101,14-T-411C,Kleine brand,Schone grondstof | R34[D]->D341[D]->D466[O]->D9[D]->D698[O]->D704[O]->W77 | 3,150E-9   | 4,548E+6        | 6,821E+8            | 1,960E+2     | 4,310E+0   |                    | 3,072E+3       | 5,853E+3  |           |               |                          | 5,053E+9     |
| TP-101,14-T-411C,Kleine brand,Schone grondstof | R34[D]->D341[D]->D466[O]->D9[D]->D698[D]->W77          | 1,500E-10  | 4,820E+6        |                     | 2,232E+0     | 5,000E+0   | 2,314E+4           | 3,312E+3       | 5,853E+3  |           |               |                          | 5,356E+9     |
| TP-101,14-T-411C,Kleine brand,Schone grondstof | R34[D]->D341[D]->D466[O]->D9[D]->D698[D]->W77          | 1,500E-10  | 4,820E+6        | 7,230E+8            | 2,078E+2     | 4,310E+0   |                    | 3,312E+3       | 5,853E+3  |           |               |                          | 5,356E+9     |

| Group  | Afstroomroute  | Frequentie | Massa uitstroom | Volume contaminatie | MSI Factored | Weegfactor | Oever Contaminatie | Uitstroom tijd | Bluswater | RWZI      |               |                          | LC50 gewogen |
|--|--|------------|-----------------|---------------------|--------------|------------|--------------------|----------------|-----------|-----------|---------------|--------------------------|--------------|
|  |  | [j-1]      | [kg]            | [m3]                |              |            | [m]                | [s]            | [m3]      | inhibitie | overbelasting | Actief slib beïnvloeding | [m3]         |
| TP-101,14-T-411C,Kleine brand,Schone grondstof | R34[D]->D341[D]->D466[O]->D9[D]->D698[O]->D704[O]->W77 | 1,350E-9   | 4,460E+6        |                     | 2,065E+0     | 5,000E+0   | 2,314E+4           | 3,065E+3       | 5,853E+3  |           |               |                          | 4,956E+9     |
| TP-101,14-T-411C,Kleine brand,Schone grondstof | R34[D]->D341[D]->D466[O]->D9[D]->D698[O]->D704[O]->W77 | 1,350E-9   | 4,460E+6        | 6,690E+8            | 1,923E+2     | 4,310E+0   |                    | 3,065E+3       | 5,853E+3  |           |               |                          | 4,956E+9     |
| TP-101,14-T-411C,Kleine brand,Schone grondstof | R34[D]->D341[D]->D466[O]->D9[D]->D698[D]->W77          | 3,500E-10  | 6,799E+6        |                     | 3,148E+0     | 5,000E+0   | 2,353E+4           | 4,593E+3       | 7,955E+3  |           |               |                          | 7,555E+9     |
| TP-101,14-T-411C,Kleine brand,Schone grondstof | R34[D]->D341[D]->D466[O]->D9[D]->D698[D]->W77          | 3,500E-10  | 6,799E+6        | 1,020E+9            | 2,931E+2     | 4,310E+0   |                    | 4,593E+3       | 7,955E+3  |           |               |                          | 7,555E+9     |
| TP-101,14-T-411C,Kleine brand,Schone grondstof | R34[D]->D341[D]->D466[O]->D9[D]->D698[O]->D704[O]->W77 | 3,150E-9   | 6,439E+6        |                     | 2,981E+0     | 5,000E+0   | 2,353E+4           | 4,350E+3       | 7,955E+3  |           |               |                          | 7,155E+9     |
| TP-101,14-T-411C,Kleine brand,Schone grondstof | R34[D]->D341[D]->D466[O]->D9[D]->D698[O]->D704[O]->W77 | 3,150E-9   | 6,439E+6        | 9,659E+8            | 2,775E+2     | 4,310E+0   |                    | 4,350E+3       | 7,955E+3  |           |               |                          | 7,155E+9     |
| TP-101,14-T-411C,Kleine brand,Schone grondstof | R34[D]->D341[D]->D466[O]->D9[D]->D698[D]->W77          | 1,500E-10  | 6,680E+6        |                     | 3,093E+0     | 5,000E+0   | 2,314E+4           | 4,590E+3       | 7,955E+3  |           |               |                          | 7,422E+9     |
| TP-101,14-T-411C,Kleine brand,Schone grondstof | R34[D]->D341[D]->D466[O]->D9[D]->D698[D]->W77          | 1,500E-10  | 6,680E+6        | 1,002E+9            | 2,879E+2     | 4,310E+0   |                    | 4,590E+3       | 7,955E+3  |           |               |                          | 7,422E+9     |
| TP-101,14-T-411C,Kleine brand,Schone grondstof | R34[D]->D341[D]->D466[O]->D9[D]->D698[O]->D704[O]->W77 | 1,350E-9   | 6,320E+6        |                     | 2,926E+0     | 5,000E+0   | 2,314E+4           | 4,343E+3       | 7,955E+3  |           |               |                          | 7,022E+9     |
| TP-101,14-T-411C,Kleine brand,Schone grondstof | R34[D]->D341[D]->D466[O]->D9[D]->D698[O]->D704[O]->W77 | 1,350E-9   | 6,320E+6        | 9,480E+8            | 2,724E+2     | 4,310E+0   |                    | 4,343E+3       | 7,955E+3  |           |               |                          | 7,022E+9     |
| TP-101,14-T-411B,Kleine brand,Schone grondstof | R34[D]->D341[D]->D466[O]->D9[D]->D698[D]->W77          | 3,500E-10  | 4,908E+6        |                     | 2,272E+0     | 5,000E+0   | 2,353E+4           | 3,315E+3       | 5,853E+3  |           |               |                          | 5,453E+9     |
| TP-101,14-T-411B,Kleine brand,Schone grondstof | R34[D]->D341[D]->D466[O]->D9[D]->D698[D]->W77          | 3,500E-10  | 4,908E+6        | 7,361E+8            | 2,115E+2     | 4,310E+0   |                    | 3,315E+3       | 5,853E+3  |           |               |                          | 5,453E+9     |
| TP-101,14-T-411B,Kleine brand,Schone grondstof | R34[D]->D341[D]->D466[O]->D9[D]->D698[O]->D704[O]->W77 | 3,150E-9   | 4,548E+6        |                     | 2,105E+0     | 5,000E+0   | 2,353E+4           | 3,072E+3       | 5,853E+3  |           |               |                          | 5,053E+9     |
| TP-101,14-T-411B,Kleine brand,Schone grondstof | R34[D]->D341[D]->D466[O]->D9[D]->D698[O]->D704[O]->W77 | 3,150E-9   | 4,548E+6        | 6,821E+8            | 1,960E+2     | 4,310E+0   |                    | 3,072E+3       | 5,853E+3  |           |               |                          | 5,053E+9     |
| TP-101,14-T-411B,Kleine brand,Schone grondstof | R34[D]->D341[D]->D466[O]->D9[D]->D698[D]->W77          | 1,500E-10  | 4,820E+6        |                     | 2,232E+0     | 5,000E+0   | 2,314E+4           | 3,312E+3       | 5,853E+3  |           |               |                          | 5,356E+9     |
| TP-101,14-T-411B,Kleine brand,Schone grondstof | R34[D]->D341[D]->D466[O]->D9[D]->D698[D]->W77          | 1,500E-10  | 4,820E+6        | 7,230E+8            | 2,078E+2     | 4,310E+0   |                    | 3,312E+3       | 5,853E+3  |           |               |                          | 5,356E+9     |
| TP-101,14-T-411B,Kleine brand,Schone grondstof | R34[D]->D341[D]->D466[O]->D9[D]->D698[O]->D704[O]->W77 | 1,350E-9   | 4,460E+6        |                     | 2,065E+0     | 5,000E+0   | 2,314E+4           | 3,065E+3       | 5,853E+3  |           |               |                          | 4,956E+9     |
| TP-101,14-T-411B,Kleine brand,Schone grondstof | R34[D]->D341[D]->D466[O]->D9[D]->D698[O]->D704[O]->W77 | 1,350E-9   | 4,460E+6        | 6,690E+8            | 1,923E+2     | 4,310E+0   |                    | 3,065E+3       | 5,853E+3  |           |               |                          | 4,956E+9     |
| TP-101,14-T-411B,Kleine brand,Schone grondstof | R34[D]->D341[D]->D466[O]->D9[D]->D698[D]->W77          | 3,500E-10  | 6,799E+6        |                     | 3,148E+0     | 5,000E+0   | 2,353E+4           | 4,593E+3       | 7,955E+3  |           |               |                          | 7,555E+9     |
| TP-101,14-T-411B,Kleine brand,Schone grondstof | R34[D]->D341[D]->D466[O]->D9[D]->D698[D]->W77          | 3,500E-10  | 6,799E+6        | 1,020E+9            | 2,931E+2     | 4,310E+0   |                    | 4,593E+3       | 7,955E+3  |           |               |                          | 7,555E+9     |
| TP-101,14-T-411B,Kleine brand,Schone grondstof | R34[D]->D341[D]->D466[O]->D9[D]->D698[O]->D704[O]->W77 | 3,150E-9   | 6,439E+6        |                     | 2,981E+0     | 5,000E+0   | 2,353E+4           | 4,350E+3       | 7,955E+3  |           |               |                          | 7,155E+9     |
| TP-101,14-T-411B,Kleine brand,Schone grondstof | R34[D]->D341[D]->D466[O]->D9[D]->D698[O]->D704[O]->W77 | 3,150E-9   | 6,439E+6        | 9,659E+8            | 2,775E+2     | 4,310E+0   |                    | 4,350E+3       | 7,955E+3  |           |               |                          | 7,155E+9     |
| TP-101,14-T-411B,Kleine brand,Schone grondstof | R34[D]->D341[D]->D466[O]->D9[D]->D698[D]->W77          | 1,500E-10  | 6,680E+6        |                     | 3,093E+0     | 5,000E+0   | 2,314E+4           | 4,590E+3       | 7,955E+3  |           |               |                          | 7,422E+9     |

| Group  | Afstroomroute  | Frequentie | Massa uitstroom | Volume contaminatie | MSI Factored | Weegfactor | Oever Contaminatie | Uitstroom tijd | Bluswater | RWZI      |               |                          | LC50 gewogen |
|--|--|------------|-----------------|---------------------|--------------|------------|--------------------|----------------|-----------|-----------|---------------|--------------------------|--------------|
|  |  |            |                 |                     |              |            |                    |                |           | inhibitie | overbelasting | Actief slib beïnvloeding |              |
|  |  | [j-1]      | [kg]            | [m3]                |              |            | [m]                | [s]            | [m3]      |           |               |                          | [m3]         |
| TP-101,14-T-411B,Kleine brand,Schone grondstof     | R34[D]->D341[D]->D466[O]->D9[D]->D698[D]->W77          | 1,500E-10  | 6,680E+6        | 1,002E+9            | 2,879E+2     | 4,310E+0   |                    | 4,590E+3       | 7,955E+3  |           |               |                          | 7,422E+9     |
| TP-101,14-T-411B,Kleine brand,Schone grondstof     | R34[D]->D341[D]->D466[O]->D9[D]->D698[O]->D704[O]->W77 | 1,350E-9   | 6,320E+6        |                     | 2,926E+0     | 5,000E+0   | 2,314E+4           | 4,343E+3       | 7,955E+3  |           |               |                          | 7,022E+9     |
| TP-101,14-T-411B,Kleine brand,Schone grondstof     | R34[D]->D341[D]->D466[O]->D9[D]->D698[O]->D704[O]->W77 | 1,350E-9   | 6,320E+6        | 9,480E+8            | 2,724E+2     | 4,310E+0   |                    | 4,343E+3       | 7,955E+3  |           |               |                          | 7,022E+9     |
| TP-101,14-T-411A,Kleine brand,Schone grondstof     | R34[D]->D341[D]->D466[O]->D9[D]->D698[D]->W77          | 3,500E-10  | 4,908E+6        |                     | 2,272E+0     | 5,000E+0   | 2,353E+4           | 3,315E+3       | 5,853E+3  |           |               |                          | 5,453E+9     |
| TP-101,14-T-411A,Kleine brand,Schone grondstof     | R34[D]->D341[D]->D466[O]->D9[D]->D698[D]->W77          | 3,500E-10  | 4,908E+6        | 7,361E+8            | 2,115E+2     | 4,310E+0   |                    | 3,315E+3       | 5,853E+3  |           |               |                          | 5,453E+9     |
| TP-101,14-T-411A,Kleine brand,Schone grondstof     | R34[D]->D341[D]->D466[O]->D9[D]->D698[O]->D704[O]->W77 | 3,150E-9   | 4,548E+6        |                     | 2,105E+0     | 5,000E+0   | 2,353E+4           | 3,072E+3       | 5,853E+3  |           |               |                          | 5,053E+9     |
| TP-101,14-T-411A,Kleine brand,Schone grondstof     | R34[D]->D341[D]->D466[O]->D9[D]->D698[O]->D704[O]->W77 | 3,150E-9   | 4,548E+6        | 6,821E+8            | 1,960E+2     | 4,310E+0   |                    | 3,072E+3       | 5,853E+3  |           |               |                          | 5,053E+9     |
| TP-101,14-T-411A,Kleine brand,Schone grondstof     | R34[D]->D341[D]->D466[O]->D9[D]->D698[D]->W77          | 1,500E-10  | 4,820E+6        |                     | 2,232E+0     | 5,000E+0   | 2,314E+4           | 3,312E+3       | 5,853E+3  |           |               |                          | 5,356E+9     |
| TP-101,14-T-411A,Kleine brand,Schone grondstof     | R34[D]->D341[D]->D466[O]->D9[D]->D698[D]->W77          | 1,500E-10  | 4,820E+6        | 7,230E+8            | 2,078E+2     | 4,310E+0   |                    | 3,312E+3       | 5,853E+3  |           |               |                          | 5,356E+9     |
| TP-101,14-T-411A,Kleine brand,Schone grondstof     | R34[D]->D341[D]->D466[O]->D9[D]->D698[O]->D704[O]->W77 | 1,350E-9   | 4,460E+6        |                     | 2,065E+0     | 5,000E+0   | 2,314E+4           | 3,065E+3       | 5,853E+3  |           |               |                          | 4,956E+9     |
| TP-101,14-T-411A,Kleine brand,Schone grondstof     | R34[D]->D341[D]->D466[O]->D9[D]->D698[O]->D704[O]->W77 | 1,350E-9   | 4,460E+6        | 6,690E+8            | 1,923E+2     | 4,310E+0   |                    | 3,065E+3       | 5,853E+3  |           |               |                          | 4,956E+9     |
| TP-101,14-T-411A,Kleine brand,Schone grondstof     | R34[D]->D341[D]->D466[O]->D9[D]->D698[D]->W77          | 3,500E-10  | 6,799E+6        |                     | 3,148E+0     | 5,000E+0   | 2,353E+4           | 4,593E+3       | 7,955E+3  |           |               |                          | 7,555E+9     |
| TP-101,14-T-411A,Kleine brand,Schone grondstof     | R34[D]->D341[D]->D466[O]->D9[D]->D698[D]->W77          | 3,500E-10  | 6,799E+6        | 1,020E+9            | 2,931E+2     | 4,310E+0   |                    | 4,593E+3       | 7,955E+3  |           |               |                          | 7,555E+9     |
| TP-101,14-T-411A,Kleine brand,Schone grondstof     | R34[D]->D341[D]->D466[O]->D9[D]->D698[O]->D704[O]->W77 | 3,150E-9   | 6,439E+6        |                     | 2,981E+0     | 5,000E+0   | 2,353E+4           | 4,350E+3       | 7,955E+3  |           |               |                          | 7,155E+9     |
| TP-101,14-T-411A,Kleine brand,Schone grondstof     | R34[D]->D341[D]->D466[O]->D9[D]->D698[O]->D704[O]->W77 | 3,150E-9   | 6,439E+6        | 9,659E+8            | 2,775E+2     | 4,310E+0   |                    | 4,350E+3       | 7,955E+3  |           |               |                          | 7,155E+9     |
| TP-101,14-T-411A,Kleine brand,Schone grondstof     | R34[D]->D341[D]->D466[O]->D9[D]->D698[D]->W77          | 1,500E-10  | 6,680E+6        |                     | 3,093E+0     | 5,000E+0   | 2,314E+4           | 4,590E+3       | 7,955E+3  |           |               |                          | 7,422E+9     |
| TP-101,14-T-411A,Kleine brand,Schone grondstof     | R34[D]->D341[D]->D466[O]->D9[D]->D698[D]->W77          | 1,500E-10  | 6,680E+6        | 1,002E+9            | 2,879E+2     | 4,310E+0   |                    | 4,590E+3       | 7,955E+3  |           |               |                          | 7,422E+9     |
| TP-101,14-T-411A,Kleine brand,Schone grondstof     | R34[D]->D341[D]->D466[O]->D9[D]->D698[O]->D704[O]->W77 | 1,350E-9   | 6,320E+6        |                     | 2,926E+0     | 5,000E+0   | 2,314E+4           | 4,343E+3       | 7,955E+3  |           |               |                          | 7,022E+9     |
| TP-101,14-T-411A,Kleine brand,Schone grondstof     | R34[D]->D341[D]->D466[O]->D9[D]->D698[O]->D704[O]->W77 | 1,350E-9   | 6,320E+6        | 9,480E+8            | 2,724E+2     | 4,310E+0   |                    | 4,343E+3       | 7,955E+3  |           |               |                          | 7,022E+9     |
| TP-101,14-T-411D,Instantaan falen,Schone grondstof | R34[D]->D341[D]->D466[O]->D9[D]->D698[D]->W77          | 3,465E-8   | 1,054E+6        |                     | 4,879E-1     | 5,000E+0   | 9,757E+3           | 4,472E+1       | 0,000E+0  |           |               |                          | 1,171E+9     |
| TP-101,14-T-411D,Instantaan falen,Schone grondstof | R34[D]->D341[D]->D466[O]->D9[D]->D698[O]->D704[O]->W77 | 3,119E-7   | 6,938E+5        |                     | 3,212E-1     | 5,000E+0   | 6,424E+3           | 2,944E+1       | 0,000E+0  |           |               |                          | 7,709E+8     |
| TP-101,14-T-411D,Instantaan falen,Schone grondstof | R34[D]->D341[D]->D466[O]->D9[D]->D698[O]->D704[O]->W77 | 3,119E-7   | 6,938E+5        | 1,229E+5            | 3,531E-2     | 4,310E+0   |                    | 2,944E+1       | 0,000E+0  |           |               |                          | 7,709E+8     |
| TP-101,14-T-411D,Instantaan falen,Schone grondstof | R34[D]->D341[D]->D466[O]->D9[D]->D698[D]->W77          | 1,485E-8   | 1,052E+6        |                     | 4,872E-1     | 5,000E+0   | 9,744E+3           | 4,471E+1       | 0,000E+0  |           |               |                          | 1,169E+9     |

| Group  | Afstroomroute   | Frequentie | Massa uitstroom | Volume contaminatie | MSI Factored | Weegfactor | Oever Contaminatie | Uitstroom tijd | Bluswater | RWZI      |               |                          | LC50 gewogen |
|--|---|------------|-----------------|---------------------|--------------|------------|--------------------|----------------|-----------|-----------|---------------|--------------------------|--------------|
|  |   |            |                 |                     |              |            |                    |                |           | inhibitie | overbelasting | Actief slib beïnvloeding |              |
|  |   | [j-1]      | [kg]            | [m3]                |              |            | [m]                | [s]            | [m3]      |           |               |                          | [m3]         |
| TP-101,14-T-411D,Instantaan falen,Schone grondstof | R34[D]->D341[D]->D466[O]->D9[D]->D698[O]->D704[O]->W77          | 1,337E-7   | 6,924E+5        |                     | 3,205E-1     | 5,000E+0   | 6,411E+3           | 2,942E+1       | 0,000E+0  |           |               |                          | 7,693E+8     |
| TP-101,14-T-411D,Instantaan falen,Schone grondstof | R34[D]->D341[D]->D466[O]->D9[D]->D698[O]->D704[O]->W77          | 1,337E-7   | 6,924E+5        | 1,226E+5            | 3,524E-2     | 4,310E+0   |                    | 2,942E+1       | 0,000E+0  |           |               |                          | 7,693E+8     |
| TP-101,14-T-411D,Continu falen,Schone grondstof    | R34[D]->D341[D]->D466[O]->D9[D]->D698[D]->W77                   | 3,465E-8   | 1,561E+6        |                     | 7,229E-1     | 5,000E+0   | 1,082E+3           | 2,293E+4       | 0,000E+0  |           |               |                          | 1,735E+9     |
| TP-101,14-T-411D,Continu falen,Schone grondstof    | R34[D]->D341[D]->D466[O]->D9[D]->D698[O]->D704[O]->W77          | 3,119E-7   | 1,201E+6        |                     | 5,562E-1     | 5,000E+0   | 1,082E+3           | 1,765E+4       | 0,000E+0  |           |               |                          | 1,335E+9     |
| TP-101,14-T-411D,Continu falen,Schone grondstof    | R34[D]->D341[D]->D466[O]->D9[D]->D698[D]->W77                   | 1,485E-8   | 8,950E+5        |                     | 4,144E-1     | 5,000E+0   | 6,847E+2           | 2,078E+4       | 0,000E+0  |           |               |                          | 9,945E+8     |
| TP-101,14-T-411D,Continu falen,Schone grondstof    | R34[D]->D341[D]->D466[O]->D9[D]->D698[O]->D704[O]->W77          | 1,337E-7   | 5,350E+5        |                     | 2,477E-1     | 5,000E+0   | 6,847E+2           | 1,242E+4       | 0,000E+0  |           |               |                          | 5,945E+8     |
| TP-101,14-T-411D,Continu falen,Schone grondstof    | R34[D]->D341[D]->D466[D]->D473[O]->D9[D]->D698[D]->W77          | 1,040E-8   | 4,864E+5        |                     | 2,252E-1     | 5,000E+0   | 3,978E+2           | 1,944E+4       | 0,000E+0  |           |               |                          | 5,405E+8     |
| TP-101,14-T-411D,Continu falen,Schone grondstof    | R34[D]->D341[D]->D466[D]->D473[O]->D9[D]->D698[O]->D704[O]->W77 | 9,356E-8   | 1,264E+5        |                     | 5,854E-2     | 5,000E+0   | 3,978E+2           | 5,054E+3       | 0,000E+0  |           |               |                          | 1,405E+8     |
| TP-101,14-T-411D,Topping,Schone grondstof          | R34[O]->D573[D]->D341[D]->D466[O]->D9[D]->D698[D]->W77          | 1,750E-7   | 2,069E+6        |                     | 9,579E-1     | 5,000E+0   | 1,916E+4           | 5,111E+1       | 0,000E+0  |           |               |                          | 2,299E+9     |
| TP-101,14-T-411D,Topping,Schone grondstof          | R34[O]->D573[D]->D341[D]->D466[O]->D9[D]->D698[D]->W77          | 1,750E-7   | 2,069E+6        | 3,665E+5            | 1,053E-1     | 4,310E+0   |                    | 5,111E+1       | 0,000E+0  |           |               |                          | 2,299E+9     |
| TP-101,14-T-411D,Topping,Schone grondstof          | R34[O]->D573[D]->D341[D]->D466[O]->D9[D]->D698[O]->D704[O]->W77 | 1,575E-6   | 1,709E+6        |                     | 7,913E-1     | 5,000E+0   | 1,583E+4           | 4,222E+1       | 0,000E+0  |           |               |                          | 1,899E+9     |
| TP-101,14-T-411D,Topping,Schone grondstof          | R34[O]->D573[D]->D341[D]->D466[O]->D9[D]->D698[O]->D704[O]->W77 | 1,575E-6   | 1,709E+6        | 3,027E+5            | 8,698E-2     | 4,310E+0   |                    | 4,222E+1       | 0,000E+0  |           |               |                          | 1,899E+9     |
| TP-101,14-T-411D,Topping,Schone grondstof          | R34[O]->D573[D]->D341[D]->D466[O]->D9[D]->D698[D]->W77          | 7,500E-8   | 2,068E+6        |                     | 9,573E-1     | 5,000E+0   | 1,915E+4           | 5,110E+1       | 0,000E+0  |           |               |                          | 2,297E+9     |
| TP-101,14-T-411D,Topping,Schone grondstof          | R34[O]->D573[D]->D341[D]->D466[O]->D9[D]->D698[D]->W77          | 7,500E-8   | 2,068E+6        | 3,662E+5            | 1,052E-1     | 4,310E+0   |                    | 5,110E+1       | 0,000E+0  |           |               |                          | 2,297E+9     |
| TP-101,14-T-411D,Topping,Schone grondstof          | R34[O]->D573[D]->D341[D]->D466[O]->D9[D]->D698[O]->D704[O]->W77 | 6,750E-7   | 1,708E+6        |                     | 7,906E-1     | 5,000E+0   | 1,581E+4           | 4,221E+1       | 0,000E+0  |           |               |                          | 1,897E+9     |
| TP-101,14-T-411D,Topping,Schone grondstof          | R34[O]->D573[D]->D341[D]->D466[O]->D9[D]->D698[O]->D704[O]->W77 | 6,750E-7   | 1,708E+6        | 3,024E+5            | 8,691E-2     | 4,310E+0   |                    | 4,221E+1       | 0,000E+0  |           |               |                          | 1,897E+9     |
| TP-101,14-T-411D,Topping,Schone grondstof          | R34[O]->D573[O]->D504[D]->D341[D]->D466[O]->D9[D]->D698[D]->W77 | 1,750E-8   | 2,069E+6        |                     | 9,579E-1     | 5,000E+0   | 1,916E+4           | 5,111E+1       | 0,000E+0  |           |               |                          | 2,299E+9     |
| TP-101,14-T-411D,Topping,Schone grondstof          | R34[O]->D573[O]->D504[D]->D341[D]->D466[O]->D9[D]->D698[D]->W77 | 1,750E-8   | 2,069E+6        | 3,665E+5            | 1,053E-1     | 4,310E+0   |                    | 5,111E+1       | 0,000E+0  |           |               |                          | 2,299E+9     |



| Group  | Afstroomroute  | Frequentie | Massa uitstroom | Volume contaminatie | MSI Factored | Weegfactor | Oever Contaminatie | Uitstroom tijd | Bluswater | RWZI      |               |                          | LC50 gewogen |
|--|--|------------|-----------------|---------------------|--------------|------------|--------------------|----------------|-----------|-----------|---------------|--------------------------|--------------|
|  |  |            |                 |                     |              |            |                    |                |           | inhibitie | overbelasting | Actief slib beïnvloeding |              |
|  |  | [j-1]      | [kg]            | [m3]                |              |            | [m]                | [s]            | [m3]      |           |               |                          | [m3]         |
| TP-101,14-T-411D,Topping,Schone grondstof          | R34[O]->D573[O]->D504[D]->D341[D]->D466[O]->D9[D]->D698[O]->D704[O]->W77 | 1,575E-7   | 1,709E+6        |                     | 7,913E-1     | 5,000E+0   | 1,583E+4           | 4,222E+1       | 0,000E+0  |           |               |                          | 1,899E+9     |
| TP-101,14-T-411D,Topping,Schone grondstof          | R34[O]->D573[O]->D504[D]->D341[D]->D466[O]->D9[D]->D698[O]->D704[O]->W77 | 1,575E-7   | 1,709E+6        | 3,027E+5            | 8,698E-2     | 4,310E+0   |                    | 4,222E+1       | 0,000E+0  |           |               |                          | 1,899E+9     |
| TP-101,14-T-411D,Topping,Schone grondstof          | R34[O]->D573[O]->D504[D]->D341[D]->D466[O]->D9[D]->D698[D]->W77          | 7,500E-9   | 2,068E+6        |                     | 9,573E-1     | 5,000E+0   | 1,915E+4           | 5,110E+1       | 0,000E+0  |           |               |                          | 2,297E+9     |
| TP-101,14-T-411D,Topping,Schone grondstof          | R34[O]->D573[O]->D504[D]->D341[D]->D466[O]->D9[D]->D698[D]->W77          | 7,500E-9   | 2,068E+6        | 3,662E+5            | 1,052E-1     | 4,310E+0   |                    | 5,110E+1       | 0,000E+0  |           |               |                          | 2,297E+9     |
| TP-101,14-T-411D,Topping,Schone grondstof          | R34[O]->D573[O]->D504[D]->D341[D]->D466[O]->D9[D]->D698[O]->D704[O]->W77 | 6,750E-8   | 1,708E+6        |                     | 7,906E-1     | 5,000E+0   | 1,581E+4           | 4,221E+1       | 0,000E+0  |           |               |                          | 1,897E+9     |
| TP-101,14-T-411D,Topping,Schone grondstof          | R34[O]->D573[O]->D504[D]->D341[D]->D466[O]->D9[D]->D698[O]->D704[O]->W77 | 6,750E-8   | 1,708E+6        | 3,024E+5            | 8,691E-2     | 4,310E+0   |                    | 4,221E+1       | 0,000E+0  |           |               |                          | 1,897E+9     |
| TP-101,14-T-411C,Instantaan falen,Schone grondstof | R34[D]->D341[D]->D466[O]->D9[D]->D698[D]->W77                            | 3,465E-8   | 1,054E+6        |                     | 4,879E-1     | 5,000E+0   | 9,757E+3           | 4,472E+1       | 0,000E+0  |           |               |                          | 1,171E+9     |
| TP-101,14-T-411C,Instantaan falen,Schone grondstof | R34[D]->D341[D]->D466[O]->D9[D]->D698[O]->D704[O]->W77                   | 3,119E-7   | 6,938E+5        |                     | 3,212E-1     | 5,000E+0   | 6,424E+3           | 2,944E+1       | 0,000E+0  |           |               |                          | 7,709E+8     |
| TP-101,14-T-411C,Instantaan falen,Schone grondstof | R34[D]->D341[D]->D466[O]->D9[D]->D698[O]->D704[O]->W77                   | 3,119E-7   | 6,938E+5        | 1,229E+5            | 3,531E-2     | 4,310E+0   |                    | 2,944E+1       | 0,000E+0  |           |               |                          | 7,709E+8     |
| TP-101,14-T-411C,Instantaan falen,Schone grondstof | R34[D]->D341[D]->D466[O]->D9[D]->D698[D]->W77                            | 1,485E-8   | 1,052E+6        |                     | 4,872E-1     | 5,000E+0   | 9,744E+3           | 4,471E+1       | 0,000E+0  |           |               |                          | 1,169E+9     |
| TP-101,14-T-411C,Instantaan falen,Schone grondstof | R34[D]->D341[D]->D466[O]->D9[D]->D698[O]->D704[O]->W77                   | 1,337E-7   | 6,924E+5        |                     | 3,205E-1     | 5,000E+0   | 6,411E+3           | 2,942E+1       | 0,000E+0  |           |               |                          | 7,693E+8     |
| TP-101,14-T-411C,Instantaan falen,Schone grondstof | R34[D]->D341[D]->D466[O]->D9[D]->D698[O]->D704[O]->W77                   | 1,337E-7   | 6,924E+5        | 1,226E+5            | 3,524E-2     | 4,310E+0   |                    | 2,942E+1       | 0,000E+0  |           |               |                          | 7,693E+8     |
| TP-101,14-T-411C,Continu falen,Schone grondstof    | R34[D]->D341[D]->D466[O]->D9[D]->D698[D]->W77                            | 3,465E-8   | 1,561E+6        |                     | 7,229E-1     | 5,000E+0   | 1,082E+3           | 2,293E+4       | 0,000E+0  |           |               |                          | 1,735E+9     |
| TP-101,14-T-411C,Continu falen,Schone grondstof    | R34[D]->D341[D]->D466[O]->D9[D]->D698[O]->D704[O]->W77                   | 3,119E-7   | 1,201E+6        |                     | 5,562E-1     | 5,000E+0   | 1,082E+3           | 1,765E+4       | 0,000E+0  |           |               |                          | 1,335E+9     |
| TP-101,14-T-411C,Continu falen,Schone grondstof    | R34[D]->D341[D]->D466[O]->D9[D]->D698[D]->W77                            | 1,485E-8   | 8,950E+5        |                     | 4,144E-1     | 5,000E+0   | 6,847E+2           | 2,078E+4       | 0,000E+0  |           |               |                          | 9,945E+8     |
| TP-101,14-T-411C,Continu falen,Schone grondstof    | R34[D]->D341[D]->D466[O]->D9[D]->D698[O]->D704[O]->W77                   | 1,337E-7   | 5,350E+5        |                     | 2,477E-1     | 5,000E+0   | 6,847E+2           | 1,242E+4       | 0,000E+0  |           |               |                          | 5,945E+8     |
| TP-101,14-T-411C,Continu falen,Schone grondstof    | R34[D]->D341[D]->D466[D]->D473[O]->D9[D]->D698[D]->W77                   | 1,040E-8   | 4,864E+5        |                     | 2,252E-1     | 5,000E+0   | 3,978E+2           | 1,944E+4       | 0,000E+0  |           |               |                          | 5,405E+8     |
| TP-101,14-T-411C,Continu falen,Schone grondstof    | R34[D]->D341[D]->D466[D]->D473[O]->D9[D]->D698[O]->D704[O]->W77          | 9,356E-8   | 1,264E+5        |                     | 5,854E-2     | 5,000E+0   | 3,978E+2           | 5,054E+3       | 0,000E+0  |           |               |                          | 1,405E+8     |
| TP-101,14-T-411C,Topping,Schone grondstof          | R34[O]->D573[D]->D341[D]->D466[O]->D9[D]->D698[D]->W77                   | 1,750E-7   | 2,069E+6        |                     | 9,579E-1     | 5,000E+0   | 1,916E+4           | 5,111E+1       | 0,000E+0  |           |               |                          | 2,299E+9     |

| Group  | Afstroomroute  | Frequentie | Massa uitstroom | Volume contaminatie | MSI Factored | Weegfactor | Oever Contaminatie | Uitstroom tijd | Bluswater | RWZI      |               |                          | LC50 gewogen |
|--|--|------------|-----------------|---------------------|--------------|------------|--------------------|----------------|-----------|-----------|---------------|--------------------------|--------------|
|  |  |            |                 |                     |              |            |                    |                |           | inhibitie | overbelasting | Actief slib beïnvloeding |              |
|  |  | [j-1]      | [kg]            | [m3]                |              |            | [m]                | [s]            | [m3]      |           |               |                          | [m3]         |
| TP-101,14-T-411C,Topping,Schone grondstof          | R34[O]->D573[D]->D341[D]->D466[O]->D9[D]->D698[D]->W77                   | 1,750E-7   | 2,069E+6        | 3,665E+5            | 1,053E-1     | 4,310E+0   |                    | 5,111E+1       | 0,000E+0  |           |               |                          | 2,299E+9     |
| TP-101,14-T-411C,Topping,Schone grondstof          | R34[O]->D573[D]->D341[D]->D466[O]->D9[D]->D698[O]->D704[O]->W77          | 1,575E-6   | 1,709E+6        |                     | 7,913E-1     | 5,000E+0   | 1,583E+4           | 4,222E+1       | 0,000E+0  |           |               |                          | 1,899E+9     |
| TP-101,14-T-411C,Topping,Schone grondstof          | R34[O]->D573[D]->D341[D]->D466[O]->D9[D]->D698[O]->D704[O]->W77          | 1,575E-6   | 1,709E+6        | 3,027E+5            | 8,698E-2     | 4,310E+0   |                    | 4,222E+1       | 0,000E+0  |           |               |                          | 1,899E+9     |
| TP-101,14-T-411C,Topping,Schone grondstof          | R34[O]->D573[D]->D341[D]->D466[O]->D9[D]->D698[D]->W77                   | 7,500E-8   | 2,068E+6        |                     | 9,573E-1     | 5,000E+0   | 1,915E+4           | 5,110E+1       | 0,000E+0  |           |               |                          | 2,297E+9     |
| TP-101,14-T-411C,Topping,Schone grondstof          | R34[O]->D573[D]->D341[D]->D466[O]->D9[D]->D698[D]->W77                   | 7,500E-8   | 2,068E+6        | 3,662E+5            | 1,052E-1     | 4,310E+0   |                    | 5,110E+1       | 0,000E+0  |           |               |                          | 2,297E+9     |
| TP-101,14-T-411C,Topping,Schone grondstof          | R34[O]->D573[D]->D341[D]->D466[O]->D9[D]->D698[O]->D704[O]->W77          | 6,750E-7   | 1,708E+6        |                     | 7,906E-1     | 5,000E+0   | 1,581E+4           | 4,221E+1       | 0,000E+0  |           |               |                          | 1,897E+9     |
| TP-101,14-T-411C,Topping,Schone grondstof          | R34[O]->D573[D]->D341[D]->D466[O]->D9[D]->D698[O]->D704[O]->W77          | 6,750E-7   | 1,708E+6        | 3,024E+5            | 8,691E-2     | 4,310E+0   |                    | 4,221E+1       | 0,000E+0  |           |               |                          | 1,897E+9     |
| TP-101,14-T-411C,Topping,Schone grondstof          | R34[O]->D573[D]->D341[D]->D466[O]->D9[D]->D698[D]->W77                   | 1,750E-8   | 2,069E+6        |                     | 9,579E-1     | 5,000E+0   | 1,916E+4           | 5,111E+1       | 0,000E+0  |           |               |                          | 2,299E+9     |
| TP-101,14-T-411C,Topping,Schone grondstof          | R34[O]->D573[O]->D504[D]->D341[D]->D466[O]->D9[D]->D698[D]->W77          | 1,750E-8   | 2,069E+6        | 3,665E+5            | 1,053E-1     | 4,310E+0   |                    | 5,111E+1       | 0,000E+0  |           |               |                          | 2,299E+9     |
| TP-101,14-T-411C,Topping,Schone grondstof          | R34[O]->D573[O]->D504[D]->D341[D]->D466[O]->D9[D]->D698[O]->D704[O]->W77 | 1,575E-7   | 1,709E+6        |                     | 7,913E-1     | 5,000E+0   | 1,583E+4           | 4,222E+1       | 0,000E+0  |           |               |                          | 1,899E+9     |
| TP-101,14-T-411C,Topping,Schone grondstof          | R34[O]->D573[O]->D504[D]->D341[D]->D466[O]->D9[D]->D698[O]->D704[O]->W77 | 1,575E-7   | 1,709E+6        | 3,027E+5            | 8,698E-2     | 4,310E+0   |                    | 4,222E+1       | 0,000E+0  |           |               |                          | 1,899E+9     |
| TP-101,14-T-411C,Topping,Schone grondstof          | R34[O]->D573[O]->D504[D]->D341[D]->D466[O]->D9[D]->D698[D]->W77          | 7,500E-9   | 2,068E+6        |                     | 9,573E-1     | 5,000E+0   | 1,915E+4           | 5,110E+1       | 0,000E+0  |           |               |                          | 2,297E+9     |
| TP-101,14-T-411C,Topping,Schone grondstof          | R34[O]->D573[O]->D504[D]->D341[D]->D466[O]->D9[D]->D698[D]->W77          | 7,500E-9   | 2,068E+6        | 3,662E+5            | 1,052E-1     | 4,310E+0   |                    | 5,110E+1       | 0,000E+0  |           |               |                          | 2,297E+9     |
| TP-101,14-T-411C,Topping,Schone grondstof          | R34[O]->D573[O]->D504[D]->D341[D]->D466[O]->D9[D]->D698[O]->D704[O]->W77 | 6,750E-8   | 1,708E+6        |                     | 7,906E-1     | 5,000E+0   | 1,581E+4           | 4,221E+1       | 0,000E+0  |           |               |                          | 1,897E+9     |
| TP-101,14-T-411C,Topping,Schone grondstof          | R34[O]->D573[O]->D504[D]->D341[D]->D466[O]->D9[D]->D698[O]->D704[O]->W77 | 6,750E-8   | 1,708E+6        | 3,024E+5            | 8,691E-2     | 4,310E+0   |                    | 4,221E+1       | 0,000E+0  |           |               |                          | 1,897E+9     |
| TP-101,14-T-411B,Instantaan falen,Schone grondstof | R34[D]->D341[D]->D466[O]->D9[D]->D698[D]->W77                            | 3,465E-8   | 1,054E+6        |                     | 4,879E-1     | 5,000E+0   | 9,757E+3           | 4,472E+1       | 0,000E+0  |           |               |                          | 1,171E+9     |
| TP-101,14-T-411B,Instantaan falen,Schone grondstof | R34[D]->D341[D]->D466[O]->D9[D]->D698[O]->D704[O]->W77                   | 3,119E-7   | 6,938E+5        |                     | 3,212E-1     | 5,000E+0   | 6,424E+3           | 2,944E+1       | 0,000E+0  |           |               |                          | 7,709E+8     |

| Group  | Afstroomroute   | Frequentie | Massa uitstroom | Volume contaminatie | MSI Factored | Weegfactor | Oever Contaminatie | Uitstroom tijd | Bluswater | RWZI      |               |                          | LC50 gewogen |
|--|---|------------|-----------------|---------------------|--------------|------------|--------------------|----------------|-----------|-----------|---------------|--------------------------|--------------|
|  |   |            |                 |                     |              |            |                    |                |           | inhibitie | overbelasting | Actief slib beïnvloeding |              |
|  |   | [j-1]      | [kg]            | [m3]                |              |            | [m]                | [s]            | [m3]      |           |               |                          | [m3]         |
| TP-101,14-T-411B,Instantaan falen,Schone grondstof | R34[D]->D341[D]->D466[O]->D9[D]->D698[O]->D704[O]->W77          | 3,119E-7   | 6,938E+5        | 1,229E+5            | 3,531E-2     | 4,310E+0   |                    | 2,944E+1       | 0,000E+0  |           |               |                          | 7,709E+8     |
| TP-101,14-T-411B,Instantaan falen,Schone grondstof | R34[D]->D341[D]->D466[O]->D9[D]->D698[D]->W77                   | 1,485E-8   | 1,052E+6        |                     | 4,872E-1     | 5,000E+0   | 9,744E+3           | 4,471E+1       | 0,000E+0  |           |               |                          | 1,169E+9     |
| TP-101,14-T-411B,Instantaan falen,Schone grondstof | R34[D]->D341[D]->D466[O]->D9[D]->D698[O]->D704[O]->W77          | 1,337E-7   | 6,924E+5        |                     | 3,205E-1     | 5,000E+0   | 6,411E+3           | 2,942E+1       | 0,000E+0  |           |               |                          | 7,693E+8     |
| TP-101,14-T-411B,Instantaan falen,Schone grondstof | R34[D]->D341[D]->D466[O]->D9[D]->D698[O]->D704[O]->W77          | 1,337E-7   | 6,924E+5        | 1,226E+5            | 3,524E-2     | 4,310E+0   |                    | 2,942E+1       | 0,000E+0  |           |               |                          | 7,693E+8     |
| TP-101,14-T-411B,Continu falen,Schone grondstof    | R34[D]->D341[D]->D466[O]->D9[D]->D698[D]->W77                   | 3,465E-8   | 1,561E+6        |                     | 7,229E-1     | 5,000E+0   | 1,082E+3           | 2,293E+4       | 0,000E+0  |           |               |                          | 1,735E+9     |
| TP-101,14-T-411B,Continu falen,Schone grondstof    | R34[D]->D341[D]->D466[O]->D9[D]->D698[O]->D704[O]->W77          | 3,119E-7   | 1,201E+6        |                     | 5,562E-1     | 5,000E+0   | 1,082E+3           | 1,765E+4       | 0,000E+0  |           |               |                          | 1,335E+9     |
| TP-101,14-T-411B,Continu falen,Schone grondstof    | R34[D]->D341[D]->D466[O]->D9[D]->D698[D]->W77                   | 1,485E-8   | 8,950E+5        |                     | 4,144E-1     | 5,000E+0   | 6,847E+2           | 2,078E+4       | 0,000E+0  |           |               |                          | 9,945E+8     |
| TP-101,14-T-411B,Continu falen,Schone grondstof    | R34[D]->D341[D]->D466[O]->D9[D]->D698[O]->D704[O]->W77          | 1,337E-7   | 5,350E+5        |                     | 2,477E-1     | 5,000E+0   | 6,847E+2           | 1,242E+4       | 0,000E+0  |           |               |                          | 5,945E+8     |
| TP-101,14-T-411B,Continu falen,Schone grondstof    | R34[D]->D341[D]->D466[D]->D473[O]->D9[D]->D698[D]->W77          | 1,040E-8   | 4,864E+5        |                     | 2,252E-1     | 5,000E+0   | 3,978E+2           | 1,944E+4       | 0,000E+0  |           |               |                          | 5,405E+8     |
| TP-101,14-T-411B,Continu falen,Schone grondstof    | R34[D]->D341[D]->D466[D]->D473[O]->D9[D]->D698[O]->D704[O]->W77 | 9,356E-8   | 1,264E+5        |                     | 5,854E-2     | 5,000E+0   | 3,978E+2           | 5,054E+3       | 0,000E+0  |           |               |                          | 1,405E+8     |
| TP-101,14-T-411B,Topping,Schone grondstof          | R34[O]->D573[D]->D341[D]->D466[O]->D9[D]->D698[D]->W77          | 1,750E-7   | 2,069E+6        |                     | 9,579E-1     | 5,000E+0   | 1,916E+4           | 5,111E+1       | 0,000E+0  |           |               |                          | 2,299E+9     |
| TP-101,14-T-411B,Topping,Schone grondstof          | R34[O]->D573[D]->D341[D]->D466[O]->D9[D]->D698[D]->W77          | 1,750E-7   | 2,069E+6        | 3,665E+5            | 1,053E-1     | 4,310E+0   |                    | 5,111E+1       | 0,000E+0  |           |               |                          | 2,299E+9     |
| TP-101,14-T-411B,Topping,Schone grondstof          | R34[O]->D573[D]->D341[D]->D466[O]->D9[D]->D698[O]->D704[O]->W77 | 1,575E-6   | 1,709E+6        |                     | 7,913E-1     | 5,000E+0   | 1,583E+4           | 4,222E+1       | 0,000E+0  |           |               |                          | 1,899E+9     |
| TP-101,14-T-411B,Topping,Schone grondstof          | R34[O]->D573[D]->D341[D]->D466[O]->D9[D]->D698[O]->D704[O]->W77 | 1,575E-6   | 1,709E+6        | 3,027E+5            | 8,698E-2     | 4,310E+0   |                    | 4,222E+1       | 0,000E+0  |           |               |                          | 1,899E+9     |
| TP-101,14-T-411B,Topping,Schone grondstof          | R34[O]->D573[D]->D341[D]->D466[O]->D9[D]->D698[D]->W77          | 7,500E-8   | 2,068E+6        |                     | 9,573E-1     | 5,000E+0   | 1,915E+4           | 5,110E+1       | 0,000E+0  |           |               |                          | 2,297E+9     |
| TP-101,14-T-411B,Topping,Schone grondstof          | R34[O]->D573[D]->D341[D]->D466[O]->D9[D]->D698[D]->W77          | 7,500E-8   | 2,068E+6        | 3,662E+5            | 1,052E-1     | 4,310E+0   |                    | 5,110E+1       | 0,000E+0  |           |               |                          | 2,297E+9     |
| TP-101,14-T-411B,Topping,Schone grondstof          | R34[O]->D573[D]->D341[D]->D466[O]->D9[D]->D698[O]->D704[O]->W77 | 6,750E-7   | 1,708E+6        |                     | 7,906E-1     | 5,000E+0   | 1,581E+4           | 4,221E+1       | 0,000E+0  |           |               |                          | 1,897E+9     |
| TP-101,14-T-411B,Topping,Schone grondstof          | R34[O]->D573[D]->D341[D]->D466[O]->D9[D]->D698[O]->D704[O]->W77 | 6,750E-7   | 1,708E+6        | 3,024E+5            | 8,691E-2     | 4,310E+0   |                    | 4,221E+1       | 0,000E+0  |           |               |                          | 1,897E+9     |
| TP-101,14-T-411B,Topping,Schone grondstof          | R34[O]->D573[O]->D504[D]->D341[D]->D466[O]->D9[D]->D698[D]->W77 | 1,750E-8   | 2,069E+6        |                     | 9,579E-1     | 5,000E+0   | 1,916E+4           | 5,111E+1       | 0,000E+0  |           |               |                          | 2,299E+9     |

| Group  | Afstroomroute  | Frequentie | Massa uitstroom | Volume contaminatie | MSI Factored | Weegfactor | Oever Contaminatie | Uitstroom tijd | Bluswater | RWZI      |               |                          | LC50 gewogen |
|--|--|------------|-----------------|---------------------|--------------|------------|--------------------|----------------|-----------|-----------|---------------|--------------------------|--------------|
|  |  |            |                 |                     |              |            |                    |                |           | inhibitie | overbelasting | Actief slib beïnvloeding |              |
|  |  | [j-1]      | [kg]            | [m3]                |              |            | [m]                | [s]            | [m3]      |           |               |                          | [m3]         |
| TP-101,14-T-411B,Topping,Schone grondstof          | R34[O]->D573[O]->D504[D]->D341[D]->D466[O]->D9[D]->D698[D]->W77          | 1,750E-8   | 2,069E+6        | 3,665E+5            | 1,053E-1     | 4,310E+0   |                    | 5,111E+1       | 0,000E+0  |           |               |                          | 2,299E+9     |
| TP-101,14-T-411B,Topping,Schone grondstof          | R34[O]->D573[O]->D504[D]->D341[D]->D466[O]->D9[D]->D698[O]->D704[O]->W77 | 1,575E-7   | 1,709E+6        |                     | 7,913E-1     | 5,000E+0   | 1,583E+4           | 4,222E+1       | 0,000E+0  |           |               |                          | 1,899E+9     |
| TP-101,14-T-411B,Topping,Schone grondstof          | R34[O]->D573[O]->D504[D]->D341[D]->D466[O]->D9[D]->D698[O]->D704[O]->W77 | 1,575E-7   | 1,709E+6        | 3,027E+5            | 8,698E-2     | 4,310E+0   |                    | 4,222E+1       | 0,000E+0  |           |               |                          | 1,899E+9     |
| TP-101,14-T-411B,Topping,Schone grondstof          | R34[O]->D573[O]->D504[D]->D341[D]->D466[O]->D9[D]->D698[D]->W77          | 7,500E-9   | 2,068E+6        |                     | 9,573E-1     | 5,000E+0   | 1,915E+4           | 5,110E+1       | 0,000E+0  |           |               |                          | 2,297E+9     |
| TP-101,14-T-411B,Topping,Schone grondstof          | R34[O]->D573[O]->D504[D]->D341[D]->D466[O]->D9[D]->D698[D]->W77          | 7,500E-9   | 2,068E+6        | 3,662E+5            | 1,052E-1     | 4,310E+0   |                    | 5,110E+1       | 0,000E+0  |           |               |                          | 2,297E+9     |
| TP-101,14-T-411B,Topping,Schone grondstof          | R34[O]->D573[O]->D504[D]->D341[D]->D466[O]->D9[D]->D698[O]->D704[O]->W77 | 6,750E-8   | 1,708E+6        |                     | 7,906E-1     | 5,000E+0   | 1,581E+4           | 4,221E+1       | 0,000E+0  |           |               |                          | 1,897E+9     |
| TP-101,14-T-411B,Topping,Schone grondstof          | R34[O]->D573[O]->D504[D]->D341[D]->D466[O]->D9[D]->D698[O]->D704[O]->W77 | 6,750E-8   | 1,708E+6        | 3,024E+5            | 8,691E-2     | 4,310E+0   |                    | 4,221E+1       | 0,000E+0  |           |               |                          | 1,897E+9     |
| TP-101,14-T-411A,Instantaan falen,Schone grondstof | R34[D]->D341[D]->D466[O]->D9[D]->D698[D]->W77                            | 3,465E-8   | 1,054E+6        |                     | 4,879E-1     | 5,000E+0   | 9,757E+3           | 4,472E+1       | 0,000E+0  |           |               |                          | 1,171E+9     |
| TP-101,14-T-411A,Instantaan falen,Schone grondstof | R34[D]->D341[D]->D466[O]->D9[D]->D698[O]->D704[O]->W77                   | 3,119E-7   | 6,938E+5        |                     | 3,212E-1     | 5,000E+0   | 6,424E+3           | 2,944E+1       | 0,000E+0  |           |               |                          | 7,709E+8     |
| TP-101,14-T-411A,Instantaan falen,Schone grondstof | R34[D]->D341[D]->D466[O]->D9[D]->D698[O]->D704[O]->W77                   | 3,119E-7   | 6,938E+5        | 1,229E+5            | 3,531E-2     | 4,310E+0   |                    | 2,944E+1       | 0,000E+0  |           |               |                          | 7,709E+8     |
| TP-101,14-T-411A,Instantaan falen,Schone grondstof | R34[D]->D341[D]->D466[O]->D9[D]->D698[D]->W77                            | 1,485E-8   | 1,052E+6        |                     | 4,872E-1     | 5,000E+0   | 9,744E+3           | 4,471E+1       | 0,000E+0  |           |               |                          | 1,169E+9     |
| TP-101,14-T-411A,Instantaan falen,Schone grondstof | R34[D]->D341[D]->D466[O]->D9[D]->D698[O]->D704[O]->W77                   | 1,337E-7   | 6,924E+5        |                     | 3,205E-1     | 5,000E+0   | 6,411E+3           | 2,942E+1       | 0,000E+0  |           |               |                          | 7,693E+8     |
| TP-101,14-T-411A,Instantaan falen,Schone grondstof | R34[D]->D341[D]->D466[O]->D9[D]->D698[O]->D704[O]->W77                   | 1,337E-7   | 6,924E+5        | 1,226E+5            | 3,524E-2     | 4,310E+0   |                    | 2,942E+1       | 0,000E+0  |           |               |                          | 7,693E+8     |
| TP-101,14-T-411A,Continu falen,Schone grondstof    | R34[D]->D341[D]->D466[O]->D9[D]->D698[D]->W77                            | 3,465E-8   | 1,561E+6        |                     | 7,229E-1     | 5,000E+0   | 1,082E+3           | 2,293E+4       | 0,000E+0  |           |               |                          | 1,735E+9     |
| TP-101,14-T-411A,Continu falen,Schone grondstof    | R34[D]->D341[D]->D466[O]->D9[D]->D698[O]->D704[O]->W77                   | 3,119E-7   | 1,201E+6        |                     | 5,562E-1     | 5,000E+0   | 1,082E+3           | 1,765E+4       | 0,000E+0  |           |               |                          | 1,335E+9     |
| TP-101,14-T-411A,Continu falen,Schone grondstof    | R34[D]->D341[D]->D466[O]->D9[D]->D698[D]->W77                            | 1,485E-8   | 8,950E+5        |                     | 4,144E-1     | 5,000E+0   | 6,847E+2           | 2,078E+4       | 0,000E+0  |           |               |                          | 9,945E+8     |
| TP-101,14-T-411A,Continu falen,Schone grondstof    | R34[D]->D341[D]->D466[O]->D9[D]->D698[O]->D704[O]->W77                   | 1,337E-7   | 5,350E+5        |                     | 2,477E-1     | 5,000E+0   | 6,847E+2           | 1,242E+4       | 0,000E+0  |           |               |                          | 5,945E+8     |
| TP-101,14-T-411A,Continu falen,Schone grondstof    | R34[D]->D341[D]->D466[D]->D473[O]->D9[D]->D698[D]->W77                   | 1,040E-8   | 4,864E+5        |                     | 2,252E-1     | 5,000E+0   | 3,978E+2           | 1,944E+4       | 0,000E+0  |           |               |                          | 5,405E+8     |
| TP-101,14-T-411A,Continu falen,Schone grondstof    | R34[D]->D341[D]->D466[D]->D473[O]->D9[D]->D698[O]->D704[O]->W77          | 9,356E-8   | 1,264E+5        |                     | 5,854E-2     | 5,000E+0   | 3,978E+2           | 5,054E+3       | 0,000E+0  |           |               |                          | 1,405E+8     |

| Group                                     | Afstroomroute  | Frequentie | Massa uitstroom | Volume contaminatie | MSI Factored | Weegfactor | Oever Contaminatie | Uitstroom tijd | Bluswater | RWZI      |               |                          | LC50 gewogen |
|---|--|------------|-----------------|---------------------|--------------|------------|--------------------|----------------|-----------|-----------|---------------|--------------------------|--------------|
|   |  |            |                 |                     |              |            |                    |                |           | inhibitie | overbelasting | Actief slib beïnvloeding |              |
|   |  | [j-1]      | [kg]            | [m3]                |              |            | [m]                | [s]            | [m3]      |           |               |                          | [m3]         |
| TP-101,14-T-411A,Topping,Schone grondstof | R34[O]->D573[D]->D341[D]->D466[O]->D9[D]->D698[D]->W77                   | 1,750E-7   | 2,069E+6        |                     | 9,579E-1     | 5,000E+0   | 1,916E+4           | 5,111E+1       | 0,000E+0  |           |               |                          | 2,299E+9     |
| TP-101,14-T-411A,Topping,Schone grondstof | R34[O]->D573[D]->D341[D]->D466[O]->D9[D]->D698[D]->W77                   | 1,750E-7   | 2,069E+6        | 3,665E+5            | 1,053E-1     | 4,310E+0   |                    | 5,111E+1       | 0,000E+0  |           |               |                          | 2,299E+9     |
| TP-101,14-T-411A,Topping,Schone grondstof | R34[O]->D573[D]->D341[D]->D466[O]->D9[D]->D698[O]->D704[O]->W77          | 1,575E-6   | 1,709E+6        |                     | 7,913E-1     | 5,000E+0   | 1,583E+4           | 4,222E+1       | 0,000E+0  |           |               |                          | 1,899E+9     |
| TP-101,14-T-411A,Topping,Schone grondstof | R34[O]->D573[D]->D341[D]->D466[O]->D9[D]->D698[O]->D704[O]->W77          | 1,575E-6   | 1,709E+6        | 3,027E+5            | 8,698E-2     | 4,310E+0   |                    | 4,222E+1       | 0,000E+0  |           |               |                          | 1,899E+9     |
| TP-101,14-T-411A,Topping,Schone grondstof | R34[O]->D573[D]->D341[D]->D466[O]->D9[D]->D698[D]->W77                   | 7,500E-8   | 2,068E+6        |                     | 9,573E-1     | 5,000E+0   | 1,915E+4           | 5,110E+1       | 0,000E+0  |           |               |                          | 2,297E+9     |
| TP-101,14-T-411A,Topping,Schone grondstof | R34[O]->D573[D]->D341[D]->D466[O]->D9[D]->D698[D]->W77                   | 7,500E-8   | 2,068E+6        | 3,662E+5            | 1,052E-1     | 4,310E+0   |                    | 5,110E+1       | 0,000E+0  |           |               |                          | 2,297E+9     |
| TP-101,14-T-411A,Topping,Schone grondstof | R34[O]->D573[D]->D341[D]->D466[O]->D9[D]->D698[O]->D704[O]->W77          | 6,750E-7   | 1,708E+6        |                     | 7,906E-1     | 5,000E+0   | 1,581E+4           | 4,221E+1       | 0,000E+0  |           |               |                          | 1,897E+9     |
| TP-101,14-T-411A,Topping,Schone grondstof | R34[O]->D573[D]->D341[D]->D466[O]->D9[D]->D698[O]->D704[O]->W77          | 6,750E-7   | 1,708E+6        | 3,024E+5            | 8,691E-2     | 4,310E+0   |                    | 4,221E+1       | 0,000E+0  |           |               |                          | 1,897E+9     |
| TP-101,14-T-411A,Topping,Schone grondstof | R34[O]->D573[O]->D504[D]->D341[D]->D466[O]->D9[D]->D698[D]->W77          | 1,750E-8   | 2,069E+6        |                     | 9,579E-1     | 5,000E+0   | 1,916E+4           | 5,111E+1       | 0,000E+0  |           |               |                          | 2,299E+9     |
| TP-101,14-T-411A,Topping,Schone grondstof | R34[O]->D573[O]->D504[D]->D341[D]->D466[O]->D9[D]->D698[D]->W77          | 1,750E-8   | 2,069E+6        | 3,665E+5            | 1,053E-1     | 4,310E+0   |                    | 5,111E+1       | 0,000E+0  |           |               |                          | 2,299E+9     |
| TP-101,14-T-411A,Topping,Schone grondstof | R34[O]->D573[O]->D504[D]->D341[D]->D466[O]->D9[D]->D698[O]->D704[O]->W77 | 1,575E-7   | 1,709E+6        |                     | 7,913E-1     | 5,000E+0   | 1,583E+4           | 4,222E+1       | 0,000E+0  |           |               |                          | 1,899E+9     |
| TP-101,14-T-411A,Topping,Schone grondstof | R34[O]->D573[O]->D504[D]->D341[D]->D466[O]->D9[D]->D698[O]->D704[O]->W77 | 1,575E-7   | 1,709E+6        | 3,027E+5            | 8,698E-2     | 4,310E+0   |                    | 4,222E+1       | 0,000E+0  |           |               |                          | 1,899E+9     |
| TP-101,14-T-411A,Topping,Schone grondstof | R34[O]->D573[O]->D504[D]->D341[D]->D466[O]->D9[D]->D698[D]->W77          | 7,500E-9   | 2,068E+6        |                     | 9,573E-1     | 5,000E+0   | 1,915E+4           | 5,110E+1       | 0,000E+0  |           |               |                          | 2,297E+9     |
| TP-101,14-T-411A,Topping,Schone grondstof | R34[O]->D573[O]->D504[D]->D341[D]->D466[O]->D9[D]->D698[D]->W77          | 7,500E-9   | 2,068E+6        | 3,662E+5            | 1,052E-1     | 4,310E+0   |                    | 5,110E+1       | 0,000E+0  |           |               |                          | 2,297E+9     |
| TP-101,14-T-411A,Topping,Schone grondstof | R34[O]->D573[O]->D504[D]->D341[D]->D466[O]->D9[D]->D698[O]->D704[O]->W77 | 6,750E-8   | 1,708E+6        |                     | 7,906E-1     | 5,000E+0   | 1,581E+4           | 4,221E+1       | 0,000E+0  |           |               |                          | 1,897E+9     |
| TP-101,14-T-411A,Topping,Schone grondstof | R34[O]->D573[O]->D504[D]->D341[D]->D466[O]->D9[D]->D698[O]->D704[O]->W77 | 6,750E-8   | 1,708E+6        | 3,024E+5            | 8,691E-2     | 4,310E+0   |                    | 4,221E+1       | 0,000E+0  |           |               |                          | 1,897E+9     |

| Group  | Afstroomroute   | Frequentie | Massa uitstroom | Volume contaminatie | MSI Factored | Weegfactor | Oever Contaminatie | Uitstroom tijd | Bluswater | RWZI      |               |                          | LC50 gewogen |
|--|---|------------|-----------------|---------------------|--------------|------------|--------------------|----------------|-----------|-----------|---------------|--------------------------|--------------|
|  |   |            |                 |                     |              |            |                    |                |           | inhibitie | overbelasting | Actief slib beïnvloeding |              |
|  |   | [j-1]      | [kg]            | [m3]                |              |            | [m]                | [s]            | [m3]      |           |               |                          | [m3]         |
| TP-101,14-T-171,Topping,Ruwe grondstof           | R34[O]->D573[D]->D341[D]->D466[O]->D9[D]->D698[D]->W77          | 1,750E-7   | 1,708E+5        |                     | 7,907E-2     | 5,000E+0   | 1,581E+3           | 1,931E+1       | 0,000E+0  |           |               |                          | 1,898E+8     |
| TP-101,14-T-171,Topping,Ruwe grondstof           | R34[O]->D573[D]->D341[D]->D466[O]->D9[D]->D698[D]->W77          | 7,500E-8   | 1,696E+5        |                     | 7,851E-2     | 5,000E+0   | 1,570E+3           | 1,923E+1       | 0,000E+0  |           |               |                          | 1,884E+8     |
| TP-101,14-T-171,Topping,Ruwe grondstof           | R34[O]->D573[O]->D504[D]->D341[D]->D466[O]->D9[D]->D698[D]->W77 | 1,750E-8   | 1,708E+5        |                     | 7,907E-2     | 5,000E+0   | 1,581E+3           | 1,931E+1       | 0,000E+0  |           |               |                          | 1,898E+8     |
| TP-101,14-T-211D,Instantaan falen,Ruwe grondstof | R34[D]->D341[D]->D466[O]->D9[D]->D698[D]->W77                   | 3,500E-8   | 1,053E+6        |                     | 4,876E-1     | 5,000E+0   | 9,751E+3           | 4,471E+1       | 0,000E+0  |           |               |                          | 1,170E+9     |
| TP-101,14-T-211D,Instantaan falen,Ruwe grondstof | R34[D]->D341[D]->D466[O]->D9[D]->D698[D]->W77                   | 3,500E-8   | 1,053E+6        | 1,865E+5            | 5,360E-2     | 4,310E+0   |                    | 4,471E+1       | 0,000E+0  |           |               |                          | 1,170E+9     |
| TP-101,14-T-211D,Instantaan falen,Ruwe grondstof | R34[D]->D341[D]->D466[O]->D9[D]->D698[O]->D704[O]->W77          | 3,150E-7   | 6,931E+5        |                     | 3,209E-1     | 5,000E+0   | 6,418E+3           | 2,943E+1       | 0,000E+0  |           |               |                          | 7,702E+8     |
| TP-101,14-T-211D,Instantaan falen,Ruwe grondstof | R34[D]->D341[D]->D466[O]->D9[D]->D698[O]->D704[O]->W77          | 3,150E-7   | 6,931E+5        | 1,228E+5            | 3,528E-2     | 4,310E+0   |                    | 2,943E+1       | 0,000E+0  |           |               |                          | 7,702E+8     |
| TP-101,14-T-211D,Instantaan falen,Ruwe grondstof | R34[D]->D341[D]->D466[O]->D9[D]->D698[D]->W77                   | 1,500E-8   | 1,052E+6        |                     | 4,869E-1     | 5,000E+0   | 9,738E+3           | 4,470E+1       | 0,000E+0  |           |               |                          | 1,169E+9     |
| TP-101,14-T-211D,Instantaan falen,Ruwe grondstof | R34[D]->D341[D]->D466[O]->D9[D]->D698[O]->D704[O]->W77          | 1,350E-7   | 6,917E+5        |                     | 3,202E-1     | 5,000E+0   | 6,405E+3           | 2,940E+1       | 0,000E+0  |           |               |                          | 7,686E+8     |
| TP-101,14-T-211D,Instantaan falen,Ruwe grondstof | R34[D]->D341[D]->D466[O]->D9[D]->D698[O]->D704[O]->W77          | 1,350E-7   | 6,917E+5        | 1,225E+5            | 3,520E-2     | 4,310E+0   |                    | 2,940E+1       | 0,000E+0  |           |               |                          | 7,686E+8     |
| TP-101,14-T-211D,Continu falen,Ruwe grondstof    | R34[D]->D341[D]->D466[O]->D9[D]->D698[D]->W77                   | 3,500E-8   | 1,561E+6        |                     | 7,225E-1     | 5,000E+0   | 2,782E+3           | 1,019E+4       | 0,000E+0  |           |               |                          | 1,734E+9     |
| TP-101,14-T-211D,Continu falen,Ruwe grondstof    | R34[D]->D341[D]->D466[O]->D9[D]->D698[O]->D704[O]->W77          | 3,150E-7   | 1,201E+6        |                     | 5,558E-1     | 5,000E+0   | 2,782E+3           | 7,837E+3       | 0,000E+0  |           |               |                          | 1,334E+9     |
| TP-101,14-T-211D,Continu falen,Ruwe grondstof    | R34[D]->D341[D]->D466[O]->D9[D]->D698[D]->W77                   | 1,500E-8   | 1,265E+6        |                     | 5,854E-1     | 5,000E+0   | 2,327E+3           | 9,866E+3       | 0,000E+0  |           |               |                          | 1,405E+9     |
| TP-101,14-T-211D,Continu falen,Ruwe grondstof    | R34[D]->D341[D]->D466[O]->D9[D]->D698[O]->D704[O]->W77          | 1,350E-7   | 9,045E+5        |                     | 4,188E-1     | 5,000E+0   | 2,327E+3           | 7,057E+3       | 0,000E+0  |           |               |                          | 1,005E+9     |
| TP-101,14-T-211D,Topping,Ruwe grondstof          | R34[O]->D573[D]->D341[D]->D466[O]->D9[D]->D698[D]->W77          | 1,750E-7   | 2,068E+6        |                     | 9,574E-1     | 5,000E+0   | 1,915E+4           | 5,110E+1       | 0,000E+0  |           |               |                          | 2,298E+9     |
| TP-101,14-T-211D,Topping,Ruwe grondstof          | R34[O]->D573[D]->D341[D]->D466[O]->D9[D]->D698[D]->W77          | 1,750E-7   | 2,068E+6        | 3,663E+5            | 1,053E-1     | 4,310E+0   |                    | 5,110E+1       | 0,000E+0  |           |               |                          | 2,298E+9     |
| TP-101,14-T-211D,Topping,Ruwe grondstof          | R34[O]->D573[D]->D341[D]->D466[O]->D9[D]->D698[O]->D704[O]->W77 | 1,575E-6   | 1,708E+6        |                     | 7,908E-1     | 5,000E+0   | 1,582E+4           | 4,221E+1       | 0,000E+0  |           |               |                          | 1,898E+9     |
| TP-101,14-T-211D,Topping,Ruwe grondstof          | R34[O]->D573[D]->D341[D]->D466[O]->D9[D]->D698[O]->D704[O]->W77 | 1,575E-6   | 1,708E+6        | 3,025E+5            | 8,693E-2     | 4,310E+0   |                    | 4,221E+1       | 0,000E+0  |           |               |                          | 1,898E+9     |
| TP-101,14-T-211D,Topping,Ruwe grondstof          | R34[O]->D573[D]->D341[D]->D466[O]->D9[D]->D698[D]->W77          | 7,500E-8   | 2,067E+6        |                     | 9,568E-1     | 5,000E+0   | 1,914E+4           | 5,110E+1       | 0,000E+0  |           |               |                          | 2,296E+9     |
| TP-101,14-T-211D,Topping,Ruwe grondstof          | R34[O]->D573[D]->D341[D]->D466[O]->D9[D]->D698[D]->W77          | 7,500E-8   | 2,067E+6        | 3,660E+5            | 1,052E-1     | 4,310E+0   |                    | 5,110E+1       | 0,000E+0  |           |               |                          | 2,296E+9     |

| Group  | Afstroomroute  | Frequentie | Massa uitstroom | Volume contaminatie | MSI Factored | Weegfactor | Oever Contaminatie | Uitstroom tijd | Bluswater | RWZI      |               |                          | LC50 gewogen |
|--|--|------------|-----------------|---------------------|--------------|------------|--------------------|----------------|-----------|-----------|---------------|--------------------------|--------------|
|  |  |            |                 |                     |              |            |                    |                |           | inhibitie | overbelasting | Actief slib beïnvloeding |              |
|  |  | [j-1]      | [kg]            | [m3]                |              |            | [m]                | [s]            | [m3]      |           |               |                          | [m3]         |
| TP-101,14-T-211D,Topping,Ruwe grondstof          | R34[O]->D573[D]->D341[D]->D466[O]->D9[D]->D698[O]->D704[O]->W77          | 6,750E-7   | 1,707E+6        |                     | 7,901E-1     | 5,000E+0   | 1,580E+4           | 4,220E+1       | 0,000E+0  |           |               |                          | 1,896E+9     |
| TP-101,14-T-211D,Topping,Ruwe grondstof          | R34[O]->D573[D]->D341[D]->D466[O]->D9[D]->D698[O]->D704[O]->W77          | 6,750E-7   | 1,707E+6        | 3,023E+5            | 8,685E-2     | 4,310E+0   |                    | 4,220E+1       | 0,000E+0  |           |               |                          | 1,896E+9     |
| TP-101,14-T-211D,Topping,Ruwe grondstof          | R34[O]->D573[O]->D504[D]->D341[D]->D466[O]->D9[D]->D698[D]->W77          | 1,750E-8   | 2,068E+6        |                     | 9,574E-1     | 5,000E+0   | 1,915E+4           | 5,110E+1       | 0,000E+0  |           |               |                          | 2,298E+9     |
| TP-101,14-T-211D,Topping,Ruwe grondstof          | R34[O]->D573[O]->D504[D]->D341[D]->D466[O]->D9[D]->D698[D]->W77          | 1,750E-8   | 2,068E+6        | 3,663E+5            | 1,053E-1     | 4,310E+0   |                    | 5,110E+1       | 0,000E+0  |           |               |                          | 2,298E+9     |
| TP-101,14-T-211D,Topping,Ruwe grondstof          | R34[O]->D573[O]->D504[D]->D341[D]->D466[O]->D9[D]->D698[O]->D704[O]->W77 | 1,575E-7   | 1,708E+6        |                     | 7,908E-1     | 5,000E+0   | 1,582E+4           | 4,221E+1       | 0,000E+0  |           |               |                          | 1,898E+9     |
| TP-101,14-T-211D,Topping,Ruwe grondstof          | R34[O]->D573[O]->D504[D]->D341[D]->D466[O]->D9[D]->D698[O]->D704[O]->W77 | 1,575E-7   | 1,708E+6        | 3,025E+5            | 8,693E-2     | 4,310E+0   |                    | 4,221E+1       | 0,000E+0  |           |               |                          | 1,898E+9     |
| TP-101,14-T-211D,Topping,Ruwe grondstof          | R34[O]->D573[O]->D504[D]->D341[D]->D466[O]->D9[D]->D698[D]->W77          | 7,500E-9   | 2,067E+6        |                     | 9,568E-1     | 5,000E+0   | 1,914E+4           | 5,110E+1       | 0,000E+0  |           |               |                          | 2,296E+9     |
| TP-101,14-T-211D,Topping,Ruwe grondstof          | R34[O]->D573[O]->D504[D]->D341[D]->D466[O]->D9[D]->D698[D]->W77          | 7,500E-9   | 2,067E+6        | 3,660E+5            | 1,052E-1     | 4,310E+0   |                    | 5,110E+1       | 0,000E+0  |           |               |                          | 2,296E+9     |
| TP-101,14-T-211D,Topping,Ruwe grondstof          | R34[O]->D573[O]->D504[D]->D341[D]->D466[O]->D9[D]->D698[O]->D704[O]->W77 | 6,750E-8   | 1,707E+6        |                     | 7,901E-1     | 5,000E+0   | 1,580E+4           | 4,220E+1       | 0,000E+0  |           |               |                          | 1,896E+9     |
| TP-101,14-T-211D,Topping,Ruwe grondstof          | R34[O]->D573[O]->D504[D]->D341[D]->D466[O]->D9[D]->D698[O]->D704[O]->W77 | 6,750E-8   | 1,707E+6        | 3,023E+5            | 8,685E-2     | 4,310E+0   |                    | 4,220E+1       | 0,000E+0  |           |               |                          | 1,896E+9     |
| TP-101,14-T-211C,Instantaan falen,Ruwe grondstof | R34[D]->D341[D]->D466[O]->D9[D]->D698[D]->W77                            | 3,500E-8   | 1,053E+6        |                     | 4,876E-1     | 5,000E+0   | 9,751E+3           | 4,471E+1       | 0,000E+0  |           |               |                          | 1,170E+9     |
| TP-101,14-T-211C,Instantaan falen,Ruwe grondstof | R34[D]->D341[D]->D466[O]->D9[D]->D698[D]->W77                            | 3,500E-8   | 1,053E+6        | 1,865E+5            | 5,360E-2     | 4,310E+0   |                    | 4,471E+1       | 0,000E+0  |           |               |                          | 1,170E+9     |
| TP-101,14-T-211C,Instantaan falen,Ruwe grondstof | R34[D]->D341[D]->D466[O]->D9[D]->D698[O]->D704[O]->W77                   | 3,150E-7   | 6,931E+5        |                     | 3,209E-1     | 5,000E+0   | 6,418E+3           | 2,943E+1       | 0,000E+0  |           |               |                          | 7,702E+8     |
| TP-101,14-T-211C,Instantaan falen,Ruwe grondstof | R34[D]->D341[D]->D466[O]->D9[D]->D698[O]->D704[O]->W77                   | 3,150E-7   | 6,931E+5        | 1,228E+5            | 3,528E-2     | 4,310E+0   |                    | 2,943E+1       | 0,000E+0  |           |               |                          | 7,702E+8     |
| TP-101,14-T-211C,Instantaan falen,Ruwe grondstof | R34[D]->D341[D]->D466[O]->D9[D]->D698[D]->W77                            | 1,500E-8   | 1,052E+6        |                     | 4,869E-1     | 5,000E+0   | 9,738E+3           | 4,470E+1       | 0,000E+0  |           |               |                          | 1,169E+9     |
| TP-101,14-T-211C,Instantaan falen,Ruwe grondstof | R34[D]->D341[D]->D466[O]->D9[D]->D698[O]->D704[O]->W77                   | 1,350E-7   | 6,917E+5        |                     | 3,202E-1     | 5,000E+0   | 6,405E+3           | 2,940E+1       | 0,000E+0  |           |               |                          | 7,686E+8     |
| TP-101,14-T-211C,Instantaan falen,Ruwe grondstof | R34[D]->D341[D]->D466[O]->D9[D]->D698[O]->D704[O]->W77                   | 1,350E-7   | 6,917E+5        | 1,225E+5            | 3,520E-2     | 4,310E+0   |                    | 2,940E+1       | 0,000E+0  |           |               |                          | 7,686E+8     |
| TP-101,14-T-211C,Continu falen,Ruwe grondstof    | R34[D]->D341[D]->D466[O]->D9[D]->D698[D]->W77                            | 3,500E-8   | 1,561E+6        |                     | 7,225E-1     | 5,000E+0   | 2,782E+3           | 1,019E+4       | 0,000E+0  |           |               |                          | 1,734E+9     |
| TP-101,14-T-211C,Continu falen,Ruwe grondstof    | R34[D]->D341[D]->D466[O]->D9[D]->D698[O]->D704[O]->W77                   | 3,150E-7   | 1,201E+6        |                     | 5,558E-1     | 5,000E+0   | 2,782E+3           | 7,837E+3       | 0,000E+0  |           |               |                          | 1,334E+9     |

| Group   | Afstroomroute  | Frequentie | Massa uitstroom | Volume contaminatie | MSI Factored | Weegfactor | Oever Contaminatie | Uitstroom tijd | Bluswater | RWZI      |               |                          | LC50 gewogen |
|---|--|------------|-----------------|---------------------|--------------|------------|--------------------|----------------|-----------|-----------|---------------|--------------------------|--------------|
|   |  |            |                 |                     |              |            |                    |                |           | inhibitie | overbelasting | Actief slib beïnvloeding |              |
|   |  | [j-1]      | [kg]            | [m3]                |              |            | [m]                | [s]            | [m3]      |           |               |                          | [m3]         |
| TP-101,14-T-211C,Continu falen,Ruwe grondstof | R34[D]->D341[D]->D466[O]->D9[D]->D698[D]->W77                            | 1,500E-8   | 1,265E+6        |                     | 5,854E-1     | 5,000E+0   | 2,327E+3           | 9,866E+3       | 0,000E+0  |           |               |                          | 1,405E+9     |
| TP-101,14-T-211C,Continu falen,Ruwe grondstof | R34[D]->D341[D]->D466[O]->D9[D]->D698[O]->D704[O]->W77                   | 1,350E-7   | 9,045E+5        |                     | 4,188E-1     | 5,000E+0   | 2,327E+3           | 7,057E+3       | 0,000E+0  |           |               |                          | 1,005E+9     |
| TP-101,14-T-211C,Topping,Ruwe grondstof       | R34[O]->D573[D]->D341[D]->D466[O]->D9[D]->D698[D]->W77                   | 1,750E-7   | 2,068E+6        |                     | 9,574E-1     | 5,000E+0   | 1,915E+4           | 5,110E+1       | 0,000E+0  |           |               |                          | 2,298E+9     |
| TP-101,14-T-211C,Topping,Ruwe grondstof       | R34[O]->D573[D]->D341[D]->D466[O]->D9[D]->D698[D]->W77                   | 1,750E-7   | 2,068E+6        | 3,663E+5            | 1,053E-1     | 4,310E+0   |                    | 5,110E+1       | 0,000E+0  |           |               |                          | 2,298E+9     |
| TP-101,14-T-211C,Topping,Ruwe grondstof       | R34[O]->D573[D]->D341[D]->D466[O]->D9[D]->D698[O]->D704[O]->W77          | 1,575E-6   | 1,708E+6        |                     | 7,908E-1     | 5,000E+0   | 1,582E+4           | 4,221E+1       | 0,000E+0  |           |               |                          | 1,898E+9     |
| TP-101,14-T-211C,Topping,Ruwe grondstof       | R34[O]->D573[D]->D341[D]->D466[O]->D9[D]->D698[O]->D704[O]->W77          | 1,575E-6   | 1,708E+6        | 3,025E+5            | 8,693E-2     | 4,310E+0   |                    | 4,221E+1       | 0,000E+0  |           |               |                          | 1,898E+9     |
| TP-101,14-T-211C,Topping,Ruwe grondstof       | R34[O]->D573[D]->D341[D]->D466[O]->D9[D]->D698[D]->W77                   | 7,500E-8   | 2,067E+6        |                     | 9,568E-1     | 5,000E+0   | 1,914E+4           | 5,110E+1       | 0,000E+0  |           |               |                          | 2,296E+9     |
| TP-101,14-T-211C,Topping,Ruwe grondstof       | R34[O]->D573[D]->D341[D]->D466[O]->D9[D]->D698[D]->W77                   | 7,500E-8   | 2,067E+6        | 3,660E+5            | 1,052E-1     | 4,310E+0   |                    | 5,110E+1       | 0,000E+0  |           |               |                          | 2,296E+9     |
| TP-101,14-T-211C,Topping,Ruwe grondstof       | R34[O]->D573[D]->D341[D]->D466[O]->D9[D]->D698[O]->D704[O]->W77          | 6,750E-7   | 1,707E+6        |                     | 7,901E-1     | 5,000E+0   | 1,580E+4           | 4,220E+1       | 0,000E+0  |           |               |                          | 1,896E+9     |
| TP-101,14-T-211C,Topping,Ruwe grondstof       | R34[O]->D573[D]->D341[D]->D466[O]->D9[D]->D698[O]->D704[O]->W77          | 6,750E-7   | 1,707E+6        | 3,023E+5            | 8,685E-2     | 4,310E+0   |                    | 4,220E+1       | 0,000E+0  |           |               |                          | 1,896E+9     |
| TP-101,14-T-211C,Topping,Ruwe grondstof       | R34[O]->D573[O]->D504[D]->D341[D]->D466[O]->D9[D]->D698[D]->W77          | 1,750E-8   | 2,068E+6        |                     | 9,574E-1     | 5,000E+0   | 1,915E+4           | 5,110E+1       | 0,000E+0  |           |               |                          | 2,298E+9     |
| TP-101,14-T-211C,Topping,Ruwe grondstof       | R34[O]->D573[O]->D504[D]->D341[D]->D466[O]->D9[D]->D698[D]->W77          | 1,750E-8   | 2,068E+6        | 3,663E+5            | 1,053E-1     | 4,310E+0   |                    | 5,110E+1       | 0,000E+0  |           |               |                          | 2,298E+9     |
| TP-101,14-T-211C,Topping,Ruwe grondstof       | R34[O]->D573[O]->D504[D]->D341[D]->D466[O]->D9[D]->D698[O]->D704[O]->W77 | 1,575E-7   | 1,708E+6        |                     | 7,908E-1     | 5,000E+0   | 1,582E+4           | 4,221E+1       | 0,000E+0  |           |               |                          | 1,898E+9     |
| TP-101,14-T-211C,Topping,Ruwe grondstof       | R34[O]->D573[O]->D504[D]->D341[D]->D466[O]->D9[D]->D698[O]->D704[O]->W77 | 1,575E-7   | 1,708E+6        | 3,025E+5            | 8,693E-2     | 4,310E+0   |                    | 4,221E+1       | 0,000E+0  |           |               |                          | 1,898E+9     |
| TP-101,14-T-211C,Topping,Ruwe grondstof       | R34[O]->D573[O]->D504[D]->D341[D]->D466[O]->D9[D]->D698[D]->W77          | 7,500E-9   | 2,067E+6        |                     | 9,568E-1     | 5,000E+0   | 1,914E+4           | 5,110E+1       | 0,000E+0  |           |               |                          | 2,296E+9     |
| TP-101,14-T-211C,Topping,Ruwe grondstof       | R34[O]->D573[O]->D504[D]->D341[D]->D466[O]->D9[D]->D698[D]->W77          | 7,500E-9   | 2,067E+6        | 3,660E+5            | 1,052E-1     | 4,310E+0   |                    | 5,110E+1       | 0,000E+0  |           |               |                          | 2,296E+9     |
| TP-101,14-T-211C,Topping,Ruwe grondstof       | R34[O]->D573[O]->D504[D]->D341[D]->D466[O]->D9[D]->D698[O]->D704[O]->W77 | 6,750E-8   | 1,707E+6        |                     | 7,901E-1     | 5,000E+0   | 1,580E+4           | 4,220E+1       | 0,000E+0  |           |               |                          | 1,896E+9     |



| Group  | Afstroomroute  | Frequentie | Massa uitstroom | Volume contaminatie | MSI Factored | Weegfactor | Oever Contaminatie | Uitstroom tijd | Bluswater | RWZI      |               |                          | LC50 gewogen |
|--|--|------------|-----------------|---------------------|--------------|------------|--------------------|----------------|-----------|-----------|---------------|--------------------------|--------------|
|  |  |            |                 |                     |              |            |                    |                |           | inhibitie | overbelasting | Actief slib beïnvloeding |              |
|  |  | [j-1]      | [kg]            | [m3]                |              |            | [m]                | [s]            | [m3]      |           |               |                          | [m3]         |
| TP-101,14-T-211C,Topping,Ruwe grondstof          | R34[O]->D573[O]->D504[D]->D341[D]->D466[O]->D9[D]->D698[O]->D704[O]->W77 | 6,750E-8   | 1,707E+6        | 3,023E+5            | 8,685E-2     | 4,310E+0   |                    | 4,220E+1       | 0,000E+0  |           |               |                          | 1,896E+9     |
| TP-101,14-T-211B,Instantaan falen,Ruwe grondstof | R34[D]->D341[D]->D466[O]->D9[D]->D698[D]->W77                            | 3,500E-8   | 1,053E+6        |                     | 4,876E-1     | 5,000E+0   | 9,751E+3           | 4,471E+1       | 0,000E+0  |           |               |                          | 1,170E+9     |
| TP-101,14-T-211B,Instantaan falen,Ruwe grondstof | R34[D]->D341[D]->D466[O]->D9[D]->D698[D]->W77                            | 3,500E-8   | 1,053E+6        | 1,865E+5            | 5,360E-2     | 4,310E+0   |                    | 4,471E+1       | 0,000E+0  |           |               |                          | 1,170E+9     |
| TP-101,14-T-211B,Instantaan falen,Ruwe grondstof | R34[D]->D341[D]->D466[O]->D9[D]->D698[O]->D704[O]->W77                   | 3,150E-7   | 6,931E+5        |                     | 3,209E-1     | 5,000E+0   | 6,418E+3           | 2,943E+1       | 0,000E+0  |           |               |                          | 7,702E+8     |
| TP-101,14-T-211B,Instantaan falen,Ruwe grondstof | R34[D]->D341[D]->D466[O]->D9[D]->D698[O]->D704[O]->W77                   | 3,150E-7   | 6,931E+5        | 1,228E+5            | 3,528E-2     | 4,310E+0   |                    | 2,943E+1       | 0,000E+0  |           |               |                          | 7,702E+8     |
| TP-101,14-T-211B,Instantaan falen,Ruwe grondstof | R34[D]->D341[D]->D466[O]->D9[D]->D698[D]->W77                            | 1,500E-8   | 1,052E+6        |                     | 4,869E-1     | 5,000E+0   | 9,738E+3           | 4,470E+1       | 0,000E+0  |           |               |                          | 1,169E+9     |
| TP-101,14-T-211B,Instantaan falen,Ruwe grondstof | R34[D]->D341[D]->D466[O]->D9[D]->D698[O]->D704[O]->W77                   | 1,350E-7   | 6,917E+5        |                     | 3,202E-1     | 5,000E+0   | 6,405E+3           | 2,940E+1       | 0,000E+0  |           |               |                          | 7,686E+8     |
| TP-101,14-T-211B,Instantaan falen,Ruwe grondstof | R34[D]->D341[D]->D466[O]->D9[D]->D698[O]->D704[O]->W77                   | 1,350E-7   | 6,917E+5        | 1,225E+5            | 3,520E-2     | 4,310E+0   |                    | 2,940E+1       | 0,000E+0  |           |               |                          | 7,686E+8     |
| TP-101,14-T-211B,Continu falen,Ruwe grondstof    | R34[D]->D341[D]->D466[O]->D9[D]->D698[D]->W77                            | 3,500E-8   | 1,561E+6        |                     | 7,225E-1     | 5,000E+0   | 2,782E+3           | 1,019E+4       | 0,000E+0  |           |               |                          | 1,734E+9     |
| TP-101,14-T-211B,Continu falen,Ruwe grondstof    | R34[D]->D341[D]->D466[O]->D9[D]->D698[O]->D704[O]->W77                   | 3,150E-7   | 1,201E+6        |                     | 5,558E-1     | 5,000E+0   | 2,782E+3           | 7,837E+3       | 0,000E+0  |           |               |                          | 1,334E+9     |
| TP-101,14-T-211B,Continu falen,Ruwe grondstof    | R34[D]->D341[D]->D466[O]->D9[D]->D698[D]->W77                            | 1,500E-8   | 1,265E+6        |                     | 5,854E-1     | 5,000E+0   | 2,327E+3           | 9,866E+3       | 0,000E+0  |           |               |                          | 1,405E+9     |
| TP-101,14-T-211B,Continu falen,Ruwe grondstof    | R34[D]->D341[D]->D466[O]->D9[D]->D698[O]->D704[O]->W77                   | 1,350E-7   | 9,045E+5        |                     | 4,188E-1     | 5,000E+0   | 2,327E+3           | 7,057E+3       | 0,000E+0  |           |               |                          | 1,005E+9     |
| TP-101,14-T-211B,Topping,Ruwe grondstof          | R34[O]->D573[D]->D341[D]->D466[O]->D9[D]->D698[D]->W77                   | 1,750E-7   | 2,068E+6        |                     | 9,574E-1     | 5,000E+0   | 1,915E+4           | 5,110E+1       | 0,000E+0  |           |               |                          | 2,298E+9     |
| TP-101,14-T-211B,Topping,Ruwe grondstof          | R34[O]->D573[D]->D341[D]->D466[O]->D9[D]->D698[D]->W77                   | 1,750E-7   | 2,068E+6        | 3,663E+5            | 1,053E-1     | 4,310E+0   |                    | 5,110E+1       | 0,000E+0  |           |               |                          | 2,298E+9     |
| TP-101,14-T-211B,Topping,Ruwe grondstof          | R34[O]->D573[D]->D341[D]->D466[O]->D9[D]->D698[O]->D704[O]->W77          | 1,575E-6   | 1,708E+6        |                     | 7,908E-1     | 5,000E+0   | 1,582E+4           | 4,221E+1       | 0,000E+0  |           |               |                          | 1,898E+9     |
| TP-101,14-T-211B,Topping,Ruwe grondstof          | R34[O]->D573[D]->D341[D]->D466[O]->D9[D]->D698[O]->D704[O]->W77          | 1,575E-6   | 1,708E+6        | 3,025E+5            | 8,693E-2     | 4,310E+0   |                    | 4,221E+1       | 0,000E+0  |           |               |                          | 1,898E+9     |
| TP-101,14-T-211B,Topping,Ruwe grondstof          | R34[O]->D573[D]->D341[D]->D466[O]->D9[D]->D698[D]->W77                   | 7,500E-8   | 2,067E+6        |                     | 9,568E-1     | 5,000E+0   | 1,914E+4           | 5,110E+1       | 0,000E+0  |           |               |                          | 2,296E+9     |
| TP-101,14-T-211B,Topping,Ruwe grondstof          | R34[O]->D573[D]->D341[D]->D466[O]->D9[D]->D698[D]->W77                   | 7,500E-8   | 2,067E+6        | 3,660E+5            | 1,052E-1     | 4,310E+0   |                    | 5,110E+1       | 0,000E+0  |           |               |                          | 2,296E+9     |
| TP-101,14-T-211B,Topping,Ruwe grondstof          | R34[O]->D573[D]->D341[D]->D466[O]->D9[D]->D698[O]->D704[O]->W77          | 6,750E-7   | 1,707E+6        |                     | 7,901E-1     | 5,000E+0   | 1,580E+4           | 4,220E+1       | 0,000E+0  |           |               |                          | 1,896E+9     |
| TP-101,14-T-211B,Topping,Ruwe grondstof          | R34[O]->D573[D]->D341[D]->D466[O]->D9[D]->D698[O]->D704[O]->W77          | 6,750E-7   | 1,707E+6        | 3,023E+5            | 8,685E-2     | 4,310E+0   |                    | 4,220E+1       | 0,000E+0  |           |               |                          | 1,896E+9     |

| Group  | Afstroomroute  | Frequentie | Massa uitstroom | Volume contaminatie | MSI Factored | Weegfactor | Oever Contaminatie | Uitstroom tijd | Bluswater | RWZI      |               |                          | LC50 gewogen |
|--|--|------------|-----------------|---------------------|--------------|------------|--------------------|----------------|-----------|-----------|---------------|--------------------------|--------------|
|  |  |            |                 |                     |              |            |                    |                |           | inhibitie | overbelasting | Actief slib beïnvloeding |              |
|  |  | [j-1]      | [kg]            | [m3]                |              |            | [m]                | [s]            | [m3]      |           |               |                          | [m3]         |
| TP-101,14-T-211B,Topping,Ruwe grondstof          | R34[O]->D573[O]->D504[D]->D341[D]->D466[O]->D9[D]->D698[D]->W77          | 1,750E-8   | 2,068E+6        |                     | 9,574E-1     | 5,000E+0   | 1,915E+4           | 5,110E+1       | 0,000E+0  |           |               |                          | 2,298E+9     |
| TP-101,14-T-211B,Topping,Ruwe grondstof          | R34[O]->D573[O]->D504[D]->D341[D]->D466[O]->D9[D]->D698[D]->W77          | 1,750E-8   | 2,068E+6        | 3,663E+5            | 1,053E-1     | 4,310E+0   |                    | 5,110E+1       | 0,000E+0  |           |               |                          | 2,298E+9     |
| TP-101,14-T-211B,Topping,Ruwe grondstof          | R34[O]->D573[O]->D504[D]->D341[D]->D466[O]->D9[D]->D698[O]->D704[O]->W77 | 1,575E-7   | 1,708E+6        |                     | 7,908E-1     | 5,000E+0   | 1,582E+4           | 4,221E+1       | 0,000E+0  |           |               |                          | 1,898E+9     |
| TP-101,14-T-211B,Topping,Ruwe grondstof          | R34[O]->D573[O]->D504[D]->D341[D]->D466[O]->D9[D]->D698[O]->D704[O]->W77 | 1,575E-7   | 1,708E+6        | 3,025E+5            | 8,693E-2     | 4,310E+0   |                    | 4,221E+1       | 0,000E+0  |           |               |                          | 1,898E+9     |
| TP-101,14-T-211B,Topping,Ruwe grondstof          | R34[O]->D573[O]->D504[D]->D341[D]->D466[O]->D9[D]->D698[D]->W77          | 7,500E-9   | 2,067E+6        |                     | 9,568E-1     | 5,000E+0   | 1,914E+4           | 5,110E+1       | 0,000E+0  |           |               |                          | 2,296E+9     |
| TP-101,14-T-211B,Topping,Ruwe grondstof          | R34[O]->D573[O]->D504[D]->D341[D]->D466[O]->D9[D]->D698[D]->W77          | 7,500E-9   | 2,067E+6        | 3,660E+5            | 1,052E-1     | 4,310E+0   |                    | 5,110E+1       | 0,000E+0  |           |               |                          | 2,296E+9     |
| TP-101,14-T-211B,Topping,Ruwe grondstof          | R34[O]->D573[O]->D504[D]->D341[D]->D466[O]->D9[D]->D698[O]->D704[O]->W77 | 6,750E-8   | 1,707E+6        |                     | 7,901E-1     | 5,000E+0   | 1,580E+4           | 4,220E+1       | 0,000E+0  |           |               |                          | 1,896E+9     |
| TP-101,14-T-211B,Topping,Ruwe grondstof          | R34[O]->D573[O]->D504[D]->D341[D]->D466[O]->D9[D]->D698[O]->D704[O]->W77 | 6,750E-8   | 1,707E+6        | 3,023E+5            | 8,685E-2     | 4,310E+0   |                    | 4,220E+1       | 0,000E+0  |           |               |                          | 1,896E+9     |
| TP-101,14-T-211A,Instantaan falen,Ruwe grondstof | R34[D]->D341[D]->D466[O]->D9[D]->D698[D]->W77                            | 3,500E-8   | 1,053E+6        |                     | 4,876E-1     | 5,000E+0   | 9,751E+3           | 4,471E+1       | 0,000E+0  |           |               |                          | 1,170E+9     |
| TP-101,14-T-211A,Instantaan falen,Ruwe grondstof | R34[D]->D341[D]->D466[O]->D9[D]->D698[D]->W77                            | 3,500E-8   | 1,053E+6        | 1,865E+5            | 5,360E-2     | 4,310E+0   |                    | 4,471E+1       | 0,000E+0  |           |               |                          | 1,170E+9     |
| TP-101,14-T-211A,Instantaan falen,Ruwe grondstof | R34[D]->D341[D]->D466[O]->D9[D]->D698[O]->D704[O]->W77                   | 3,150E-7   | 6,931E+5        |                     | 3,209E-1     | 5,000E+0   | 6,418E+3           | 2,943E+1       | 0,000E+0  |           |               |                          | 7,702E+8     |
| TP-101,14-T-211A,Instantaan falen,Ruwe grondstof | R34[D]->D341[D]->D466[O]->D9[D]->D698[O]->D704[O]->W77                   | 3,150E-7   | 6,931E+5        | 1,228E+5            | 3,528E-2     | 4,310E+0   |                    | 2,943E+1       | 0,000E+0  |           |               |                          | 7,702E+8     |
| TP-101,14-T-211A,Instantaan falen,Ruwe grondstof | R34[D]->D341[D]->D466[O]->D9[D]->D698[D]->W77                            | 1,500E-8   | 1,052E+6        |                     | 4,869E-1     | 5,000E+0   | 9,738E+3           | 4,470E+1       | 0,000E+0  |           |               |                          | 1,169E+9     |
| TP-101,14-T-211A,Instantaan falen,Ruwe grondstof | R34[D]->D341[D]->D466[O]->D9[D]->D698[O]->D704[O]->W77                   | 1,350E-7   | 6,917E+5        |                     | 3,202E-1     | 5,000E+0   | 6,405E+3           | 2,940E+1       | 0,000E+0  |           |               |                          | 7,686E+8     |
| TP-101,14-T-211A,Instantaan falen,Ruwe grondstof | R34[D]->D341[D]->D466[O]->D9[D]->D698[O]->D704[O]->W77                   | 1,350E-7   | 6,917E+5        | 1,225E+5            | 3,520E-2     | 4,310E+0   |                    | 2,940E+1       | 0,000E+0  |           |               |                          | 7,686E+8     |
| TP-101,14-T-211A,Continu falen,Ruwe grondstof    | R34[D]->D341[D]->D466[O]->D9[D]->D698[D]->W77                            | 3,500E-8   | 1,561E+6        |                     | 7,225E-1     | 5,000E+0   | 2,782E+3           | 1,019E+4       | 0,000E+0  |           |               |                          | 1,734E+9     |
| TP-101,14-T-211A,Continu falen,Ruwe grondstof    | R34[D]->D341[D]->D466[O]->D9[D]->D698[O]->D704[O]->W77                   | 3,150E-7   | 1,201E+6        |                     | 5,558E-1     | 5,000E+0   | 2,782E+3           | 7,837E+3       | 0,000E+0  |           |               |                          | 1,334E+9     |
| TP-101,14-T-211A,Continu falen,Ruwe grondstof    | R34[D]->D341[D]->D466[O]->D9[D]->D698[D]->W77                            | 1,500E-8   | 1,265E+6        |                     | 5,854E-1     | 5,000E+0   | 2,327E+3           | 9,866E+3       | 0,000E+0  |           |               |                          | 1,405E+9     |
| TP-101,14-T-211A,Continu falen,Ruwe grondstof    | R34[D]->D341[D]->D466[O]->D9[D]->D698[O]->D704[O]->W77                   | 1,350E-7   | 9,045E+5        |                     | 4,188E-1     | 5,000E+0   | 2,327E+3           | 7,057E+3       | 0,000E+0  |           |               |                          | 1,005E+9     |
| TP-101,14-T-211A,Topping,Ruwe grondstof          | R34[O]->D573[D]->D341[D]->D466[O]->D9[D]->D698[D]->W77                   | 1,750E-7   | 2,068E+6        |                     | 9,574E-1     | 5,000E+0   | 1,915E+4           | 5,110E+1       | 0,000E+0  |           |               |                          | 2,298E+9     |

| Group                                   | Afstroomroute  | Frequentie | Massa uitstroom | Volume contaminatie | MSI Factored | Weegfactor | Oever Contaminatie | Uitstroom tijd | Bluswater | RWZI      |               |                          | LC50 gewogen |
|---|--|------------|-----------------|---------------------|--------------|------------|--------------------|----------------|-----------|-----------|---------------|--------------------------|--------------|
|   |  |            |                 |                     |              |            |                    |                |           | inhibitie | overbelasting | Actief slib beïnvloeding |              |
|   |  | [j-1]      | [kg]            | [m3]                |              |            | [m]                | [s]            | [m3]      |           |               |                          | [m3]         |
| TP-101,14-T-211A,Topping,Ruwe grondstof | R34[O]->D573[D]->D341[D]->D466[O]->D9[D]->D698[D]->W77                   | 1,750E-7   | 2,068E+6        | 3,663E+5            | 1,053E-1     | 4,310E+0   |                    | 5,110E+1       | 0,000E+0  |           |               |                          | 2,298E+9     |
| TP-101,14-T-211A,Topping,Ruwe grondstof | R34[O]->D573[D]->D341[D]->D466[O]->D9[D]->D698[O]->D704[O]->W77          | 1,575E-6   | 1,708E+6        |                     | 7,908E-1     | 5,000E+0   | 1,582E+4           | 4,221E+1       | 0,000E+0  |           |               |                          | 1,898E+9     |
| TP-101,14-T-211A,Topping,Ruwe grondstof | R34[O]->D573[D]->D341[D]->D466[O]->D9[D]->D698[O]->D704[O]->W77          | 1,575E-6   | 1,708E+6        | 3,025E+5            | 8,693E-2     | 4,310E+0   |                    | 4,221E+1       | 0,000E+0  |           |               |                          | 1,898E+9     |
| TP-101,14-T-211A,Topping,Ruwe grondstof | R34[O]->D573[D]->D341[D]->D466[O]->D9[D]->D698[D]->W77                   | 7,500E-8   | 2,067E+6        |                     | 9,568E-1     | 5,000E+0   | 1,914E+4           | 5,110E+1       | 0,000E+0  |           |               |                          | 2,296E+9     |
| TP-101,14-T-211A,Topping,Ruwe grondstof | R34[O]->D573[D]->D341[D]->D466[O]->D9[D]->D698[D]->W77                   | 7,500E-8   | 2,067E+6        | 3,660E+5            | 1,052E-1     | 4,310E+0   |                    | 5,110E+1       | 0,000E+0  |           |               |                          | 2,296E+9     |
| TP-101,14-T-211A,Topping,Ruwe grondstof | R34[O]->D573[D]->D341[D]->D466[O]->D9[D]->D698[O]->D704[O]->W77          | 6,750E-7   | 1,707E+6        |                     | 7,901E-1     | 5,000E+0   | 1,580E+4           | 4,220E+1       | 0,000E+0  |           |               |                          | 1,896E+9     |
| TP-101,14-T-211A,Topping,Ruwe grondstof | R34[O]->D573[D]->D341[D]->D466[O]->D9[D]->D698[O]->D704[O]->W77          | 6,750E-7   | 1,707E+6        | 3,023E+5            | 8,685E-2     | 4,310E+0   |                    | 4,220E+1       | 0,000E+0  |           |               |                          | 1,896E+9     |
| TP-101,14-T-211A,Topping,Ruwe grondstof | R34[O]->D573[O]->D504[D]->D341[D]->D466[O]->D9[D]->D698[D]->W77          | 1,750E-8   | 2,068E+6        |                     | 9,574E-1     | 5,000E+0   | 1,915E+4           | 5,110E+1       | 0,000E+0  |           |               |                          | 2,298E+9     |
| TP-101,14-T-211A,Topping,Ruwe grondstof | R34[O]->D573[O]->D504[D]->D341[D]->D466[O]->D9[D]->D698[D]->W77          | 1,750E-8   | 2,068E+6        | 3,663E+5            | 1,053E-1     | 4,310E+0   |                    | 5,110E+1       | 0,000E+0  |           |               |                          | 2,298E+9     |
| TP-101,14-T-211A,Topping,Ruwe grondstof | R34[O]->D573[O]->D504[D]->D341[D]->D466[O]->D9[D]->D698[O]->D704[O]->W77 | 1,575E-7   | 1,708E+6        |                     | 7,908E-1     | 5,000E+0   | 1,582E+4           | 4,221E+1       | 0,000E+0  |           |               |                          | 1,898E+9     |
| TP-101,14-T-211A,Topping,Ruwe grondstof | R34[O]->D573[O]->D504[D]->D341[D]->D466[O]->D9[D]->D698[O]->D704[O]->W77 | 1,575E-7   | 1,708E+6        | 3,025E+5            | 8,693E-2     | 4,310E+0   |                    | 4,221E+1       | 0,000E+0  |           |               |                          | 1,898E+9     |
| TP-101,14-T-211A,Topping,Ruwe grondstof | R34[O]->D573[O]->D504[D]->D341[D]->D466[O]->D9[D]->D698[D]->W77          | 7,500E-9   | 2,067E+6        |                     | 9,568E-1     | 5,000E+0   | 1,914E+4           | 5,110E+1       | 0,000E+0  |           |               |                          | 2,296E+9     |
| TP-101,14-T-211A,Topping,Ruwe grondstof | R34[O]->D573[O]->D504[D]->D341[D]->D466[O]->D9[D]->D698[D]->W77          | 7,500E-9   | 2,067E+6        | 3,660E+5            | 1,052E-1     | 4,310E+0   |                    | 5,110E+1       | 0,000E+0  |           |               |                          | 2,296E+9     |
| TP-101,14-T-211A,Topping,Ruwe grondstof | R34[O]->D573[O]->D504[D]->D341[D]->D466[O]->D9[D]->D698[O]->D704[O]->W77 | 6,750E-8   | 1,707E+6        |                     | 7,901E-1     | 5,000E+0   | 1,580E+4           | 4,220E+1       | 0,000E+0  |           |               |                          | 1,896E+9     |
| TP-101,14-T-211A,Topping,Ruwe grondstof | R34[O]->D573[O]->D504[D]->D341[D]->D466[O]->D9[D]->D698[O]->D704[O]->W77 | 6,750E-8   | 1,707E+6        | 3,023E+5            | 8,685E-2     | 4,310E+0   |                    | 4,220E+1       | 0,000E+0  |           |               |                          | 1,896E+9     |
| TP-108,14-T-621,Kleine brand,Bio-nafta  | R38[D]->D341[D]->D466[O]->D9[D]->D698[D]->W77                            | 3,500E-10  | 3,030E+5        |                     | 1,871E-1     | 5,000E+0   | 3,741E+3           | 5,193E+2       | 8,490E+2  |           |               |                          | 3,367E+8     |
| TP-108,14-T-621,Kleine brand,Bio-nafta  | R38[D]->D341[D]->D466[O]->D9[D]->D698[D]->W77                            | 3,500E-10  | 3,030E+5        | 4,546E+7            | 1,306E+1     | 4,310E+0   |                    | 5,193E+2       | 8,490E+2  |           |               |                          | 3,367E+8     |

| Group                                  | Afstroomroute  | Frequentie | Massa uitstroom | Volume contaminatie | MSI Factored | Weegfactor | Oever Contaminatie | Uitstroom tijd | Bluswater | RWZI      |               |                          | LC50 gewogen |
|--|--|------------|-----------------|---------------------|--------------|------------|--------------------|----------------|-----------|-----------|---------------|--------------------------|--------------|
|  |  | [j-1]      | [kg]            | [m3]                |              |            | [m]                | [s]            | [m3]      | inhibitie | overbelasting | Actief slib beïnvloeding | [m3]         |
| TP-108,14-T-621,Kleine brand,Bio-nafta | R38[D]->D341[D]->D466[O]->D9[D]->D698[O]->D704[O]->W77 | 3,150E-9   | 3,304E+4        | 4,957E+6            | 1,424E+0     | 4,310E+0   |                    | 5,662E+1       | 8,490E+2  |           |               |                          | 3,671E+7     |
| TP-108,14-T-621,Kleine brand,Bio-nafta | R38[D]->D341[D]->D466[O]->D9[D]->D698[D]->W77          | 1,500E-10  | 2,872E+5        |                     | 1,773E-1     | 5,000E+0   | 3,546E+3           | 5,085E+2       | 8,490E+2  |           |               |                          | 3,191E+8     |
| TP-108,14-T-621,Kleine brand,Bio-nafta | R38[D]->D341[D]->D466[O]->D9[D]->D698[D]->W77          | 1,500E-10  | 2,872E+5        | 4,308E+7            | 1,238E+1     | 4,310E+0   |                    | 5,085E+2       | 8,490E+2  |           |               |                          | 3,191E+8     |
| TP-108,14-T-621,Kleine brand,Bio-nafta | R38[D]->D341[D]->D466[O]->D9[D]->D698[O]->D704[O]->W77 | 1,350E-9   | 1,720E+4        | 2,580E+6            | 7,415E-1     | 4,310E+0   |                    | 3,046E+1       | 8,490E+2  |           |               |                          | 1,911E+7     |
| TP-108,14-T-601C,Kleine brand,DLB      | R38[D]->D341[D]->D466[O]->D9[D]->D698[D]->W77          | 3,500E-10  | 2,011E+6        |                     | 1,088E+0     | 5,000E+0   | 1,253E+4           | 3,021E+3       | 3,012E+3  |           |               |                          | 2,235E+8     |
| TP-108,14-T-601C,Kleine brand,DLB      | R38[D]->D341[D]->D466[O]->D9[D]->D698[D]->W77          | 3,500E-10  | 2,011E+6        | 3,017E+8            | 8,670E+1     | 4,310E+0   |                    | 3,021E+3       | 3,012E+3  |           |               |                          | 2,235E+8     |
| TP-108,14-T-601C,Kleine brand,DLB      | R38[D]->D341[D]->D466[O]->D9[D]->D698[O]->D704[O]->W77 | 3,150E-9   | 1,703E+6        |                     | 9,217E-1     | 5,000E+0   | 1,253E+4           | 2,559E+3       | 3,012E+3  |           |               |                          | 1,893E+8     |
| TP-108,14-T-601C,Kleine brand,DLB      | R38[D]->D341[D]->D466[O]->D9[D]->D698[O]->D704[O]->W77 | 3,150E-9   | 1,703E+6        | 2,555E+8            | 7,342E+1     | 4,310E+0   |                    | 2,559E+3       | 3,012E+3  |           |               |                          | 1,893E+8     |
| TP-108,14-T-601C,Kleine brand,DLB      | R38[D]->D341[D]->D466[O]->D9[D]->D698[D]->W77          | 1,500E-10  | 1,940E+6        |                     | 1,050E+0     | 5,000E+0   | 1,213E+4           | 3,011E+3       | 3,012E+3  |           |               |                          | 2,155E+8     |
| TP-108,14-T-601C,Kleine brand,DLB      | R38[D]->D341[D]->D466[O]->D9[D]->D698[D]->W77          | 1,500E-10  | 1,940E+6        | 2,910E+8            | 8,361E+1     | 4,310E+0   |                    | 3,011E+3       | 3,012E+3  |           |               |                          | 2,155E+8     |
| TP-108,14-T-601C,Kleine brand,DLB      | R38[D]->D341[D]->D466[O]->D9[D]->D698[O]->D704[O]->W77 | 1,350E-9   | 1,632E+6        |                     | 8,830E-1     | 5,000E+0   | 1,213E+4           | 2,533E+3       | 3,012E+3  |           |               |                          | 1,813E+8     |
| TP-108,14-T-601C,Kleine brand,DLB      | R38[D]->D341[D]->D466[O]->D9[D]->D698[O]->D704[O]->W77 | 1,350E-9   | 1,632E+6        | 2,448E+8            | 7,033E+1     | 4,310E+0   |                    | 2,533E+3       | 3,012E+3  |           |               |                          | 1,813E+8     |
| TP-108,14-T-601C,Kleine brand,DLB      | R38[D]->D341[D]->D466[O]->D9[D]->D698[D]->W77          | 3,500E-10  | 2,850E+6        |                     | 1,542E+0     | 5,000E+0   | 1,253E+4           | 4,281E+3       | 4,101E+3  |           |               |                          | 3,166E+8     |
| TP-108,14-T-601C,Kleine brand,DLB      | R38[D]->D341[D]->D466[O]->D9[D]->D698[D]->W77          | 3,500E-10  | 2,850E+6        | 4,275E+8            | 1,228E+2     | 4,310E+0   |                    | 4,281E+3       | 4,101E+3  |           |               |                          | 3,166E+8     |
| TP-108,14-T-601C,Kleine brand,DLB      | R38[D]->D341[D]->D466[O]->D9[D]->D698[O]->D704[O]->W77 | 3,150E-9   | 2,542E+6        |                     | 1,375E+0     | 5,000E+0   | 1,253E+4           | 3,818E+3       | 4,101E+3  |           |               |                          | 2,824E+8     |
| TP-108,14-T-601C,Kleine brand,DLB      | R38[D]->D341[D]->D466[O]->D9[D]->D698[O]->D704[O]->W77 | 3,150E-9   | 2,542E+6        | 3,813E+8            | 1,096E+2     | 4,310E+0   |                    | 3,818E+3       | 4,101E+3  |           |               |                          | 2,824E+8     |
| TP-108,14-T-601C,Kleine brand,DLB      | R38[D]->D341[D]->D466[O]->D9[D]->D698[D]->W77          | 1,500E-10  | 2,751E+6        |                     | 1,489E+0     | 5,000E+0   | 1,213E+4           | 4,270E+3       | 4,101E+3  |           |               |                          | 3,057E+8     |
| TP-108,14-T-601C,Kleine brand,DLB      | R38[D]->D341[D]->D466[O]->D9[D]->D698[D]->W77          | 1,500E-10  | 2,751E+6        | 4,127E+8            | 1,186E+2     | 4,310E+0   |                    | 4,270E+3       | 4,101E+3  |           |               |                          | 3,057E+8     |
| TP-108,14-T-601C,Kleine brand,DLB      | R38[D]->D341[D]->D466[O]->D9[D]->D698[O]->D704[O]->W77 | 1,350E-9   | 2,443E+6        |                     | 1,322E+0     | 5,000E+0   | 1,213E+4           | 3,792E+3       | 4,101E+3  |           |               |                          | 2,715E+8     |
| TP-108,14-T-601C,Kleine brand,DLB      | R38[D]->D341[D]->D466[O]->D9[D]->D698[O]->D704[O]->W77 | 1,350E-9   | 2,443E+6        | 3,665E+8            | 1,053E+2     | 4,310E+0   |                    | 3,792E+3       | 4,101E+3  |           |               |                          | 2,715E+8     |
| TP-108,14-T-601B,Kleine brand,DLB      | R38[D]->D341[D]->D466[O]->D9[D]->D698[D]->W77          | 3,500E-10  | 2,011E+6        |                     | 1,088E+0     | 5,000E+0   | 1,253E+4           | 3,021E+3       | 3,012E+3  |           |               |                          | 2,235E+8     |
| TP-108,14-T-601B,Kleine brand,DLB      | R38[D]->D341[D]->D466[O]->D9[D]->D698[D]->W77          | 3,500E-10  | 2,011E+6        | 3,017E+8            | 8,670E+1     | 4,310E+0   |                    | 3,021E+3       | 3,012E+3  |           |               |                          | 2,235E+8     |
| TP-108,14-T-601B,Kleine brand,DLB      | R38[D]->D341[D]->D466[O]->D9[D]->D698[O]->D704[O]->W77 | 3,150E-9   | 1,703E+6        |                     | 9,217E-1     | 5,000E+0   | 1,253E+4           | 2,559E+3       | 3,012E+3  |           |               |                          | 1,893E+8     |

| Group                             | Afstroomroute  | Frequentie | Massa uitstroom | Volume contaminatie | MSI Factored | Weegfactor | Oever Contaminatie | Uitstroom tijd | Bluswater | RWZI      |               |                          | LC50 gewogen |
|-----------------------------------|--|------------|-----------------|---------------------|--------------|------------|--------------------|----------------|-----------|-----------|---------------|--------------------------|--------------|
|                                   |  |            |                 |                     |              |            |                    |                |           | inhibitie | overbelasting | Actief slib beïnvloeding |              |
|                                   |  | [j-1]      | [kg]            | [m3]                |              |            | [m]                | [s]            | [m3]      |           |               |                          | [m3]         |
| TP-108,14-T-601B,Kleine brand,DLB | R38[D]->D341[D]->D466[O]->D9[D]->D698[O]->D704[O]->W77 | 3,150E-9   | 1,703E+6        | 2,555E+8            | 7,342E+1     | 4,310E+0   |                    | 2,559E+3       | 3,012E+3  |           |               |                          | 1,893E+8     |
| TP-108,14-T-601B,Kleine brand,DLB | R38[D]->D341[D]->D466[O]->D9[D]->D698[D]->W77          | 1,500E-10  | 1,940E+6        |                     | 1,050E+0     | 5,000E+0   | 1,213E+4           | 3,011E+3       | 3,012E+3  |           |               |                          | 2,155E+8     |
| TP-108,14-T-601B,Kleine brand,DLB | R38[D]->D341[D]->D466[O]->D9[D]->D698[D]->W77          | 1,500E-10  | 1,940E+6        | 2,910E+8            | 8,361E+1     | 4,310E+0   |                    | 3,011E+3       | 3,012E+3  |           |               |                          | 2,155E+8     |
| TP-108,14-T-601B,Kleine brand,DLB | R38[D]->D341[D]->D466[O]->D9[D]->D698[O]->D704[O]->W77 | 1,350E-9   | 1,632E+6        |                     | 8,830E-1     | 5,000E+0   | 1,213E+4           | 2,533E+3       | 3,012E+3  |           |               |                          | 1,813E+8     |
| TP-108,14-T-601B,Kleine brand,DLB | R38[D]->D341[D]->D466[O]->D9[D]->D698[O]->D704[O]->W77 | 1,350E-9   | 1,632E+6        | 2,448E+8            | 7,033E+1     | 4,310E+0   |                    | 2,533E+3       | 3,012E+3  |           |               |                          | 1,813E+8     |
| TP-108,14-T-601B,Kleine brand,DLB | R38[D]->D341[D]->D466[O]->D9[D]->D698[D]->W77          | 3,500E-10  | 2,850E+6        |                     | 1,542E+0     | 5,000E+0   | 1,253E+4           | 4,281E+3       | 4,101E+3  |           |               |                          | 3,166E+8     |
| TP-108,14-T-601B,Kleine brand,DLB | R38[D]->D341[D]->D466[O]->D9[D]->D698[D]->W77          | 3,500E-10  | 2,850E+6        | 4,275E+8            | 1,228E+2     | 4,310E+0   |                    | 4,281E+3       | 4,101E+3  |           |               |                          | 3,166E+8     |
| TP-108,14-T-601B,Kleine brand,DLB | R38[D]->D341[D]->D466[O]->D9[D]->D698[O]->D704[O]->W77 | 3,150E-9   | 2,542E+6        |                     | 1,375E+0     | 5,000E+0   | 1,253E+4           | 3,818E+3       | 4,101E+3  |           |               |                          | 2,824E+8     |
| TP-108,14-T-601B,Kleine brand,DLB | R38[D]->D341[D]->D466[O]->D9[D]->D698[O]->D704[O]->W77 | 3,150E-9   | 2,542E+6        | 3,813E+8            | 1,096E+2     | 4,310E+0   |                    | 3,818E+3       | 4,101E+3  |           |               |                          | 2,824E+8     |
| TP-108,14-T-601B,Kleine brand,DLB | R38[D]->D341[D]->D466[O]->D9[D]->D698[D]->W77          | 1,500E-10  | 2,751E+6        |                     | 1,489E+0     | 5,000E+0   | 1,213E+4           | 4,270E+3       | 4,101E+3  |           |               |                          | 3,057E+8     |
| TP-108,14-T-601B,Kleine brand,DLB | R38[D]->D341[D]->D466[O]->D9[D]->D698[D]->W77          | 1,500E-10  | 2,751E+6        | 4,127E+8            | 1,186E+2     | 4,310E+0   |                    | 4,270E+3       | 4,101E+3  |           |               |                          | 3,057E+8     |
| TP-108,14-T-601B,Kleine brand,DLB | R38[D]->D341[D]->D466[O]->D9[D]->D698[O]->D704[O]->W77 | 1,350E-9   | 2,443E+6        |                     | 1,322E+0     | 5,000E+0   | 1,213E+4           | 3,792E+3       | 4,101E+3  |           |               |                          | 2,715E+8     |
| TP-108,14-T-601B,Kleine brand,DLB | R38[D]->D341[D]->D466[O]->D9[D]->D698[O]->D704[O]->W77 | 1,350E-9   | 2,443E+6        | 3,665E+8            | 1,053E+2     | 4,310E+0   |                    | 3,792E+3       | 4,101E+3  |           |               |                          | 2,715E+8     |
| TP-108,14-T-601A,Kleine brand,DLB | R38[D]->D341[D]->D466[O]->D9[D]->D698[D]->W77          | 3,500E-10  | 2,011E+6        |                     | 1,088E+0     | 5,000E+0   | 1,253E+4           | 3,021E+3       | 3,012E+3  |           |               |                          | 2,235E+8     |
| TP-108,14-T-601A,Kleine brand,DLB | R38[D]->D341[D]->D466[O]->D9[D]->D698[D]->W77          | 3,500E-10  | 2,011E+6        | 3,017E+8            | 8,670E+1     | 4,310E+0   |                    | 3,021E+3       | 3,012E+3  |           |               |                          | 2,235E+8     |
| TP-108,14-T-601A,Kleine brand,DLB | R38[D]->D341[D]->D466[O]->D9[D]->D698[O]->D704[O]->W77 | 3,150E-9   | 1,703E+6        |                     | 9,217E-1     | 5,000E+0   | 1,253E+4           | 2,559E+3       | 3,012E+3  |           |               |                          | 1,893E+8     |
| TP-108,14-T-601A,Kleine brand,DLB | R38[D]->D341[D]->D466[O]->D9[D]->D698[O]->D704[O]->W77 | 3,150E-9   | 1,703E+6        | 2,555E+8            | 7,342E+1     | 4,310E+0   |                    | 2,559E+3       | 3,012E+3  |           |               |                          | 1,893E+8     |
| TP-108,14-T-601A,Kleine brand,DLB | R38[D]->D341[D]->D466[O]->D9[D]->D698[D]->W77          | 1,500E-10  | 1,940E+6        |                     | 1,050E+0     | 5,000E+0   | 1,213E+4           | 3,011E+3       | 3,012E+3  |           |               |                          | 2,155E+8     |
| TP-108,14-T-601A,Kleine brand,DLB | R38[D]->D341[D]->D466[O]->D9[D]->D698[D]->W77          | 1,500E-10  | 1,940E+6        | 2,910E+8            | 8,361E+1     | 4,310E+0   |                    | 3,011E+3       | 3,012E+3  |           |               |                          | 2,155E+8     |
| TP-108,14-T-601A,Kleine brand,DLB | R38[D]->D341[D]->D466[O]->D9[D]->D698[O]->D704[O]->W77 | 1,350E-9   | 1,632E+6        |                     | 8,830E-1     | 5,000E+0   | 1,213E+4           | 2,533E+3       | 3,012E+3  |           |               |                          | 1,813E+8     |
| TP-108,14-T-601A,Kleine brand,DLB | R38[D]->D341[D]->D466[O]->D9[D]->D698[O]->D704[O]->W77 | 1,350E-9   | 1,632E+6        | 2,448E+8            | 7,033E+1     | 4,310E+0   |                    | 2,533E+3       | 3,012E+3  |           |               |                          | 1,813E+8     |
| TP-108,14-T-601A,Kleine brand,DLB | R38[D]->D341[D]->D466[O]->D9[D]->D698[D]->W77          | 3,500E-10  | 2,850E+6        |                     | 1,542E+0     | 5,000E+0   | 1,253E+4           | 4,281E+3       | 4,101E+3  |           |               |                          | 3,166E+8     |
| TP-108,14-T-601A,Kleine brand,DLB | R38[D]->D341[D]->D466[O]->D9[D]->D698[D]->W77          | 3,500E-10  | 2,850E+6        | 4,275E+8            | 1,228E+2     | 4,310E+0   |                    | 4,281E+3       | 4,101E+3  |           |               |                          | 3,166E+8     |

| Group                                 | Afstroomroute   | Frequentie | Massa uitstroom | Volume contaminatie | MSI Factored | Weegfactor | Oever Contaminatie | Uitstroom tijd | Bluswater | RWZI      |               |                          | LC50 gewogen |
|---------------------------------------|---|------------|-----------------|---------------------|--------------|------------|--------------------|----------------|-----------|-----------|---------------|--------------------------|--------------|
|                                       |   |            |                 |                     |              |            |                    |                |           | inhibitie | overbelasting | Actief slib beïnvloeding |              |
|                                       |   | [j-1]      | [kg]            | [m3]                |              |            | [m]                | [s]            | [m3]      |           |               |                          | [m3]         |
| TP-108,14-T-601A,Kleine brand,DLB     | R38[D]->D341[D]->D466[O]->D9[D]->D698[O]->D704[O]->W77          | 3,150E-9   | 2,542E+6        |                     | 1,375E+0     | 5,000E+0   | 1,253E+4           | 3,818E+3       | 4,101E+3  |           |               |                          | 2,824E+8     |
| TP-108,14-T-601A,Kleine brand,DLB     | R38[D]->D341[D]->D466[O]->D9[D]->D698[O]->D704[O]->W77          | 3,150E-9   | 2,542E+6        | 3,813E+8            | 1,096E+2     | 4,310E+0   |                    | 3,818E+3       | 4,101E+3  |           |               |                          | 2,824E+8     |
| TP-108,14-T-601A,Kleine brand,DLB     | R38[D]->D341[D]->D466[O]->D9[D]->D698[D]->W77                   | 1,500E-10  | 2,751E+6        |                     | 1,489E+0     | 5,000E+0   | 1,213E+4           | 4,270E+3       | 4,101E+3  |           |               |                          | 3,057E+8     |
| TP-108,14-T-601A,Kleine brand,DLB     | R38[D]->D341[D]->D466[O]->D9[D]->D698[D]->W77                   | 1,500E-10  | 2,751E+6        | 4,127E+8            | 1,186E+2     | 4,310E+0   |                    | 4,270E+3       | 4,101E+3  |           |               |                          | 3,057E+8     |
| TP-108,14-T-601A,Kleine brand,DLB     | R38[D]->D341[D]->D466[O]->D9[D]->D698[O]->D704[O]->W77          | 1,350E-9   | 2,443E+6        |                     | 1,322E+0     | 5,000E+0   | 1,213E+4           | 3,792E+3       | 4,101E+3  |           |               |                          | 2,715E+8     |
| TP-108,14-T-601A,Kleine brand,DLB     | R38[D]->D341[D]->D466[O]->D9[D]->D698[O]->D704[O]->W77          | 1,350E-9   | 2,443E+6        | 3,665E+8            | 1,053E+2     | 4,310E+0   |                    | 3,792E+3       | 4,101E+3  |           |               |                          | 2,715E+8     |
| TP-108,14-T-621,Topping,Bio-nafta     | R38[O]->D547[D]->D341[D]->D466[O]->D9[D]->D698[D]->W77          | 1,750E-7   | 1,474E+5        |                     | 9,096E-2     | 5,000E+0   | 1,819E+3           | 2,118E+1       | 0,000E+0  |           |               |                          | 1,637E+8     |
| TP-108,14-T-621,Topping,Bio-nafta     | R38[O]->D547[D]->D341[D]->D466[O]->D9[D]->D698[D]->W77          | 7,500E-8   | 1,464E+5        |                     | 9,039E-2     | 5,000E+0   | 1,808E+3           | 2,111E+1       | 0,000E+0  |           |               |                          | 1,627E+8     |
| TP-108,14-T-621,Topping,Bio-nafta     | R38[O]->D547[O]->D332[D]->D341[D]->D466[O]->D9[D]->D698[D]->W77 | 1,750E-8   | 1,474E+5        |                     | 9,096E-2     | 5,000E+0   | 1,819E+3           | 2,118E+1       | 0,000E+0  |           |               |                          | 1,637E+8     |
| TP-108,14-T-601C,Instantaan falen,DLB | R38[D]->D341[D]->D466[O]->D9[D]->D698[D]->W77                   | 3,465E-8   | 8,791E+5        |                     | 4,757E-1     | 5,000E+0   | 9,514E+3           | 4,443E+1       | 0,000E+0  |           |               |                          | 9,768E+7     |
| TP-108,14-T-601C,Instantaan falen,DLB | R38[D]->D341[D]->D466[O]->D9[D]->D698[O]->D704[O]->W77          | 3,119E-7   | 5,711E+5        |                     | 3,090E-1     | 5,000E+0   | 6,181E+3           | 2,887E+1       | 0,000E+0  |           |               |                          | 6,346E+7     |
| TP-108,14-T-601C,Instantaan falen,DLB | R38[D]->D341[D]->D466[O]->D9[D]->D698[D]->W77                   | 1,485E-8   | 8,779E+5        |                     | 4,751E-1     | 5,000E+0   | 9,501E+3           | 4,442E+1       | 0,000E+0  |           |               |                          | 9,754E+7     |
| TP-108,14-T-601C,Instantaan falen,DLB | R38[D]->D341[D]->D466[O]->D9[D]->D698[O]->D704[O]->W77          | 1,337E-7   | 5,699E+5        |                     | 3,084E-1     | 5,000E+0   | 6,168E+3           | 2,884E+1       | 0,000E+0  |           |               |                          | 6,332E+7     |
| TP-108,14-T-601C,Continu falen,DLB    | R38[D]->D341[D]->D466[O]->D9[D]->D698[D]->W77                   | 3,465E-8   | 1,308E+6        |                     | 7,079E-1     | 5,000E+0   | 1,100E+3           | 2,239E+4       | 0,000E+0  |           |               |                          | 1,454E+8     |
| TP-108,14-T-601C,Continu falen,DLB    | R38[D]->D341[D]->D466[O]->D9[D]->D698[O]->D704[O]->W77          | 3,119E-7   | 1,000E+6        |                     | 5,413E-1     | 5,000E+0   | 1,100E+3           | 1,712E+4       | 0,000E+0  |           |               |                          | 1,111E+8     |
| TP-108,14-T-601C,Continu falen,DLB    | R38[D]->D341[D]->D466[O]->D9[D]->D698[D]->W77                   | 1,485E-8   | 7,499E+5        |                     | 4,058E-1     | 5,000E+0   | 6,968E+2           | 2,026E+4       | 0,000E+0  |           |               |                          | 8,333E+7     |
| TP-108,14-T-601C,Continu falen,DLB    | R38[D]->D341[D]->D466[O]->D9[D]->D698[O]->D704[O]->W77          | 1,337E-7   | 4,419E+5        |                     | 2,391E-1     | 5,000E+0   | 6,968E+2           | 1,194E+4       | 0,000E+0  |           |               |                          | 4,911E+7     |
| TP-108,14-T-601C,Continu falen,DLB    | R38[D]->D341[D]->D466[D]->D473[O]->D9[D]->D698[D]->W77          | 1,040E-8   | 4,043E+5        |                     | 2,188E-1     | 5,000E+0   | 4,029E+2           | 1,889E+4       | 0,000E+0  |           |               |                          | 4,492E+7     |
| TP-108,14-T-601C,Continu falen,DLB    | R38[D]->D341[D]->D466[D]->D473[O]->D9[D]->D698[O]->D704[O]->W77 | 9,356E-8   | 9,630E+4        |                     | 5,211E-2     | 5,000E+0   | 4,029E+2           | 4,499E+3       | 0,000E+0  |           |               |                          | 1,070E+7     |
| TP-108,14-T-601C,Topping,DLB          | R38[O]->D547[D]->D341[D]->D466[O]->D9[D]->D698[D]->W77          | 1,750E-7   | 1,737E+6        |                     | 9,401E-1     | 5,000E+0   | 1,880E+4           | 5,097E+1       | 0,000E+0  |           |               |                          | 1,930E+8     |

| Group                                 | Afstroomroute  | Frequentie | Massa uitstroom | Volume contaminatie | MSI Factored | Weegfactor | Oever Contaminatie | Uitstroom tijd | Bluswater | RWZI      |               |                          | LC50 gewogen |
|---------------------------------------|--|------------|-----------------|---------------------|--------------|------------|--------------------|----------------|-----------|-----------|---------------|--------------------------|--------------|
|                                       |  |            |                 |                     |              |            |                    |                |           | inhibitie | overbelasting | Actief slib beïnvloeding |              |
|                                       |  | [j-1]      | [kg]            | [m3]                |              |            | [m]                | [s]            | [m3]      |           |               |                          | [m3]         |
| TP-108,14-T-601C,Topping,DLB          | R38[O]->D547[D]->D341[D]->D466[O]->D9[D]->D698[O]->D704[O]->W77          | 1,575E-6   | 1,429E+6        |                     | 7,735E-1     | 5,000E+0   | 1,547E+4           | 4,193E+1       | 0,000E+0  |           |               |                          | 1,588E+8     |
| TP-108,14-T-601C,Topping,DLB          | R38[O]->D547[D]->D341[D]->D466[O]->D9[D]->D698[O]->D704[O]->W77          | 1,575E-6   | 1,429E+6        | 3,540E+4            | 1,017E-2     | 4,310E+0   |                    | 4,193E+1       | 0,000E+0  |           |               |                          | 1,588E+8     |
| TP-108,14-T-601C,Topping,DLB          | R38[O]->D547[D]->D341[D]->D466[O]->D9[D]->D698[D]->W77                   | 7,500E-8   | 1,736E+6        |                     | 9,395E-1     | 5,000E+0   | 1,879E+4           | 5,096E+1       | 0,000E+0  |           |               |                          | 1,929E+8     |
| TP-108,14-T-601C,Topping,DLB          | R38[O]->D547[D]->D341[D]->D466[O]->D9[D]->D698[O]->D704[O]->W77          | 6,750E-7   | 1,428E+6        |                     | 7,728E-1     | 5,000E+0   | 1,546E+4           | 4,192E+1       | 0,000E+0  |           |               |                          | 1,587E+8     |
| TP-108,14-T-601C,Topping,DLB          | R38[O]->D547[O]->D332[D]->D341[D]->D466[O]->D9[D]->D698[D]->W77          | 1,750E-8   | 1,737E+6        |                     | 9,401E-1     | 5,000E+0   | 1,880E+4           | 5,097E+1       | 0,000E+0  |           |               |                          | 1,930E+8     |
| TP-108,14-T-601C,Topping,DLB          | R38[O]->D547[O]->D332[D]->D341[D]->D466[O]->D9[D]->D698[O]->D704[O]->W77 | 1,575E-7   | 1,429E+6        |                     | 7,735E-1     | 5,000E+0   | 1,547E+4           | 4,193E+1       | 0,000E+0  |           |               |                          | 1,588E+8     |
| TP-108,14-T-601C,Topping,DLB          | R38[O]->D547[O]->D332[D]->D341[D]->D466[O]->D9[D]->D698[D]->W77          | 7,500E-9   | 1,736E+6        |                     | 9,395E-1     | 5,000E+0   | 1,879E+4           | 5,096E+1       | 0,000E+0  |           |               |                          | 1,929E+8     |
| TP-108,14-T-601C,Topping,DLB          | R38[O]->D547[O]->D332[D]->D341[D]->D466[O]->D9[D]->D698[O]->D704[O]->W77 | 6,750E-8   | 1,428E+6        |                     | 7,728E-1     | 5,000E+0   | 1,546E+4           | 4,192E+1       | 0,000E+0  |           |               |                          | 1,587E+8     |
| TP-108,14-T-601B,Instantaan falen,DLB | R38[D]->D341[D]->D466[O]->D9[D]->D698[D]->W77                            | 3,465E-8   | 8,791E+5        |                     | 4,757E-1     | 5,000E+0   | 9,514E+3           | 4,443E+1       | 0,000E+0  |           |               |                          | 9,768E+7     |
| TP-108,14-T-601B,Instantaan falen,DLB | R38[D]->D341[D]->D466[O]->D9[D]->D698[O]->D704[O]->W77                   | 3,119E-7   | 5,711E+5        |                     | 3,090E-1     | 5,000E+0   | 6,181E+3           | 2,887E+1       | 0,000E+0  |           |               |                          | 6,346E+7     |
| TP-108,14-T-601B,Instantaan falen,DLB | R38[D]->D341[D]->D466[O]->D9[D]->D698[D]->W77                            | 1,485E-8   | 8,779E+5        |                     | 4,751E-1     | 5,000E+0   | 9,501E+3           | 4,442E+1       | 0,000E+0  |           |               |                          | 9,754E+7     |
| TP-108,14-T-601B,Instantaan falen,DLB | R38[D]->D341[D]->D466[O]->D9[D]->D698[O]->D704[O]->W77                   | 1,337E-7   | 5,699E+5        |                     | 3,084E-1     | 5,000E+0   | 6,168E+3           | 2,884E+1       | 0,000E+0  |           |               |                          | 6,332E+7     |
| TP-108,14-T-601B,Continu falen,DLB    | R38[D]->D341[D]->D466[O]->D9[D]->D698[D]->W77                            | 3,465E-8   | 1,308E+6        |                     | 7,079E-1     | 5,000E+0   | 9,898E+3           | 2,488E+3       | 0,000E+0  |           |               |                          | 1,454E+8     |
| TP-108,14-T-601B,Continu falen,DLB    | R38[D]->D341[D]->D466[O]->D9[D]->D698[O]->D704[O]->W77                   | 3,119E-7   | 1,000E+6        |                     | 5,413E-1     | 5,000E+0   | 9,898E+3           | 1,902E+3       | 0,000E+0  |           |               |                          | 1,111E+8     |
| TP-108,14-T-601B,Continu falen,DLB    | R38[D]->D341[D]->D466[O]->D9[D]->D698[D]->W77                            | 1,485E-8   | 1,246E+6        |                     | 6,743E-1     | 5,000E+0   | 9,495E+3           | 2,470E+3       | 0,000E+0  |           |               |                          | 1,385E+8     |
| TP-108,14-T-601B,Continu falen,DLB    | R38[D]->D341[D]->D466[O]->D9[D]->D698[O]->D704[O]->W77                   | 1,337E-7   | 9,382E+5        |                     | 5,077E-1     | 5,000E+0   | 9,495E+3           | 1,860E+3       | 0,000E+0  |           |               |                          | 1,042E+8     |
| TP-108,14-T-601B,Topping,DLB          | R38[O]->D547[D]->D341[D]->D466[O]->D9[D]->D698[D]->W77                   | 1,750E-7   | 1,737E+6        |                     | 9,401E-1     | 5,000E+0   | 1,880E+4           | 5,097E+1       | 0,000E+0  |           |               |                          | 1,930E+8     |
| TP-108,14-T-601B,Topping,DLB          | R38[O]->D547[D]->D341[D]->D466[O]->D9[D]->D698[O]->D704[O]->W77          | 1,575E-6   | 1,429E+6        |                     | 7,735E-1     | 5,000E+0   | 1,547E+4           | 4,193E+1       | 0,000E+0  |           |               |                          | 1,588E+8     |
| TP-108,14-T-601B,Topping,DLB          | R38[O]->D547[D]->D341[D]->D466[O]->D9[D]->D698[O]->D704[O]->W77          | 1,575E-6   | 1,429E+6        | 3,540E+4            | 1,017E-2     | 4,310E+0   |                    | 4,193E+1       | 0,000E+0  |           |               |                          | 1,588E+8     |

| Group                                 | Afstroomroute  | Frequentie | Massa uitstroom | Volume contaminatie | MSI Factored | Weegfactor | Oever Contaminatie | Uitstroom tijd | Bluswater | RWZI      |               |                          | LC50 gewogen |
|---------------------------------------|--|------------|-----------------|---------------------|--------------|------------|--------------------|----------------|-----------|-----------|---------------|--------------------------|--------------|
|                                       |  | [j-1]      | [kg]            | [m3]                |              |            | [m]                | [s]            | [m3]      | inhibitie | overbelasting | Actief slib beïnvloeding | [m3]         |
| TP-108,14-T-601B,Topping,DLB          | R38[O]->D547[D]->D341[D]->D466[O]->D9[D]->D698[D]->W77                   | 7,500E-8   | 1,736E+6        |                     | 9,395E-1     | 5,000E+0   | 1,879E+4           | 5,096E+1       | 0,000E+0  |           |               |                          | 1,929E+8     |
| TP-108,14-T-601B,Topping,DLB          | R38[O]->D547[D]->D341[D]->D466[O]->D9[D]->D698[O]->D704[O]->W77          | 6,750E-7   | 1,428E+6        |                     | 7,728E-1     | 5,000E+0   | 1,546E+4           | 4,192E+1       | 0,000E+0  |           |               |                          | 1,587E+8     |
| TP-108,14-T-601B,Topping,DLB          | R38[O]->D547[O]->D332[D]->D341[D]->D466[O]->D9[D]->D698[D]->W77          | 1,750E-8   | 1,737E+6        |                     | 9,401E-1     | 5,000E+0   | 1,880E+4           | 5,097E+1       | 0,000E+0  |           |               |                          | 1,930E+8     |
| TP-108,14-T-601B,Topping,DLB          | R38[O]->D547[O]->D332[D]->D341[D]->D466[O]->D9[D]->D698[O]->D704[O]->W77 | 1,575E-7   | 1,429E+6        |                     | 7,735E-1     | 5,000E+0   | 1,547E+4           | 4,193E+1       | 0,000E+0  |           |               |                          | 1,588E+8     |
| TP-108,14-T-601B,Topping,DLB          | R38[O]->D547[O]->D332[D]->D341[D]->D466[O]->D9[D]->D698[D]->W77          | 7,500E-9   | 1,736E+6        |                     | 9,395E-1     | 5,000E+0   | 1,879E+4           | 5,096E+1       | 0,000E+0  |           |               |                          | 1,929E+8     |
| TP-108,14-T-601B,Topping,DLB          | R38[O]->D547[O]->D332[D]->D341[D]->D466[O]->D9[D]->D698[O]->D704[O]->W77 | 6,750E-8   | 1,428E+6        |                     | 7,728E-1     | 5,000E+0   | 1,546E+4           | 4,192E+1       | 0,000E+0  |           |               |                          | 1,587E+8     |
| TP-108,14-T-601A,Instantaan falen,DLB | R38[D]->D341[D]->D466[O]->D9[D]->D698[D]->W77                            | 3,465E-8   | 8,791E+5        |                     | 4,757E-1     | 5,000E+0   | 9,514E+3           | 4,443E+1       | 0,000E+0  |           |               |                          | 9,768E+7     |
| TP-108,14-T-601A,Instantaan falen,DLB | R38[D]->D341[D]->D466[O]->D9[D]->D698[O]->D704[O]->W77                   | 3,119E-7   | 5,711E+5        |                     | 3,090E-1     | 5,000E+0   | 6,181E+3           | 2,887E+1       | 0,000E+0  |           |               |                          | 6,346E+7     |
| TP-108,14-T-601A,Instantaan falen,DLB | R38[D]->D341[D]->D466[O]->D9[D]->D698[D]->W77                            | 1,485E-8   | 8,779E+5        |                     | 4,751E-1     | 5,000E+0   | 9,501E+3           | 4,442E+1       | 0,000E+0  |           |               |                          | 9,754E+7     |
| TP-108,14-T-601A,Instantaan falen,DLB | R38[D]->D341[D]->D466[O]->D9[D]->D698[O]->D704[O]->W77                   | 1,337E-7   | 5,699E+5        |                     | 3,084E-1     | 5,000E+0   | 6,168E+3           | 2,884E+1       | 0,000E+0  |           |               |                          | 6,332E+7     |
| TP-108,14-T-601A,Continu falen,DLB    | R38[D]->D341[D]->D466[O]->D9[D]->D698[D]->W77                            | 3,465E-8   | 1,308E+6        |                     | 7,079E-1     | 5,000E+0   | 9,898E+3           | 2,488E+3       | 0,000E+0  |           |               |                          | 1,454E+8     |
| TP-108,14-T-601A,Continu falen,DLB    | R38[D]->D341[D]->D466[O]->D9[D]->D698[O]->D704[O]->W77                   | 3,119E-7   | 1,000E+6        |                     | 5,413E-1     | 5,000E+0   | 9,898E+3           | 1,902E+3       | 0,000E+0  |           |               |                          | 1,111E+8     |
| TP-108,14-T-601A,Continu falen,DLB    | R38[D]->D341[D]->D466[O]->D9[D]->D698[D]->W77                            | 1,485E-8   | 1,246E+6        |                     | 6,743E-1     | 5,000E+0   | 9,495E+3           | 2,470E+3       | 0,000E+0  |           |               |                          | 1,385E+8     |
| TP-108,14-T-601A,Continu falen,DLB    | R38[D]->D341[D]->D466[O]->D9[D]->D698[O]->D704[O]->W77                   | 1,337E-7   | 9,382E+5        |                     | 5,077E-1     | 5,000E+0   | 9,495E+3           | 1,860E+3       | 0,000E+0  |           |               |                          | 1,042E+8     |
| TP-108,14-T-601A,Topping,DLB          | R38[O]->D547[D]->D341[D]->D466[O]->D9[D]->D698[D]->W77                   | 1,750E-7   | 1,737E+6        |                     | 9,401E-1     | 5,000E+0   | 1,880E+4           | 5,097E+1       | 0,000E+0  |           |               |                          | 1,930E+8     |
| TP-108,14-T-601A,Topping,DLB          | R38[O]->D547[D]->D341[D]->D466[O]->D9[D]->D698[O]->D704[O]->W77          | 1,575E-6   | 1,429E+6        |                     | 7,735E-1     | 5,000E+0   | 1,547E+4           | 4,193E+1       | 0,000E+0  |           |               |                          | 1,588E+8     |
| TP-108,14-T-601A,Topping,DLB          | R38[O]->D547[D]->D341[D]->D466[O]->D9[D]->D698[O]->D704[O]->W77          | 1,575E-6   | 1,429E+6        | 3,540E+4            | 1,017E-2     | 4,310E+0   |                    | 4,193E+1       | 0,000E+0  |           |               |                          | 1,588E+8     |
| TP-108,14-T-601A,Topping,DLB          | R38[O]->D547[D]->D341[D]->D466[O]->D9[D]->D698[D]->W77                   | 7,500E-8   | 1,736E+6        |                     | 9,395E-1     | 5,000E+0   | 1,879E+4           | 5,096E+1       | 0,000E+0  |           |               |                          | 1,929E+8     |
| TP-108,14-T-601A,Topping,DLB          | R38[O]->D547[D]->D341[D]->D466[O]->D9[D]->D698[O]->D704[O]->W77          | 6,750E-7   | 1,428E+6        |                     | 7,728E-1     | 5,000E+0   | 1,546E+4           | 4,192E+1       | 0,000E+0  |           |               |                          | 1,587E+8     |

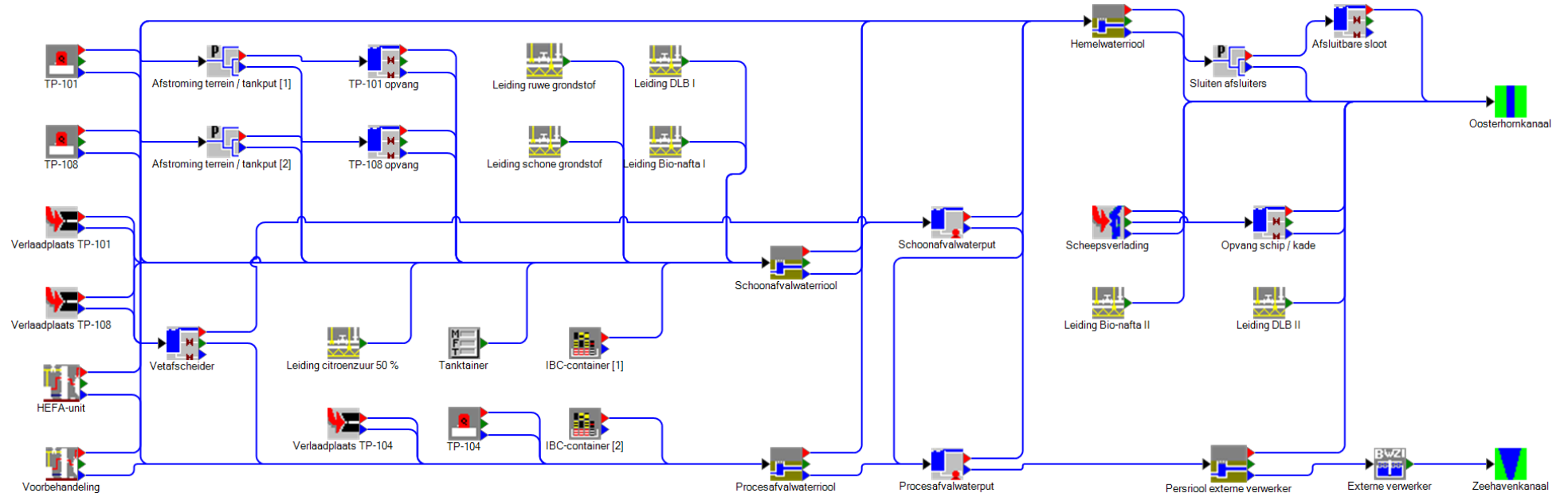


| Group   | Afstroomroute  | Frequentie | Massa uitstroom | Volume contaminatie | MSI Factored | Weegfactor | Oever Contaminatie | Uitstroom tijd | Bluswater | RWZI      |               |                          | LC50 gewogen |
|---|--|------------|-----------------|---------------------|--------------|------------|--------------------|----------------|-----------|-----------|---------------|--------------------------|--------------|
|   |  |            |                 |                     |              |            |                    |                |           | inhibitie | overbelasting | Actief slib beïnvloeding |              |
|   |  | [j-1]      | [kg]            | [m3]                |              |            | [m]                | [s]            | [m3]      |           |               |                          | [m3]         |
| TP-108,14-T-601A,Topping,DLB                      | R38[O]->D547[O]->D332[D]->D341[D]->D466[O]->D9[D]->D698[D]->W77          | 1,750E-8   | 1,737E+6        |                     | 9,401E-1     | 5,000E+0   | 1,880E+4           | 5,097E+1       | 0,000E+0  |           |               |                          | 1,930E+8     |
| TP-108,14-T-601A,Topping,DLB                      | R38[O]->D547[O]->D332[D]->D341[D]->D466[O]->D9[D]->D698[O]->D704[O]->W77 | 1,575E-7   | 1,429E+6        |                     | 7,735E-1     | 5,000E+0   | 1,547E+4           | 4,193E+1       | 0,000E+0  |           |               |                          | 1,588E+8     |
| TP-108,14-T-601A,Topping,DLB                      | R38[O]->D547[O]->D332[D]->D341[D]->D466[O]->D9[D]->D698[D]->W77          | 7,500E-9   | 1,736E+6        |                     | 9,395E-1     | 5,000E+0   | 1,879E+4           | 5,096E+1       | 0,000E+0  |           |               |                          | 1,929E+8     |
| TP-108,14-T-601A,Topping,DLB                      | R38[O]->D547[O]->D332[D]->D341[D]->D466[O]->D9[D]->D698[O]->D704[O]->W77 | 6,750E-8   | 1,428E+6        |                     | 7,728E-1     | 5,000E+0   | 1,546E+4           | 4,192E+1       | 0,000E+0  |           |               |                          | 1,587E+8     |
| Scheepsverlading,,Aanvaring,groot,Ruwe grondstof  | R102[D]->W77   | 8,844E-6   | 6,750E+4        |                     | 3,125E-2     | 5,000E+0   | 6,250E+2           | 1,800E+3       | 0,000E+0  |           |               |                          | 7,500E+7     |
| Scheepsverlading,,Aanvaring,groot,Ruwe grondstof  | R102[D]->W77   | 8,844E-6   | 6,750E+4        | 1,195E+4            | 3,435E-3     | 4,310E+0   |                    | 1,800E+3       | 0,000E+0  |           |               |                          | 7,500E+7     |
| Scheepsverlading,,Aanvaring, klein,Ruwe grondstof | R102[D]->W77   | 1,769E-5   | 2,700E+4        |                     | 1,250E-2     | 5,000E+0   | 2,500E+2           | 1,800E+3       | 0,000E+0  |           |               |                          | 3,000E+7     |
| Scheepsverlading,,Aanvaring,groot,Bio-nafta       | R102[D]->W77   | 2,684E-6   | 5,063E+4        |                     | 3,125E-2     | 5,000E+0   | 2,960E+2           | 1,800E+3       | 0,000E+0  |           |               |                          | 5,625E+7     |
| Scheepsverlading,,Aanvaring, klein,Bio-nafta      | R102[D]->W77   | 5,367E-6   | 2,025E+4        |                     | 1,250E-2     | 5,000E+0   | 9,510E+1           | 1,800E+3       | 0,000E+0  |           |               |                          | 2,250E+7     |
| Scheepsverlading,,Aanvaring,groot,DLB             | R102[D]->W77   | 7,928E-6   | 5,775E+4        |                     | 3,125E-2     | 5,000E+0   | 6,039E+2           | 1,800E+3       | 0,000E+0  |           |               |                          | 6,417E+6     |
| Scheepsverlading,,Aanvaring, klein,DLB            | R102[D]->W77   | 1,586E-5   | 2,310E+4        |                     | 1,250E-2     | 5,000E+0   | 2,415E+2           | 1,800E+3       | 0,000E+0  |           |               |                          | 2,567E+6     |
| Leiding Bio-nafta II,,Leidingbreuk,Bio-nafta      | R171[B]->W77   | 5,096E-4   | 8,939E+3        |                     | 5,518E-3     | 5,000E+0   | 9,182E+1           | 1,200E+2       | 0,000E+0  |           |               |                          | 9,932E+6     |
| Leiding Bio-nafta II,,Leidingbreuk,Bio-nafta      | R171[B]->W77   | 5,096E-4   | 8,939E+3        | 2,111E+3            | 6,066E-4     | 4,310E+0   |                    | 1,200E+2       | 0,000E+0  |           |               |                          | 9,932E+6     |
| Leiding Bio-nafta II,,Leidinglekkage,Bio-nafta    | R171[B]->W77   | 3,360E-3   | 1,918E+3        |                     | 1,184E-3     | 5,000E+0   | 4,253E+1           | 1,200E+2       | 0,000E+0  |           |               |                          | 2,131E+6     |
| Leiding DLB II,,Leidingbreuk,DLB                  | R174[B]->W77   | 1,140E-4   | 2,833E+4        |                     | 1,533E-2     | 5,000E+0   | 3,066E+2           | 1,200E+2       | 0,000E+0  |           |               |                          | 3,147E+6     |
| Leiding DLB II,,Leidinglekkage,DLB                | R174[B]->W77   | 1,829E-3   | 6,077E+3        |                     | 3,289E-3     | 5,000E+0   | 7,088E+1           | 1,200E+2       | 0,000E+0  |           |               |                          | 6,752E+5     |
| TP-101,14-T-411D,Kleine brand,Schone grondstof    | R34[D]->D341[D]->D466[D]->D473[D]->D29[D]->D751[B]->W765                 | 4,500E-10  | 2,312E+5        | 3,469E+7            | 2,312E+0     | 1,000E+0   |                    | 2,880E+4       | 5,853E+3  | ja (BWZI) |               | ja (BWZI)                | 2,569E+8     |
| TP-101,14-T-411D,Kleine brand,Schone grondstof    | R34[D]->D341[D]->D466[D]->D473[D]->D29[D]->D751[B]->W765                 | 4,500E-10  | 2,632E+5        | 3,948E+7            | 2,632E+0     | 1,000E+0   |                    | 2,880E+4       | 7,955E+3  | ja (BWZI) |               | ja (BWZI)                | 2,925E+8     |
| TP-101,14-T-411C,Kleine brand,Schone grondstof    | R34[D]->D341[D]->D466[D]->D473[D]->D29[D]->D751[B]->W765                 | 4,500E-10  | 2,312E+5        | 3,469E+7            | 2,312E+0     | 1,000E+0   |                    | 2,880E+4       | 5,853E+3  | ja (BWZI) |               | ja (BWZI)                | 2,569E+8     |
| TP-101,14-T-411C,Kleine brand,Schone grondstof    | R34[D]->D341[D]->D466[D]->D473[D]->D29[D]->D751[B]->W765                 | 4,500E-10  | 2,632E+5        | 3,948E+7            | 2,632E+0     | 1,000E+0   |                    | 2,880E+4       | 7,955E+3  | ja (BWZI) |               | ja (BWZI)                | 2,925E+8     |

| Group   | Afstroomroute  | Frequentie | Massa uitstroom | Volume contaminatie | MSI Factored | Weegfactor | Oever Contaminatie | Uitstroom tijd | Bluswater | RWZI      |               |                          | LC50 gewogen |
|---|--|------------|-----------------|---------------------|--------------|------------|--------------------|----------------|-----------|-----------|---------------|--------------------------|--------------|
|   |  | [j-1]      | [kg]            | [m3]                |              |            | [m]                | [s]            | [m3]      | inhibitie | overbelasting | Actief slib beïnvloeding | [m3]         |
| TP-101,14-T-411B,Kleine brand,Schone grondstof  | R34[D]->D341[D]->D466[D]->D473[D]->D29[D]->D751[B]->W765 | 4,500E-10  | 2,312E+5        | 3,469E+7            | 2,312E+0     | 1,000E+0   |                    | 2,880E+4       | 5,853E+3  | ja (BWZI) |               | ja (BWZI)                | 2,569E+8     |
| TP-101,14-T-411B,Kleine brand,Schone grondstof  | R34[D]->D341[D]->D466[D]->D473[D]->D29[D]->D751[B]->W765 | 4,500E-10  | 2,632E+5        | 3,948E+7            | 2,632E+0     | 1,000E+0   |                    | 2,880E+4       | 7,955E+3  | ja (BWZI) |               | ja (BWZI)                | 2,925E+8     |
| TP-101,14-T-411A,Kleine brand,Schone grondstof  | R34[D]->D341[D]->D466[D]->D473[D]->D29[D]->D751[B]->W765 | 4,500E-10  | 2,312E+5        | 3,469E+7            | 2,312E+0     | 1,000E+0   |                    | 2,880E+4       | 5,853E+3  | ja (BWZI) |               | ja (BWZI)                | 2,569E+8     |
| TP-101,14-T-411A,Kleine brand,Schone grondstof  | R34[D]->D341[D]->D466[D]->D473[D]->D29[D]->D751[B]->W765 | 4,500E-10  | 2,632E+5        | 3,948E+7            | 2,632E+0     | 1,000E+0   |                    | 2,880E+4       | 7,955E+3  | ja (BWZI) |               | ja (BWZI)                | 2,925E+8     |
| TP-101,14-T-411D,Continu falen,Schone grondstof | R34[D]->D341[D]->D466[D]->D473[D]->D29[D]->D751[B]->W765 | 4,455E-8   | 8,105E+5        |                     | 8,338E-2     | 1,111E+0   | 1,491E+2           | 2,880E+4       | 0,000E+0  | ja (BWZI) |               | ja (BWZI)                | 9,005E+8     |
| TP-101,14-T-411C,Continu falen,Schone grondstof | R34[D]->D341[D]->D466[D]->D473[D]->D29[D]->D751[B]->W765 | 4,455E-8   | 8,105E+5        |                     | 8,338E-2     | 1,111E+0   | 1,491E+2           | 2,880E+4       | 0,000E+0  | ja (BWZI) |               | ja (BWZI)                | 9,005E+8     |
| TP-101,14-T-411B,Continu falen,Schone grondstof | R34[D]->D341[D]->D466[D]->D473[D]->D29[D]->D751[B]->W765 | 4,455E-8   | 8,105E+5        |                     | 8,338E-2     | 1,111E+0   | 1,491E+2           | 2,880E+4       | 0,000E+0  | ja (BWZI) |               | ja (BWZI)                | 9,005E+8     |
| TP-101,14-T-411A,Continu falen,Schone grondstof | R34[D]->D341[D]->D466[D]->D473[D]->D29[D]->D751[B]->W765 | 4,455E-8   | 8,105E+5        |                     | 8,338E-2     | 1,111E+0   | 1,491E+2           | 2,880E+4       | 0,000E+0  | ja (BWZI) |               | ja (BWZI)                | 9,005E+8     |
| TP-108,14-T-621,Kleine brand,Bio-nafta          | R38[D]->D341[D]->D466[D]->D473[D]->D29[D]->D751[B]->W765 | 4,500E-10  | 1,238E+5        | 1,858E+7            | 1,238E+0     | 1,000E+0   |                    | 2,880E+4       | 8,490E+2  | ja (BWZI) |               | ja (BWZI)                | 1,376E+8     |
| TP-108,14-T-601C,Kleine brand,DLB               | R38[D]->D341[D]->D466[D]->D473[D]->D29[D]->D751[B]->W765 | 4,500E-10  | 1,948E+5        | 2,923E+7            | 1,948E+0     | 1,000E+0   |                    | 2,880E+4       | 3,012E+3  | ja (BWZI) |               | ja (BWZI)                | 2,165E+7     |
| TP-108,14-T-601C,Kleine brand,DLB               | R38[D]->D341[D]->D466[D]->D473[D]->D29[D]->D751[B]->W765 | 4,500E-10  | 2,218E+5        | 3,327E+7            | 2,218E+0     | 1,000E+0   |                    | 2,880E+4       | 4,101E+3  | ja (BWZI) |               | ja (BWZI)                | 2,464E+7     |
| TP-108,14-T-601B,Kleine brand,DLB               | R38[D]->D341[D]->D466[D]->D473[D]->D29[D]->D751[B]->W765 | 4,500E-10  | 1,948E+5        | 2,923E+7            | 1,948E+0     | 1,000E+0   |                    | 2,880E+4       | 3,012E+3  | ja (BWZI) |               | ja (BWZI)                | 2,165E+7     |
| TP-108,14-T-601B,Kleine brand,DLB               | R38[D]->D341[D]->D466[D]->D473[D]->D29[D]->D751[B]->W765 | 4,500E-10  | 2,218E+5        | 3,327E+7            | 2,218E+0     | 1,000E+0   |                    | 2,880E+4       | 4,101E+3  | ja (BWZI) |               | ja (BWZI)                | 2,464E+7     |
| TP-108,14-T-601A,Kleine brand,DLB               | R38[D]->D341[D]->D466[D]->D473[D]->D29[D]->D751[B]->W765 | 4,500E-10  | 1,948E+5        | 2,923E+7            | 1,948E+0     | 1,000E+0   |                    | 2,880E+4       | 3,012E+3  | ja (BWZI) |               | ja (BWZI)                | 2,165E+7     |
| TP-108,14-T-601A,Kleine brand,DLB               | R38[D]->D341[D]->D466[D]->D473[D]->D29[D]->D751[B]->W765 | 4,500E-10  | 2,218E+5        | 3,327E+7            | 2,218E+0     | 1,000E+0   |                    | 2,880E+4       | 4,101E+3  | ja (BWZI) |               | ja (BWZI)                | 2,464E+7     |
| TP-108,14-T-621,Instantaan falen,Bio-nafta      | R38[D]->D341[D]->D466[D]->D473[D]->D29[D]->D751[B]->W765 | 4,500E-8   | 8,982E+4        | 1,347E+7            | 8,982E-1     | 1,000E+0   |                    | 2,880E+4       | 0,000E+0  | ja (BWZI) |               | ja (BWZI)                | 9,980E+7     |

| Group   | Afstroomroute  | Frequentie | Massa uitstroom | Volume contaminatie | MSI Factored | Weegfactor | Oever Contaminatie | Uitstroom tijd | Bluswater | RWZI      |               |                          | LC50 gewogen |
|---|--|------------|-----------------|---------------------|--------------|------------|--------------------|----------------|-----------|-----------|---------------|--------------------------|--------------|
|   |  |            |                 |                     |              |            |                    |                |           | inhibitie | overbelasting | Actief slib beïnvloeding |              |
|   |  | [j-1]      | [kg]            | [m3]                |              |            | [m]                | [s]            | [m3]      |           |               |                          | [m3]         |
| TP-108,14-T-611B,Instantaan falen,Bio-nafta   | R38[D]->D341[D]->D466[D]->D473[D]->D29[D]->D751[B]->W765                   | 4,500E-8   | 7,011E+4        | 1,052E+7            | 7,011E-1     | 1,000E+0   |                    | 2,880E+4       | 0,000E+0  | ja (BWZI) |               | ja (BWZI)                | 7,790E+7     |
| TP-108,14-T-611B,Continu falen,Bio-nafta  | R38[D]->D341[D]->D466[D]->D473[D]->D29[D]->D751[B]->W765                   | 4,500E-8   | 8,486E+4        | 1,273E+7            | 8,486E-1     | 1,000E+0   |                    | 2,880E+4       | 0,000E+0  | ja (BWZI) |               | ja (BWZI)                | 9,428E+7     |
| TP-108,14-T-611B,Topping,Bio-nafta  | R38[O]->D547[D]->D341[D]->D466[D]->D473[D]->D29[D]->D751[B]->W765          | 2,250E-7   | 9,962E+4        | 1,494E+7            | 9,962E-1     | 1,000E+0   |                    | 2,880E+4       | 0,000E+0  | ja (BWZI) |               | ja (BWZI)                | 1,107E+8     |
| TP-108,14-T-611B,Topping,Bio-nafta  | R38[O]->D547[O]->D332[D]->D341[D]->D466[D]->D473[D]->D29[D]->D751[B]->W765 | 2,250E-8   | 9,962E+4        | 1,494E+7            | 9,962E-1     | 1,000E+0   |                    | 2,880E+4       | 0,000E+0  | ja (BWZI) |               | ja (BWZI)                | 1,107E+8     |
| TP-108,14-T-611A,Instantaan falen,Bio-nafta   | R38[D]->D341[D]->D466[D]->D473[D]->D29[D]->D751[B]->W765                   | 4,500E-8   | 7,011E+4        | 1,052E+7            | 7,011E-1     | 1,000E+0   |                    | 2,880E+4       | 0,000E+0  | ja (BWZI) |               | ja (BWZI)                | 7,790E+7     |
| TP-108,14-T-611A,Continu falen,Bio-nafta  | R38[D]->D341[D]->D466[D]->D473[D]->D29[D]->D751[B]->W765                   | 4,500E-8   | 8,486E+4        | 1,273E+7            | 8,486E-1     | 1,000E+0   |                    | 2,880E+4       | 0,000E+0  | ja (BWZI) |               | ja (BWZI)                | 9,428E+7     |
| TP-108,14-T-611A,Topping,Bio-nafta  | R38[O]->D547[D]->D341[D]->D466[D]->D473[D]->D29[D]->D751[B]->W765          | 2,250E-7   | 9,962E+4        | 1,494E+7            | 9,962E-1     | 1,000E+0   |                    | 2,880E+4       | 0,000E+0  | ja (BWZI) |               | ja (BWZI)                | 1,107E+8     |
| TP-108,14-T-611A,Topping,Bio-nafta  | R38[O]->D547[O]->D332[D]->D341[D]->D466[D]->D473[D]->D29[D]->D751[B]->W765 | 2,250E-8   | 9,962E+4        | 1,494E+7            | 9,962E-1     | 1,000E+0   |                    | 2,880E+4       | 0,000E+0  | ja (BWZI) |               | ja (BWZI)                | 1,107E+8     |
| TP-108,14-T-601C,Continu falen,DLB  | R38[D]->D341[D]->D466[D]->D473[D]->D29[D]->D751[B]->W765                   | 4,455E-8   | 6,815E+5        |                     | 8,195E-2     | 1,111E+0   | 1,484E+2           | 2,880E+4       | 0,000E+0  | ja (BWZI) |               | ja (BWZI)                | 7,572E+7     |
| HEFA-unit,02-C-202,Instantaan falen,Receptnr 1: Tussenproduct (C.Reactor: 02-C-202) | R115[D]->D357[D]->D473[D]->D29[D]->D751[B]->W765                           | 1,500E-6   | 8,639E+4        |                     | 1,185E-2     | 1,111E+0   | 4,363E+1           | 2,880E+4       | 0,000E+0  | ja (BWZI) |               | ja (BWZI)                | 9,599E+7     |

### 3 Schema





## 4. Volledig berekeningsresultaat

### 4.1 Unit TP-101

| Group  | Afstroomroute  | Frequentie | Massa uitstroom | Volume contaminatie | MSI Factored | Weegfactor | Oever Contaminatie | Uitstroom tijd | Bluswater | RWZI      |               |                          | LC50 gewogen |
|--|--|------------|-----------------|---------------------|--------------|------------|--------------------|----------------|-----------|-----------|---------------|--------------------------|--------------|
|  |  |            |                 |                     |              |            |                    |                |           | inhibitie | overbelasting | Actief slib beïnvloeding |              |
|  |  | [j-1]      | [kg]            | [m3]                |              |            | [m]                | [s]            | [m3]      |           |               |                          | [m3]         |
| TP-101,14-T-411D,Kleine brand,Schone grondstof | R34[D]->D341[D]->D466[O]->D9[D]->D698[D]->W77          | 3,500E-10  | 4,908E+6        |                     | 2,272E+0     | 5,000E+0   | 2,353E+4           | 3,315E+3       | 5,853E+3  |           |               |                          | 5,453E+9     |
| TP-101,14-T-411D,Kleine brand,Schone grondstof | R34[D]->D341[D]->D466[O]->D9[D]->D698[D]->W77          | 3,500E-10  | 4,908E+6        | 7,361E+8            | 2,115E+2     | 4,310E+0   |                    | 3,315E+3       | 5,853E+3  |           |               |                          | 5,453E+9     |
| TP-101,14-T-411D,Kleine brand,Schone grondstof | R34[D]->D341[D]->D466[O]->D9[D]->D698[O]->D704[O]->W77 | 3,150E-9   | 4,548E+6        |                     | 2,105E+0     | 5,000E+0   | 2,353E+4           | 3,072E+3       | 5,853E+3  |           |               |                          | 5,053E+9     |
| TP-101,14-T-411D,Kleine brand,Schone grondstof | R34[D]->D341[D]->D466[O]->D9[D]->D698[O]->D704[O]->W77 | 3,150E-9   | 4,548E+6        | 6,821E+8            | 1,960E+2     | 4,310E+0   |                    | 3,072E+3       | 5,853E+3  |           |               |                          | 5,053E+9     |
| TP-101,14-T-411D,Kleine brand,Schone grondstof | R34[D]->D341[D]->D466[O]->D9[D]->D698[D]->W77          | 1,500E-10  | 4,820E+6        |                     | 2,232E+0     | 5,000E+0   | 2,314E+4           | 3,312E+3       | 5,853E+3  |           |               |                          | 5,356E+9     |
| TP-101,14-T-411D,Kleine brand,Schone grondstof | R34[D]->D341[D]->D466[O]->D9[D]->D698[D]->W77          | 1,500E-10  | 4,820E+6        | 7,230E+8            | 2,078E+2     | 4,310E+0   |                    | 3,312E+3       | 5,853E+3  |           |               |                          | 5,356E+9     |
| TP-101,14-T-411D,Kleine brand,Schone grondstof | R34[D]->D341[D]->D466[O]->D9[D]->D698[O]->D704[O]->W77 | 1,350E-9   | 4,460E+6        |                     | 2,065E+0     | 5,000E+0   | 2,314E+4           | 3,065E+3       | 5,853E+3  |           |               |                          | 4,956E+9     |
| TP-101,14-T-411D,Kleine brand,Schone grondstof | R34[D]->D341[D]->D466[O]->D9[D]->D698[O]->D704[O]->W77 | 1,350E-9   | 4,460E+6        | 6,690E+8            | 1,923E+2     | 4,310E+0   |                    | 3,065E+3       | 5,853E+3  |           |               |                          | 4,956E+9     |
| TP-101,14-T-411D,Kleine brand,Schone grondstof | R34[D]->D341[D]->D466[O]->D9[D]->D698[D]->W77          | 3,500E-10  | 6,799E+6        |                     | 3,148E+0     | 5,000E+0   | 2,353E+4           | 4,593E+3       | 7,955E+3  |           |               |                          | 7,555E+9     |
| TP-101,14-T-411D,Kleine brand,Schone grondstof | R34[D]->D341[D]->D466[O]->D9[D]->D698[D]->W77          | 3,500E-10  | 6,799E+6        | 1,020E+9            | 2,931E+2     | 4,310E+0   |                    | 4,593E+3       | 7,955E+3  |           |               |                          | 7,555E+9     |
| TP-101,14-T-411D,Kleine brand,Schone grondstof | R34[D]->D341[D]->D466[O]->D9[D]->D698[O]->D704[O]->W77 | 3,150E-9   | 6,439E+6        |                     | 2,981E+0     | 5,000E+0   | 2,353E+4           | 4,350E+3       | 7,955E+3  |           |               |                          | 7,155E+9     |
| TP-101,14-T-411D,Kleine brand,Schone grondstof | R34[D]->D341[D]->D466[O]->D9[D]->D698[O]->D704[O]->W77 | 3,150E-9   | 6,439E+6        | 9,659E+8            | 2,775E+2     | 4,310E+0   |                    | 4,350E+3       | 7,955E+3  |           |               |                          | 7,155E+9     |
| TP-101,14-T-411D,Kleine brand,Schone grondstof | R34[D]->D341[D]->D466[O]->D9[D]->D698[D]->W77          | 1,500E-10  | 6,680E+6        |                     | 3,093E+0     | 5,000E+0   | 2,314E+4           | 4,590E+3       | 7,955E+3  |           |               |                          | 7,422E+9     |
| TP-101,14-T-411D,Kleine brand,Schone grondstof | R34[D]->D341[D]->D466[O]->D9[D]->D698[O]->D704[O]->W77 | 1,500E-10  | 6,680E+6        | 1,002E+9            | 2,879E+2     | 4,310E+0   |                    | 4,590E+3       | 7,955E+3  |           |               |                          | 7,422E+9     |
| TP-101,14-T-411D,Kleine brand,Schone grondstof | R34[D]->D341[D]->D466[O]->D9[D]->D698[O]->D704[O]->W77 | 1,350E-9   | 6,320E+6        |                     | 2,926E+0     | 5,000E+0   | 2,314E+4           | 4,343E+3       | 7,955E+3  |           |               |                          | 7,022E+9     |
| TP-101,14-T-411D,Kleine brand,Schone grondstof | R34[D]->D341[D]->D466[O]->D9[D]->D698[O]->D704[O]->W77 | 1,350E-9   | 6,320E+6        | 9,480E+8            | 2,724E+2     | 4,310E+0   |                    | 4,343E+3       | 7,955E+3  |           |               |                          | 7,022E+9     |
| TP-101,14-T-411C,Kleine brand,Schone grondstof | R34[D]->D341[D]->D466[O]->D9[D]->D698[D]->W77          | 3,500E-10  | 4,908E+6        |                     | 2,272E+0     | 5,000E+0   | 2,353E+4           | 3,315E+3       | 5,853E+3  |           |               |                          | 5,453E+9     |
| TP-101,14-T-411C,Kleine brand,Schone grondstof | R34[D]->D341[D]->D466[O]->D9[D]->D698[D]->W77          | 3,500E-10  | 4,908E+6        | 7,361E+8            | 2,115E+2     | 4,310E+0   |                    | 3,315E+3       | 5,853E+3  |           |               |                          | 5,453E+9     |
| TP-101,14-T-411C,Kleine brand,Schone grondstof | R34[D]->D341[D]->D466[O]->D9[D]->D698[O]->D704[O]->W77 | 3,150E-9   | 4,548E+6        |                     | 2,105E+0     | 5,000E+0   | 2,353E+4           | 3,072E+3       | 5,853E+3  |           |               |                          | 5,053E+9     |
| TP-101,14-T-411C,Kleine brand,Schone grondstof | R34[D]->D341[D]->D466[O]->D9[D]->D698[O]->D704[O]->W77 | 3,150E-9   | 4,548E+6        | 6,821E+8            | 1,960E+2     | 4,310E+0   |                    | 3,072E+3       | 5,853E+3  |           |               |                          | 5,053E+9     |

| Group  | Afstroomroute  | Frequentie | Massa uitstroom | Volume contaminatie | MSI Factored | Weegfactor | Oever Contaminatie | Uitstroom tijd | Bluswater | RWZI      |               |                          | LC50 gewogen |
|--|--|------------|-----------------|---------------------|--------------|------------|--------------------|----------------|-----------|-----------|---------------|--------------------------|--------------|
|  |  | [j-1]      | [kg]            | [m3]                |              |            | [m]                | [s]            | [m3]      | inhibitie | overbelasting | Actief slib beïnvloeding | [m3]         |
| TP-101,14-T-411C,Kleine brand,Schone grondstof | R34[D]->D341[D]->D466[O]->D9[D]->D698[D]->W77          | 1,500E-10  | 4,820E+6        |                     | 2,232E+0     | 5,000E+0   | 2,314E+4           | 3,312E+3       | 5,853E+3  |           |               |                          | 5,356E+9     |
| TP-101,14-T-411C,Kleine brand,Schone grondstof | R34[D]->D341[D]->D466[O]->D9[D]->D698[D]->W77          | 1,500E-10  | 4,820E+6        | 7,230E+8            | 2,078E+2     | 4,310E+0   |                    | 3,312E+3       | 5,853E+3  |           |               |                          | 5,356E+9     |
| TP-101,14-T-411C,Kleine brand,Schone grondstof | R34[D]->D341[D]->D466[O]->D9[D]->D698[O]->D704[O]->W77 | 1,350E-9   | 4,460E+6        |                     | 2,065E+0     | 5,000E+0   | 2,314E+4           | 3,065E+3       | 5,853E+3  |           |               |                          | 4,956E+9     |
| TP-101,14-T-411C,Kleine brand,Schone grondstof | R34[D]->D341[D]->D466[O]->D9[D]->D698[O]->D704[O]->W77 | 1,350E-9   | 4,460E+6        | 6,690E+8            | 1,923E+2     | 4,310E+0   |                    | 3,065E+3       | 5,853E+3  |           |               |                          | 4,956E+9     |
| TP-101,14-T-411C,Kleine brand,Schone grondstof | R34[D]->D341[D]->D466[O]->D9[D]->D698[D]->W77          | 3,500E-10  | 6,799E+6        |                     | 3,148E+0     | 5,000E+0   | 2,353E+4           | 4,593E+3       | 7,955E+3  |           |               |                          | 7,555E+9     |
| TP-101,14-T-411C,Kleine brand,Schone grondstof | R34[D]->D341[D]->D466[O]->D9[D]->D698[D]->W77          | 3,500E-10  | 6,799E+6        | 1,020E+9            | 2,931E+2     | 4,310E+0   |                    | 4,593E+3       | 7,955E+3  |           |               |                          | 7,555E+9     |
| TP-101,14-T-411C,Kleine brand,Schone grondstof | R34[D]->D341[D]->D466[O]->D9[D]->D698[O]->D704[O]->W77 | 3,150E-9   | 6,439E+6        |                     | 2,981E+0     | 5,000E+0   | 2,353E+4           | 4,350E+3       | 7,955E+3  |           |               |                          | 7,155E+9     |
| TP-101,14-T-411C,Kleine brand,Schone grondstof | R34[D]->D341[D]->D466[O]->D9[D]->D698[O]->D704[O]->W77 | 3,150E-9   | 6,439E+6        | 9,659E+8            | 2,775E+2     | 4,310E+0   |                    | 4,350E+3       | 7,955E+3  |           |               |                          | 7,155E+9     |
| TP-101,14-T-411C,Kleine brand,Schone grondstof | R34[D]->D341[D]->D466[O]->D9[D]->D698[D]->W77          | 1,500E-10  | 6,680E+6        |                     | 3,093E+0     | 5,000E+0   | 2,314E+4           | 4,590E+3       | 7,955E+3  |           |               |                          | 7,422E+9     |
| TP-101,14-T-411C,Kleine brand,Schone grondstof | R34[D]->D341[D]->D466[O]->D9[D]->D698[D]->W77          | 1,500E-10  | 6,680E+6        | 1,002E+9            | 2,879E+2     | 4,310E+0   |                    | 4,590E+3       | 7,955E+3  |           |               |                          | 7,422E+9     |
| TP-101,14-T-411C,Kleine brand,Schone grondstof | R34[D]->D341[D]->D466[O]->D9[D]->D698[O]->D704[O]->W77 | 1,350E-9   | 6,320E+6        |                     | 2,926E+0     | 5,000E+0   | 2,314E+4           | 4,343E+3       | 7,955E+3  |           |               |                          | 7,022E+9     |
| TP-101,14-T-411C,Kleine brand,Schone grondstof | R34[D]->D341[D]->D466[O]->D9[D]->D698[O]->D704[O]->W77 | 1,350E-9   | 6,320E+6        | 9,480E+8            | 2,724E+2     | 4,310E+0   |                    | 4,343E+3       | 7,955E+3  |           |               |                          | 7,022E+9     |
| TP-101,14-T-411B,Kleine brand,Schone grondstof | R34[D]->D341[D]->D466[O]->D9[D]->D698[D]->W77          | 3,500E-10  | 4,908E+6        |                     | 2,272E+0     | 5,000E+0   | 2,353E+4           | 3,315E+3       | 5,853E+3  |           |               |                          | 5,453E+9     |
| TP-101,14-T-411B,Kleine brand,Schone grondstof | R34[D]->D341[D]->D466[O]->D9[D]->D698[D]->W77          | 3,500E-10  | 4,908E+6        | 7,361E+8            | 2,115E+2     | 4,310E+0   |                    | 3,315E+3       | 5,853E+3  |           |               |                          | 5,453E+9     |
| TP-101,14-T-411B,Kleine brand,Schone grondstof | R34[D]->D341[D]->D466[O]->D9[D]->D698[O]->D704[O]->W77 | 3,150E-9   | 4,548E+6        |                     | 2,105E+0     | 5,000E+0   | 2,353E+4           | 3,072E+3       | 5,853E+3  |           |               |                          | 5,053E+9     |
| TP-101,14-T-411B,Kleine brand,Schone grondstof | R34[D]->D341[D]->D466[O]->D9[D]->D698[O]->D704[O]->W77 | 3,150E-9   | 4,548E+6        | 6,821E+8            | 1,960E+2     | 4,310E+0   |                    | 3,072E+3       | 5,853E+3  |           |               |                          | 5,053E+9     |
| TP-101,14-T-411B,Kleine brand,Schone grondstof | R34[D]->D341[D]->D466[O]->D9[D]->D698[D]->W77          | 1,500E-10  | 4,820E+6        |                     | 2,232E+0     | 5,000E+0   | 2,314E+4           | 3,312E+3       | 5,853E+3  |           |               |                          | 5,356E+9     |
| TP-101,14-T-411B,Kleine brand,Schone grondstof | R34[D]->D341[D]->D466[O]->D9[D]->D698[D]->W77          | 1,500E-10  | 4,820E+6        | 7,230E+8            | 2,078E+2     | 4,310E+0   |                    | 3,312E+3       | 5,853E+3  |           |               |                          | 5,356E+9     |
| TP-101,14-T-411B,Kleine brand,Schone grondstof | R34[D]->D341[D]->D466[O]->D9[D]->D698[O]->D704[O]->W77 | 1,350E-9   | 4,460E+6        |                     | 2,065E+0     | 5,000E+0   | 2,314E+4           | 3,065E+3       | 5,853E+3  |           |               |                          | 4,956E+9     |
| TP-101,14-T-411B,Kleine brand,Schone grondstof | R34[D]->D341[D]->D466[O]->D9[D]->D698[O]->D704[O]->W77 | 1,350E-9   | 4,460E+6        | 6,690E+8            | 1,923E+2     | 4,310E+0   |                    | 3,065E+3       | 5,853E+3  |           |               |                          | 4,956E+9     |
| TP-101,14-T-411B,Kleine brand,Schone grondstof | R34[D]->D341[D]->D466[O]->D9[D]->D698[D]->W77          | 3,500E-10  | 6,799E+6        |                     | 3,148E+0     | 5,000E+0   | 2,353E+4           | 4,593E+3       | 7,955E+3  |           |               |                          | 7,555E+9     |
| TP-101,14-T-411B,Kleine brand,Schone grondstof | R34[D]->D341[D]->D466[O]->D9[D]->D698[D]->W77          | 3,500E-10  | 6,799E+6        | 1,020E+9            | 2,931E+2     | 4,310E+0   |                    | 4,593E+3       | 7,955E+3  |           |               |                          | 7,555E+9     |
| TP-101,14-T-411B,Kleine brand,Schone grondstof | R34[D]->D341[D]->D466[O]->D9[D]->D698[O]->D704[O]->W77 | 3,150E-9   | 6,439E+6        |                     | 2,981E+0     | 5,000E+0   | 2,353E+4           | 4,350E+3       | 7,955E+3  |           |               |                          | 7,155E+9     |

| Group  | Afstroomroute  | Frequentie | Massa uitstroom | Volume contaminatie | MSI Factored | Weegfactor | Oever Contaminatie | Uitstroom tijd | Bluswater | RWZI      |               |                          | LC50 gewogen |
|--|--|------------|-----------------|---------------------|--------------|------------|--------------------|----------------|-----------|-----------|---------------|--------------------------|--------------|
|  |  | [j-1]      | [kg]            | [m3]                |              |            | [m]                | [s]            | [m3]      | inhibitie | overbelasting | Actief slib beïnvloeding | [m3]         |
| TP-101,14-T-411B,Kleine brand,Schone grondstof     | R34[D]->D341[D]->D466[O]->D9[D]->D698[O]->D704[O]->W77 | 3,150E-9   | 6,439E+6        | 9,659E+8            | 2,775E+2     | 4,310E+0   |                    | 4,350E+3       | 7,955E+3  |           |               |                          | 7,155E+9     |
| TP-101,14-T-411B,Kleine brand,Schone grondstof     | R34[D]->D341[D]->D466[O]->D9[D]->D698[D]->W77          | 1,500E-10  | 6,680E+6        |                     | 3,093E+0     | 5,000E+0   | 2,314E+4           | 4,590E+3       | 7,955E+3  |           |               |                          | 7,422E+9     |
| TP-101,14-T-411B,Kleine brand,Schone grondstof     | R34[D]->D341[D]->D466[O]->D9[D]->D698[D]->W77          | 1,500E-10  | 6,680E+6        | 1,002E+9            | 2,879E+2     | 4,310E+0   |                    | 4,590E+3       | 7,955E+3  |           |               |                          | 7,422E+9     |
| TP-101,14-T-411B,Kleine brand,Schone grondstof     | R34[D]->D341[D]->D466[O]->D9[D]->D698[O]->D704[O]->W77 | 1,350E-9   | 6,320E+6        |                     | 2,926E+0     | 5,000E+0   | 2,314E+4           | 4,343E+3       | 7,955E+3  |           |               |                          | 7,022E+9     |
| TP-101,14-T-411B,Kleine brand,Schone grondstof     | R34[D]->D341[D]->D466[O]->D9[D]->D698[O]->D704[O]->W77 | 1,350E-9   | 6,320E+6        | 9,480E+8            | 2,724E+2     | 4,310E+0   |                    | 4,343E+3       | 7,955E+3  |           |               |                          | 7,022E+9     |
| TP-101,14-T-411A,Kleine brand,Schone grondstof     | R34[D]->D341[D]->D466[O]->D9[D]->D698[D]->W77          | 3,500E-10  | 4,908E+6        |                     | 2,272E+0     | 5,000E+0   | 2,353E+4           | 3,315E+3       | 5,853E+3  |           |               |                          | 5,453E+9     |
| TP-101,14-T-411A,Kleine brand,Schone grondstof     | R34[D]->D341[D]->D466[O]->D9[D]->D698[D]->W77          | 3,500E-10  | 4,908E+6        | 7,361E+8            | 2,115E+2     | 4,310E+0   |                    | 3,315E+3       | 5,853E+3  |           |               |                          | 5,453E+9     |
| TP-101,14-T-411A,Kleine brand,Schone grondstof     | R34[D]->D341[D]->D466[O]->D9[D]->D698[O]->D704[O]->W77 | 3,150E-9   | 4,548E+6        |                     | 2,105E+0     | 5,000E+0   | 2,353E+4           | 3,072E+3       | 5,853E+3  |           |               |                          | 5,053E+9     |
| TP-101,14-T-411A,Kleine brand,Schone grondstof     | R34[D]->D341[D]->D466[O]->D9[D]->D698[O]->D704[O]->W77 | 3,150E-9   | 4,548E+6        | 6,821E+8            | 1,960E+2     | 4,310E+0   |                    | 3,072E+3       | 5,853E+3  |           |               |                          | 5,053E+9     |
| TP-101,14-T-411A,Kleine brand,Schone grondstof     | R34[D]->D341[D]->D466[O]->D9[D]->D698[D]->W77          | 1,500E-10  | 4,820E+6        |                     | 2,232E+0     | 5,000E+0   | 2,314E+4           | 3,312E+3       | 5,853E+3  |           |               |                          | 5,356E+9     |
| TP-101,14-T-411A,Kleine brand,Schone grondstof     | R34[D]->D341[D]->D466[O]->D9[D]->D698[D]->W77          | 1,500E-10  | 4,820E+6        | 7,230E+8            | 2,078E+2     | 4,310E+0   |                    | 3,312E+3       | 5,853E+3  |           |               |                          | 5,356E+9     |
| TP-101,14-T-411A,Kleine brand,Schone grondstof     | R34[D]->D341[D]->D466[O]->D9[D]->D698[O]->D704[O]->W77 | 1,350E-9   | 4,460E+6        |                     | 2,065E+0     | 5,000E+0   | 2,314E+4           | 3,065E+3       | 5,853E+3  |           |               |                          | 4,956E+9     |
| TP-101,14-T-411A,Kleine brand,Schone grondstof     | R34[D]->D341[D]->D466[O]->D9[D]->D698[O]->D704[O]->W77 | 1,350E-9   | 4,460E+6        | 6,690E+8            | 1,923E+2     | 4,310E+0   |                    | 3,065E+3       | 5,853E+3  |           |               |                          | 4,956E+9     |
| TP-101,14-T-411A,Kleine brand,Schone grondstof     | R34[D]->D341[D]->D466[O]->D9[D]->D698[D]->W77          | 3,500E-10  | 6,799E+6        |                     | 3,148E+0     | 5,000E+0   | 2,353E+4           | 4,593E+3       | 7,955E+3  |           |               |                          | 7,555E+9     |
| TP-101,14-T-411A,Kleine brand,Schone grondstof     | R34[D]->D341[D]->D466[O]->D9[D]->D698[D]->W77          | 3,500E-10  | 6,799E+6        | 1,020E+9            | 2,931E+2     | 4,310E+0   |                    | 4,593E+3       | 7,955E+3  |           |               |                          | 7,555E+9     |
| TP-101,14-T-411A,Kleine brand,Schone grondstof     | R34[D]->D341[D]->D466[O]->D9[D]->D698[O]->D704[O]->W77 | 3,150E-9   | 6,439E+6        |                     | 2,981E+0     | 5,000E+0   | 2,353E+4           | 4,350E+3       | 7,955E+3  |           |               |                          | 7,155E+9     |
| TP-101,14-T-411A,Kleine brand,Schone grondstof     | R34[D]->D341[D]->D466[O]->D9[D]->D698[O]->D704[O]->W77 | 3,150E-9   | 6,439E+6        | 9,659E+8            | 2,775E+2     | 4,310E+0   |                    | 4,350E+3       | 7,955E+3  |           |               |                          | 7,155E+9     |
| TP-101,14-T-411A,Kleine brand,Schone grondstof     | R34[D]->D341[D]->D466[O]->D9[D]->D698[D]->W77          | 1,500E-10  | 6,680E+6        |                     | 3,093E+0     | 5,000E+0   | 2,314E+4           | 4,590E+3       | 7,955E+3  |           |               |                          | 7,422E+9     |
| TP-101,14-T-411A,Kleine brand,Schone grondstof     | R34[D]->D341[D]->D466[O]->D9[D]->D698[D]->W77          | 1,500E-10  | 6,680E+6        | 1,002E+9            | 2,879E+2     | 4,310E+0   |                    | 4,590E+3       | 7,955E+3  |           |               |                          | 7,422E+9     |
| TP-101,14-T-411A,Kleine brand,Schone grondstof     | R34[D]->D341[D]->D466[O]->D9[D]->D698[O]->D704[O]->W77 | 1,350E-9   | 6,320E+6        |                     | 2,926E+0     | 5,000E+0   | 2,314E+4           | 4,343E+3       | 7,955E+3  |           |               |                          | 7,022E+9     |
| TP-101,14-T-411A,Kleine brand,Schone grondstof     | R34[D]->D341[D]->D466[O]->D9[D]->D698[O]->D704[O]->W77 | 1,350E-9   | 6,320E+6        | 9,480E+8            | 2,724E+2     | 4,310E+0   |                    | 4,343E+3       | 7,955E+3  |           |               |                          | 7,022E+9     |
| TP-101,14-T-411D,Instantaan falen,Schone grondstof | R34[D]->D341[D]->D466[O]->D9[D]->D698[D]->W77          | 3,465E-8   | 1,054E+6        |                     | 4,879E-1     | 5,000E+0   | 9,757E+3           | 4,472E+1       | 0,000E+0  |           |               |                          | 1,171E+9     |
| TP-101,14-T-411D,Instantaan falen,Schone grondstof | R34[D]->D341[D]->D466[O]->D9[D]->D698[D]->W77          | 3,465E-8   | 1,054E+6        | 1,866E+5            | 5,363E-2     | 4,310E+0   |                    | 4,472E+1       | 0,000E+0  |           |               |                          | 1,171E+9     |



| Group  | Afstroomroute   | Frequentie | Massa uitstroom | Volume contaminatie | MSI Factored | Weegfactor | Oever Contaminatie | Uitstroom tijd | Bluswater | RWZI      |               |                          | LC50 gewogen |
|--|---|------------|-----------------|---------------------|--------------|------------|--------------------|----------------|-----------|-----------|---------------|--------------------------|--------------|
|  |   |            |                 |                     |              |            |                    |                |           | inhibitie | overbelasting | Actief slib beïnvloeding |              |
|  |   | [j-1]      | [kg]            | [m3]                |              |            | [m]                | [s]            | [m3]      |           |               |                          | [m3]         |
| TP-101,14-T-411D,Instantaan falen,Schone grondstof | R34[D]->D341[D]->D466[O]->D9[D]->D698[O]->D704[O]->W77          | 3,119E-7   | 6,938E+5        |                     | 3,212E-1     | 5,000E+0   | 6,424E+3           | 2,944E+1       | 0,000E+0  |           |               |                          | 7,709E+8     |
| TP-101,14-T-411D,Instantaan falen,Schone grondstof | R34[D]->D341[D]->D466[O]->D9[D]->D698[O]->D704[O]->W77          | 3,119E-7   | 6,938E+5        | 1,229E+5            | 3,531E-2     | 4,310E+0   |                    | 2,944E+1       | 0,000E+0  |           |               |                          | 7,709E+8     |
| TP-101,14-T-411D,Instantaan falen,Schone grondstof | R34[D]->D341[D]->D466[O]->D9[D]->D698[D]->W77                   | 1,485E-8   | 1,052E+6        |                     | 4,872E-1     | 5,000E+0   | 9,744E+3           | 4,471E+1       | 0,000E+0  |           |               |                          | 1,169E+9     |
| TP-101,14-T-411D,Instantaan falen,Schone grondstof | R34[D]->D341[D]->D466[O]->D9[D]->D698[D]->W77                   | 1,485E-8   | 1,052E+6        | 1,864E+5            | 5,356E-2     | 4,310E+0   |                    | 4,471E+1       | 0,000E+0  |           |               |                          | 1,169E+9     |
| TP-101,14-T-411D,Instantaan falen,Schone grondstof | R34[D]->D341[D]->D466[O]->D9[D]->D698[O]->D704[O]->W77          | 1,337E-7   | 6,924E+5        |                     | 3,205E-1     | 5,000E+0   | 6,411E+3           | 2,942E+1       | 0,000E+0  |           |               |                          | 7,693E+8     |
| TP-101,14-T-411D,Instantaan falen,Schone grondstof | R34[D]->D341[D]->D466[O]->D9[D]->D698[O]->D704[O]->W77          | 1,337E-7   | 6,924E+5        | 1,226E+5            | 3,524E-2     | 4,310E+0   |                    | 2,942E+1       | 0,000E+0  |           |               |                          | 7,693E+8     |
| TP-101,14-T-411D,Continu falen,Schone grondstof    | R34[D]->D341[D]->D466[O]->D9[D]->D698[D]->W77                   | 3,465E-8   | 1,561E+6        |                     | 7,229E-1     | 5,000E+0   | 1,082E+3           | 2,293E+4       | 0,000E+0  |           |               |                          | 1,735E+9     |
| TP-101,14-T-411D,Continu falen,Schone grondstof    | R34[D]->D341[D]->D466[O]->D9[D]->D698[D]->W77                   | 3,465E-8   | 1,561E+6        | 2,071E+4            | 5,950E-3     | 4,310E+0   |                    | 2,293E+4       | 0,000E+0  |           |               |                          | 1,735E+9     |
| TP-101,14-T-411D,Continu falen,Schone grondstof    | R34[D]->D341[D]->D466[O]->D9[D]->D698[O]->D704[O]->W77          | 3,119E-7   | 1,201E+6        |                     | 5,562E-1     | 5,000E+0   | 1,082E+3           | 1,765E+4       | 0,000E+0  |           |               |                          | 1,335E+9     |
| TP-101,14-T-411D,Continu falen,Schone grondstof    | R34[D]->D341[D]->D466[O]->D9[D]->D698[O]->D704[O]->W77          | 3,119E-7   | 1,201E+6        | 2,071E+4            | 5,950E-3     | 4,310E+0   |                    | 1,765E+4       | 0,000E+0  |           |               |                          | 1,335E+9     |
| TP-101,14-T-411D,Continu falen,Schone grondstof    | R34[D]->D341[D]->D466[O]->D9[D]->D698[D]->W77                   | 1,485E-8   | 8,950E+5        |                     | 4,144E-1     | 5,000E+0   | 6,847E+2           | 2,078E+4       | 0,000E+0  |           |               |                          | 9,945E+8     |
| TP-101,14-T-411D,Continu falen,Schone grondstof    | R34[D]->D341[D]->D466[O]->D9[D]->D698[D]->W77                   | 1,485E-8   | 8,950E+5        | 1,310E+4            | 3,763E-3     | 4,310E+0   |                    | 2,078E+4       | 0,000E+0  |           |               |                          | 9,945E+8     |
| TP-101,14-T-411D,Continu falen,Schone grondstof    | R34[D]->D341[D]->D466[O]->D9[D]->D698[O]->D704[O]->W77          | 1,337E-7   | 5,350E+5        |                     | 2,477E-1     | 5,000E+0   | 6,847E+2           | 1,242E+4       | 0,000E+0  |           |               |                          | 5,945E+8     |
| TP-101,14-T-411D,Continu falen,Schone grondstof    | R34[D]->D341[D]->D466[O]->D9[D]->D698[O]->D704[O]->W77          | 1,337E-7   | 5,350E+5        | 1,310E+4            | 3,763E-3     | 4,310E+0   |                    | 1,242E+4       | 0,000E+0  |           |               |                          | 5,945E+8     |
| TP-101,14-T-411D,Continu falen,Schone grondstof    | R34[D]->D341[D]->D466[D]->D473[O]->D9[D]->D698[D]->W77          | 1,040E-8   | 4,864E+5        |                     | 2,252E-1     | 5,000E+0   | 3,978E+2           | 1,944E+4       | 0,000E+0  |           |               |                          | 5,405E+8     |
| TP-101,14-T-411D,Continu falen,Schone grondstof    | R34[D]->D341[D]->D466[D]->D473[O]->D9[D]->D698[D]->W77          | 1,040E-8   | 4,864E+5        | 7,609E+3            | 2,186E-3     | 4,310E+0   |                    | 1,944E+4       | 0,000E+0  |           |               |                          | 5,405E+8     |
| TP-101,14-T-411D,Continu falen,Schone grondstof    | R34[D]->D341[D]->D466[D]->D473[O]->D9[D]->D698[O]->D704[O]->W77 | 9,356E-8   | 1,264E+5        |                     | 5,854E-2     | 5,000E+0   | 3,978E+2           | 5,054E+3       | 0,000E+0  |           |               |                          | 1,405E+8     |
| TP-101,14-T-411D,Continu falen,Schone grondstof    | R34[D]->D341[D]->D466[D]->D473[O]->D9[D]->D698[O]->D704[O]->W77 | 9,356E-8   | 1,264E+5        | 7,609E+3            | 2,186E-3     | 4,310E+0   |                    | 5,054E+3       | 0,000E+0  |           |               |                          | 1,405E+8     |
| TP-101,14-T-411D,Topping,Schone grondstof          | R34[O]->D573[D]->D341[D]->D466[O]->D9[D]->D698[D]->W77          | 1,750E-7   | 2,069E+6        |                     | 9,579E-1     | 5,000E+0   | 1,916E+4           | 5,111E+1       | 0,000E+0  |           |               |                          | 2,299E+9     |
| TP-101,14-T-411D,Topping,Schone grondstof          | R34[O]->D573[D]->D341[D]->D466[O]->D9[D]->D698[D]->W77          | 1,750E-7   | 2,069E+6        | 3,665E+5            | 1,053E-1     | 4,310E+0   |                    | 5,111E+1       | 0,000E+0  |           |               |                          | 2,299E+9     |

| Group  | Afstroomroute  | Frequentie | Massa uitstroom | Volume contaminatie | MSI Factored | Weegfactor | Oever Contaminatie | Uitstroom tijd | Bluswater | RWZI      |               |                          | LC50 gewogen |
|--|--|------------|-----------------|---------------------|--------------|------------|--------------------|----------------|-----------|-----------|---------------|--------------------------|--------------|
|  |  |            |                 |                     |              |            |                    |                |           | inhibitie | overbelasting | Actief slib beïnvloeding |              |
|  |  | [j-1]      | [kg]            | [m3]                |              |            | [m]                | [s]            | [m3]      |           |               |                          | [m3]         |
| TP-101,14-T-411D,Topping,Schone grondstof          | R34[O]->D573[D]->D341[D]->D466[O]->D9[D]->D698[O]->D704[O]->W77          | 1,575E-6   | 1,709E+6        |                     | 7,913E-1     | 5,000E+0   | 1,583E+4           | 4,222E+1       | 0,000E+0  |           |               |                          | 1,899E+9     |
| TP-101,14-T-411D,Topping,Schone grondstof          | R34[O]->D573[D]->D341[D]->D466[O]->D9[D]->D698[O]->D704[O]->W77          | 1,575E-6   | 1,709E+6        | 3,027E+5            | 8,698E-2     | 4,310E+0   |                    | 4,222E+1       | 0,000E+0  |           |               |                          | 1,899E+9     |
| TP-101,14-T-411D,Topping,Schone grondstof          | R34[O]->D573[D]->D341[D]->D466[O]->D9[D]->D698[D]->W77                   | 7,500E-8   | 2,068E+6        |                     | 9,573E-1     | 5,000E+0   | 1,915E+4           | 5,110E+1       | 0,000E+0  |           |               |                          | 2,297E+9     |
| TP-101,14-T-411D,Topping,Schone grondstof          | R34[O]->D573[D]->D341[D]->D466[O]->D9[D]->D698[D]->W77                   | 7,500E-8   | 2,068E+6        | 3,662E+5            | 1,052E-1     | 4,310E+0   |                    | 5,110E+1       | 0,000E+0  |           |               |                          | 2,297E+9     |
| TP-101,14-T-411D,Topping,Schone grondstof          | R34[O]->D573[D]->D341[D]->D466[O]->D9[D]->D698[O]->D704[O]->W77          | 6,750E-7   | 1,708E+6        |                     | 7,906E-1     | 5,000E+0   | 1,581E+4           | 4,221E+1       | 0,000E+0  |           |               |                          | 1,897E+9     |
| TP-101,14-T-411D,Topping,Schone grondstof          | R34[O]->D573[D]->D341[D]->D466[O]->D9[D]->D698[O]->D704[O]->W77          | 6,750E-7   | 1,708E+6        | 3,024E+5            | 8,691E-2     | 4,310E+0   |                    | 4,221E+1       | 0,000E+0  |           |               |                          | 1,897E+9     |
| TP-101,14-T-411D,Topping,Schone grondstof          | R34[O]->D573[O]->D504[D]->D341[D]->D466[O]->D9[D]->D698[D]->W77          | 1,750E-8   | 2,069E+6        |                     | 9,579E-1     | 5,000E+0   | 1,916E+4           | 5,111E+1       | 0,000E+0  |           |               |                          | 2,299E+9     |
| TP-101,14-T-411D,Topping,Schone grondstof          | R34[O]->D573[O]->D504[D]->D341[D]->D466[O]->D9[D]->D698[D]->W77          | 1,750E-8   | 2,069E+6        | 3,665E+5            | 1,053E-1     | 4,310E+0   |                    | 5,111E+1       | 0,000E+0  |           |               |                          | 2,299E+9     |
| TP-101,14-T-411D,Topping,Schone grondstof          | R34[O]->D573[O]->D504[D]->D341[D]->D466[O]->D9[D]->D698[O]->D704[O]->W77 | 1,575E-7   | 1,709E+6        |                     | 7,913E-1     | 5,000E+0   | 1,583E+4           | 4,222E+1       | 0,000E+0  |           |               |                          | 1,899E+9     |
| TP-101,14-T-411D,Topping,Schone grondstof          | R34[O]->D573[O]->D504[D]->D341[D]->D466[O]->D9[D]->D698[O]->D704[O]->W77 | 1,575E-7   | 1,709E+6        | 3,027E+5            | 8,698E-2     | 4,310E+0   |                    | 4,222E+1       | 0,000E+0  |           |               |                          | 1,899E+9     |
| TP-101,14-T-411D,Topping,Schone grondstof          | R34[O]->D573[O]->D504[D]->D341[D]->D466[O]->D9[D]->D698[D]->W77          | 7,500E-9   | 2,068E+6        |                     | 9,573E-1     | 5,000E+0   | 1,915E+4           | 5,110E+1       | 0,000E+0  |           |               |                          | 2,297E+9     |
| TP-101,14-T-411D,Topping,Schone grondstof          | R34[O]->D573[O]->D504[D]->D341[D]->D466[O]->D9[D]->D698[D]->W77          | 7,500E-9   | 2,068E+6        | 3,662E+5            | 1,052E-1     | 4,310E+0   |                    | 5,110E+1       | 0,000E+0  |           |               |                          | 2,297E+9     |
| TP-101,14-T-411D,Topping,Schone grondstof          | R34[O]->D573[O]->D504[D]->D341[D]->D466[O]->D9[D]->D698[O]->D704[O]->W77 | 6,750E-8   | 1,708E+6        |                     | 7,906E-1     | 5,000E+0   | 1,581E+4           | 4,221E+1       | 0,000E+0  |           |               |                          | 1,897E+9     |
| TP-101,14-T-411D,Topping,Schone grondstof          | R34[O]->D573[O]->D504[D]->D341[D]->D466[O]->D9[D]->D698[O]->D704[O]->W77 | 6,750E-8   | 1,708E+6        | 3,024E+5            | 8,691E-2     | 4,310E+0   |                    | 4,221E+1       | 0,000E+0  |           |               |                          | 1,897E+9     |
| TP-101,14-T-411C,Instantaan falen,Schone grondstof | R34[D]->D341[D]->D466[O]->D9[D]->D698[D]->W77                            | 3,465E-8   | 1,054E+6        |                     | 4,879E-1     | 5,000E+0   | 9,757E+3           | 4,472E+1       | 0,000E+0  |           |               |                          | 1,171E+9     |
| TP-101,14-T-411C,Instantaan falen,Schone grondstof | R34[D]->D341[D]->D466[O]->D9[D]->D698[D]->W77                            | 3,465E-8   | 1,054E+6        | 1,866E+5            | 5,363E-2     | 4,310E+0   |                    | 4,472E+1       | 0,000E+0  |           |               |                          | 1,171E+9     |
| TP-101,14-T-411C,Instantaan falen,Schone grondstof | R34[D]->D341[D]->D466[O]->D9[D]->D698[O]->D704[O]->W77                   | 3,119E-7   | 6,938E+5        |                     | 3,212E-1     | 5,000E+0   | 6,424E+3           | 2,944E+1       | 0,000E+0  |           |               |                          | 7,709E+8     |
| TP-101,14-T-411C,Instantaan falen,Schone grondstof | R34[D]->D341[D]->D466[O]->D9[D]->D698[O]->D704[O]->W77                   | 3,119E-7   | 6,938E+5        | 1,229E+5            | 3,531E-2     | 4,310E+0   |                    | 2,944E+1       | 0,000E+0  |           |               |                          | 7,709E+8     |

| Group  | Afstroomroute   | Frequentie | Massa uitstroom | Volume contaminatie | MSI Factored | Weegfactor | Oever Contaminatie | Uitstroom tijd | Bluswater | RWZI      |               |                          | LC50 gewogen |
|--|---|------------|-----------------|---------------------|--------------|------------|--------------------|----------------|-----------|-----------|---------------|--------------------------|--------------|
|  |   | [j-1]      | [kg]            | [m3]                |              |            | [m]                | [s]            | [m3]      | inhibitie | overbelasting | Actief slib beïnvloeding | [m3]         |
| TP-101,14-T-411C,Instantaan falen,Schone grondstof | R34[D]->D341[D]->D466[O]->D9[D]->D698[D]->W77                   | 1,485E-8   | 1,052E+6        |                     | 4,872E-1     | 5,000E+0   | 9,744E+3           | 4,471E+1       | 0,000E+0  |           |               |                          | 1,169E+9     |
| TP-101,14-T-411C,Instantaan falen,Schone grondstof | R34[D]->D341[D]->D466[O]->D9[D]->D698[D]->W77                   | 1,485E-8   | 1,052E+6        | 1,864E+5            | 5,356E-2     | 4,310E+0   |                    | 4,471E+1       | 0,000E+0  |           |               |                          | 1,169E+9     |
| TP-101,14-T-411C,Instantaan falen,Schone grondstof | R34[D]->D341[D]->D466[O]->D9[D]->D698[O]->D704[O]->W77          | 1,337E-7   | 6,924E+5        |                     | 3,205E-1     | 5,000E+0   | 6,411E+3           | 2,942E+1       | 0,000E+0  |           |               |                          | 7,693E+8     |
| TP-101,14-T-411C,Instantaan falen,Schone grondstof | R34[D]->D341[D]->D466[O]->D9[D]->D698[O]->D704[O]->W77          | 1,337E-7   | 6,924E+5        | 1,226E+5            | 3,524E-2     | 4,310E+0   |                    | 2,942E+1       | 0,000E+0  |           |               |                          | 7,693E+8     |
| TP-101,14-T-411C,Continu falen,Schone grondstof    | R34[D]->D341[D]->D466[O]->D9[D]->D698[D]->W77                   | 3,465E-8   | 1,561E+6        |                     | 7,229E-1     | 5,000E+0   | 1,082E+3           | 2,293E+4       | 0,000E+0  |           |               |                          | 1,735E+9     |
| TP-101,14-T-411C,Continu falen,Schone grondstof    | R34[D]->D341[D]->D466[O]->D9[D]->D698[D]->W77                   | 3,465E-8   | 1,561E+6        | 2,071E+4            | 5,950E-3     | 4,310E+0   |                    | 2,293E+4       | 0,000E+0  |           |               |                          | 1,735E+9     |
| TP-101,14-T-411C,Continu falen,Schone grondstof    | R34[D]->D341[D]->D466[O]->D9[D]->D698[O]->D704[O]->W77          | 3,119E-7   | 1,201E+6        |                     | 5,562E-1     | 5,000E+0   | 1,082E+3           | 1,765E+4       | 0,000E+0  |           |               |                          | 1,335E+9     |
| TP-101,14-T-411C,Continu falen,Schone grondstof    | R34[D]->D341[D]->D466[O]->D9[D]->D698[O]->D704[O]->W77          | 3,119E-7   | 1,201E+6        | 2,071E+4            | 5,950E-3     | 4,310E+0   |                    | 1,765E+4       | 0,000E+0  |           |               |                          | 1,335E+9     |
| TP-101,14-T-411C,Continu falen,Schone grondstof    | R34[D]->D341[D]->D466[O]->D9[D]->D698[D]->W77                   | 1,485E-8   | 8,950E+5        |                     | 4,144E-1     | 5,000E+0   | 6,847E+2           | 2,078E+4       | 0,000E+0  |           |               |                          | 9,945E+8     |
| TP-101,14-T-411C,Continu falen,Schone grondstof    | R34[D]->D341[D]->D466[O]->D9[D]->D698[D]->W77                   | 1,485E-8   | 8,950E+5        | 1,310E+4            | 3,763E-3     | 4,310E+0   |                    | 2,078E+4       | 0,000E+0  |           |               |                          | 9,945E+8     |
| TP-101,14-T-411C,Continu falen,Schone grondstof    | R34[D]->D341[D]->D466[O]->D9[D]->D698[O]->D704[O]->W77          | 1,337E-7   | 5,350E+5        |                     | 2,477E-1     | 5,000E+0   | 6,847E+2           | 1,242E+4       | 0,000E+0  |           |               |                          | 5,945E+8     |
| TP-101,14-T-411C,Continu falen,Schone grondstof    | R34[D]->D341[D]->D466[O]->D9[D]->D698[O]->D704[O]->W77          | 1,337E-7   | 5,350E+5        | 1,310E+4            | 3,763E-3     | 4,310E+0   |                    | 1,242E+4       | 0,000E+0  |           |               |                          | 5,945E+8     |
| TP-101,14-T-411C,Continu falen,Schone grondstof    | R34[D]->D341[D]->D466[D]->D473[O]->D9[D]->D698[D]->W77          | 1,040E-8   | 4,864E+5        |                     | 2,252E-1     | 5,000E+0   | 3,978E+2           | 1,944E+4       | 0,000E+0  |           |               |                          | 5,405E+8     |
| TP-101,14-T-411C,Continu falen,Schone grondstof    | R34[D]->D341[D]->D466[D]->D473[O]->D9[D]->D698[D]->W77          | 1,040E-8   | 4,864E+5        | 7,609E+3            | 2,186E-3     | 4,310E+0   |                    | 1,944E+4       | 0,000E+0  |           |               |                          | 5,405E+8     |
| TP-101,14-T-411C,Continu falen,Schone grondstof    | R34[D]->D341[D]->D466[D]->D473[O]->D9[D]->D698[O]->D704[O]->W77 | 9,356E-8   | 1,264E+5        |                     | 5,854E-2     | 5,000E+0   | 3,978E+2           | 5,054E+3       | 0,000E+0  |           |               |                          | 1,405E+8     |
| TP-101,14-T-411C,Continu falen,Schone grondstof    | R34[D]->D341[D]->D466[D]->D473[O]->D9[D]->D698[O]->D704[O]->W77 | 9,356E-8   | 1,264E+5        | 7,609E+3            | 2,186E-3     | 4,310E+0   |                    | 5,054E+3       | 0,000E+0  |           |               |                          | 1,405E+8     |
| TP-101,14-T-411C,Topping,Schone grondstof          | R34[O]->D573[D]->D341[D]->D466[O]->D9[D]->D698[D]->W77          | 1,750E-7   | 2,069E+6        |                     | 9,579E-1     | 5,000E+0   | 1,916E+4           | 5,111E+1       | 0,000E+0  |           |               |                          | 2,299E+9     |
| TP-101,14-T-411C,Topping,Schone grondstof          | R34[O]->D573[D]->D341[D]->D466[O]->D9[D]->D698[D]->W77          | 1,750E-7   | 2,069E+6        | 3,665E+5            | 1,053E-1     | 4,310E+0   |                    | 5,111E+1       | 0,000E+0  |           |               |                          | 2,299E+9     |
| TP-101,14-T-411C,Topping,Schone grondstof          | R34[O]->D573[D]->D341[D]->D466[O]->D9[D]->D698[O]->D704[O]->W77 | 1,575E-6   | 1,709E+6        |                     | 7,913E-1     | 5,000E+0   | 1,583E+4           | 4,222E+1       | 0,000E+0  |           |               |                          | 1,899E+9     |
| TP-101,14-T-411C,Topping,Schone grondstof          | R34[O]->D573[D]->D341[D]->D466[O]->D9[D]->D698[O]->D704[O]->W77 | 1,575E-6   | 1,709E+6        | 3,027E+5            | 8,698E-2     | 4,310E+0   |                    | 4,222E+1       | 0,000E+0  |           |               |                          | 1,899E+9     |

| Group  | Afstroomroute  | Frequentie | Massa uitstroom | Volume contaminatie | MSI Factored | Weegfactor | Oever Contaminatie | Uitstroom tijd | Bluswater | RWZI      |               |                          | LC50 gewogen |
|--|--|------------|-----------------|---------------------|--------------|------------|--------------------|----------------|-----------|-----------|---------------|--------------------------|--------------|
|  |  |            |                 |                     |              |            |                    |                |           | inhibitie | overbelasting | Actief slib beïnvloeding |              |
|  |  | [j-1]      | [kg]            | [m3]                |              |            | [m]                | [s]            | [m3]      |           |               |                          | [m3]         |
| TP-101,14-T-411C,Topping,Schone grondstof          | R34[O]->D573[D]->D341[D]->D466[O]->D9[D]->D698[D]->W77                   | 7,500E-8   | 2,068E+6        |                     | 9,573E-1     | 5,000E+0   | 1,915E+4           | 5,110E+1       | 0,000E+0  |           |               |                          | 2,297E+9     |
| TP-101,14-T-411C,Topping,Schone grondstof          | R34[O]->D573[D]->D341[D]->D466[O]->D9[D]->D698[D]->W77                   | 7,500E-8   | 2,068E+6        | 3,662E+5            | 1,052E-1     | 4,310E+0   |                    | 5,110E+1       | 0,000E+0  |           |               |                          | 2,297E+9     |
| TP-101,14-T-411C,Topping,Schone grondstof          | R34[O]->D573[D]->D341[D]->D466[O]->D9[D]->D698[O]->D704[O]->W77          | 6,750E-7   | 1,708E+6        |                     | 7,906E-1     | 5,000E+0   | 1,581E+4           | 4,221E+1       | 0,000E+0  |           |               |                          | 1,897E+9     |
| TP-101,14-T-411C,Topping,Schone grondstof          | R34[O]->D573[D]->D341[D]->D466[O]->D9[D]->D698[O]->D704[O]->W77          | 6,750E-7   | 1,708E+6        | 3,024E+5            | 8,691E-2     | 4,310E+0   |                    | 4,221E+1       | 0,000E+0  |           |               |                          | 1,897E+9     |
| TP-101,14-T-411C,Topping,Schone grondstof          | R34[O]->D573[O]->D504[D]->D341[D]->D466[O]->D9[D]->D698[D]->W77          | 1,750E-8   | 2,069E+6        |                     | 9,579E-1     | 5,000E+0   | 1,916E+4           | 5,111E+1       | 0,000E+0  |           |               |                          | 2,299E+9     |
| TP-101,14-T-411C,Topping,Schone grondstof          | R34[O]->D573[O]->D504[D]->D341[D]->D466[O]->D9[D]->D698[D]->W77          | 1,750E-8   | 2,069E+6        | 3,665E+5            | 1,053E-1     | 4,310E+0   |                    | 5,111E+1       | 0,000E+0  |           |               |                          | 2,299E+9     |
| TP-101,14-T-411C,Topping,Schone grondstof          | R34[O]->D573[O]->D504[D]->D341[D]->D466[O]->D9[D]->D698[O]->D704[O]->W77 | 1,575E-7   | 1,709E+6        |                     | 7,913E-1     | 5,000E+0   | 1,583E+4           | 4,222E+1       | 0,000E+0  |           |               |                          | 1,899E+9     |
| TP-101,14-T-411C,Topping,Schone grondstof          | R34[O]->D573[O]->D504[D]->D341[D]->D466[O]->D9[D]->D698[O]->D704[O]->W77 | 1,575E-7   | 1,709E+6        | 3,027E+5            | 8,698E-2     | 4,310E+0   |                    | 4,222E+1       | 0,000E+0  |           |               |                          | 1,899E+9     |
| TP-101,14-T-411C,Topping,Schone grondstof          | R34[O]->D573[O]->D504[D]->D341[D]->D466[O]->D9[D]->D698[D]->W77          | 7,500E-9   | 2,068E+6        |                     | 9,573E-1     | 5,000E+0   | 1,915E+4           | 5,110E+1       | 0,000E+0  |           |               |                          | 2,297E+9     |
| TP-101,14-T-411C,Topping,Schone grondstof          | R34[O]->D573[O]->D504[D]->D341[D]->D466[O]->D9[D]->D698[D]->W77          | 7,500E-9   | 2,068E+6        | 3,662E+5            | 1,052E-1     | 4,310E+0   |                    | 5,110E+1       | 0,000E+0  |           |               |                          | 2,297E+9     |
| TP-101,14-T-411C,Topping,Schone grondstof          | R34[O]->D573[O]->D504[D]->D341[D]->D466[O]->D9[D]->D698[O]->D704[O]->W77 | 6,750E-8   | 1,708E+6        |                     | 7,906E-1     | 5,000E+0   | 1,581E+4           | 4,221E+1       | 0,000E+0  |           |               |                          | 1,897E+9     |
| TP-101,14-T-411C,Topping,Schone grondstof          | R34[O]->D573[O]->D504[D]->D341[D]->D466[O]->D9[D]->D698[O]->D704[O]->W77 | 6,750E-8   | 1,708E+6        | 3,024E+5            | 8,691E-2     | 4,310E+0   |                    | 4,221E+1       | 0,000E+0  |           |               |                          | 1,897E+9     |
| TP-101,14-T-411B,Instantaan falen,Schone grondstof | R34[D]->D341[D]->D466[O]->D9[D]->D698[D]->W77                            | 3,465E-8   | 1,054E+6        |                     | 4,879E-1     | 5,000E+0   | 9,757E+3           | 4,472E+1       | 0,000E+0  |           |               |                          | 1,171E+9     |
| TP-101,14-T-411B,Instantaan falen,Schone grondstof | R34[D]->D341[D]->D466[O]->D9[D]->D698[D]->W77                            | 3,465E-8   | 1,054E+6        | 1,866E+5            | 5,363E-2     | 4,310E+0   |                    | 4,472E+1       | 0,000E+0  |           |               |                          | 1,171E+9     |
| TP-101,14-T-411B,Instantaan falen,Schone grondstof | R34[D]->D341[D]->D466[O]->D9[D]->D698[O]->D704[O]->W77                   | 3,119E-7   | 6,938E+5        |                     | 3,212E-1     | 5,000E+0   | 6,424E+3           | 2,944E+1       | 0,000E+0  |           |               |                          | 7,709E+8     |
| TP-101,14-T-411B,Instantaan falen,Schone grondstof | R34[D]->D341[D]->D466[O]->D9[D]->D698[O]->D704[O]->W77                   | 3,119E-7   | 6,938E+5        | 1,229E+5            | 3,531E-2     | 4,310E+0   |                    | 2,944E+1       | 0,000E+0  |           |               |                          | 7,709E+8     |
| TP-101,14-T-411B,Instantaan falen,Schone grondstof | R34[D]->D341[D]->D466[O]->D9[D]->D698[D]->W77                            | 1,485E-8   | 1,052E+6        |                     | 4,872E-1     | 5,000E+0   | 9,744E+3           | 4,471E+1       | 0,000E+0  |           |               |                          | 1,169E+9     |
| TP-101,14-T-411B,Instantaan falen,Schone grondstof | R34[D]->D341[D]->D466[O]->D9[D]->D698[D]->W77                            | 1,485E-8   | 1,052E+6        | 1,864E+5            | 5,356E-2     | 4,310E+0   |                    | 4,471E+1       | 0,000E+0  |           |               |                          | 1,169E+9     |

| Group  | Afstroomroute   | Frequentie | Massa uitstroom | Volume contaminatie | MSI Factored | Weegfactor | Oever Contaminatie | Uitstroom tijd | Bluswater | RWZI      |               |                          | LC50 gewogen |
|--|---|------------|-----------------|---------------------|--------------|------------|--------------------|----------------|-----------|-----------|---------------|--------------------------|--------------|
|  |   | [j-1]      | [kg]            | [m3]                |              |            | [m]                | [s]            | [m3]      | inhibitie | overbelasting | Actief slib beïnvloeding | [m3]         |
| TP-101,14-T-411B,Instantaan falen,Schone grondstof | R34[D]->D341[D]->D466[O]->D9[D]->D698[O]->D704[O]->W77          | 1,337E-7   | 6,924E+5        |                     | 3,205E-1     | 5,000E+0   | 6,411E+3           | 2,942E+1       | 0,000E+0  |           |               |                          | 7,693E+8     |
| TP-101,14-T-411B,Instantaan falen,Schone grondstof | R34[D]->D341[D]->D466[O]->D9[D]->D698[O]->D704[O]->W77          | 1,337E-7   | 6,924E+5        | 1,226E+5            | 3,524E-2     | 4,310E+0   |                    | 2,942E+1       | 0,000E+0  |           |               |                          | 7,693E+8     |
| TP-101,14-T-411B,Continu falen,Schone grondstof    | R34[D]->D341[D]->D466[O]->D9[D]->D698[D]->W77                   | 3,465E-8   | 1,561E+6        |                     | 7,229E-1     | 5,000E+0   | 1,082E+3           | 2,293E+4       | 0,000E+0  |           |               |                          | 1,735E+9     |
| TP-101,14-T-411B,Continu falen,Schone grondstof    | R34[D]->D341[D]->D466[O]->D9[D]->D698[D]->W77                   | 3,465E-8   | 1,561E+6        | 2,071E+4            | 5,950E-3     | 4,310E+0   |                    | 2,293E+4       | 0,000E+0  |           |               |                          | 1,735E+9     |
| TP-101,14-T-411B,Continu falen,Schone grondstof    | R34[D]->D341[D]->D466[O]->D9[D]->D698[O]->D704[O]->W77          | 3,119E-7   | 1,201E+6        |                     | 5,562E-1     | 5,000E+0   | 1,082E+3           | 1,765E+4       | 0,000E+0  |           |               |                          | 1,335E+9     |
| TP-101,14-T-411B,Continu falen,Schone grondstof    | R34[D]->D341[D]->D466[O]->D9[D]->D698[O]->D704[O]->W77          | 3,119E-7   | 1,201E+6        | 2,071E+4            | 5,950E-3     | 4,310E+0   |                    | 1,765E+4       | 0,000E+0  |           |               |                          | 1,335E+9     |
| TP-101,14-T-411B,Continu falen,Schone grondstof    | R34[D]->D341[D]->D466[O]->D9[D]->D698[D]->W77                   | 1,485E-8   | 8,950E+5        |                     | 4,144E-1     | 5,000E+0   | 6,847E+2           | 2,078E+4       | 0,000E+0  |           |               |                          | 9,945E+8     |
| TP-101,14-T-411B,Continu falen,Schone grondstof    | R34[D]->D341[D]->D466[O]->D9[D]->D698[D]->W77                   | 1,485E-8   | 8,950E+5        | 1,310E+4            | 3,763E-3     | 4,310E+0   |                    | 2,078E+4       | 0,000E+0  |           |               |                          | 9,945E+8     |
| TP-101,14-T-411B,Continu falen,Schone grondstof    | R34[D]->D341[D]->D466[O]->D9[D]->D698[O]->D704[O]->W77          | 1,337E-7   | 5,350E+5        |                     | 2,477E-1     | 5,000E+0   | 6,847E+2           | 1,242E+4       | 0,000E+0  |           |               |                          | 5,945E+8     |
| TP-101,14-T-411B,Continu falen,Schone grondstof    | R34[D]->D341[D]->D466[O]->D9[D]->D698[O]->D704[O]->W77          | 1,337E-7   | 5,350E+5        | 1,310E+4            | 3,763E-3     | 4,310E+0   |                    | 1,242E+4       | 0,000E+0  |           |               |                          | 5,945E+8     |
| TP-101,14-T-411B,Continu falen,Schone grondstof    | R34[D]->D341[D]->D466[D]->D473[O]->D9[D]->D698[D]->W77          | 1,040E-8   | 4,864E+5        |                     | 2,252E-1     | 5,000E+0   | 3,978E+2           | 1,944E+4       | 0,000E+0  |           |               |                          | 5,405E+8     |
| TP-101,14-T-411B,Continu falen,Schone grondstof    | R34[D]->D341[D]->D466[D]->D473[O]->D9[D]->D698[D]->W77          | 1,040E-8   | 4,864E+5        | 7,609E+3            | 2,186E-3     | 4,310E+0   |                    | 1,944E+4       | 0,000E+0  |           |               |                          | 5,405E+8     |
| TP-101,14-T-411B,Continu falen,Schone grondstof    | R34[D]->D341[D]->D466[D]->D473[O]->D9[D]->D698[O]->D704[O]->W77 | 9,356E-8   | 1,264E+5        |                     | 5,854E-2     | 5,000E+0   | 3,978E+2           | 5,054E+3       | 0,000E+0  |           |               |                          | 1,405E+8     |
| TP-101,14-T-411B,Continu falen,Schone grondstof    | R34[D]->D341[D]->D466[D]->D473[O]->D9[D]->D698[O]->D704[O]->W77 | 9,356E-8   | 1,264E+5        | 7,609E+3            | 2,186E-3     | 4,310E+0   |                    | 5,054E+3       | 0,000E+0  |           |               |                          | 1,405E+8     |
| TP-101,14-T-411B,Topping,Schone grondstof          | R34[O]->D573[D]->D341[D]->D466[O]->D9[D]->D698[D]->W77          | 1,750E-7   | 2,069E+6        |                     | 9,579E-1     | 5,000E+0   | 1,916E+4           | 5,111E+1       | 0,000E+0  |           |               |                          | 2,299E+9     |
| TP-101,14-T-411B,Topping,Schone grondstof          | R34[O]->D573[D]->D341[D]->D466[O]->D9[D]->D698[D]->W77          | 1,750E-7   | 2,069E+6        | 3,665E+5            | 1,053E-1     | 4,310E+0   |                    | 5,111E+1       | 0,000E+0  |           |               |                          | 2,299E+9     |
| TP-101,14-T-411B,Topping,Schone grondstof          | R34[O]->D573[D]->D341[D]->D466[O]->D9[D]->D698[O]->D704[O]->W77 | 1,575E-6   | 1,709E+6        |                     | 7,913E-1     | 5,000E+0   | 1,583E+4           | 4,222E+1       | 0,000E+0  |           |               |                          | 1,899E+9     |
| TP-101,14-T-411B,Topping,Schone grondstof          | R34[O]->D573[D]->D341[D]->D466[O]->D9[D]->D698[O]->D704[O]->W77 | 1,575E-6   | 1,709E+6        | 3,027E+5            | 8,698E-2     | 4,310E+0   |                    | 4,222E+1       | 0,000E+0  |           |               |                          | 1,899E+9     |
| TP-101,14-T-411B,Topping,Schone grondstof          | R34[O]->D573[D]->D341[D]->D466[O]->D9[D]->D698[D]->W77          | 7,500E-8   | 2,068E+6        |                     | 9,573E-1     | 5,000E+0   | 1,915E+4           | 5,110E+1       | 0,000E+0  |           |               |                          | 2,297E+9     |

| Group  | Afstroomroute  | Frequentie | Massa uitstroom | Volume contaminatie | MSI Factored | Weegfactor | Oever Contaminatie | Uitstroom tijd | Bluswater | RWZI      |               |                          | LC50 gewogen |
|--|--|------------|-----------------|---------------------|--------------|------------|--------------------|----------------|-----------|-----------|---------------|--------------------------|--------------|
|  |  |            |                 |                     |              |            |                    |                |           | inhibitie | overbelasting | Actief slib beïnvloeding |              |
|  |  | [j-1]      | [kg]            | [m3]                |              |            | [m]                | [s]            | [m3]      |           |               |                          | [m3]         |
| TP-101,14-T-411B,Topping,Schone grondstof          | R34[O]->D573[D]->D341[D]->D466[O]->D9[D]->D698[D]->W77                   | 7,500E-8   | 2,068E+6        | 3,662E+5            | 1,052E-1     | 4,310E+0   |                    | 5,110E+1       | 0,000E+0  |           |               |                          | 2,297E+9     |
| TP-101,14-T-411B,Topping,Schone grondstof          | R34[O]->D573[D]->D341[D]->D466[O]->D9[D]->D698[O]->D704[O]->W77          | 6,750E-7   | 1,708E+6        |                     | 7,906E-1     | 5,000E+0   | 1,581E+4           | 4,221E+1       | 0,000E+0  |           |               |                          | 1,897E+9     |
| TP-101,14-T-411B,Topping,Schone grondstof          | R34[O]->D573[D]->D341[D]->D466[O]->D9[D]->D698[O]->D704[O]->W77          | 6,750E-7   | 1,708E+6        | 3,024E+5            | 8,691E-2     | 4,310E+0   |                    | 4,221E+1       | 0,000E+0  |           |               |                          | 1,897E+9     |
| TP-101,14-T-411B,Topping,Schone grondstof          | R34[O]->D573[O]->D504[D]->D341[D]->D466[O]->D9[D]->D698[D]->W77          | 1,750E-8   | 2,069E+6        |                     | 9,579E-1     | 5,000E+0   | 1,916E+4           | 5,111E+1       | 0,000E+0  |           |               |                          | 2,299E+9     |
| TP-101,14-T-411B,Topping,Schone grondstof          | R34[O]->D573[O]->D504[D]->D341[D]->D466[O]->D9[D]->D698[D]->W77          | 1,750E-8   | 2,069E+6        | 3,665E+5            | 1,053E-1     | 4,310E+0   |                    | 5,111E+1       | 0,000E+0  |           |               |                          | 2,299E+9     |
| TP-101,14-T-411B,Topping,Schone grondstof          | R34[O]->D573[O]->D504[D]->D341[D]->D466[O]->D9[D]->D698[O]->D704[O]->W77 | 1,575E-7   | 1,709E+6        |                     | 7,913E-1     | 5,000E+0   | 1,583E+4           | 4,222E+1       | 0,000E+0  |           |               |                          | 1,899E+9     |
| TP-101,14-T-411B,Topping,Schone grondstof          | R34[O]->D573[O]->D504[D]->D341[D]->D466[O]->D9[D]->D698[O]->D704[O]->W77 | 1,575E-7   | 1,709E+6        | 3,027E+5            | 8,698E-2     | 4,310E+0   |                    | 4,222E+1       | 0,000E+0  |           |               |                          | 1,899E+9     |
| TP-101,14-T-411B,Topping,Schone grondstof          | R34[O]->D573[O]->D504[D]->D341[D]->D466[O]->D9[D]->D698[D]->W77          | 7,500E-9   | 2,068E+6        |                     | 9,573E-1     | 5,000E+0   | 1,915E+4           | 5,110E+1       | 0,000E+0  |           |               |                          | 2,297E+9     |
| TP-101,14-T-411B,Topping,Schone grondstof          | R34[O]->D573[O]->D504[D]->D341[D]->D466[O]->D9[D]->D698[D]->W77          | 7,500E-9   | 2,068E+6        | 3,662E+5            | 1,052E-1     | 4,310E+0   |                    | 5,110E+1       | 0,000E+0  |           |               |                          | 2,297E+9     |
| TP-101,14-T-411B,Topping,Schone grondstof          | R34[O]->D573[O]->D504[D]->D341[D]->D466[O]->D9[D]->D698[O]->D704[O]->W77 | 6,750E-8   | 1,708E+6        |                     | 7,906E-1     | 5,000E+0   | 1,581E+4           | 4,221E+1       | 0,000E+0  |           |               |                          | 1,897E+9     |
| TP-101,14-T-411B,Topping,Schone grondstof          | R34[O]->D573[O]->D504[D]->D341[D]->D466[O]->D9[D]->D698[O]->D704[O]->W77 | 6,750E-8   | 1,708E+6        | 3,024E+5            | 8,691E-2     | 4,310E+0   |                    | 4,221E+1       | 0,000E+0  |           |               |                          | 1,897E+9     |
| TP-101,14-T-411A,Instantaan falen,Schone grondstof | R34[D]->D341[D]->D466[O]->D9[D]->D698[D]->W77                            | 3,465E-8   | 1,054E+6        |                     | 4,879E-1     | 5,000E+0   | 9,757E+3           | 4,472E+1       | 0,000E+0  |           |               |                          | 1,171E+9     |
| TP-101,14-T-411A,Instantaan falen,Schone grondstof | R34[D]->D341[D]->D466[O]->D9[D]->D698[D]->W77                            | 3,465E-8   | 1,054E+6        | 1,866E+5            | 5,363E-2     | 4,310E+0   |                    | 4,472E+1       | 0,000E+0  |           |               |                          | 1,171E+9     |
| TP-101,14-T-411A,Instantaan falen,Schone grondstof | R34[D]->D341[D]->D466[O]->D9[D]->D698[O]->D704[O]->W77                   | 3,119E-7   | 6,938E+5        |                     | 3,212E-1     | 5,000E+0   | 6,424E+3           | 2,944E+1       | 0,000E+0  |           |               |                          | 7,709E+8     |
| TP-101,14-T-411A,Instantaan falen,Schone grondstof | R34[D]->D341[D]->D466[O]->D9[D]->D698[O]->D704[O]->W77                   | 3,119E-7   | 6,938E+5        | 1,229E+5            | 3,531E-2     | 4,310E+0   |                    | 2,944E+1       | 0,000E+0  |           |               |                          | 7,709E+8     |
| TP-101,14-T-411A,Instantaan falen,Schone grondstof | R34[D]->D341[D]->D466[O]->D9[D]->D698[D]->W77                            | 1,485E-8   | 1,052E+6        |                     | 4,872E-1     | 5,000E+0   | 9,744E+3           | 4,471E+1       | 0,000E+0  |           |               |                          | 1,169E+9     |
| TP-101,14-T-411A,Instantaan falen,Schone grondstof | R34[D]->D341[D]->D466[O]->D9[D]->D698[D]->W77                            | 1,485E-8   | 1,052E+6        | 1,864E+5            | 5,356E-2     | 4,310E+0   |                    | 4,471E+1       | 0,000E+0  |           |               |                          | 1,169E+9     |
| TP-101,14-T-411A,Instantaan falen,Schone grondstof | R34[D]->D341[D]->D466[O]->D9[D]->D698[O]->D704[O]->W77                   | 1,337E-7   | 6,924E+5        |                     | 3,205E-1     | 5,000E+0   | 6,411E+3           | 2,942E+1       | 0,000E+0  |           |               |                          | 7,693E+8     |
| TP-101,14-T-411A,Instantaan falen,Schone grondstof | R34[D]->D341[D]->D466[O]->D9[D]->D698[O]->D704[O]->W77                   | 1,337E-7   | 6,924E+5        | 1,226E+5            | 3,524E-2     | 4,310E+0   |                    | 2,942E+1       | 0,000E+0  |           |               |                          | 7,693E+8     |

| Group   | Afstroomroute   | Frequentie | Massa uitstroom | Volume contaminatie | MSI Factored | Weegfactor | Oever Contaminatie | Uitstroom tijd | Bluswater | RWZI      |               |                          | LC50 gewogen |
|---|---|------------|-----------------|---------------------|--------------|------------|--------------------|----------------|-----------|-----------|---------------|--------------------------|--------------|
|   |   |            |                 |                     |              |            |                    |                |           | inhibitie | overbelasting | Actief slib beïnvloeding |              |
|   |   | [j-1]      | [kg]            | [m3]                |              |            | [m]                | [s]            | [m3]      |           |               |                          | [m3]         |
| TP-101,14-T-411A,Continu falen,Schone grondstof | R34[D]->D341[D]->D466[O]->D9[D]->D698[D]->W77                   | 3,465E-8   | 1,561E+6        |                     | 7,229E-1     | 5,000E+0   | 1,082E+3           | 2,293E+4       | 0,000E+0  |           |               |                          | 1,735E+9     |
| TP-101,14-T-411A,Continu falen,Schone grondstof | R34[D]->D341[D]->D466[O]->D9[D]->D698[D]->W77                   | 3,465E-8   | 1,561E+6        | 2,071E+4            | 5,950E-3     | 4,310E+0   |                    | 2,293E+4       | 0,000E+0  |           |               |                          | 1,735E+9     |
| TP-101,14-T-411A,Continu falen,Schone grondstof | R34[D]->D341[D]->D466[O]->D9[D]->D698[O]->D704[O]->W77          | 3,119E-7   | 1,201E+6        |                     | 5,562E-1     | 5,000E+0   | 1,082E+3           | 1,765E+4       | 0,000E+0  |           |               |                          | 1,335E+9     |
| TP-101,14-T-411A,Continu falen,Schone grondstof | R34[D]->D341[D]->D466[O]->D9[D]->D698[O]->D704[O]->W77          | 3,119E-7   | 1,201E+6        | 2,071E+4            | 5,950E-3     | 4,310E+0   |                    | 1,765E+4       | 0,000E+0  |           |               |                          | 1,335E+9     |
| TP-101,14-T-411A,Continu falen,Schone grondstof | R34[D]->D341[D]->D466[O]->D9[D]->D698[D]->W77                   | 1,485E-8   | 8,950E+5        |                     | 4,144E-1     | 5,000E+0   | 6,847E+2           | 2,078E+4       | 0,000E+0  |           |               |                          | 9,945E+8     |
| TP-101,14-T-411A,Continu falen,Schone grondstof | R34[D]->D341[D]->D466[O]->D9[D]->D698[D]->W77                   | 1,485E-8   | 8,950E+5        | 1,310E+4            | 3,763E-3     | 4,310E+0   |                    | 2,078E+4       | 0,000E+0  |           |               |                          | 9,945E+8     |
| TP-101,14-T-411A,Continu falen,Schone grondstof | R34[D]->D341[D]->D466[O]->D9[D]->D698[O]->D704[O]->W77          | 1,337E-7   | 5,350E+5        |                     | 2,477E-1     | 5,000E+0   | 6,847E+2           | 1,242E+4       | 0,000E+0  |           |               |                          | 5,945E+8     |
| TP-101,14-T-411A,Continu falen,Schone grondstof | R34[D]->D341[D]->D466[O]->D9[D]->D698[O]->D704[O]->W77          | 1,337E-7   | 5,350E+5        | 1,310E+4            | 3,763E-3     | 4,310E+0   |                    | 1,242E+4       | 0,000E+0  |           |               |                          | 5,945E+8     |
| TP-101,14-T-411A,Continu falen,Schone grondstof | R34[D]->D341[D]->D466[D]->D473[O]->D9[D]->D698[D]->W77          | 1,040E-8   | 4,864E+5        |                     | 2,252E-1     | 5,000E+0   | 3,978E+2           | 1,944E+4       | 0,000E+0  |           |               |                          | 5,405E+8     |
| TP-101,14-T-411A,Continu falen,Schone grondstof | R34[D]->D341[D]->D466[D]->D473[O]->D9[D]->D698[D]->W77          | 1,040E-8   | 4,864E+5        | 7,609E+3            | 2,186E-3     | 4,310E+0   |                    | 1,944E+4       | 0,000E+0  |           |               |                          | 5,405E+8     |
| TP-101,14-T-411A,Continu falen,Schone grondstof | R34[D]->D341[D]->D466[D]->D473[O]->D9[D]->D698[O]->D704[O]->W77 | 9,356E-8   | 1,264E+5        |                     | 5,854E-2     | 5,000E+0   | 3,978E+2           | 5,054E+3       | 0,000E+0  |           |               |                          | 1,405E+8     |
| TP-101,14-T-411A,Continu falen,Schone grondstof | R34[D]->D341[D]->D466[D]->D473[O]->D9[D]->D698[O]->D704[O]->W77 | 9,356E-8   | 1,264E+5        | 7,609E+3            | 2,186E-3     | 4,310E+0   |                    | 5,054E+3       | 0,000E+0  |           |               |                          | 1,405E+8     |
| TP-101,14-T-411A,Topping,Schone grondstof       | R34[O]->D573[D]->D341[D]->D466[O]->D9[D]->D698[D]->W77          | 1,750E-7   | 2,069E+6        |                     | 9,579E-1     | 5,000E+0   | 1,916E+4           | 5,111E+1       | 0,000E+0  |           |               |                          | 2,299E+9     |
| TP-101,14-T-411A,Topping,Schone grondstof       | R34[O]->D573[D]->D341[D]->D466[O]->D9[D]->D698[D]->W77          | 1,750E-7   | 2,069E+6        | 3,665E+5            | 1,053E-1     | 4,310E+0   |                    | 5,111E+1       | 0,000E+0  |           |               |                          | 2,299E+9     |
| TP-101,14-T-411A,Topping,Schone grondstof       | R34[O]->D573[D]->D341[D]->D466[O]->D9[D]->D698[O]->D704[O]->W77 | 1,575E-6   | 1,709E+6        |                     | 7,913E-1     | 5,000E+0   | 1,583E+4           | 4,222E+1       | 0,000E+0  |           |               |                          | 1,899E+9     |
| TP-101,14-T-411A,Topping,Schone grondstof       | R34[O]->D573[D]->D341[D]->D466[O]->D9[D]->D698[O]->D704[O]->W77 | 1,575E-6   | 1,709E+6        | 3,027E+5            | 8,698E-2     | 4,310E+0   |                    | 4,222E+1       | 0,000E+0  |           |               |                          | 1,899E+9     |
| TP-101,14-T-411A,Topping,Schone grondstof       | R34[O]->D573[D]->D341[D]->D466[O]->D9[D]->D698[D]->W77          | 7,500E-8   | 2,068E+6        |                     | 9,573E-1     | 5,000E+0   | 1,915E+4           | 5,110E+1       | 0,000E+0  |           |               |                          | 2,297E+9     |
| TP-101,14-T-411A,Topping,Schone grondstof       | R34[O]->D573[D]->D341[D]->D466[O]->D9[D]->D698[D]->W77          | 7,500E-8   | 2,068E+6        | 3,662E+5            | 1,052E-1     | 4,310E+0   |                    | 5,110E+1       | 0,000E+0  |           |               |                          | 2,297E+9     |
| TP-101,14-T-411A,Topping,Schone grondstof       | R34[O]->D573[D]->D341[D]->D466[O]->D9[D]->D698[O]->D704[O]->W77 | 6,750E-7   | 1,708E+6        |                     | 7,906E-1     | 5,000E+0   | 1,581E+4           | 4,221E+1       | 0,000E+0  |           |               |                          | 1,897E+9     |

| Group  | Afstroomroute  | Frequentie | Massa uitstroom | Volume contaminatie | MSI Factored | Weegfactor | Oever Contaminatie | Uitstroom tijd | Bluswater | RWZI      |               |                          | LC50 gewogen |
|--|--|------------|-----------------|---------------------|--------------|------------|--------------------|----------------|-----------|-----------|---------------|--------------------------|--------------|
|  |  |            |                 |                     |              |            |                    |                |           | inhibitie | overbelasting | Actief slib beïnvloeding |              |
|  |  | [j-1]      | [kg]            | [m3]                |              |            | [m]                | [s]            | [m3]      |           |               |                          | [m3]         |
| TP-101,14-T-411A,Topping,Schone grondstof    | R34[O]->D573[D]->D341[D]->D466[O]->D9[D]->D698[O]->D704[O]->W77          | 6,750E-7   | 1,708E+6        | 3,024E+5            | 8,691E-2     | 4,310E+0   |                    | 4,221E+1       | 0,000E+0  |           |               |                          | 1,897E+9     |
| TP-101,14-T-411A,Topping,Schone grondstof    | R34[O]->D573[O]->D504[D]->D341[D]->D466[O]->D9[D]->D698[D]->W77          | 1,750E-8   | 2,069E+6        |                     | 9,579E-1     | 5,000E+0   | 1,916E+4           | 5,111E+1       | 0,000E+0  |           |               |                          | 2,299E+9     |
| TP-101,14-T-411A,Topping,Schone grondstof    | R34[O]->D573[O]->D504[D]->D341[D]->D466[O]->D9[D]->D698[D]->W77          | 1,750E-8   | 2,069E+6        | 3,665E+5            | 1,053E-1     | 4,310E+0   |                    | 5,111E+1       | 0,000E+0  |           |               |                          | 2,299E+9     |
| TP-101,14-T-411A,Topping,Schone grondstof    | R34[O]->D573[O]->D504[D]->D341[D]->D466[O]->D9[D]->D698[O]->D704[O]->W77 | 1,575E-7   | 1,709E+6        |                     | 7,913E-1     | 5,000E+0   | 1,583E+4           | 4,222E+1       | 0,000E+0  |           |               |                          | 1,899E+9     |
| TP-101,14-T-411A,Topping,Schone grondstof    | R34[O]->D573[O]->D504[D]->D341[D]->D466[O]->D9[D]->D698[O]->D704[O]->W77 | 1,575E-7   | 1,709E+6        | 3,027E+5            | 8,698E-2     | 4,310E+0   |                    | 4,222E+1       | 0,000E+0  |           |               |                          | 1,899E+9     |
| TP-101,14-T-411A,Topping,Schone grondstof    | R34[O]->D573[O]->D504[D]->D341[D]->D466[O]->D9[D]->D698[D]->W77          | 7,500E-9   | 2,068E+6        |                     | 9,573E-1     | 5,000E+0   | 1,915E+4           | 5,110E+1       | 0,000E+0  |           |               |                          | 2,297E+9     |
| TP-101,14-T-411A,Topping,Schone grondstof    | R34[O]->D573[O]->D504[D]->D341[D]->D466[O]->D9[D]->D698[D]->W77          | 7,500E-9   | 2,068E+6        | 3,662E+5            | 1,052E-1     | 4,310E+0   |                    | 5,110E+1       | 0,000E+0  |           |               |                          | 2,297E+9     |
| TP-101,14-T-411A,Topping,Schone grondstof    | R34[O]->D573[O]->D504[D]->D341[D]->D466[O]->D9[D]->D698[O]->D704[O]->W77 | 6,750E-8   | 1,708E+6        |                     | 7,906E-1     | 5,000E+0   | 1,581E+4           | 4,221E+1       | 0,000E+0  |           |               |                          | 1,897E+9     |
| TP-101,14-T-411A,Topping,Schone grondstof    | R34[O]->D573[O]->D504[D]->D341[D]->D466[O]->D9[D]->D698[O]->D704[O]->W77 | 6,750E-8   | 1,708E+6        | 3,024E+5            | 8,691E-2     | 4,310E+0   |                    | 4,221E+1       | 0,000E+0  |           |               |                          | 1,897E+9     |
| TP-101,14-T-171,Continu falen,Ruwe grondstof | R34[D]->D341[D]->D466[O]->D9[D]->D698[D]->W77                            | 3,500E-8   | 7,650E+4        |                     | 3,542E-2     | 5,000E+0   | 7,083E+2           | 1,225E+3       | 0,000E+0  |           |               |                          | 8,500E+7     |
| TP-101,14-T-171,Continu falen,Ruwe grondstof | R34[D]->D341[D]->D466[O]->D9[D]->D698[D]->W77                            | 3,500E-8   | 7,650E+4        | 1,355E+4            | 3,893E-3     | 4,310E+0   |                    | 1,225E+3       | 0,000E+0  |           |               |                          | 8,500E+7     |
| TP-101,14-T-171,Topping,Ruwe grondstof       | R34[O]->D573[D]->D341[D]->D466[O]->D9[D]->D698[D]->W77                   | 1,750E-7   | 1,708E+5        |                     | 7,907E-2     | 5,000E+0   | 1,581E+3           | 1,931E+1       | 0,000E+0  |           |               |                          | 1,898E+8     |
| TP-101,14-T-171,Topping,Ruwe grondstof       | R34[O]->D573[D]->D341[D]->D466[O]->D9[D]->D698[D]->W77                   | 1,750E-7   | 1,708E+5        | 3,025E+4            | 8,692E-3     | 4,310E+0   |                    | 1,931E+1       | 0,000E+0  |           |               |                          | 1,898E+8     |
| TP-101,14-T-171,Topping,Ruwe grondstof       | R34[O]->D573[D]->D341[D]->D466[O]->D9[D]->D698[D]->W77                   | 7,500E-8   | 1,696E+5        |                     | 7,851E-2     | 5,000E+0   | 1,570E+3           | 1,923E+1       | 0,000E+0  |           |               |                          | 1,884E+8     |
| TP-101,14-T-171,Topping,Ruwe grondstof       | R34[O]->D573[D]->D341[D]->D466[O]->D9[D]->D698[D]->W77                   | 7,500E-8   | 1,696E+5        | 3,003E+4            | 8,630E-3     | 4,310E+0   |                    | 1,923E+1       | 0,000E+0  |           |               |                          | 1,884E+8     |
| TP-101,14-T-171,Topping,Ruwe grondstof       | R34[O]->D573[O]->D504[D]->D341[D]->D466[O]->D9[D]->D698[D]->W77          | 1,750E-8   | 1,708E+5        |                     | 7,907E-2     | 5,000E+0   | 1,581E+3           | 1,931E+1       | 0,000E+0  |           |               |                          | 1,898E+8     |
| TP-101,14-T-171,Topping,Ruwe grondstof       | R34[O]->D573[O]->D504[D]->D341[D]->D466[O]->D9[D]->D698[D]->W77          | 1,750E-8   | 1,708E+5        | 3,025E+4            | 8,692E-3     | 4,310E+0   |                    | 1,931E+1       | 0,000E+0  |           |               |                          | 1,898E+8     |



| Group  | Afstroomroute   | Frequentie | Massa uitstroom | Volume contaminatie | MSI Factored | Weegfactor | Oever Contaminatie | Uitstroom tijd | Bluswater | RWZI      |               |                          | LC50 gewogen |
|--|---|------------|-----------------|---------------------|--------------|------------|--------------------|----------------|-----------|-----------|---------------|--------------------------|--------------|
|  |   |            |                 |                     |              |            |                    |                |           | inhibitie | overbelasting | Actief slib beïnvloeding |              |
|  |   | [j-1]      | [kg]            | [m3]                |              |            | [m]                | [s]            | [m3]      |           |               |                          | [m3]         |
| TP-101,14-T-171,Topping,Ruwe grondstof           | R34[O]->D573[O]->D504[D]->D341[D]->D466[O]->D9[D]->D698[D]->W77 | 7,500E-9   | 1,696E+5        |                     | 7,851E-2     | 5,000E+0   | 1,570E+3           | 1,923E+1       | 0,000E+0  |           |               |                          | 1,884E+8     |
| TP-101,14-T-171,Topping,Ruwe grondstof           | R34[O]->D573[O]->D504[D]->D341[D]->D466[O]->D9[D]->D698[D]->W77 | 7,500E-9   | 1,696E+5        | 3,003E+4            | 8,630E-3     | 4,310E+0   |                    | 1,923E+1       | 0,000E+0  |           |               |                          | 1,884E+8     |
| TP-101,14-T-211D,Instantaan falen,Ruwe grondstof | R34[D]->D341[D]->D466[O]->D9[D]->D698[D]->W77                   | 3,500E-8   | 1,053E+6        |                     | 4,876E-1     | 5,000E+0   | 9,751E+3           | 4,471E+1       | 0,000E+0  |           |               |                          | 1,170E+9     |
| TP-101,14-T-211D,Instantaan falen,Ruwe grondstof | R34[D]->D341[D]->D466[O]->D9[D]->D698[D]->W77                   | 3,500E-8   | 1,053E+6        | 1,865E+5            | 5,360E-2     | 4,310E+0   |                    | 4,471E+1       | 0,000E+0  |           |               |                          | 1,170E+9     |
| TP-101,14-T-211D,Instantaan falen,Ruwe grondstof | R34[D]->D341[D]->D466[O]->D9[D]->D698[O]->D704[O]->W77          | 3,150E-7   | 6,931E+5        |                     | 3,209E-1     | 5,000E+0   | 6,418E+3           | 2,943E+1       | 0,000E+0  |           |               |                          | 7,702E+8     |
| TP-101,14-T-211D,Instantaan falen,Ruwe grondstof | R34[D]->D341[D]->D466[O]->D9[D]->D698[O]->D704[O]->W77          | 3,150E-7   | 6,931E+5        | 1,228E+5            | 3,528E-2     | 4,310E+0   |                    | 2,943E+1       | 0,000E+0  |           |               |                          | 7,702E+8     |
| TP-101,14-T-211D,Instantaan falen,Ruwe grondstof | R34[D]->D341[D]->D466[O]->D9[D]->D698[D]->W77                   | 1,500E-8   | 1,052E+6        |                     | 4,869E-1     | 5,000E+0   | 9,738E+3           | 4,470E+1       | 0,000E+0  |           |               |                          | 1,169E+9     |
| TP-101,14-T-211D,Instantaan falen,Ruwe grondstof | R34[D]->D341[D]->D466[O]->D9[D]->D698[D]->W77                   | 1,500E-8   | 1,052E+6        | 1,863E+5            | 5,353E-2     | 4,310E+0   |                    | 4,470E+1       | 0,000E+0  |           |               |                          | 1,169E+9     |
| TP-101,14-T-211D,Instantaan falen,Ruwe grondstof | R34[D]->D341[D]->D466[O]->D9[D]->D698[O]->D704[O]->W77          | 1,350E-7   | 6,917E+5        |                     | 3,202E-1     | 5,000E+0   | 6,405E+3           | 2,940E+1       | 0,000E+0  |           |               |                          | 7,686E+8     |
| TP-101,14-T-211D,Instantaan falen,Ruwe grondstof | R34[D]->D341[D]->D466[O]->D9[D]->D698[O]->D704[O]->W77          | 1,350E-7   | 6,917E+5        | 1,225E+5            | 3,520E-2     | 4,310E+0   |                    | 2,940E+1       | 0,000E+0  |           |               |                          | 7,686E+8     |
| TP-101,14-T-211D,Continu falen,Ruwe grondstof    | R34[D]->D341[D]->D466[O]->D9[D]->D698[D]->W77                   | 3,500E-8   | 1,561E+6        |                     | 7,225E-1     | 5,000E+0   | 2,782E+3           | 1,019E+4       | 0,000E+0  |           |               |                          | 1,734E+9     |
| TP-101,14-T-211D,Continu falen,Ruwe grondstof    | R34[D]->D341[D]->D466[O]->D9[D]->D698[D]->W77                   | 3,500E-8   | 1,561E+6        | 5,321E+4            | 1,529E-2     | 4,310E+0   |                    | 1,019E+4       | 0,000E+0  |           |               |                          | 1,734E+9     |
| TP-101,14-T-211D,Continu falen,Ruwe grondstof    | R34[D]->D341[D]->D466[O]->D9[D]->D698[O]->D704[O]->W77          | 3,150E-7   | 1,201E+6        |                     | 5,558E-1     | 5,000E+0   | 2,782E+3           | 7,837E+3       | 0,000E+0  |           |               |                          | 1,334E+9     |
| TP-101,14-T-211D,Continu falen,Ruwe grondstof    | R34[D]->D341[D]->D466[O]->D9[D]->D698[O]->D704[O]->W77          | 3,150E-7   | 1,201E+6        | 5,321E+4            | 1,529E-2     | 4,310E+0   |                    | 7,837E+3       | 0,000E+0  |           |               |                          | 1,334E+9     |
| TP-101,14-T-211D,Continu falen,Ruwe grondstof    | R34[D]->D341[D]->D466[O]->D9[D]->D698[D]->W77                   | 1,500E-8   | 1,265E+6        |                     | 5,854E-1     | 5,000E+0   | 2,327E+3           | 9,866E+3       | 0,000E+0  |           |               |                          | 1,405E+9     |
| TP-101,14-T-211D,Continu falen,Ruwe grondstof    | R34[D]->D341[D]->D466[O]->D9[D]->D698[D]->W77                   | 1,500E-8   | 1,265E+6        | 4,452E+4            | 1,279E-2     | 4,310E+0   |                    | 9,866E+3       | 0,000E+0  |           |               |                          | 1,405E+9     |
| TP-101,14-T-211D,Continu falen,Ruwe grondstof    | R34[D]->D341[D]->D466[O]->D9[D]->D698[O]->D704[O]->W77          | 1,350E-7   | 9,045E+5        |                     | 4,188E-1     | 5,000E+0   | 2,327E+3           | 7,057E+3       | 0,000E+0  |           |               |                          | 1,005E+9     |
| TP-101,14-T-211D,Continu falen,Ruwe grondstof    | R34[D]->D341[D]->D466[O]->D9[D]->D698[O]->D704[O]->W77          | 1,350E-7   | 9,045E+5        | 4,452E+4            | 1,279E-2     | 4,310E+0   |                    | 7,057E+3       | 0,000E+0  |           |               |                          | 1,005E+9     |
| TP-101,14-T-211D,Continu falen,Ruwe grondstof    | R34[D]->D341[D]->D466[D]->D473[O]->D9[D]->D698[D]->W77          | 1,050E-8   | 1,161E+5        |                     | 5,374E-2     | 5,000E+0   | 4,543E+2           | 4,639E+3       | 0,000E+0  |           |               |                          | 1,290E+8     |
| TP-101,14-T-211D,Continu falen,Ruwe grondstof    | R34[D]->D341[D]->D466[D]->D473[O]->D9[D]->D698[D]->W77          | 1,050E-8   | 1,161E+5        | 8,691E+3            | 2,497E-3     | 4,310E+0   |                    | 4,639E+3       | 0,000E+0  |           |               |                          | 1,290E+8     |
| TP-101,14-T-211D,Topping,Ruwe grondstof          | R34[O]->D573[D]->D341[D]->D466[O]->D9[D]->D698[D]->W77          | 1,750E-7   | 2,068E+6        |                     | 9,574E-1     | 5,000E+0   | 1,915E+4           | 5,110E+1       | 0,000E+0  |           |               |                          | 2,298E+9     |

| Group  | Afstroomroute  | Frequentie | Massa uitstroom | Volume contaminatie | MSI Factored | Weegfactor | Oever Contaminatie | Uitstroom tijd | Bluswater | RWZI      |               |                          | LC50 gewogen |
|--|--|------------|-----------------|---------------------|--------------|------------|--------------------|----------------|-----------|-----------|---------------|--------------------------|--------------|
|  |  |            |                 |                     |              |            |                    |                |           | inhibitie | overbelasting | Actief slib beïnvloeding |              |
|  |  | [j-1]      | [kg]            | [m3]                |              |            | [m]                | [s]            | [m3]      |           |               |                          | [m3]         |
| TP-101,14-T-211D,Topping,Ruwe grondstof          | R34[O]->D573[D]->D341[D]->D466[O]->D9[D]->D698[D]->W77                   | 1,750E-7   | 2,068E+6        | 3,663E+5            | 1,053E-1     | 4,310E+0   |                    | 5,110E+1       | 0,000E+0  |           |               |                          | 2,298E+9     |
| TP-101,14-T-211D,Topping,Ruwe grondstof          | R34[O]->D573[D]->D341[D]->D466[O]->D9[D]->D698[O]->D704[O]->W77          | 1,575E-6   | 1,708E+6        |                     | 7,908E-1     | 5,000E+0   | 1,582E+4           | 4,221E+1       | 0,000E+0  |           |               |                          | 1,898E+9     |
| TP-101,14-T-211D,Topping,Ruwe grondstof          | R34[O]->D573[D]->D341[D]->D466[O]->D9[D]->D698[O]->D704[O]->W77          | 1,575E-6   | 1,708E+6        | 3,025E+5            | 8,693E-2     | 4,310E+0   |                    | 4,221E+1       | 0,000E+0  |           |               |                          | 1,898E+9     |
| TP-101,14-T-211D,Topping,Ruwe grondstof          | R34[O]->D573[D]->D341[D]->D466[O]->D9[D]->D698[D]->W77                   | 7,500E-8   | 2,067E+6        |                     | 9,568E-1     | 5,000E+0   | 1,914E+4           | 5,110E+1       | 0,000E+0  |           |               |                          | 2,296E+9     |
| TP-101,14-T-211D,Topping,Ruwe grondstof          | R34[O]->D573[D]->D341[D]->D466[O]->D9[D]->D698[D]->W77                   | 7,500E-8   | 2,067E+6        | 3,660E+5            | 1,052E-1     | 4,310E+0   |                    | 5,110E+1       | 0,000E+0  |           |               |                          | 2,296E+9     |
| TP-101,14-T-211D,Topping,Ruwe grondstof          | R34[O]->D573[D]->D341[D]->D466[O]->D9[D]->D698[O]->D704[O]->W77          | 6,750E-7   | 1,707E+6        |                     | 7,901E-1     | 5,000E+0   | 1,580E+4           | 4,220E+1       | 0,000E+0  |           |               |                          | 1,896E+9     |
| TP-101,14-T-211D,Topping,Ruwe grondstof          | R34[O]->D573[D]->D341[D]->D466[O]->D9[D]->D698[O]->D704[O]->W77          | 6,750E-7   | 1,707E+6        | 3,023E+5            | 8,685E-2     | 4,310E+0   |                    | 4,220E+1       | 0,000E+0  |           |               |                          | 1,896E+9     |
| TP-101,14-T-211D,Topping,Ruwe grondstof          | R34[O]->D573[O]->D504[D]->D341[D]->D466[O]->D9[D]->D698[D]->W77          | 1,750E-8   | 2,068E+6        | 3,663E+5            | 1,053E-1     | 4,310E+0   |                    | 5,110E+1       | 0,000E+0  |           |               |                          | 2,298E+9     |
| TP-101,14-T-211D,Topping,Ruwe grondstof          | R34[O]->D573[O]->D504[D]->D341[D]->D466[O]->D9[D]->D698[O]->D704[O]->W77 | 1,575E-7   | 1,708E+6        |                     | 7,908E-1     | 5,000E+0   | 1,582E+4           | 4,221E+1       | 0,000E+0  |           |               |                          | 1,898E+9     |
| TP-101,14-T-211D,Topping,Ruwe grondstof          | R34[O]->D573[O]->D504[D]->D341[D]->D466[O]->D9[D]->D698[O]->D704[O]->W77 | 1,575E-7   | 1,708E+6        | 3,025E+5            | 8,693E-2     | 4,310E+0   |                    | 4,221E+1       | 0,000E+0  |           |               |                          | 1,898E+9     |
| TP-101,14-T-211D,Topping,Ruwe grondstof          | R34[O]->D573[O]->D504[D]->D341[D]->D466[O]->D9[D]->D698[D]->W77          | 7,500E-9   | 2,067E+6        |                     | 9,568E-1     | 5,000E+0   | 1,914E+4           | 5,110E+1       | 0,000E+0  |           |               |                          | 2,296E+9     |
| TP-101,14-T-211D,Topping,Ruwe grondstof          | R34[O]->D573[O]->D504[D]->D341[D]->D466[O]->D9[D]->D698[D]->W77          | 7,500E-9   | 2,067E+6        | 3,660E+5            | 1,052E-1     | 4,310E+0   |                    | 5,110E+1       | 0,000E+0  |           |               |                          | 2,296E+9     |
| TP-101,14-T-211D,Topping,Ruwe grondstof          | R34[O]->D573[O]->D504[D]->D341[D]->D466[O]->D9[D]->D698[O]->D704[O]->W77 | 6,750E-8   | 1,707E+6        |                     | 7,901E-1     | 5,000E+0   | 1,580E+4           | 4,220E+1       | 0,000E+0  |           |               |                          | 1,896E+9     |
| TP-101,14-T-211D,Topping,Ruwe grondstof          | R34[O]->D573[O]->D504[D]->D341[D]->D466[O]->D9[D]->D698[O]->D704[O]->W77 | 6,750E-8   | 1,707E+6        | 3,023E+5            | 8,685E-2     | 4,310E+0   |                    | 4,220E+1       | 0,000E+0  |           |               |                          | 1,896E+9     |
| TP-101,14-T-211C,Instantaan falen,Ruwe grondstof | R34[D]->D341[D]->D466[O]->D9[D]->D698[D]->W77                            | 3,500E-8   | 1,053E+6        |                     | 4,876E-1     | 5,000E+0   | 9,751E+3           | 4,471E+1       | 0,000E+0  |           |               |                          | 1,170E+9     |
| TP-101,14-T-211C,Instantaan falen,Ruwe grondstof | R34[D]->D341[D]->D466[O]->D9[D]->D698[D]->W77                            | 3,500E-8   | 1,053E+6        | 1,865E+5            | 5,360E-2     | 4,310E+0   |                    | 4,471E+1       | 0,000E+0  |           |               |                          | 1,170E+9     |

| Group  | Afstroomroute   | Frequentie | Massa uitstroom | Volume contaminatie | MSI Factored | Weegfactor | Oever Contaminatie | Uitstroom tijd | Bluswater | RWZI      |               |                          | LC50 gewogen |
|--|---|------------|-----------------|---------------------|--------------|------------|--------------------|----------------|-----------|-----------|---------------|--------------------------|--------------|
|  |   | [j-1]      | [kg]            | [m3]                |              |            | [m]                | [s]            | [m3]      | inhibitie | overbelasting | Actief slib beïnvloeding | [m3]         |
| TP-101,14-T-211C,Instantaan falen,Ruwe grondstof | R34[D]->D341[D]->D466[O]->D9[D]->D698[O]->D704[O]->W77          | 3,150E-7   | 6,931E+5        |                     | 3,209E-1     | 5,000E+0   | 6,418E+3           | 2,943E+1       | 0,000E+0  |           |               |                          | 7,702E+8     |
| TP-101,14-T-211C,Instantaan falen,Ruwe grondstof | R34[D]->D341[D]->D466[O]->D9[D]->D698[O]->D704[O]->W77          | 3,150E-7   | 6,931E+5        | 1,228E+5            | 3,528E-2     | 4,310E+0   |                    | 2,943E+1       | 0,000E+0  |           |               |                          | 7,702E+8     |
| TP-101,14-T-211C,Instantaan falen,Ruwe grondstof | R34[D]->D341[D]->D466[O]->D9[D]->D698[D]->W77                   | 1,500E-8   | 1,052E+6        |                     | 4,869E-1     | 5,000E+0   | 9,738E+3           | 4,470E+1       | 0,000E+0  |           |               |                          | 1,169E+9     |
| TP-101,14-T-211C,Instantaan falen,Ruwe grondstof | R34[D]->D341[D]->D466[O]->D9[D]->D698[D]->W77                   | 1,500E-8   | 1,052E+6        | 1,863E+5            | 5,353E-2     | 4,310E+0   |                    | 4,470E+1       | 0,000E+0  |           |               |                          | 1,169E+9     |
| TP-101,14-T-211C,Instantaan falen,Ruwe grondstof | R34[D]->D341[D]->D466[O]->D9[D]->D698[O]->D704[O]->W77          | 1,350E-7   | 6,917E+5        |                     | 3,202E-1     | 5,000E+0   | 6,405E+3           | 2,940E+1       | 0,000E+0  |           |               |                          | 7,686E+8     |
| TP-101,14-T-211C,Instantaan falen,Ruwe grondstof | R34[D]->D341[D]->D466[O]->D9[D]->D698[O]->D704[O]->W77          | 1,350E-7   | 6,917E+5        | 1,225E+5            | 3,520E-2     | 4,310E+0   |                    | 2,940E+1       | 0,000E+0  |           |               |                          | 7,686E+8     |
| TP-101,14-T-211C,Continu falen,Ruwe grondstof    | R34[D]->D341[D]->D466[O]->D9[D]->D698[D]->W77                   | 3,500E-8   | 1,561E+6        |                     | 7,225E-1     | 5,000E+0   | 2,782E+3           | 1,019E+4       | 0,000E+0  |           |               |                          | 1,734E+9     |
| TP-101,14-T-211C,Continu falen,Ruwe grondstof    | R34[D]->D341[D]->D466[O]->D9[D]->D698[D]->W77                   | 3,500E-8   | 1,561E+6        | 5,321E+4            | 1,529E-2     | 4,310E+0   |                    | 1,019E+4       | 0,000E+0  |           |               |                          | 1,734E+9     |
| TP-101,14-T-211C,Continu falen,Ruwe grondstof    | R34[D]->D341[D]->D466[O]->D9[D]->D698[O]->D704[O]->W77          | 3,150E-7   | 1,201E+6        |                     | 5,558E-1     | 5,000E+0   | 2,782E+3           | 7,837E+3       | 0,000E+0  |           |               |                          | 1,334E+9     |
| TP-101,14-T-211C,Continu falen,Ruwe grondstof    | R34[D]->D341[D]->D466[O]->D9[D]->D698[O]->D704[O]->W77          | 3,150E-7   | 1,201E+6        | 5,321E+4            | 1,529E-2     | 4,310E+0   |                    | 7,837E+3       | 0,000E+0  |           |               |                          | 1,334E+9     |
| TP-101,14-T-211C,Continu falen,Ruwe grondstof    | R34[D]->D341[D]->D466[O]->D9[D]->D698[D]->W77                   | 1,500E-8   | 1,265E+6        |                     | 5,854E-1     | 5,000E+0   | 2,327E+3           | 9,866E+3       | 0,000E+0  |           |               |                          | 1,405E+9     |
| TP-101,14-T-211C,Continu falen,Ruwe grondstof    | R34[D]->D341[D]->D466[O]->D9[D]->D698[D]->W77                   | 1,500E-8   | 1,265E+6        | 4,452E+4            | 1,279E-2     | 4,310E+0   |                    | 9,866E+3       | 0,000E+0  |           |               |                          | 1,405E+9     |
| TP-101,14-T-211C,Continu falen,Ruwe grondstof    | R34[D]->D341[D]->D466[O]->D9[D]->D698[O]->D704[O]->W77          | 1,350E-7   | 9,045E+5        |                     | 4,188E-1     | 5,000E+0   | 2,327E+3           | 7,057E+3       | 0,000E+0  |           |               |                          | 1,005E+9     |
| TP-101,14-T-211C,Continu falen,Ruwe grondstof    | R34[D]->D341[D]->D466[O]->D9[D]->D698[O]->D704[O]->W77          | 1,350E-7   | 9,045E+5        | 4,452E+4            | 1,279E-2     | 4,310E+0   |                    | 7,057E+3       | 0,000E+0  |           |               |                          | 1,005E+9     |
| TP-101,14-T-211C,Continu falen,Ruwe grondstof    | R34[D]->D341[D]->D466[D]->D473[O]->D9[D]->D698[D]->W77          | 1,050E-8   | 1,161E+5        |                     | 5,374E-2     | 5,000E+0   | 4,543E+2           | 4,639E+3       | 0,000E+0  |           |               |                          | 1,290E+8     |
| TP-101,14-T-211C,Continu falen,Ruwe grondstof    | R34[D]->D341[D]->D466[D]->D473[O]->D9[D]->D698[D]->W77          | 1,050E-8   | 1,161E+5        | 8,691E+3            | 2,497E-3     | 4,310E+0   |                    | 4,639E+3       | 0,000E+0  |           |               |                          | 1,290E+8     |
| TP-101,14-T-211C,Topping,Ruwe grondstof          | R34[O]->D573[D]->D341[D]->D466[O]->D9[D]->D698[D]->W77          | 1,750E-7   | 2,068E+6        |                     | 9,574E-1     | 5,000E+0   | 1,915E+4           | 5,110E+1       | 0,000E+0  |           |               |                          | 2,298E+9     |
| TP-101,14-T-211C,Topping,Ruwe grondstof          | R34[O]->D573[D]->D341[D]->D466[O]->D9[D]->D698[D]->W77          | 1,750E-7   | 2,068E+6        | 3,663E+5            | 1,053E-1     | 4,310E+0   |                    | 5,110E+1       | 0,000E+0  |           |               |                          | 2,298E+9     |
| TP-101,14-T-211C,Topping,Ruwe grondstof          | R34[O]->D573[D]->D341[D]->D466[O]->D9[D]->D698[O]->D704[O]->W77 | 1,575E-6   | 1,708E+6        |                     | 7,908E-1     | 5,000E+0   | 1,582E+4           | 4,221E+1       | 0,000E+0  |           |               |                          | 1,898E+9     |
| TP-101,14-T-211C,Topping,Ruwe grondstof          | R34[O]->D573[D]->D341[D]->D466[O]->D9[D]->D698[O]->D704[O]->W77 | 1,575E-6   | 1,708E+6        | 3,025E+5            | 8,693E-2     | 4,310E+0   |                    | 4,221E+1       | 0,000E+0  |           |               |                          | 1,898E+9     |

| Group  | Afstroomroute  | Frequentie | Massa uitstroom | Volume contaminatie | MSI Factored | Weegfactor | Oever Contaminatie | Uitstroom tijd | Bluswater | RWZI      |               |                          | LC50 gewogen |
|--|--|------------|-----------------|---------------------|--------------|------------|--------------------|----------------|-----------|-----------|---------------|--------------------------|--------------|
|  |  |            |                 |                     |              |            |                    |                |           | inhibitie | overbelasting | Actief slib beïnvloeding |              |
|  |  | [j-1]      | [kg]            | [m3]                |              |            | [m]                | [s]            | [m3]      |           |               |                          | [m3]         |
| TP-101,14-T-211C,Topping,Ruwe grondstof          | R34[O]->D573[D]->D341[D]->D466[O]->D9[D]->D698[D]->W77                   | 7,500E-8   | 2,067E+6        |                     | 9,568E-1     | 5,000E+0   | 1,914E+4           | 5,110E+1       | 0,000E+0  |           |               |                          | 2,296E+9     |
| TP-101,14-T-211C,Topping,Ruwe grondstof          | R34[O]->D573[D]->D341[D]->D466[O]->D9[D]->D698[D]->W77                   | 7,500E-8   | 2,067E+6        | 3,660E+5            | 1,052E-1     | 4,310E+0   |                    | 5,110E+1       | 0,000E+0  |           |               |                          | 2,296E+9     |
| TP-101,14-T-211C,Topping,Ruwe grondstof          | R34[O]->D573[D]->D341[D]->D466[O]->D9[D]->D698[O]->D704[O]->W77          | 6,750E-7   | 1,707E+6        |                     | 7,901E-1     | 5,000E+0   | 1,580E+4           | 4,220E+1       | 0,000E+0  |           |               |                          | 1,896E+9     |
| TP-101,14-T-211C,Topping,Ruwe grondstof          | R34[O]->D573[D]->D341[D]->D466[O]->D9[D]->D698[O]->D704[O]->W77          | 6,750E-7   | 1,707E+6        | 3,023E+5            | 8,685E-2     | 4,310E+0   |                    | 4,220E+1       | 0,000E+0  |           |               |                          | 1,896E+9     |
| TP-101,14-T-211C,Topping,Ruwe grondstof          | R34[O]->D573[O]->D504[D]->D341[D]->D466[O]->D9[D]->D698[D]->W77          | 1,750E-8   | 2,068E+6        |                     | 9,574E-1     | 5,000E+0   | 1,915E+4           | 5,110E+1       | 0,000E+0  |           |               |                          | 2,298E+9     |
| TP-101,14-T-211C,Topping,Ruwe grondstof          | R34[O]->D573[O]->D504[D]->D341[D]->D466[O]->D9[D]->D698[D]->W77          | 1,750E-8   | 2,068E+6        | 3,663E+5            | 1,053E-1     | 4,310E+0   |                    | 5,110E+1       | 0,000E+0  |           |               |                          | 2,298E+9     |
| TP-101,14-T-211C,Topping,Ruwe grondstof          | R34[O]->D573[O]->D504[D]->D341[D]->D466[O]->D9[D]->D698[O]->D704[O]->W77 | 1,575E-7   | 1,708E+6        |                     | 7,908E-1     | 5,000E+0   | 1,582E+4           | 4,221E+1       | 0,000E+0  |           |               |                          | 1,898E+9     |
| TP-101,14-T-211C,Topping,Ruwe grondstof          | R34[O]->D573[O]->D504[D]->D341[D]->D466[O]->D9[D]->D698[O]->D704[O]->W77 | 1,575E-7   | 1,708E+6        | 3,025E+5            | 8,693E-2     | 4,310E+0   |                    | 4,221E+1       | 0,000E+0  |           |               |                          | 1,898E+9     |
| TP-101,14-T-211C,Topping,Ruwe grondstof          | R34[O]->D573[O]->D504[D]->D341[D]->D466[O]->D9[D]->D698[D]->W77          | 7,500E-9   | 2,067E+6        |                     | 9,568E-1     | 5,000E+0   | 1,914E+4           | 5,110E+1       | 0,000E+0  |           |               |                          | 2,296E+9     |
| TP-101,14-T-211C,Topping,Ruwe grondstof          | R34[O]->D573[O]->D504[D]->D341[D]->D466[O]->D9[D]->D698[D]->W77          | 7,500E-9   | 2,067E+6        | 3,660E+5            | 1,052E-1     | 4,310E+0   |                    | 5,110E+1       | 0,000E+0  |           |               |                          | 2,296E+9     |
| TP-101,14-T-211C,Topping,Ruwe grondstof          | R34[O]->D573[O]->D504[D]->D341[D]->D466[O]->D9[D]->D698[O]->D704[O]->W77 | 6,750E-8   | 1,707E+6        |                     | 7,901E-1     | 5,000E+0   | 1,580E+4           | 4,220E+1       | 0,000E+0  |           |               |                          | 1,896E+9     |
| TP-101,14-T-211C,Topping,Ruwe grondstof          | R34[O]->D573[O]->D504[D]->D341[D]->D466[O]->D9[D]->D698[O]->D704[O]->W77 | 6,750E-8   | 1,707E+6        | 3,023E+5            | 8,685E-2     | 4,310E+0   |                    | 4,220E+1       | 0,000E+0  |           |               |                          | 1,896E+9     |
| TP-101,14-T-211B,Instantaan falen,Ruwe grondstof | R34[D]->D341[D]->D466[O]->D9[D]->D698[D]->W77                            | 3,500E-8   | 1,053E+6        |                     | 4,876E-1     | 5,000E+0   | 9,751E+3           | 4,471E+1       | 0,000E+0  |           |               |                          | 1,170E+9     |
| TP-101,14-T-211B,Instantaan falen,Ruwe grondstof | R34[D]->D341[D]->D466[O]->D9[D]->D698[D]->W77                            | 3,500E-8   | 1,053E+6        | 1,865E+5            | 5,360E-2     | 4,310E+0   |                    | 4,471E+1       | 0,000E+0  |           |               |                          | 1,170E+9     |
| TP-101,14-T-211B,Instantaan falen,Ruwe grondstof | R34[D]->D341[D]->D466[O]->D9[D]->D698[O]->D704[O]->W77                   | 3,150E-7   | 6,931E+5        |                     | 3,209E-1     | 5,000E+0   | 6,418E+3           | 2,943E+1       | 0,000E+0  |           |               |                          | 7,702E+8     |
| TP-101,14-T-211B,Instantaan falen,Ruwe grondstof | R34[D]->D341[D]->D466[O]->D9[D]->D698[O]->D704[O]->W77                   | 3,150E-7   | 6,931E+5        | 1,228E+5            | 3,528E-2     | 4,310E+0   |                    | 2,943E+1       | 0,000E+0  |           |               |                          | 7,702E+8     |
| TP-101,14-T-211B,Instantaan falen,Ruwe grondstof | R34[D]->D341[D]->D466[O]->D9[D]->D698[D]->W77                            | 1,500E-8   | 1,052E+6        |                     | 4,869E-1     | 5,000E+0   | 9,738E+3           | 4,470E+1       | 0,000E+0  |           |               |                          | 1,169E+9     |
| TP-101,14-T-211B,Instantaan falen,Ruwe grondstof | R34[D]->D341[D]->D466[O]->D9[D]->D698[D]->W77                            | 1,500E-8   | 1,052E+6        | 1,863E+5            | 5,353E-2     | 4,310E+0   |                    | 4,470E+1       | 0,000E+0  |           |               |                          | 1,169E+9     |

| Group  | Afstroomroute   | Frequentie | Massa uitstroom | Volume contaminatie | MSI Factored | Weegfactor | Oever Contaminatie | Uitstroom tijd | Bluswater | RWZI      |               |                          | LC50 gewogen |
|--|---|------------|-----------------|---------------------|--------------|------------|--------------------|----------------|-----------|-----------|---------------|--------------------------|--------------|
|  |   |            |                 |                     |              |            |                    |                |           | inhibitie | overbelasting | Actief slib beïnvloeding |              |
|  |   | [j-1]      | [kg]            | [m3]                |              |            | [m]                | [s]            | [m3]      |           |               |                          | [m3]         |
| TP-101,14-T-211B,Instantaan falen,Ruwe grondstof | R34[D]->D341[D]->D466[O]->D9[D]->D698[O]->D704[O]->W77          | 1,350E-7   | 6,917E+5        |                     | 3,202E-1     | 5,000E+0   | 6,405E+3           | 2,940E+1       | 0,000E+0  |           |               |                          | 7,686E+8     |
| TP-101,14-T-211B,Instantaan falen,Ruwe grondstof | R34[D]->D341[D]->D466[O]->D9[D]->D698[O]->D704[O]->W77          | 1,350E-7   | 6,917E+5        | 1,225E+5            | 3,520E-2     | 4,310E+0   |                    | 2,940E+1       | 0,000E+0  |           |               |                          | 7,686E+8     |
| TP-101,14-T-211B,Continu falen,Ruwe grondstof    | R34[D]->D341[D]->D466[O]->D9[D]->D698[D]->W77                   | 3,500E-8   | 1,561E+6        |                     | 7,225E-1     | 5,000E+0   | 2,782E+3           | 1,019E+4       | 0,000E+0  |           |               |                          | 1,734E+9     |
| TP-101,14-T-211B,Continu falen,Ruwe grondstof    | R34[D]->D341[D]->D466[O]->D9[D]->D698[D]->W77                   | 3,500E-8   | 1,561E+6        | 5,321E+4            | 1,529E-2     | 4,310E+0   |                    | 1,019E+4       | 0,000E+0  |           |               |                          | 1,734E+9     |
| TP-101,14-T-211B,Continu falen,Ruwe grondstof    | R34[D]->D341[D]->D466[O]->D9[D]->D698[O]->D704[O]->W77          | 3,150E-7   | 1,201E+6        |                     | 5,558E-1     | 5,000E+0   | 2,782E+3           | 7,837E+3       | 0,000E+0  |           |               |                          | 1,334E+9     |
| TP-101,14-T-211B,Continu falen,Ruwe grondstof    | R34[D]->D341[D]->D466[O]->D9[D]->D698[O]->D704[O]->W77          | 3,150E-7   | 1,201E+6        | 5,321E+4            | 1,529E-2     | 4,310E+0   |                    | 7,837E+3       | 0,000E+0  |           |               |                          | 1,334E+9     |
| TP-101,14-T-211B,Continu falen,Ruwe grondstof    | R34[D]->D341[D]->D466[O]->D9[D]->D698[D]->W77                   | 1,500E-8   | 1,265E+6        |                     | 5,854E-1     | 5,000E+0   | 2,327E+3           | 9,866E+3       | 0,000E+0  |           |               |                          | 1,405E+9     |
| TP-101,14-T-211B,Continu falen,Ruwe grondstof    | R34[D]->D341[D]->D466[O]->D9[D]->D698[D]->W77                   | 1,500E-8   | 1,265E+6        | 4,452E+4            | 1,279E-2     | 4,310E+0   |                    | 9,866E+3       | 0,000E+0  |           |               |                          | 1,405E+9     |
| TP-101,14-T-211B,Continu falen,Ruwe grondstof    | R34[D]->D341[D]->D466[O]->D9[D]->D698[O]->D704[O]->W77          | 1,350E-7   | 9,045E+5        |                     | 4,188E-1     | 5,000E+0   | 2,327E+3           | 7,057E+3       | 0,000E+0  |           |               |                          | 1,005E+9     |
| TP-101,14-T-211B,Continu falen,Ruwe grondstof    | R34[D]->D341[D]->D466[O]->D9[D]->D698[O]->D704[O]->W77          | 1,350E-7   | 9,045E+5        | 4,452E+4            | 1,279E-2     | 4,310E+0   |                    | 7,057E+3       | 0,000E+0  |           |               |                          | 1,005E+9     |
| TP-101,14-T-211B,Continu falen,Ruwe grondstof    | R34[D]->D341[D]->D466[D]->D473[O]->D9[D]->D698[D]->W77          | 1,050E-8   | 1,161E+5        |                     | 5,374E-2     | 5,000E+0   | 4,543E+2           | 4,639E+3       | 0,000E+0  |           |               |                          | 1,290E+8     |
| TP-101,14-T-211B,Continu falen,Ruwe grondstof    | R34[D]->D341[D]->D466[D]->D473[O]->D9[D]->D698[D]->W77          | 1,050E-8   | 1,161E+5        | 8,691E+3            | 2,497E-3     | 4,310E+0   |                    | 4,639E+3       | 0,000E+0  |           |               |                          | 1,290E+8     |
| TP-101,14-T-211B,Topping,Ruwe grondstof          | R34[O]->D573[D]->D341[D]->D466[O]->D9[D]->D698[D]->W77          | 1,750E-7   | 2,068E+6        |                     | 9,574E-1     | 5,000E+0   | 1,915E+4           | 5,110E+1       | 0,000E+0  |           |               |                          | 2,298E+9     |
| TP-101,14-T-211B,Topping,Ruwe grondstof          | R34[O]->D573[D]->D341[D]->D466[O]->D9[D]->D698[D]->W77          | 1,750E-7   | 2,068E+6        | 3,663E+5            | 1,053E-1     | 4,310E+0   |                    | 5,110E+1       | 0,000E+0  |           |               |                          | 2,298E+9     |
| TP-101,14-T-211B,Topping,Ruwe grondstof          | R34[O]->D573[D]->D341[D]->D466[O]->D9[D]->D698[O]->D704[O]->W77 | 1,575E-6   | 1,708E+6        |                     | 7,908E-1     | 5,000E+0   | 1,582E+4           | 4,221E+1       | 0,000E+0  |           |               |                          | 1,898E+9     |
| TP-101,14-T-211B,Topping,Ruwe grondstof          | R34[O]->D573[D]->D341[D]->D466[O]->D9[D]->D698[O]->D704[O]->W77 | 1,575E-6   | 1,708E+6        | 3,025E+5            | 8,693E-2     | 4,310E+0   |                    | 4,221E+1       | 0,000E+0  |           |               |                          | 1,898E+9     |
| TP-101,14-T-211B,Topping,Ruwe grondstof          | R34[O]->D573[D]->D341[D]->D466[O]->D9[D]->D698[D]->W77          | 7,500E-8   | 2,067E+6        |                     | 9,568E-1     | 5,000E+0   | 1,914E+4           | 5,110E+1       | 0,000E+0  |           |               |                          | 2,296E+9     |
| TP-101,14-T-211B,Topping,Ruwe grondstof          | R34[O]->D573[D]->D341[D]->D466[O]->D9[D]->D698[D]->W77          | 7,500E-8   | 2,067E+6        | 3,660E+5            | 1,052E-1     | 4,310E+0   |                    | 5,110E+1       | 0,000E+0  |           |               |                          | 2,296E+9     |
| TP-101,14-T-211B,Topping,Ruwe grondstof          | R34[O]->D573[D]->D341[D]->D466[O]->D9[D]->D698[O]->D704[O]->W77 | 6,750E-7   | 1,707E+6        |                     | 7,901E-1     | 5,000E+0   | 1,580E+4           | 4,220E+1       | 0,000E+0  |           |               |                          | 1,896E+9     |

| Group  | Afstroomroute  | Frequentie | Massa uitstroom | Volume contaminatie | MSI Factored | Weegfactor | Oever Contaminatie | Uitstroom tijd | Bluswater | RWZI      |               |                          | LC50 gewogen |
|--|--|------------|-----------------|---------------------|--------------|------------|--------------------|----------------|-----------|-----------|---------------|--------------------------|--------------|
|  |  |            |                 |                     |              |            |                    |                |           | inhibitie | overbelasting | Actief slib beïnvloeding |              |
|  |  | [j-1]      | [kg]            | [m3]                |              |            | [m]                | [s]            | [m3]      |           |               |                          | [m3]         |
| TP-101,14-T-211B,Topping,Ruwe grondstof          | R34[O]->D573[D]->D341[D]->D466[O]->D9[D]->D698[O]->D704[O]->W77          | 6,750E-7   | 1,707E+6        | 3,023E+5            | 8,685E-2     | 4,310E+0   |                    | 4,220E+1       | 0,000E+0  |           |               |                          | 1,896E+9     |
| TP-101,14-T-211B,Topping,Ruwe grondstof          | R34[O]->D573[O]->D504[D]->D341[D]->D466[O]->D9[D]->D698[D]->W77          | 1,750E-8   | 2,068E+6        |                     | 9,574E-1     | 5,000E+0   | 1,915E+4           | 5,110E+1       | 0,000E+0  |           |               |                          | 2,298E+9     |
| TP-101,14-T-211B,Topping,Ruwe grondstof          | R34[O]->D573[O]->D504[D]->D341[D]->D466[O]->D9[D]->D698[D]->W77          | 1,750E-8   | 2,068E+6        | 3,663E+5            | 1,053E-1     | 4,310E+0   |                    | 5,110E+1       | 0,000E+0  |           |               |                          | 2,298E+9     |
| TP-101,14-T-211B,Topping,Ruwe grondstof          | R34[O]->D573[O]->D504[D]->D341[D]->D466[O]->D9[D]->D698[O]->D704[O]->W77 | 1,575E-7   | 1,708E+6        |                     | 7,908E-1     | 5,000E+0   | 1,582E+4           | 4,221E+1       | 0,000E+0  |           |               |                          | 1,898E+9     |
| TP-101,14-T-211B,Topping,Ruwe grondstof          | R34[O]->D573[O]->D504[D]->D341[D]->D466[O]->D9[D]->D698[O]->D704[O]->W77 | 1,575E-7   | 1,708E+6        | 3,025E+5            | 8,693E-2     | 4,310E+0   |                    | 4,221E+1       | 0,000E+0  |           |               |                          | 1,898E+9     |
| TP-101,14-T-211B,Topping,Ruwe grondstof          | R34[O]->D573[O]->D504[D]->D341[D]->D466[O]->D9[D]->D698[D]->W77          | 7,500E-9   | 2,067E+6        |                     | 9,568E-1     | 5,000E+0   | 1,914E+4           | 5,110E+1       | 0,000E+0  |           |               |                          | 2,296E+9     |
| TP-101,14-T-211B,Topping,Ruwe grondstof          | R34[O]->D573[O]->D504[D]->D341[D]->D466[O]->D9[D]->D698[D]->W77          | 7,500E-9   | 2,067E+6        | 3,660E+5            | 1,052E-1     | 4,310E+0   |                    | 5,110E+1       | 0,000E+0  |           |               |                          | 2,296E+9     |
| TP-101,14-T-211B,Topping,Ruwe grondstof          | R34[O]->D573[O]->D504[D]->D341[D]->D466[O]->D9[D]->D698[O]->D704[O]->W77 | 6,750E-8   | 1,707E+6        |                     | 7,901E-1     | 5,000E+0   | 1,580E+4           | 4,220E+1       | 0,000E+0  |           |               |                          | 1,896E+9     |
| TP-101,14-T-211B,Topping,Ruwe grondstof          | R34[O]->D573[O]->D504[D]->D341[D]->D466[O]->D9[D]->D698[O]->D704[O]->W77 | 6,750E-8   | 1,707E+6        | 3,023E+5            | 8,685E-2     | 4,310E+0   |                    | 4,220E+1       | 0,000E+0  |           |               |                          | 1,896E+9     |
| TP-101,14-T-211A,Instantaan falen,Ruwe grondstof | R34[D]->D341[D]->D466[O]->D9[D]->D698[D]->W77                            | 3,500E-8   | 1,053E+6        |                     | 4,876E-1     | 5,000E+0   | 9,751E+3           | 4,471E+1       | 0,000E+0  |           |               |                          | 1,170E+9     |
| TP-101,14-T-211A,Instantaan falen,Ruwe grondstof | R34[D]->D341[D]->D466[O]->D9[D]->D698[D]->W77                            | 3,500E-8   | 1,053E+6        | 1,865E+5            | 5,360E-2     | 4,310E+0   |                    | 4,471E+1       | 0,000E+0  |           |               |                          | 1,170E+9     |
| TP-101,14-T-211A,Instantaan falen,Ruwe grondstof | R34[D]->D341[D]->D466[O]->D9[D]->D698[O]->D704[O]->W77                   | 3,150E-7   | 6,931E+5        |                     | 3,209E-1     | 5,000E+0   | 6,418E+3           | 2,943E+1       | 0,000E+0  |           |               |                          | 7,702E+8     |
| TP-101,14-T-211A,Instantaan falen,Ruwe grondstof | R34[D]->D341[D]->D466[O]->D9[D]->D698[O]->D704[O]->W77                   | 3,150E-7   | 6,931E+5        | 1,228E+5            | 3,528E-2     | 4,310E+0   |                    | 2,943E+1       | 0,000E+0  |           |               |                          | 7,702E+8     |
| TP-101,14-T-211A,Instantaan falen,Ruwe grondstof | R34[D]->D341[D]->D466[O]->D9[D]->D698[D]->W77                            | 1,500E-8   | 1,052E+6        |                     | 4,869E-1     | 5,000E+0   | 9,738E+3           | 4,470E+1       | 0,000E+0  |           |               |                          | 1,169E+9     |
| TP-101,14-T-211A,Instantaan falen,Ruwe grondstof | R34[D]->D341[D]->D466[O]->D9[D]->D698[D]->W77                            | 1,500E-8   | 1,052E+6        | 1,863E+5            | 5,353E-2     | 4,310E+0   |                    | 4,470E+1       | 0,000E+0  |           |               |                          | 1,169E+9     |
| TP-101,14-T-211A,Instantaan falen,Ruwe grondstof | R34[D]->D341[D]->D466[O]->D9[D]->D698[O]->D704[O]->W77                   | 1,350E-7   | 6,917E+5        |                     | 3,202E-1     | 5,000E+0   | 6,405E+3           | 2,940E+1       | 0,000E+0  |           |               |                          | 7,686E+8     |
| TP-101,14-T-211A,Instantaan falen,Ruwe grondstof | R34[D]->D341[D]->D466[O]->D9[D]->D698[O]->D704[O]->W77                   | 1,350E-7   | 6,917E+5        | 1,225E+5            | 3,520E-2     | 4,310E+0   |                    | 2,940E+1       | 0,000E+0  |           |               |                          | 7,686E+8     |
| TP-101,14-T-211A,Continu falen,Ruwe grondstof    | R34[D]->D341[D]->D466[O]->D9[D]->D698[D]->W77                            | 3,500E-8   | 1,561E+6        |                     | 7,225E-1     | 5,000E+0   | 2,782E+3           | 1,019E+4       | 0,000E+0  |           |               |                          | 1,734E+9     |
| TP-101,14-T-211A,Continu falen,Ruwe grondstof    | R34[D]->D341[D]->D466[O]->D9[D]->D698[D]->W77                            | 3,500E-8   | 1,561E+6        | 5,321E+4            | 1,529E-2     | 4,310E+0   |                    | 1,019E+4       | 0,000E+0  |           |               |                          | 1,734E+9     |
| TP-101,14-T-211A,Continu falen,Ruwe grondstof    | R34[D]->D341[D]->D466[O]->D9[D]->D698[O]->D704[O]->W77                   | 3,150E-7   | 1,201E+6        |                     | 5,558E-1     | 5,000E+0   | 2,782E+3           | 7,837E+3       | 0,000E+0  |           |               |                          | 1,334E+9     |

| Group   | Afstroomroute  | Frequentie | Massa uitstroom | Volume contaminatie | MSI Factored | Weegfactor | Oever Contaminatie | Uitstroom tijd | Bluswater | RWZI      |               |                          | LC50 gewogen |
|---|--|------------|-----------------|---------------------|--------------|------------|--------------------|----------------|-----------|-----------|---------------|--------------------------|--------------|
|   |  | [j-1]      | [kg]            | [m3]                |              |            | [m]                | [s]            | [m3]      | inhibitie | overbelasting | Actief slib beïnvloeding | [m3]         |
| TP-101,14-T-211A,Continu falen,Ruwe grondstof | R34[D]->D341[D]->D466[O]->D9[D]->D698[O]->D704[O]->W77                   | 3,150E-7   | 1,201E+6        | 5,321E+4            | 1,529E-2     | 4,310E+0   |                    | 7,837E+3       | 0,000E+0  |           |               |                          | 1,334E+9     |
| TP-101,14-T-211A,Continu falen,Ruwe grondstof | R34[D]->D341[D]->D466[O]->D9[D]->D698[D]->W77                            | 1,500E-8   | 1,265E+6        |                     | 5,854E-1     | 5,000E+0   | 2,327E+3           | 9,866E+3       | 0,000E+0  |           |               |                          | 1,405E+9     |
| TP-101,14-T-211A,Continu falen,Ruwe grondstof | R34[D]->D341[D]->D466[O]->D9[D]->D698[D]->W77                            | 1,500E-8   | 1,265E+6        | 4,452E+4            | 1,279E-2     | 4,310E+0   |                    | 9,866E+3       | 0,000E+0  |           |               |                          | 1,405E+9     |
| TP-101,14-T-211A,Continu falen,Ruwe grondstof | R34[D]->D341[D]->D466[O]->D9[D]->D698[O]->D704[O]->W77                   | 1,350E-7   | 9,045E+5        |                     | 4,188E-1     | 5,000E+0   | 2,327E+3           | 7,057E+3       | 0,000E+0  |           |               |                          | 1,005E+9     |
| TP-101,14-T-211A,Continu falen,Ruwe grondstof | R34[D]->D341[D]->D466[O]->D9[D]->D698[O]->D704[O]->W77                   | 1,350E-7   | 9,045E+5        | 4,452E+4            | 1,279E-2     | 4,310E+0   |                    | 7,057E+3       | 0,000E+0  |           |               |                          | 1,005E+9     |
| TP-101,14-T-211A,Continu falen,Ruwe grondstof | R34[D]->D341[D]->D466[D]->D473[O]->D9[D]->D698[D]->W77                   | 1,050E-8   | 1,161E+5        |                     | 5,374E-2     | 5,000E+0   | 4,543E+2           | 4,639E+3       | 0,000E+0  |           |               |                          | 1,290E+8     |
| TP-101,14-T-211A,Continu falen,Ruwe grondstof | R34[D]->D341[D]->D466[D]->D473[O]->D9[D]->D698[D]->W77                   | 1,050E-8   | 1,161E+5        | 8,691E+3            | 2,497E-3     | 4,310E+0   |                    | 4,639E+3       | 0,000E+0  |           |               |                          | 1,290E+8     |
| TP-101,14-T-211A,Topping,Ruwe grondstof       | R34[O]->D573[D]->D341[D]->D466[O]->D9[D]->D698[D]->W77                   | 1,750E-7   | 2,068E+6        |                     | 9,574E-1     | 5,000E+0   | 1,915E+4           | 5,110E+1       | 0,000E+0  |           |               |                          | 2,298E+9     |
| TP-101,14-T-211A,Topping,Ruwe grondstof       | R34[O]->D573[D]->D341[D]->D466[O]->D9[D]->D698[D]->W77                   | 1,750E-7   | 2,068E+6        | 3,663E+5            | 1,053E-1     | 4,310E+0   |                    | 5,110E+1       | 0,000E+0  |           |               |                          | 2,298E+9     |
| TP-101,14-T-211A,Topping,Ruwe grondstof       | R34[O]->D573[D]->D341[D]->D466[O]->D9[D]->D698[O]->D704[O]->W77          | 1,575E-6   | 1,708E+6        |                     | 7,908E-1     | 5,000E+0   | 1,582E+4           | 4,221E+1       | 0,000E+0  |           |               |                          | 1,898E+9     |
| TP-101,14-T-211A,Topping,Ruwe grondstof       | R34[O]->D573[D]->D341[D]->D466[O]->D9[D]->D698[O]->D704[O]->W77          | 1,575E-6   | 1,708E+6        | 3,025E+5            | 8,693E-2     | 4,310E+0   |                    | 4,221E+1       | 0,000E+0  |           |               |                          | 1,898E+9     |
| TP-101,14-T-211A,Topping,Ruwe grondstof       | R34[O]->D573[D]->D341[D]->D466[O]->D9[D]->D698[D]->W77                   | 7,500E-8   | 2,067E+6        |                     | 9,568E-1     | 5,000E+0   | 1,914E+4           | 5,110E+1       | 0,000E+0  |           |               |                          | 2,296E+9     |
| TP-101,14-T-211A,Topping,Ruwe grondstof       | R34[O]->D573[D]->D341[D]->D466[O]->D9[D]->D698[D]->W77                   | 7,500E-8   | 2,067E+6        | 3,660E+5            | 1,052E-1     | 4,310E+0   |                    | 5,110E+1       | 0,000E+0  |           |               |                          | 2,296E+9     |
| TP-101,14-T-211A,Topping,Ruwe grondstof       | R34[O]->D573[D]->D341[D]->D466[O]->D9[D]->D698[O]->D704[O]->W77          | 6,750E-7   | 1,707E+6        |                     | 7,901E-1     | 5,000E+0   | 1,580E+4           | 4,220E+1       | 0,000E+0  |           |               |                          | 1,896E+9     |
| TP-101,14-T-211A,Topping,Ruwe grondstof       | R34[O]->D573[D]->D341[D]->D466[O]->D9[D]->D698[O]->D704[O]->W77          | 6,750E-7   | 1,707E+6        | 3,023E+5            | 8,685E-2     | 4,310E+0   |                    | 4,220E+1       | 0,000E+0  |           |               |                          | 1,896E+9     |
| TP-101,14-T-211A,Topping,Ruwe grondstof       | R34[O]->D573[O]->D504[D]->D341[D]->D466[O]->D9[D]->D698[D]->W77          | 1,750E-8   | 2,068E+6        |                     | 9,574E-1     | 5,000E+0   | 1,915E+4           | 5,110E+1       | 0,000E+0  |           |               |                          | 2,298E+9     |
| TP-101,14-T-211A,Topping,Ruwe grondstof       | R34[O]->D573[O]->D504[D]->D341[D]->D466[O]->D9[D]->D698[D]->W77          | 1,750E-8   | 2,068E+6        | 3,663E+5            | 1,053E-1     | 4,310E+0   |                    | 5,110E+1       | 0,000E+0  |           |               |                          | 2,298E+9     |
| TP-101,14-T-211A,Topping,Ruwe grondstof       | R34[O]->D573[O]->D504[D]->D341[D]->D466[O]->D9[D]->D698[O]->D704[O]->W77 | 1,575E-7   | 1,708E+6        |                     | 7,908E-1     | 5,000E+0   | 1,582E+4           | 4,221E+1       | 0,000E+0  |           |               |                          | 1,898E+9     |

| Group  | Afstroomroute  | Frequentie | Massa uitstroom | Volume contaminatie | MSI Factored | Weegfactor | Oever Contaminatie | Uitstroom tijd | Bluswater | RWZI      |               |                          | LC50 gewogen |
|--|--|------------|-----------------|---------------------|--------------|------------|--------------------|----------------|-----------|-----------|---------------|--------------------------|--------------|
|  |  |            |                 |                     |              |            |                    |                |           | inhibitie | overbelasting | Actief slib beïnvloeding |              |
|  |  | [j-1]      | [kg]            | [m3]                |              |            | [m]                | [s]            | [m3]      |           |               |                          | [m3]         |
| TP-101,14-T-211A,Topping,Ruwe grondstof        | R34[O]->D573[O]->D504[D]->D341[D]->D466[O]->D9[D]->D698[O]->D704[O]->W77 | 1,575E-7   | 1,708E+6        | 3,025E+5            | 8,693E-2     | 4,310E+0   |                    | 4,221E+1       | 0,000E+0  |           |               |                          | 1,898E+9     |
| TP-101,14-T-211A,Topping,Ruwe grondstof        | R34[O]->D573[O]->D504[D]->D341[D]->D466[O]->D9[D]->D698[D]->W77          | 7,500E-9   | 2,067E+6        |                     | 9,568E-1     | 5,000E+0   | 1,914E+4           | 5,110E+1       | 0,000E+0  |           |               |                          | 2,296E+9     |
| TP-101,14-T-211A,Topping,Ruwe grondstof        | R34[O]->D573[O]->D504[D]->D341[D]->D466[O]->D9[D]->D698[D]->W77          | 7,500E-9   | 2,067E+6        | 3,660E+5            | 1,052E-1     | 4,310E+0   |                    | 5,110E+1       | 0,000E+0  |           |               |                          | 2,296E+9     |
| TP-101,14-T-211A,Topping,Ruwe grondstof        | R34[O]->D573[O]->D504[D]->D341[D]->D466[O]->D9[D]->D698[O]->D704[O]->W77 | 6,750E-8   | 1,707E+6        |                     | 7,901E-1     | 5,000E+0   | 1,580E+4           | 4,220E+1       | 0,000E+0  |           |               |                          | 1,896E+9     |
| TP-101,14-T-211A,Topping,Ruwe grondstof        | R34[O]->D573[O]->D504[D]->D341[D]->D466[O]->D9[D]->D698[O]->D704[O]->W77 | 6,750E-8   | 1,707E+6        | 3,023E+5            | 8,685E-2     | 4,310E+0   |                    | 4,220E+1       | 0,000E+0  |           |               |                          | 1,896E+9     |
| TP-101,14-T-411D,Kleine brand,Schone grondstof | R34[D]->D341[D]->D466[D]->D473[D]->D29[D]->D751[B]->W765                 | 4,500E-10  | 2,312E+5        |                     | 2,379E-2     | 1,111E+0   | 7,964E+1           | 2,880E+4       | 5,853E+3  | ja (BWZI) |               | ja (BWZI)                | 2,569E+8     |
| TP-101,14-T-411D,Kleine brand,Schone grondstof | R34[D]->D341[D]->D466[D]->D473[D]->D29[D]->D751[B]->W765                 | 4,500E-10  | 2,312E+5        | 3,469E+7            | 2,312E+0     | 1,000E+0   |                    | 2,880E+4       | 5,853E+3  | ja (BWZI) |               | ja (BWZI)                | 2,569E+8     |
| TP-101,14-T-411D,Kleine brand,Schone grondstof | R34[D]->D341[D]->D466[D]->D473[D]->D29[D]->D751[B]->W765                 | 4,500E-10  | 2,312E+5        |                     | 0,000E+0     | 1,000E+0   |                    | 2,880E+4       | 5,853E+3  | ja (BWZI) |               | ja (BWZI)                | 2,569E+8     |
| TP-101,14-T-411D,Kleine brand,Schone grondstof | R34[D]->D341[D]->D466[D]->D473[D]->D29[D]->D751[B]->W765                 | 4,500E-10  | 2,632E+5        |                     | 2,708E-2     | 1,111E+0   | 8,497E+1           | 2,880E+4       | 7,955E+3  | ja (BWZI) |               | ja (BWZI)                | 2,925E+8     |
| TP-101,14-T-411D,Kleine brand,Schone grondstof | R34[D]->D341[D]->D466[D]->D473[D]->D29[D]->D751[B]->W765                 | 4,500E-10  | 2,632E+5        | 3,948E+7            | 2,632E+0     | 1,000E+0   |                    | 2,880E+4       | 7,955E+3  | ja (BWZI) |               | ja (BWZI)                | 2,925E+8     |
| TP-101,14-T-411D,Kleine brand,Schone grondstof | R34[D]->D341[D]->D466[D]->D473[D]->D29[D]->D751[B]->W765                 | 4,500E-10  | 2,632E+5        |                     | 0,000E+0     | 1,000E+0   |                    | 2,880E+4       | 7,955E+3  | ja (BWZI) |               | ja (BWZI)                | 2,925E+8     |
| TP-101,14-T-411C,Kleine brand,Schone grondstof | R34[D]->D341[D]->D466[D]->D473[D]->D29[D]->D751[B]->W765                 | 4,500E-10  | 2,312E+5        |                     | 2,379E-2     | 1,111E+0   | 7,964E+1           | 2,880E+4       | 5,853E+3  | ja (BWZI) |               | ja (BWZI)                | 2,569E+8     |
| TP-101,14-T-411C,Kleine brand,Schone grondstof | R34[D]->D341[D]->D466[D]->D473[D]->D29[D]->D751[B]->W765                 | 4,500E-10  | 2,312E+5        | 3,469E+7            | 2,312E+0     | 1,000E+0   |                    | 2,880E+4       | 5,853E+3  | ja (BWZI) |               | ja (BWZI)                | 2,569E+8     |
| TP-101,14-T-411C,Kleine brand,Schone grondstof | R34[D]->D341[D]->D466[D]->D473[D]->D29[D]->D751[B]->W765                 | 4,500E-10  | 2,312E+5        |                     | 0,000E+0     | 1,000E+0   |                    | 2,880E+4       | 5,853E+3  | ja (BWZI) |               | ja (BWZI)                | 2,569E+8     |
| TP-101,14-T-411C,Kleine brand,Schone grondstof | R34[D]->D341[D]->D466[D]->D473[D]->D29[D]->D751[B]->W765                 | 4,500E-10  | 2,632E+5        |                     | 2,708E-2     | 1,111E+0   | 8,497E+1           | 2,880E+4       | 7,955E+3  | ja (BWZI) |               | ja (BWZI)                | 2,925E+8     |
| TP-101,14-T-411C,Kleine brand,Schone grondstof | R34[D]->D341[D]->D466[D]->D473[D]->D29[D]->D751[B]->W765                 | 4,500E-10  | 2,632E+5        | 3,948E+7            | 2,632E+0     | 1,000E+0   |                    | 2,880E+4       | 7,955E+3  | ja (BWZI) |               | ja (BWZI)                | 2,925E+8     |



| Group  | Afstroomroute  | Frequentie | Massa uitstroom | Volume contaminatie | MSI Factored | Weegfactor | Oever Contaminatie | Uitstroom tijd | Bluswater | RWZI      |               |                          | LC50 gewogen |
|--|--|------------|-----------------|---------------------|--------------|------------|--------------------|----------------|-----------|-----------|---------------|--------------------------|--------------|
|  |  |            |                 |                     |              |            |                    |                |           | inhibitie | overbelasting | Actief slib beïnvloeding |              |
|  |  | [j-1]      | [kg]            | [m3]                |              |            | [m]                | [s]            | [m3]      |           |               |                          | [m3]         |
| TP-101,14-T-411C,Kleine brand,Schone grondstof     | R34[D]->D341[D]->D466[D]->D473[D]->D29[D]->D751[B]->W765 | 4,500E-10  | 2,632E+5        |                     | 0,000E+0     | 1,000E+0   |                    | 2,880E+4       | 7,955E+3  | ja (BWZI) |               | ja (BWZI)                | 2,925E+8     |
| TP-101,14-T-411B,Kleine brand,Schone grondstof     | R34[D]->D341[D]->D466[D]->D473[D]->D29[D]->D751[B]->W765 | 4,500E-10  | 2,312E+5        |                     | 2,379E-2     | 1,111E+0   | 7,964E+1           | 2,880E+4       | 5,853E+3  | ja (BWZI) |               | ja (BWZI)                | 2,569E+8     |
| TP-101,14-T-411B,Kleine brand,Schone grondstof     | R34[D]->D341[D]->D466[D]->D473[D]->D29[D]->D751[B]->W765 | 4,500E-10  | 2,312E+5        | 3,469E+7            | 2,312E+0     | 1,000E+0   |                    | 2,880E+4       | 5,853E+3  | ja (BWZI) |               | ja (BWZI)                | 2,569E+8     |
| TP-101,14-T-411B,Kleine brand,Schone grondstof     | R34[D]->D341[D]->D466[D]->D473[D]->D29[D]->D751[B]->W765 | 4,500E-10  | 2,312E+5        |                     | 0,000E+0     | 1,000E+0   |                    | 2,880E+4       | 5,853E+3  | ja (BWZI) |               | ja (BWZI)                | 2,569E+8     |
| TP-101,14-T-411B,Kleine brand,Schone grondstof     | R34[D]->D341[D]->D466[D]->D473[D]->D29[D]->D751[B]->W765 | 4,500E-10  | 2,632E+5        |                     | 2,708E-2     | 1,111E+0   | 8,497E+1           | 2,880E+4       | 7,955E+3  | ja (BWZI) |               | ja (BWZI)                | 2,925E+8     |
| TP-101,14-T-411B,Kleine brand,Schone grondstof     | R34[D]->D341[D]->D466[D]->D473[D]->D29[D]->D751[B]->W765 | 4,500E-10  | 2,632E+5        | 3,948E+7            | 2,632E+0     | 1,000E+0   |                    | 2,880E+4       | 7,955E+3  | ja (BWZI) |               | ja (BWZI)                | 2,925E+8     |
| TP-101,14-T-411B,Kleine brand,Schone grondstof     | R34[D]->D341[D]->D466[D]->D473[D]->D29[D]->D751[B]->W765 | 4,500E-10  | 2,632E+5        |                     | 0,000E+0     | 1,000E+0   |                    | 2,880E+4       | 7,955E+3  | ja (BWZI) |               | ja (BWZI)                | 2,925E+8     |
| TP-101,14-T-411A,Kleine brand,Schone grondstof     | R34[D]->D341[D]->D466[D]->D473[D]->D29[D]->D751[B]->W765 | 4,500E-10  | 2,312E+5        |                     | 2,379E-2     | 1,111E+0   | 7,964E+1           | 2,880E+4       | 5,853E+3  | ja (BWZI) |               | ja (BWZI)                | 2,569E+8     |
| TP-101,14-T-411A,Kleine brand,Schone grondstof     | R34[D]->D341[D]->D466[D]->D473[D]->D29[D]->D751[B]->W765 | 4,500E-10  | 2,312E+5        | 3,469E+7            | 2,312E+0     | 1,000E+0   |                    | 2,880E+4       | 5,853E+3  | ja (BWZI) |               | ja (BWZI)                | 2,569E+8     |
| TP-101,14-T-411A,Kleine brand,Schone grondstof     | R34[D]->D341[D]->D466[D]->D473[D]->D29[D]->D751[B]->W765 | 4,500E-10  | 2,312E+5        |                     | 0,000E+0     | 1,000E+0   |                    | 2,880E+4       | 5,853E+3  | ja (BWZI) |               | ja (BWZI)                | 2,569E+8     |
| TP-101,14-T-411A,Kleine brand,Schone grondstof     | R34[D]->D341[D]->D466[D]->D473[D]->D29[D]->D751[B]->W765 | 4,500E-10  | 2,632E+5        |                     | 2,708E-2     | 1,111E+0   | 8,497E+1           | 2,880E+4       | 7,955E+3  | ja (BWZI) |               | ja (BWZI)                | 2,925E+8     |
| TP-101,14-T-411A,Kleine brand,Schone grondstof     | R34[D]->D341[D]->D466[D]->D473[D]->D29[D]->D751[B]->W765 | 4,500E-10  | 2,632E+5        | 3,948E+7            | 2,632E+0     | 1,000E+0   |                    | 2,880E+4       | 7,955E+3  | ja (BWZI) |               | ja (BWZI)                | 2,925E+8     |
| TP-101,14-T-411A,Kleine brand,Schone grondstof     | R34[D]->D341[D]->D466[D]->D473[D]->D29[D]->D751[B]->W765 | 4,500E-10  | 2,632E+5        |                     | 0,000E+0     | 1,000E+0   |                    | 2,880E+4       | 7,955E+3  | ja (BWZI) |               | ja (BWZI)                | 2,925E+8     |
| TP-101,14-T-411D,Instantaan falen,Schone grondstof | R34[D]->D341[D]->D466[D]->D473[D]->D29[D]->D751[B]->W765 | 4,455E-8   | 1,454E+5        |                     | 1,496E-2     | 1,111E+0   | 6,316E+1           | 2,880E+4       | 0,000E+0  | ja (BWZI) |               | ja (BWZI)                | 1,616E+8     |
| TP-101,14-T-411D,Instantaan falen,Schone grondstof | R34[D]->D341[D]->D466[D]->D473[D]->D29[D]->D751[B]->W765 | 4,455E-8   | 1,454E+5        | 1,614E+3            | 1,076E-4     | 1,000E+0   |                    | 2,880E+4       | 0,000E+0  | ja (BWZI) |               | ja (BWZI)                | 1,616E+8     |
| TP-101,14-T-411D,Instantaan falen,Schone grondstof | R34[D]->D341[D]->D466[D]->D473[D]->D29[D]->D751[B]->W765 | 4,455E-8   | 1,287E+0        |                     | 0,000E+0     | 1,000E+0   |                    | 1,130E+5       | 0,000E+0  | ja (BWZI) |               | ja (BWZI)                | 1,430E+3     |

| Group  | Afstroomroute  | Frequentie | Massa uitstroom | Volume contaminatie | MSI Factored | Weegfactor | Oever Contaminatie | Uitstroom tijd | Bluswater | RWZI      |               |                          | LC50 gewogen |
|--|--|------------|-----------------|---------------------|--------------|------------|--------------------|----------------|-----------|-----------|---------------|--------------------------|--------------|
|  |  |            |                 |                     |              |            |                    |                |           | inhibitie | overbelasting | Actief slib beïnvloeding |              |
|  |  | [j-1]      | [kg]            | [m3]                |              |            | [m]                | [s]            | [m3]      |           |               |                          | [m3]         |
| TP-101,14-T-411D,Continu falen,Schone grondstof    | R34[D]->D341[D]->D466[D]->D473[D]->D29[D]->D751[B]->W765                   | 4,455E-8   | 8,105E+5        |                     | 8,338E-2     | 1,111E+0   | 1,491E+2           | 2,880E+4       | 0,000E+0  | ja (BWZI) |               | ja (BWZI)                | 9,005E+8     |
| TP-101,14-T-411D,Continu falen,Schone grondstof    | R34[D]->D341[D]->D466[D]->D473[D]->D29[D]->D751[B]->W765                   | 4,455E-8   | 8,105E+5        | 8,992E+3            | 5,995E-4     | 1,000E+0   |                    | 2,880E+4       | 0,000E+0  | ja (BWZI) |               | ja (BWZI)                | 9,005E+8     |
| TP-101,14-T-411D,Continu falen,Schone grondstof    | R34[D]->D341[D]->D466[D]->D473[D]->D29[D]->D751[B]->W765                   | 4,455E-8   | 7,172E+0        |                     | 0,000E+0     | 1,000E+0   |                    | 1,130E+5       | 0,000E+0  | ja (BWZI) |               | ja (BWZI)                | 7,969E+3     |
| TP-101,14-T-411D,Topping,Schone grondstof          | R34[O]->D573[D]->D341[D]->D466[D]->D473[D]->D29[D]->D751[B]->W765          | 2,250E-7   | 1,455E+5        |                     | 1,497E-2     | 1,111E+0   | 6,317E+1           | 2,880E+4       | 0,000E+0  | ja (BWZI) |               | ja (BWZI)                | 1,616E+8     |
| TP-101,14-T-411D,Topping,Schone grondstof          | R34[O]->D573[D]->D341[D]->D466[D]->D473[D]->D29[D]->D751[B]->W765          | 2,250E-7   | 1,455E+5        | 1,614E+3            | 1,076E-4     | 1,000E+0   |                    | 2,880E+4       | 0,000E+0  | ja (BWZI) |               | ja (BWZI)                | 1,616E+8     |
| TP-101,14-T-411D,Topping,Schone grondstof          | R34[O]->D573[D]->D341[D]->D466[D]->D473[D]->D29[D]->D751[B]->W765          | 2,250E-7   | 1,287E+0        |                     | 0,000E+0     | 1,000E+0   |                    | 1,130E+5       | 0,000E+0  | ja (BWZI) |               | ja (BWZI)                | 1,430E+3     |
| TP-101,14-T-411D,Topping,Schone grondstof          | R34[O]->D573[O]->D504[D]->D341[D]->D466[D]->D473[D]->D29[D]->D751[B]->W765 | 2,250E-8   | 1,455E+5        |                     | 1,497E-2     | 1,111E+0   | 6,317E+1           | 2,880E+4       | 0,000E+0  | ja (BWZI) |               | ja (BWZI)                | 1,616E+8     |
| TP-101,14-T-411D,Topping,Schone grondstof          | R34[O]->D573[O]->D504[D]->D341[D]->D466[D]->D473[D]->D29[D]->D751[B]->W765 | 2,250E-8   | 1,455E+5        | 1,614E+3            | 1,076E-4     | 1,000E+0   |                    | 2,880E+4       | 0,000E+0  | ja (BWZI) |               | ja (BWZI)                | 1,616E+8     |
| TP-101,14-T-411D,Topping,Schone grondstof          | R34[O]->D573[O]->D504[D]->D341[D]->D466[D]->D473[D]->D29[D]->D751[B]->W765 | 2,250E-8   | 1,287E+0        |                     | 0,000E+0     | 1,000E+0   |                    | 1,130E+5       | 0,000E+0  | ja (BWZI) |               | ja (BWZI)                | 1,430E+3     |
| TP-101,14-T-411C,Instantaan falen,Schone grondstof | R34[D]->D341[D]->D466[D]->D473[D]->D29[D]->D751[B]->W765                   | 4,455E-8   | 1,454E+5        |                     | 1,496E-2     | 1,111E+0   | 6,316E+1           | 2,880E+4       | 0,000E+0  | ja (BWZI) |               | ja (BWZI)                | 1,616E+8     |
| TP-101,14-T-411C,Instantaan falen,Schone grondstof | R34[D]->D341[D]->D466[D]->D473[D]->D29[D]->D751[B]->W765                   | 4,455E-8   | 1,454E+5        | 1,614E+3            | 1,076E-4     | 1,000E+0   |                    | 2,880E+4       | 0,000E+0  | ja (BWZI) |               | ja (BWZI)                | 1,616E+8     |
| TP-101,14-T-411C,Instantaan falen,Schone grondstof | R34[D]->D341[D]->D466[D]->D473[D]->D29[D]->D751[B]->W765                   | 4,455E-8   | 1,287E+0        |                     | 0,000E+0     | 1,000E+0   |                    | 1,130E+5       | 0,000E+0  | ja (BWZI) |               | ja (BWZI)                | 1,430E+3     |
| TP-101,14-T-411C,Continu falen,Schone grondstof    | R34[D]->D341[D]->D466[D]->D473[D]->D29[D]->D751[B]->W765                   | 4,455E-8   | 8,105E+5        |                     | 8,338E-2     | 1,111E+0   | 1,491E+2           | 2,880E+4       | 0,000E+0  | ja (BWZI) |               | ja (BWZI)                | 9,005E+8     |
| TP-101,14-T-411C,Continu falen,Schone grondstof    | R34[D]->D341[D]->D466[D]->D473[D]->D29[D]->D751[B]->W765                   | 4,455E-8   | 8,105E+5        | 8,992E+3            | 5,995E-4     | 1,000E+0   |                    | 2,880E+4       | 0,000E+0  | ja (BWZI) |               | ja (BWZI)                | 9,005E+8     |
| TP-101,14-T-411C,Continu falen,Schone grondstof    | R34[D]->D341[D]->D466[D]->D473[D]->D29[D]->D751[B]->W765                   | 4,455E-8   | 7,172E+0        |                     | 0,000E+0     | 1,000E+0   |                    | 1,130E+5       | 0,000E+0  | ja (BWZI) |               | ja (BWZI)                | 7,969E+3     |
| TP-101,14-T-411C,Topping,Schone grondstof          | R34[O]->D573[D]->D341[D]->D466[D]->D473[D]->D29[D]->D751[B]->W765          | 2,250E-7   | 1,455E+5        |                     | 1,497E-2     | 1,111E+0   | 6,317E+1           | 2,880E+4       | 0,000E+0  | ja (BWZI) |               | ja (BWZI)                | 1,616E+8     |

| Group  | Afstroomroute  | Frequentie | Massa uitstroom | Volume contaminatie | MSI Factored | Weegfactor | Oever Contaminatie | Uitstroom tijd | Bluswater | RWZI      |               |                          | LC50 gewogen |
|--|--|------------|-----------------|---------------------|--------------|------------|--------------------|----------------|-----------|-----------|---------------|--------------------------|--------------|
|  |  | [j-1]      | [kg]            | [m3]                |              |            | [m]                | [s]            | [m3]      | inhibitie | overbelasting | Actief slib beïnvloeding | [m3]         |
| TP-101,14-T-411C,Topping,Schone grondstof          | R34[O]->D573[D]->D341[D]->D466[D]->D473[D]->D29[D]->D751[B]->W765          | 2,250E-7   | 1,455E+5        | 1,614E+3            | 1,076E-4     | 1,000E+0   |                    | 2,880E+4       | 0,000E+0  | ja (BWZI) |               | ja (BWZI)                | 1,616E+8     |
| TP-101,14-T-411C,Topping,Schone grondstof          | R34[O]->D573[D]->D341[D]->D466[D]->D473[D]->D29[D]->D751[B]->W765          | 2,250E-7   | 1,287E+0        |                     | 0,000E+0     | 1,000E+0   |                    | 1,130E+5       | 0,000E+0  | ja (BWZI) |               | ja (BWZI)                | 1,430E+3     |
| TP-101,14-T-411C,Topping,Schone grondstof          | R34[O]->D573[O]->D504[D]->D341[D]->D466[D]->D473[D]->D29[D]->D751[B]->W765 | 2,250E-8   | 1,455E+5        |                     | 1,497E-2     | 1,111E+0   | 6,317E+1           | 2,880E+4       | 0,000E+0  | ja (BWZI) |               | ja (BWZI)                | 1,616E+8     |
| TP-101,14-T-411C,Topping,Schone grondstof          | R34[O]->D573[O]->D504[D]->D341[D]->D466[D]->D473[D]->D29[D]->D751[B]->W765 | 2,250E-8   | 1,455E+5        | 1,614E+3            | 1,076E-4     | 1,000E+0   |                    | 2,880E+4       | 0,000E+0  | ja (BWZI) |               | ja (BWZI)                | 1,616E+8     |
| TP-101,14-T-411C,Topping,Schone grondstof          | R34[O]->D573[O]->D504[D]->D341[D]->D466[D]->D473[D]->D29[D]->D751[B]->W765 | 2,250E-8   | 1,287E+0        |                     | 0,000E+0     | 1,000E+0   |                    | 1,130E+5       | 0,000E+0  | ja (BWZI) |               | ja (BWZI)                | 1,430E+3     |
| TP-101,14-T-411B,Instantaan falen,Schone grondstof | R34[D]->D341[D]->D466[D]->D473[D]->D29[D]->D751[B]->W765                   | 4,455E-8   | 1,454E+5        |                     | 1,496E-2     | 1,111E+0   | 6,316E+1           | 2,880E+4       | 0,000E+0  | ja (BWZI) |               | ja (BWZI)                | 1,616E+8     |
| TP-101,14-T-411B,Instantaan falen,Schone grondstof | R34[D]->D341[D]->D466[D]->D473[D]->D29[D]->D751[B]->W765                   | 4,455E-8   | 1,454E+5        | 1,614E+3            | 1,076E-4     | 1,000E+0   |                    | 2,880E+4       | 0,000E+0  | ja (BWZI) |               | ja (BWZI)                | 1,616E+8     |
| TP-101,14-T-411B,Instantaan falen,Schone grondstof | R34[D]->D341[D]->D466[D]->D473[D]->D29[D]->D751[B]->W765                   | 4,455E-8   | 1,287E+0        |                     | 0,000E+0     | 1,000E+0   |                    | 1,130E+5       | 0,000E+0  | ja (BWZI) |               | ja (BWZI)                | 1,430E+3     |
| TP-101,14-T-411B,Continu falen,Schone grondstof    | R34[D]->D341[D]->D466[D]->D473[D]->D29[D]->D751[B]->W765                   | 4,455E-8   | 8,105E+5        |                     | 8,338E-2     | 1,111E+0   | 1,491E+2           | 2,880E+4       | 0,000E+0  | ja (BWZI) |               | ja (BWZI)                | 9,005E+8     |
| TP-101,14-T-411B,Continu falen,Schone grondstof    | R34[D]->D341[D]->D466[D]->D473[D]->D29[D]->D751[B]->W765                   | 4,455E-8   | 8,105E+5        | 8,992E+3            | 5,995E-4     | 1,000E+0   |                    | 2,880E+4       | 0,000E+0  | ja (BWZI) |               | ja (BWZI)                | 9,005E+8     |
| TP-101,14-T-411B,Continu falen,Schone grondstof    | R34[D]->D341[D]->D466[D]->D473[D]->D29[D]->D751[B]->W765                   | 4,455E-8   | 7,172E+0        |                     | 0,000E+0     | 1,000E+0   |                    | 1,130E+5       | 0,000E+0  | ja (BWZI) |               | ja (BWZI)                | 7,969E+3     |
| TP-101,14-T-411B,Topping,Schone grondstof          | R34[O]->D573[D]->D341[D]->D466[D]->D473[D]->D29[D]->D751[B]->W765          | 2,250E-7   | 1,455E+5        |                     | 1,497E-2     | 1,111E+0   | 6,317E+1           | 2,880E+4       | 0,000E+0  | ja (BWZI) |               | ja (BWZI)                | 1,616E+8     |
| TP-101,14-T-411B,Topping,Schone grondstof          | R34[O]->D573[D]->D341[D]->D466[D]->D473[D]->D29[D]->D751[B]->W765          | 2,250E-7   | 1,455E+5        | 1,614E+3            | 1,076E-4     | 1,000E+0   |                    | 2,880E+4       | 0,000E+0  | ja (BWZI) |               | ja (BWZI)                | 1,616E+8     |
| TP-101,14-T-411B,Topping,Schone grondstof          | R34[O]->D573[D]->D341[D]->D466[D]->D473[D]->D29[D]->D751[B]->W765          | 2,250E-7   | 1,287E+0        |                     | 0,000E+0     | 1,000E+0   |                    | 1,130E+5       | 0,000E+0  | ja (BWZI) |               | ja (BWZI)                | 1,430E+3     |
| TP-101,14-T-411B,Topping,Schone grondstof          | R34[O]->D573[O]->D504[D]->D341[D]->D466[D]->D473[D]->D29[D]->D751[B]->W765 | 2,250E-8   | 1,455E+5        |                     | 1,497E-2     | 1,111E+0   | 6,317E+1           | 2,880E+4       | 0,000E+0  | ja (BWZI) |               | ja (BWZI)                | 1,616E+8     |
| TP-101,14-T-411B,Topping,Schone grondstof          | R34[O]->D573[O]->D504[D]->D341[D]->D466[D]->D473[D]->D29[D]->D751[B]->W765 | 2,250E-8   | 1,455E+5        | 1,614E+3            | 1,076E-4     | 1,000E+0   |                    | 2,880E+4       | 0,000E+0  | ja (BWZI) |               | ja (BWZI)                | 1,616E+8     |

| Group  | Afstroomroute  | Frequentie | Massa uitstroom | Volume contaminatie | MSI Factored | Weegfactor | Oever Contaminatie | Uitstroom tijd | Bluswater | RWZI      |               |                          | LC50 gewogen |
|--|--|------------|-----------------|---------------------|--------------|------------|--------------------|----------------|-----------|-----------|---------------|--------------------------|--------------|
|  |  | [j-1]      | [kg]            | [m3]                |              |            | [m]                | [s]            | [m3]      | inhibitie | overbelasting | Actief slib beïnvloeding | [m3]         |
| TP-101,14-T-411B,Topping,Schone grondstof          | R34[O]->D573[O]->D504[D]->D341[D]->D466[D]->D473[D]->D29[D]->D751[B]->W765 | 2,250E-8   | 1,287E+0        |                     | 0,000E+0     | 1,000E+0   |                    | 1,130E+5       | 0,000E+0  | ja (BWZI) |               | ja (BWZI)                | 1,430E+3     |
| TP-101,14-T-411A,Instantaan falen,Schone grondstof | R34[D]->D341[D]->D466[D]->D473[D]->D29[D]->D751[B]->W765                   | 4,455E-8   | 1,454E+5        |                     | 1,496E-2     | 1,111E+0   | 6,316E+1           | 2,880E+4       | 0,000E+0  | ja (BWZI) |               | ja (BWZI)                | 1,616E+8     |
| TP-101,14-T-411A,Instantaan falen,Schone grondstof | R34[D]->D341[D]->D466[D]->D473[D]->D29[D]->D751[B]->W765                   | 4,455E-8   | 1,454E+5        | 1,614E+3            | 1,076E-4     | 1,000E+0   |                    | 2,880E+4       | 0,000E+0  | ja (BWZI) |               | ja (BWZI)                | 1,616E+8     |
| TP-101,14-T-411A,Instantaan falen,Schone grondstof | R34[D]->D341[D]->D466[D]->D473[D]->D29[D]->D751[B]->W765                   | 4,455E-8   | 1,287E+0        |                     | 0,000E+0     | 1,000E+0   |                    | 1,130E+5       | 0,000E+0  | ja (BWZI) |               | ja (BWZI)                | 1,430E+3     |
| TP-101,14-T-411A,Continu falen,Schone grondstof    | R34[D]->D341[D]->D466[D]->D473[D]->D29[D]->D751[B]->W765                   | 4,455E-8   | 8,105E+5        |                     | 8,338E-2     | 1,111E+0   | 1,491E+2           | 2,880E+4       | 0,000E+0  | ja (BWZI) |               | ja (BWZI)                | 9,005E+8     |
| TP-101,14-T-411A,Continu falen,Schone grondstof    | R34[D]->D341[D]->D466[D]->D473[D]->D29[D]->D751[B]->W765                   | 4,455E-8   | 8,105E+5        | 8,992E+3            | 5,995E-4     | 1,000E+0   |                    | 2,880E+4       | 0,000E+0  | ja (BWZI) |               | ja (BWZI)                | 9,005E+8     |
| TP-101,14-T-411A,Continu falen,Schone grondstof    | R34[D]->D341[D]->D466[D]->D473[D]->D29[D]->D751[B]->W765                   | 4,455E-8   | 7,172E+0        |                     | 0,000E+0     | 1,000E+0   |                    | 1,130E+5       | 0,000E+0  | ja (BWZI) |               | ja (BWZI)                | 7,969E+3     |
| TP-101,14-T-411A,Topping,Schone grondstof          | R34[O]->D573[D]->D341[D]->D466[D]->D473[D]->D29[D]->D751[B]->W765          | 2,250E-7   | 1,455E+5        |                     | 1,497E-2     | 1,111E+0   | 6,317E+1           | 2,880E+4       | 0,000E+0  | ja (BWZI) |               | ja (BWZI)                | 1,616E+8     |
| TP-101,14-T-411A,Topping,Schone grondstof          | R34[O]->D573[D]->D341[D]->D466[D]->D473[D]->D29[D]->D751[B]->W765          | 2,250E-7   | 1,455E+5        | 1,614E+3            | 1,076E-4     | 1,000E+0   |                    | 2,880E+4       | 0,000E+0  | ja (BWZI) |               | ja (BWZI)                | 1,616E+8     |
| TP-101,14-T-411A,Topping,Schone grondstof          | R34[O]->D573[D]->D341[D]->D466[D]->D473[D]->D29[D]->D751[B]->W765          | 2,250E-7   | 1,287E+0        |                     | 0,000E+0     | 1,000E+0   |                    | 1,130E+5       | 0,000E+0  | ja (BWZI) |               | ja (BWZI)                | 1,430E+3     |
| TP-101,14-T-411A,Topping,Schone grondstof          | R34[O]->D573[O]->D504[D]->D341[D]->D466[D]->D473[D]->D29[D]->D751[B]->W765 | 2,250E-8   | 1,455E+5        |                     | 1,497E-2     | 1,111E+0   | 6,317E+1           | 2,880E+4       | 0,000E+0  | ja (BWZI) |               | ja (BWZI)                | 1,616E+8     |
| TP-101,14-T-411A,Topping,Schone grondstof          | R34[O]->D573[O]->D504[D]->D341[D]->D466[D]->D473[D]->D29[D]->D751[B]->W765 | 2,250E-8   | 1,455E+5        | 1,614E+3            | 1,076E-4     | 1,000E+0   |                    | 2,880E+4       | 0,000E+0  | ja (BWZI) |               | ja (BWZI)                | 1,616E+8     |
| TP-101,14-T-411A,Topping,Schone grondstof          | R34[O]->D573[O]->D504[D]->D341[D]->D466[D]->D473[D]->D29[D]->D751[B]->W765 | 2,250E-8   | 1,287E+0        |                     | 0,000E+0     | 1,000E+0   |                    | 1,130E+5       | 0,000E+0  | ja (BWZI) |               | ja (BWZI)                | 1,430E+3     |
| TP-101,14-T-171,Instantaan falen,Ruwe grondstof    | R34[D]->D341[D]->D466[D]->D473[D]->D29[D]->D751[B]->W765                   | 4,500E-8   | 1,262E+5        |                     | 1,299E-2     | 1,111E+0   | 6,138E+1           | 2,880E+4       | 0,000E+0  | ja (BWZI) |               | ja (BWZI)                | 1,403E+8     |
| TP-101,14-T-171,Instantaan falen,Ruwe grondstof    | R34[D]->D341[D]->D466[D]->D473[D]->D29[D]->D751[B]->W765                   | 4,500E-8   | 1,262E+5        | 1,524E+3            | 1,016E-4     | 1,000E+0   |                    | 2,880E+4       | 0,000E+0  | ja (BWZI) |               | ja (BWZI)                | 1,403E+8     |
| TP-101,14-T-171,Instantaan falen,Ruwe grondstof    | R34[D]->D341[D]->D466[D]->D473[D]->D29[D]->D751[B]->W765                   | 4,500E-8   | 1,216E+0        |                     | 0,000E+0     | 1,000E+0   |                    | 1,038E+5       | 0,000E+0  | ja (BWZI) |               | ja (BWZI)                | 1,351E+3     |

| Group  | Afstroomroute  | Frequentie | Massa uitstroom | Volume contaminatie | MSI Factored | Weegfactor | Oever Contaminatie | Uitstroom tijd | Bluswater | RWZI      |               |                          | LC50 gewogen |
|--|--|------------|-----------------|---------------------|--------------|------------|--------------------|----------------|-----------|-----------|---------------|--------------------------|--------------|
|  |  |            |                 |                     |              |            |                    |                |           | inhibitie | overbelasting | Actief slib beïnvloeding |              |
|  |  | [j-1]      | [kg]            | [m3]                |              |            | [m]                | [s]            | [m3]      |           |               |                          | [m3]         |
| TP-101,14-T-171,Continu falen,Ruwe grondstof     | R34[D]->D341[D]->D466[D]->D473[D]->D29[D]->D751[B]->W765                   | 4,500E-8   | 2,205E+5        |                     | 2,269E-2     | 1,111E+0   | 8,113E+1           | 2,880E+4       | 0,000E+0  | ja (BWZI) |               | ja (BWZI)                | 2,450E+8     |
| TP-101,14-T-171,Continu falen,Ruwe grondstof     | R34[D]->D341[D]->D466[D]->D473[D]->D29[D]->D751[B]->W765                   | 4,500E-8   | 2,205E+5        | 2,662E+3            | 1,775E-4     | 1,000E+0   |                    | 2,880E+4       | 0,000E+0  | ja (BWZI) |               | ja (BWZI)                | 2,450E+8     |
| TP-101,14-T-171,Continu falen,Ruwe grondstof     | R34[D]->D341[D]->D466[D]->D473[D]->D29[D]->D751[B]->W765                   | 4,500E-8   | 2,124E+0        |                     | 0,000E+0     | 1,000E+0   |                    | 1,038E+5       | 0,000E+0  | ja (BWZI) |               | ja (BWZI)                | 2,360E+3     |
| TP-101,14-T-171,Topping,Ruwe grondstof           | R34[O]->D573[D]->D341[D]->D466[D]->D473[D]->D29[D]->D751[B]->W765          | 2,250E-7   | 1,452E+5        |                     | 1,494E-2     | 1,111E+0   | 6,584E+1           | 2,880E+4       | 0,000E+0  | ja (BWZI) |               | ja (BWZI)                | 1,614E+8     |
| TP-101,14-T-171,Topping,Ruwe grondstof           | R34[O]->D573[D]->D341[D]->D466[D]->D473[D]->D29[D]->D751[B]->W765          | 2,250E-7   | 1,452E+5        | 1,753E+3            | 1,169E-4     | 1,000E+0   |                    | 2,880E+4       | 0,000E+0  | ja (BWZI) |               | ja (BWZI)                | 1,614E+8     |
| TP-101,14-T-171,Topping,Ruwe grondstof           | R34[O]->D573[D]->D341[D]->D466[D]->D473[D]->D29[D]->D751[B]->W765          | 2,250E-7   | 1,398E+0        |                     | 0,000E+0     | 1,000E+0   |                    | 1,038E+5       | 0,000E+0  | ja (BWZI) |               | ja (BWZI)                | 1,554E+3     |
| TP-101,14-T-171,Topping,Ruwe grondstof           | R34[O]->D573[O]->D504[D]->D341[D]->D466[D]->D473[D]->D29[D]->D751[B]->W765 | 2,250E-8   | 1,452E+5        |                     | 1,494E-2     | 1,111E+0   | 6,584E+1           | 2,880E+4       | 0,000E+0  | ja (BWZI) |               | ja (BWZI)                | 1,614E+8     |
| TP-101,14-T-171,Topping,Ruwe grondstof           | R34[O]->D573[O]->D504[D]->D341[D]->D466[D]->D473[D]->D29[D]->D751[B]->W765 | 2,250E-8   | 1,452E+5        | 1,753E+3            | 1,169E-4     | 1,000E+0   |                    | 2,880E+4       | 0,000E+0  | ja (BWZI) |               | ja (BWZI)                | 1,614E+8     |
| TP-101,14-T-171,Topping,Ruwe grondstof           | R34[O]->D573[O]->D504[D]->D341[D]->D466[D]->D473[D]->D29[D]->D751[B]->W765 | 2,250E-8   | 1,398E+0        |                     | 0,000E+0     | 1,000E+0   |                    | 1,038E+5       | 0,000E+0  | ja (BWZI) |               | ja (BWZI)                | 1,554E+3     |
| TP-101,14-T-211D,Instantaan falen,Ruwe grondstof | R34[D]->D341[D]->D466[D]->D473[D]->D29[D]->D751[B]->W765                   | 4,500E-8   | 1,454E+5        |                     | 1,496E-2     | 1,111E+0   | 6,588E+1           | 2,880E+4       | 0,000E+0  | ja (BWZI) |               | ja (BWZI)                | 1,616E+8     |
| TP-101,14-T-211D,Instantaan falen,Ruwe grondstof | R34[D]->D341[D]->D466[D]->D473[D]->D29[D]->D751[B]->W765                   | 4,500E-8   | 1,454E+5        | 1,756E+3            | 1,170E-4     | 1,000E+0   |                    | 2,880E+4       | 0,000E+0  | ja (BWZI) |               | ja (BWZI)                | 1,616E+8     |
| TP-101,14-T-211D,Instantaan falen,Ruwe grondstof | R34[D]->D341[D]->D466[D]->D473[D]->D29[D]->D751[B]->W765                   | 4,500E-8   | 1,400E+0        |                     | 0,000E+0     | 1,000E+0   |                    | 1,038E+5       | 0,000E+0  | ja (BWZI) |               | ja (BWZI)                | 1,556E+3     |
| TP-101,14-T-211D,Continu falen,Ruwe grondstof    | R34[D]->D341[D]->D466[D]->D473[D]->D29[D]->D751[B]->W765                   | 4,500E-8   | 4,401E+5        |                     | 4,528E-2     | 1,111E+0   | 1,146E+2           | 2,880E+4       | 0,000E+0  | ja (BWZI) |               | ja (BWZI)                | 4,890E+8     |
| TP-101,14-T-211D,Continu falen,Ruwe grondstof    | R34[D]->D341[D]->D466[D]->D473[D]->D29[D]->D751[B]->W765                   | 4,500E-8   | 4,401E+5        | 5,313E+3            | 3,542E-4     | 1,000E+0   |                    | 2,880E+4       | 0,000E+0  | ja (BWZI) |               | ja (BWZI)                | 4,890E+8     |
| TP-101,14-T-211D,Continu falen,Ruwe grondstof    | R34[D]->D341[D]->D466[D]->D473[D]->D29[D]->D751[B]->W765                   | 4,500E-8   | 4,238E+0        |                     | 0,000E+0     | 1,000E+0   |                    | 1,038E+5       | 0,000E+0  | ja (BWZI) |               | ja (BWZI)                | 4,709E+3     |
| TP-101,14-T-211D,Topping,Ruwe grondstof          | R34[O]->D573[D]->D341[D]->D466[D]->D473[D]->D29[D]->D751[B]->W765          | 2,250E-7   | 1,455E+5        |                     | 1,497E-2     | 1,111E+0   | 6,589E+1           | 2,880E+4       | 0,000E+0  | ja (BWZI) |               | ja (BWZI)                | 1,616E+8     |

| Group  | Afstroomroute  | Frequentie | Massa uitstroom | Volume contaminatie | MSI Factored | Weegfactor | Oever Contaminatie | Uitstroom tijd | Bluswater | RWZI      |               |                          | LC50 gewogen |
|--|--|------------|-----------------|---------------------|--------------|------------|--------------------|----------------|-----------|-----------|---------------|--------------------------|--------------|
|  |  | [j-1]      | [kg]            | [m3]                |              |            | [m]                | [s]            | [m3]      | inhibitie | overbelasting | Actief slib beïnvloeding | [m3]         |
| TP-101,14-T-211D,Topping,Ruwe grondstof          | R34[O]->D573[D]->D341[D]->D466[D]->D473[D]->D29[D]->D751[B]->W765          | 2,250E-7   | 1,455E+5        | 1,756E+3            | 1,171E-4     | 1,000E+0   |                    | 2,880E+4       | 0,000E+0  | ja (BWZI) |               | ja (BWZI)                | 1,616E+8     |
| TP-101,14-T-211D,Topping,Ruwe grondstof          | R34[O]->D573[D]->D341[D]->D466[D]->D473[D]->D29[D]->D751[B]->W765          | 2,250E-7   | 1,401E+0        |                     | 0,000E+0     | 1,000E+0   |                    | 1,038E+5       | 0,000E+0  | ja (BWZI) |               | ja (BWZI)                | 1,556E+3     |
| TP-101,14-T-211D,Topping,Ruwe grondstof          | R34[O]->D573[O]->D504[D]->D341[D]->D466[D]->D473[D]->D29[D]->D751[B]->W765 | 2,250E-8   | 1,455E+5        |                     | 1,497E-2     | 1,111E+0   | 6,589E+1           | 2,880E+4       | 0,000E+0  | ja (BWZI) |               | ja (BWZI)                | 1,616E+8     |
| TP-101,14-T-211D,Topping,Ruwe grondstof          | R34[O]->D573[O]->D504[D]->D341[D]->D466[D]->D473[D]->D29[D]->D751[B]->W765 | 2,250E-8   | 1,455E+5        | 1,756E+3            | 1,171E-4     | 1,000E+0   |                    | 2,880E+4       | 0,000E+0  | ja (BWZI) |               | ja (BWZI)                | 1,616E+8     |
| TP-101,14-T-211D,Topping,Ruwe grondstof          | R34[O]->D573[O]->D504[D]->D341[D]->D466[D]->D473[D]->D29[D]->D751[B]->W765 | 2,250E-8   | 1,401E+0        |                     | 0,000E+0     | 1,000E+0   |                    | 1,038E+5       | 0,000E+0  | ja (BWZI) |               | ja (BWZI)                | 1,556E+3     |
| TP-101,14-T-211C,Instantaan falen,Ruwe grondstof | R34[D]->D341[D]->D466[D]->D473[D]->D29[D]->D751[B]->W765                   | 4,500E-8   | 1,454E+5        |                     | 1,496E-2     | 1,111E+0   | 6,588E+1           | 2,880E+4       | 0,000E+0  | ja (BWZI) |               | ja (BWZI)                | 1,616E+8     |
| TP-101,14-T-211C,Instantaan falen,Ruwe grondstof | R34[D]->D341[D]->D466[D]->D473[D]->D29[D]->D751[B]->W765                   | 4,500E-8   | 1,454E+5        | 1,756E+3            | 1,170E-4     | 1,000E+0   |                    | 2,880E+4       | 0,000E+0  | ja (BWZI) |               | ja (BWZI)                | 1,616E+8     |
| TP-101,14-T-211C,Instantaan falen,Ruwe grondstof | R34[D]->D341[D]->D466[D]->D473[D]->D29[D]->D751[B]->W765                   | 4,500E-8   | 1,400E+0        |                     | 0,000E+0     | 1,000E+0   |                    | 1,038E+5       | 0,000E+0  | ja (BWZI) |               | ja (BWZI)                | 1,556E+3     |
| TP-101,14-T-211C,Continu falen,Ruwe grondstof    | R34[D]->D341[D]->D466[D]->D473[D]->D29[D]->D751[B]->W765                   | 4,500E-8   | 4,401E+5        |                     | 4,528E-2     | 1,111E+0   | 1,146E+2           | 2,880E+4       | 0,000E+0  | ja (BWZI) |               | ja (BWZI)                | 4,890E+8     |
| TP-101,14-T-211C,Continu falen,Ruwe grondstof    | R34[D]->D341[D]->D466[D]->D473[D]->D29[D]->D751[B]->W765                   | 4,500E-8   | 4,401E+5        | 5,313E+3            | 3,542E-4     | 1,000E+0   |                    | 2,880E+4       | 0,000E+0  | ja (BWZI) |               | ja (BWZI)                | 4,890E+8     |
| TP-101,14-T-211C,Continu falen,Ruwe grondstof    | R34[D]->D341[D]->D466[D]->D473[D]->D29[D]->D751[B]->W765                   | 4,500E-8   | 4,238E+0        |                     | 0,000E+0     | 1,000E+0   |                    | 1,038E+5       | 0,000E+0  | ja (BWZI) |               | ja (BWZI)                | 4,709E+3     |
| TP-101,14-T-211C,Topping,Ruwe grondstof          | R34[O]->D573[D]->D341[D]->D466[D]->D473[D]->D29[D]->D751[B]->W765          | 2,250E-7   | 1,455E+5        |                     | 1,497E-2     | 1,111E+0   | 6,589E+1           | 2,880E+4       | 0,000E+0  | ja (BWZI) |               | ja (BWZI)                | 1,616E+8     |
| TP-101,14-T-211C,Topping,Ruwe grondstof          | R34[O]->D573[D]->D341[D]->D466[D]->D473[D]->D29[D]->D751[B]->W765          | 2,250E-7   | 1,455E+5        | 1,756E+3            | 1,171E-4     | 1,000E+0   |                    | 2,880E+4       | 0,000E+0  | ja (BWZI) |               | ja (BWZI)                | 1,616E+8     |
| TP-101,14-T-211C,Topping,Ruwe grondstof          | R34[O]->D573[D]->D341[D]->D466[D]->D473[D]->D29[D]->D751[B]->W765          | 2,250E-7   | 1,401E+0        |                     | 0,000E+0     | 1,000E+0   |                    | 1,038E+5       | 0,000E+0  | ja (BWZI) |               | ja (BWZI)                | 1,556E+3     |
| TP-101,14-T-211C,Topping,Ruwe grondstof          | R34[O]->D573[O]->D504[D]->D341[D]->D466[D]->D473[D]->D29[D]->D751[B]->W765 | 2,250E-8   | 1,455E+5        |                     | 1,497E-2     | 1,111E+0   | 6,589E+1           | 2,880E+4       | 0,000E+0  | ja (BWZI) |               | ja (BWZI)                | 1,616E+8     |
| TP-101,14-T-211C,Topping,Ruwe grondstof          | R34[O]->D573[O]->D504[D]->D341[D]->D466[D]->D473[D]->D29[D]->D751[B]->W765 | 2,250E-8   | 1,455E+5        | 1,756E+3            | 1,171E-4     | 1,000E+0   |                    | 2,880E+4       | 0,000E+0  | ja (BWZI) |               | ja (BWZI)                | 1,616E+8     |

| Group  | Afstroomroute  | Frequentie | Massa uitstroom | Volume contaminatie | MSI Factored | Weegfactor | Oever Contaminatie | Uitstroom tijd | Bluswater | RWZI      |               |                          | LC50 gewogen |
|--|--|------------|-----------------|---------------------|--------------|------------|--------------------|----------------|-----------|-----------|---------------|--------------------------|--------------|
|  |  | [j-1]      | [kg]            | [m3]                |              |            | [m]                | [s]            | [m3]      | inhibitie | overbelasting | Actief slib beïnvloeding | [m3]         |
| TP-101,14-T-211C,Topping,Ruwe grondstof          | R34[O]->D573[O]->D504[D]->D341[D]->D466[D]->D473[D]->D29[D]->D751[B]->W765 | 2,250E-8   | 1,401E+0        |                     | 0,000E+0     | 1,000E+0   |                    | 1,038E+5       | 0,000E+0  | ja (BWZI) |               | ja (BWZI)                | 1,556E+3     |
| TP-101,14-T-211B,Instantaan falen,Ruwe grondstof | R34[D]->D341[D]->D466[D]->D473[D]->D29[D]->D751[B]->W765                   | 4,500E-8   | 1,454E+5        |                     | 1,496E-2     | 1,111E+0   | 6,588E+1           | 2,880E+4       | 0,000E+0  | ja (BWZI) |               | ja (BWZI)                | 1,616E+8     |
| TP-101,14-T-211B,Instantaan falen,Ruwe grondstof | R34[D]->D341[D]->D466[D]->D473[D]->D29[D]->D751[B]->W765                   | 4,500E-8   | 1,454E+5        | 1,756E+3            | 1,170E-4     | 1,000E+0   |                    | 2,880E+4       | 0,000E+0  | ja (BWZI) |               | ja (BWZI)                | 1,616E+8     |
| TP-101,14-T-211B,Instantaan falen,Ruwe grondstof | R34[D]->D341[D]->D466[D]->D473[D]->D29[D]->D751[B]->W765                   | 4,500E-8   | 1,400E+0        |                     | 0,000E+0     | 1,000E+0   |                    | 1,038E+5       | 0,000E+0  | ja (BWZI) |               | ja (BWZI)                | 1,556E+3     |
| TP-101,14-T-211B,Continu falen,Ruwe grondstof    | R34[D]->D341[D]->D466[D]->D473[D]->D29[D]->D751[B]->W765                   | 4,500E-8   | 4,401E+5        |                     | 4,528E-2     | 1,111E+0   | 1,146E+2           | 2,880E+4       | 0,000E+0  | ja (BWZI) |               | ja (BWZI)                | 4,890E+8     |
| TP-101,14-T-211B,Continu falen,Ruwe grondstof    | R34[D]->D341[D]->D466[D]->D473[D]->D29[D]->D751[B]->W765                   | 4,500E-8   | 4,401E+5        | 5,313E+3            | 3,542E-4     | 1,000E+0   |                    | 2,880E+4       | 0,000E+0  | ja (BWZI) |               | ja (BWZI)                | 4,890E+8     |
| TP-101,14-T-211B,Continu falen,Ruwe grondstof    | R34[D]->D341[D]->D466[D]->D473[D]->D29[D]->D751[B]->W765                   | 4,500E-8   | 4,238E+0        |                     | 0,000E+0     | 1,000E+0   |                    | 1,038E+5       | 0,000E+0  | ja (BWZI) |               | ja (BWZI)                | 4,709E+3     |
| TP-101,14-T-211B,Topping,Ruwe grondstof          | R34[O]->D573[D]->D341[D]->D466[D]->D473[D]->D29[D]->D751[B]->W765          | 2,250E-7   | 1,455E+5        |                     | 1,497E-2     | 1,111E+0   | 6,589E+1           | 2,880E+4       | 0,000E+0  | ja (BWZI) |               | ja (BWZI)                | 1,616E+8     |
| TP-101,14-T-211B,Topping,Ruwe grondstof          | R34[O]->D573[D]->D341[D]->D466[D]->D473[D]->D29[D]->D751[B]->W765          | 2,250E-7   | 1,455E+5        | 1,756E+3            | 1,171E-4     | 1,000E+0   |                    | 2,880E+4       | 0,000E+0  | ja (BWZI) |               | ja (BWZI)                | 1,616E+8     |
| TP-101,14-T-211B,Topping,Ruwe grondstof          | R34[O]->D573[D]->D341[D]->D466[D]->D473[D]->D29[D]->D751[B]->W765          | 2,250E-7   | 1,401E+0        |                     | 0,000E+0     | 1,000E+0   |                    | 1,038E+5       | 0,000E+0  | ja (BWZI) |               | ja (BWZI)                | 1,556E+3     |
| TP-101,14-T-211B,Topping,Ruwe grondstof          | R34[O]->D573[O]->D504[D]->D341[D]->D466[D]->D473[D]->D29[D]->D751[B]->W765 | 2,250E-8   | 1,455E+5        |                     | 1,497E-2     | 1,111E+0   | 6,589E+1           | 2,880E+4       | 0,000E+0  | ja (BWZI) |               | ja (BWZI)                | 1,616E+8     |
| TP-101,14-T-211B,Topping,Ruwe grondstof          | R34[O]->D573[O]->D504[D]->D341[D]->D466[D]->D473[D]->D29[D]->D751[B]->W765 | 2,250E-8   | 1,455E+5        | 1,756E+3            | 1,171E-4     | 1,000E+0   |                    | 2,880E+4       | 0,000E+0  | ja (BWZI) |               | ja (BWZI)                | 1,616E+8     |
| TP-101,14-T-211B,Topping,Ruwe grondstof          | R34[O]->D573[O]->D504[D]->D341[D]->D466[D]->D473[D]->D29[D]->D751[B]->W765 | 2,250E-8   | 1,401E+0        |                     | 0,000E+0     | 1,000E+0   |                    | 1,038E+5       | 0,000E+0  | ja (BWZI) |               | ja (BWZI)                | 1,556E+3     |
| TP-101,14-T-211A,Instantaan falen,Ruwe grondstof | R34[D]->D341[D]->D466[D]->D473[D]->D29[D]->D751[B]->W765                   | 4,500E-8   | 1,454E+5        |                     | 1,496E-2     | 1,111E+0   | 6,588E+1           | 2,880E+4       | 0,000E+0  | ja (BWZI) |               | ja (BWZI)                | 1,616E+8     |
| TP-101,14-T-211A,Instantaan falen,Ruwe grondstof | R34[D]->D341[D]->D466[D]->D473[D]->D29[D]->D751[B]->W765                   | 4,500E-8   | 1,454E+5        | 1,756E+3            | 1,170E-4     | 1,000E+0   |                    | 2,880E+4       | 0,000E+0  | ja (BWZI) |               | ja (BWZI)                | 1,616E+8     |
| TP-101,14-T-211A,Instantaan falen,Ruwe grondstof | R34[D]->D341[D]->D466[D]->D473[D]->D29[D]->D751[B]->W765                   | 4,500E-8   | 1,400E+0        |                     | 0,000E+0     | 1,000E+0   |                    | 1,038E+5       | 0,000E+0  | ja (BWZI) |               | ja (BWZI)                | 1,556E+3     |

| Group   | Afstroomroute  | Frequentie | Massa uitstroom | Volume contaminatie | MSI Factored | Weegfactor | Oever Contaminatie | Uitstroom tijd | Bluswater | RWZI      |               |                          | LC50 gewogen |
|---|--|------------|-----------------|---------------------|--------------|------------|--------------------|----------------|-----------|-----------|---------------|--------------------------|--------------|
|   |  |            |                 |                     |              |            |                    |                |           | inhibitie | overbelasting | Actief slib beïnvloeding |              |
|   |  | [j-1]      | [kg]            | [m3]                |              |            | [m]                | [s]            | [m3]      |           |               |                          | [m3]         |
| TP-101,14-T-211A,Continu falen,Ruwe grondstof | R34[D]->D341[D]->D466[D]->D473[D]->D29[D]->D751[B]->W765                   | 4,500E-8   | 4,401E+5        |                     | 4,528E-2     | 1,111E+0   | 1,146E+2           | 2,880E+4       | 0,000E+0  | ja (BWZI) |               | ja (BWZI)                | 4,890E+8     |
| TP-101,14-T-211A,Continu falen,Ruwe grondstof | R34[D]->D341[D]->D466[D]->D473[D]->D29[D]->D751[B]->W765                   | 4,500E-8   | 4,401E+5        | 5,313E+3            | 3,542E-4     | 1,000E+0   |                    | 2,880E+4       | 0,000E+0  | ja (BWZI) |               | ja (BWZI)                | 4,890E+8     |
| TP-101,14-T-211A,Continu falen,Ruwe grondstof | R34[D]->D341[D]->D466[D]->D473[D]->D29[D]->D751[B]->W765                   | 4,500E-8   | 4,238E+0        |                     | 0,000E+0     | 1,000E+0   |                    | 1,038E+5       | 0,000E+0  | ja (BWZI) |               | ja (BWZI)                | 4,709E+3     |
| TP-101,14-T-211A,Topping,Ruwe grondstof       | R34[O]->D573[D]->D341[D]->D466[D]->D473[D]->D29[D]->D751[B]->W765          | 2,250E-7   | 1,455E+5        |                     | 1,497E-2     | 1,111E+0   | 6,589E+1           | 2,880E+4       | 0,000E+0  | ja (BWZI) |               | ja (BWZI)                | 1,616E+8     |
| TP-101,14-T-211A,Topping,Ruwe grondstof       | R34[O]->D573[D]->D341[D]->D466[D]->D473[D]->D29[D]->D751[B]->W765          | 2,250E-7   | 1,455E+5        | 1,756E+3            | 1,171E-4     | 1,000E+0   |                    | 2,880E+4       | 0,000E+0  | ja (BWZI) |               | ja (BWZI)                | 1,616E+8     |
| TP-101,14-T-211A,Topping,Ruwe grondstof       | R34[O]->D573[D]->D341[D]->D466[D]->D473[D]->D29[D]->D751[B]->W765          | 2,250E-7   | 1,401E+0        |                     | 0,000E+0     | 1,000E+0   |                    | 1,038E+5       | 0,000E+0  | ja (BWZI) |               | ja (BWZI)                | 1,556E+3     |
| TP-101,14-T-211A,Topping,Ruwe grondstof       | R34[O]->D573[O]->D504[D]->D341[D]->D466[D]->D473[D]->D29[D]->D751[B]->W765 | 2,250E-8   | 1,455E+5        |                     | 1,497E-2     | 1,111E+0   | 6,589E+1           | 2,880E+4       | 0,000E+0  | ja (BWZI) |               | ja (BWZI)                | 1,616E+8     |
| TP-101,14-T-211A,Topping,Ruwe grondstof       | R34[O]->D573[O]->D504[D]->D341[D]->D466[D]->D473[D]->D29[D]->D751[B]->W765 | 2,250E-8   | 1,455E+5        | 1,756E+3            | 1,171E-4     | 1,000E+0   |                    | 2,880E+4       | 0,000E+0  | ja (BWZI) |               | ja (BWZI)                | 1,616E+8     |
| TP-101,14-T-211A,Topping,Ruwe grondstof       | R34[O]->D573[O]->D504[D]->D341[D]->D466[D]->D473[D]->D29[D]->D751[B]->W765 | 2,250E-8   | 1,401E+0        |                     | 0,000E+0     | 1,000E+0   |                    | 1,038E+5       | 0,000E+0  | ja (BWZI) |               | ja (BWZI)                | 1,556E+3     |



## 4.2 Unit TP-108

| Group                                  | Afstroomroute  | Frequentie | Massa uitstroom | Volume contaminatie | MSI Factored | Weegfactor | Oever Contaminatie | Uitstroom tijd | Bluswater | RWZI      |               |                          | LC50 gewogen |
|--|--|------------|-----------------|---------------------|--------------|------------|--------------------|----------------|-----------|-----------|---------------|--------------------------|--------------|
|  |  |            |                 |                     |              |            |                    |                |           | inhibitie | overbelasting | Actief slib beïnvloeding |              |
|  |  | [j-1]      | [kg]            | [m3]                |              |            | [m]                | [s]            | [m3]      |           |               |                          | [m3]         |
| TP-108,14-T-621,Kleine brand,Bio-nafta | R38[D]->D341[D]->D466[O]->D9[D]->D698[D]->W77          | 3,500E-10  | 3,030E+5        |                     | 1,871E-1     | 5,000E+0   | 3,741E+3           | 5,193E+2       | 8,490E+2  |           |               |                          | 3,367E+8     |
| TP-108,14-T-621,Kleine brand,Bio-nafta | R38[D]->D341[D]->D466[O]->D9[D]->D698[D]->W77          | 3,500E-10  | 3,030E+5        | 4,546E+7            | 1,306E+1     | 4,310E+0   |                    | 5,193E+2       | 8,490E+2  |           |               |                          | 3,367E+8     |
| TP-108,14-T-621,Kleine brand,Bio-nafta | R38[D]->D341[D]->D466[O]->D9[D]->D698[O]->D704[O]->W77 | 3,150E-9   | 3,304E+4        |                     | 2,040E-2     | 5,000E+0   | 4,079E+2           | 5,662E+1       | 8,490E+2  |           |               |                          | 3,671E+7     |
| TP-108,14-T-621,Kleine brand,Bio-nafta | R38[D]->D341[D]->D466[O]->D9[D]->D698[O]->D704[O]->W77 | 3,150E-9   | 3,304E+4        | 4,957E+6            | 1,424E+0     | 4,310E+0   |                    | 5,662E+1       | 8,490E+2  |           |               |                          | 3,671E+7     |
| TP-108,14-T-621,Kleine brand,Bio-nafta | R38[D]->D341[D]->D466[O]->D9[D]->D698[D]->W77          | 1,500E-10  | 2,872E+5        |                     | 1,773E-1     | 5,000E+0   | 3,546E+3           | 5,085E+2       | 8,490E+2  |           |               |                          | 3,191E+8     |
| TP-108,14-T-621,Kleine brand,Bio-nafta | R38[D]->D341[D]->D466[O]->D9[D]->D698[D]->W77          | 1,500E-10  | 2,872E+5        | 4,308E+7            | 1,238E+1     | 4,310E+0   |                    | 5,085E+2       | 8,490E+2  |           |               |                          | 3,191E+8     |
| TP-108,14-T-621,Kleine brand,Bio-nafta | R38[D]->D341[D]->D466[O]->D9[D]->D698[O]->D704[O]->W77 | 1,350E-9   | 1,720E+4        |                     | 1,062E-2     | 5,000E+0   | 2,124E+2           | 3,046E+1       | 8,490E+2  |           |               |                          | 1,911E+7     |
| TP-108,14-T-621,Kleine brand,Bio-nafta | R38[D]->D341[D]->D466[O]->D9[D]->D698[O]->D704[O]->W77 | 1,350E-9   | 1,720E+4        | 2,580E+6            | 7,415E-1     | 4,310E+0   |                    | 3,046E+1       | 8,490E+2  |           |               |                          | 1,911E+7     |
| TP-108,14-T-601C,Kleine brand,DLB      | R38[D]->D341[D]->D466[O]->D9[D]->D698[D]->W77          | 3,500E-10  | 2,011E+6        |                     | 1,088E+0     | 5,000E+0   | 1,253E+4           | 3,021E+3       | 3,012E+3  |           |               |                          | 2,235E+8     |
| TP-108,14-T-601C,Kleine brand,DLB      | R38[D]->D341[D]->D466[O]->D9[D]->D698[D]->W77          | 3,500E-10  | 2,011E+6        | 3,017E+8            | 8,670E+1     | 4,310E+0   |                    | 3,021E+3       | 3,012E+3  |           |               |                          | 2,235E+8     |
| TP-108,14-T-601C,Kleine brand,DLB      | R38[D]->D341[D]->D466[O]->D9[D]->D698[O]->D704[O]->W77 | 3,150E-9   | 1,703E+6        |                     | 9,217E-1     | 5,000E+0   | 1,253E+4           | 2,559E+3       | 3,012E+3  |           |               |                          | 1,893E+8     |
| TP-108,14-T-601C,Kleine brand,DLB      | R38[D]->D341[D]->D466[O]->D9[D]->D698[O]->D704[O]->W77 | 3,150E-9   | 1,703E+6        | 2,555E+8            | 7,342E+1     | 4,310E+0   |                    | 2,559E+3       | 3,012E+3  |           |               |                          | 1,893E+8     |
| TP-108,14-T-601C,Kleine brand,DLB      | R38[D]->D341[D]->D466[O]->D9[D]->D698[D]->W77          | 1,500E-10  | 1,940E+6        |                     | 1,050E+0     | 5,000E+0   | 1,213E+4           | 3,011E+3       | 3,012E+3  |           |               |                          | 2,155E+8     |
| TP-108,14-T-601C,Kleine brand,DLB      | R38[D]->D341[D]->D466[O]->D9[D]->D698[D]->W77          | 1,500E-10  | 1,940E+6        | 2,910E+8            | 8,361E+1     | 4,310E+0   |                    | 3,011E+3       | 3,012E+3  |           |               |                          | 2,155E+8     |
| TP-108,14-T-601C,Kleine brand,DLB      | R38[D]->D341[D]->D466[O]->D9[D]->D698[O]->D704[O]->W77 | 1,350E-9   | 1,632E+6        |                     | 8,830E-1     | 5,000E+0   | 1,213E+4           | 2,533E+3       | 3,012E+3  |           |               |                          | 1,813E+8     |
| TP-108,14-T-601C,Kleine brand,DLB      | R38[D]->D341[D]->D466[O]->D9[D]->D698[O]->D704[O]->W77 | 1,350E-9   | 1,632E+6        | 2,448E+8            | 7,033E+1     | 4,310E+0   |                    | 2,533E+3       | 3,012E+3  |           |               |                          | 1,813E+8     |
| TP-108,14-T-601C,Kleine brand,DLB      | R38[D]->D341[D]->D466[O]->D9[D]->D698[D]->W77          | 3,500E-10  | 2,850E+6        |                     | 1,542E+0     | 5,000E+0   | 1,253E+4           | 4,281E+3       | 4,101E+3  |           |               |                          | 3,166E+8     |
| TP-108,14-T-601C,Kleine brand,DLB      | R38[D]->D341[D]->D466[O]->D9[D]->D698[D]->W77          | 3,500E-10  | 2,850E+6        | 4,275E+8            | 1,228E+2     | 4,310E+0   |                    | 4,281E+3       | 4,101E+3  |           |               |                          | 3,166E+8     |
| TP-108,14-T-601C,Kleine brand,DLB      | R38[D]->D341[D]->D466[O]->D9[D]->D698[O]->D704[O]->W77 | 3,150E-9   | 2,542E+6        |                     | 1,375E+0     | 5,000E+0   | 1,253E+4           | 3,818E+3       | 4,101E+3  |           |               |                          | 2,824E+8     |
| TP-108,14-T-601C,Kleine brand,DLB      | R38[D]->D341[D]->D466[O]->D9[D]->D698[O]->D704[O]->W77 | 3,150E-9   | 2,542E+6        | 3,813E+8            | 1,096E+2     | 4,310E+0   |                    | 3,818E+3       | 4,101E+3  |           |               |                          | 2,824E+8     |
| TP-108,14-T-601C,Kleine brand,DLB      | R38[D]->D341[D]->D466[O]->D9[D]->D698[D]->W77          | 1,500E-10  | 2,751E+6        |                     | 1,489E+0     | 5,000E+0   | 1,213E+4           | 4,270E+3       | 4,101E+3  |           |               |                          | 3,057E+8     |
| TP-108,14-T-601C,Kleine brand,DLB      | R38[D]->D341[D]->D466[O]->D9[D]->D698[D]->W77          | 1,500E-10  | 2,751E+6        | 4,127E+8            | 1,186E+2     | 4,310E+0   |                    | 4,270E+3       | 4,101E+3  |           |               |                          | 3,057E+8     |

| Group                             | Afstroomroute  | Frequentie | Massa uitstroom | Volume contaminatie | MSI Factored | Weegfactor | Oever Contaminatie | Uitstroom tijd | Bluswater | RWZI      |               |                          | LC50 gewogen |
|-----------------------------------|--|------------|-----------------|---------------------|--------------|------------|--------------------|----------------|-----------|-----------|---------------|--------------------------|--------------|
|                                   |  |            |                 |                     |              |            |                    |                |           | inhibitie | overbelasting | Actief slib beïnvloeding |              |
|                                   |  | [j-1]      | [kg]            | [m3]                |              |            | [m]                | [s]            | [m3]      |           |               |                          | [m3]         |
| TP-108,14-T-601C,Kleine brand,DLB | R38[D]->D341[D]->D466[O]->D9[D]->D698[O]->D704[O]->W77 | 1,350E-9   | 2,443E+6        |                     | 1,322E+0     | 5,000E+0   | 1,213E+4           | 3,792E+3       | 4,101E+3  |           |               |                          | 2,715E+8     |
| TP-108,14-T-601C,Kleine brand,DLB | R38[D]->D341[D]->D466[O]->D9[D]->D698[O]->D704[O]->W77 | 1,350E-9   | 2,443E+6        | 3,665E+8            | 1,053E+2     | 4,310E+0   |                    | 3,792E+3       | 4,101E+3  |           |               |                          | 2,715E+8     |
| TP-108,14-T-601B,Kleine brand,DLB | R38[D]->D341[D]->D466[O]->D9[D]->D698[D]->W77          | 3,500E-10  | 2,011E+6        |                     | 1,088E+0     | 5,000E+0   | 1,253E+4           | 3,021E+3       | 3,012E+3  |           |               |                          | 2,235E+8     |
| TP-108,14-T-601B,Kleine brand,DLB | R38[D]->D341[D]->D466[O]->D9[D]->D698[D]->W77          | 3,500E-10  | 2,011E+6        | 3,017E+8            | 8,670E+1     | 4,310E+0   |                    | 3,021E+3       | 3,012E+3  |           |               |                          | 2,235E+8     |
| TP-108,14-T-601B,Kleine brand,DLB | R38[D]->D341[D]->D466[O]->D9[D]->D698[O]->D704[O]->W77 | 3,150E-9   | 1,703E+6        |                     | 9,217E-1     | 5,000E+0   | 1,253E+4           | 2,559E+3       | 3,012E+3  |           |               |                          | 1,893E+8     |
| TP-108,14-T-601B,Kleine brand,DLB | R38[D]->D341[D]->D466[O]->D9[D]->D698[O]->D704[O]->W77 | 3,150E-9   | 1,703E+6        | 2,555E+8            | 7,342E+1     | 4,310E+0   |                    | 2,559E+3       | 3,012E+3  |           |               |                          | 1,893E+8     |
| TP-108,14-T-601B,Kleine brand,DLB | R38[D]->D341[D]->D466[O]->D9[D]->D698[D]->W77          | 1,500E-10  | 1,940E+6        |                     | 1,050E+0     | 5,000E+0   | 1,213E+4           | 3,011E+3       | 3,012E+3  |           |               |                          | 2,155E+8     |
| TP-108,14-T-601B,Kleine brand,DLB | R38[D]->D341[D]->D466[O]->D9[D]->D698[D]->W77          | 1,500E-10  | 1,940E+6        | 2,910E+8            | 8,361E+1     | 4,310E+0   |                    | 3,011E+3       | 3,012E+3  |           |               |                          | 2,155E+8     |
| TP-108,14-T-601B,Kleine brand,DLB | R38[D]->D341[D]->D466[O]->D9[D]->D698[O]->D704[O]->W77 | 1,350E-9   | 1,632E+6        |                     | 8,830E-1     | 5,000E+0   | 1,213E+4           | 2,533E+3       | 3,012E+3  |           |               |                          | 1,813E+8     |
| TP-108,14-T-601B,Kleine brand,DLB | R38[D]->D341[D]->D466[O]->D9[D]->D698[O]->D704[O]->W77 | 1,350E-9   | 1,632E+6        | 2,448E+8            | 7,033E+1     | 4,310E+0   |                    | 2,533E+3       | 3,012E+3  |           |               |                          | 1,813E+8     |
| TP-108,14-T-601B,Kleine brand,DLB | R38[D]->D341[D]->D466[O]->D9[D]->D698[D]->W77          | 3,500E-10  | 2,850E+6        |                     | 1,542E+0     | 5,000E+0   | 1,253E+4           | 4,281E+3       | 4,101E+3  |           |               |                          | 3,166E+8     |
| TP-108,14-T-601B,Kleine brand,DLB | R38[D]->D341[D]->D466[O]->D9[D]->D698[D]->W77          | 3,500E-10  | 2,850E+6        | 4,275E+8            | 1,228E+2     | 4,310E+0   |                    | 4,281E+3       | 4,101E+3  |           |               |                          | 3,166E+8     |
| TP-108,14-T-601B,Kleine brand,DLB | R38[D]->D341[D]->D466[O]->D9[D]->D698[O]->D704[O]->W77 | 3,150E-9   | 2,542E+6        |                     | 1,375E+0     | 5,000E+0   | 1,253E+4           | 3,818E+3       | 4,101E+3  |           |               |                          | 2,824E+8     |
| TP-108,14-T-601B,Kleine brand,DLB | R38[D]->D341[D]->D466[O]->D9[D]->D698[O]->D704[O]->W77 | 3,150E-9   | 2,542E+6        | 3,813E+8            | 1,096E+2     | 4,310E+0   |                    | 3,818E+3       | 4,101E+3  |           |               |                          | 2,824E+8     |
| TP-108,14-T-601B,Kleine brand,DLB | R38[D]->D341[D]->D466[O]->D9[D]->D698[D]->W77          | 1,500E-10  | 2,751E+6        |                     | 1,489E+0     | 5,000E+0   | 1,213E+4           | 4,270E+3       | 4,101E+3  |           |               |                          | 3,057E+8     |
| TP-108,14-T-601B,Kleine brand,DLB | R38[D]->D341[D]->D466[O]->D9[D]->D698[D]->W77          | 1,500E-10  | 2,751E+6        | 4,127E+8            | 1,186E+2     | 4,310E+0   |                    | 4,270E+3       | 4,101E+3  |           |               |                          | 3,057E+8     |
| TP-108,14-T-601B,Kleine brand,DLB | R38[D]->D341[D]->D466[O]->D9[D]->D698[O]->D704[O]->W77 | 1,350E-9   | 2,443E+6        |                     | 1,322E+0     | 5,000E+0   | 1,213E+4           | 3,792E+3       | 4,101E+3  |           |               |                          | 2,715E+8     |
| TP-108,14-T-601B,Kleine brand,DLB | R38[D]->D341[D]->D466[O]->D9[D]->D698[O]->D704[O]->W77 | 1,350E-9   | 2,443E+6        | 3,665E+8            | 1,053E+2     | 4,310E+0   |                    | 3,792E+3       | 4,101E+3  |           |               |                          | 2,715E+8     |
| TP-108,14-T-601A,Kleine brand,DLB | R38[D]->D341[D]->D466[O]->D9[D]->D698[D]->W77          | 3,500E-10  | 2,011E+6        |                     | 1,088E+0     | 5,000E+0   | 1,253E+4           | 3,021E+3       | 3,012E+3  |           |               |                          | 2,235E+8     |
| TP-108,14-T-601A,Kleine brand,DLB | R38[D]->D341[D]->D466[O]->D9[D]->D698[D]->W77          | 3,500E-10  | 2,011E+6        | 3,017E+8            | 8,670E+1     | 4,310E+0   |                    | 3,021E+3       | 3,012E+3  |           |               |                          | 2,235E+8     |
| TP-108,14-T-601A,Kleine brand,DLB | R38[D]->D341[D]->D466[O]->D9[D]->D698[O]->D704[O]->W77 | 3,150E-9   | 1,703E+6        |                     | 9,217E-1     | 5,000E+0   | 1,253E+4           | 2,559E+3       | 3,012E+3  |           |               |                          | 1,893E+8     |
| TP-108,14-T-601A,Kleine brand,DLB | R38[D]->D341[D]->D466[O]->D9[D]->D698[O]->D704[O]->W77 | 3,150E-9   | 1,703E+6        | 2,555E+8            | 7,342E+1     | 4,310E+0   |                    | 2,559E+3       | 3,012E+3  |           |               |                          | 1,893E+8     |
| TP-108,14-T-601A,Kleine brand,DLB | R38[D]->D341[D]->D466[O]->D9[D]->D698[D]->W77          | 1,500E-10  | 1,940E+6        |                     | 1,050E+0     | 5,000E+0   | 1,213E+4           | 3,011E+3       | 3,012E+3  |           |               |                          | 2,155E+8     |

| Group                                   | Afstroomroute   | Frequentie | Massa uitstroom | Volume contaminatie | MSI Factored | Weegfactor | Oever Contaminatie | Uitstroom tijd | Bluswater | RWZI      |               |                          | LC50 gewogen |
|---|---|------------|-----------------|---------------------|--------------|------------|--------------------|----------------|-----------|-----------|---------------|--------------------------|--------------|
|   |   |            |                 |                     |              |            |                    |                |           | inhibitie | overbelasting | Actief slib beïnvloeding |              |
|   |   | [j-1]      | [kg]            | [m3]                |              |            | [m]                | [s]            | [m3]      |           |               |                          | [m3]         |
| TP-108,14-T-601A,Kleine brand,DLB       | R38[D]->D341[D]->D466[O]->D9[D]->D698[D]->W77                   | 1,500E-10  | 1,940E+6        | 2,910E+8            | 8,361E+1     | 4,310E+0   |                    | 3,011E+3       | 3,012E+3  |           |               |                          | 2,155E+8     |
| TP-108,14-T-601A,Kleine brand,DLB       | R38[D]->D341[D]->D466[O]->D9[D]->D698[O]->D704[O]->W77          | 1,350E-9   | 1,632E+6        |                     | 8,830E-1     | 5,000E+0   | 1,213E+4           | 2,533E+3       | 3,012E+3  |           |               |                          | 1,813E+8     |
| TP-108,14-T-601A,Kleine brand,DLB       | R38[D]->D341[D]->D466[O]->D9[D]->D698[O]->D704[O]->W77          | 1,350E-9   | 1,632E+6        | 2,448E+8            | 7,033E+1     | 4,310E+0   |                    | 2,533E+3       | 3,012E+3  |           |               |                          | 1,813E+8     |
| TP-108,14-T-601A,Kleine brand,DLB       | R38[D]->D341[D]->D466[O]->D9[D]->D698[D]->W77                   | 3,500E-10  | 2,850E+6        |                     | 1,542E+0     | 5,000E+0   | 1,253E+4           | 4,281E+3       | 4,101E+3  |           |               |                          | 3,166E+8     |
| TP-108,14-T-601A,Kleine brand,DLB       | R38[D]->D341[D]->D466[O]->D9[D]->D698[D]->W77                   | 3,500E-10  | 2,850E+6        | 4,275E+8            | 1,228E+2     | 4,310E+0   |                    | 4,281E+3       | 4,101E+3  |           |               |                          | 3,166E+8     |
| TP-108,14-T-601A,Kleine brand,DLB       | R38[D]->D341[D]->D466[O]->D9[D]->D698[O]->D704[O]->W77          | 3,150E-9   | 2,542E+6        |                     | 1,375E+0     | 5,000E+0   | 1,253E+4           | 3,818E+3       | 4,101E+3  |           |               |                          | 2,824E+8     |
| TP-108,14-T-601A,Kleine brand,DLB       | R38[D]->D341[D]->D466[O]->D9[D]->D698[O]->D704[O]->W77          | 3,150E-9   | 2,542E+6        | 3,813E+8            | 1,096E+2     | 4,310E+0   |                    | 3,818E+3       | 4,101E+3  |           |               |                          | 2,824E+8     |
| TP-108,14-T-601A,Kleine brand,DLB       | R38[D]->D341[D]->D466[O]->D9[D]->D698[D]->W77                   | 1,500E-10  | 2,751E+6        |                     | 1,489E+0     | 5,000E+0   | 1,213E+4           | 4,270E+3       | 4,101E+3  |           |               |                          | 3,057E+8     |
| TP-108,14-T-601A,Kleine brand,DLB       | R38[D]->D341[D]->D466[O]->D9[D]->D698[D]->W77                   | 1,500E-10  | 2,751E+6        | 4,127E+8            | 1,186E+2     | 4,310E+0   |                    | 4,270E+3       | 4,101E+3  |           |               |                          | 3,057E+8     |
| TP-108,14-T-601A,Kleine brand,DLB       | R38[D]->D341[D]->D466[O]->D9[D]->D698[O]->D704[O]->W77          | 1,350E-9   | 2,443E+6        |                     | 1,322E+0     | 5,000E+0   | 1,213E+4           | 3,792E+3       | 4,101E+3  |           |               |                          | 2,715E+8     |
| TP-108,14-T-601A,Kleine brand,DLB       | R38[D]->D341[D]->D466[O]->D9[D]->D698[O]->D704[O]->W77          | 1,350E-9   | 2,443E+6        | 3,665E+8            | 1,053E+2     | 4,310E+0   |                    | 3,792E+3       | 4,101E+3  |           |               |                          | 2,715E+8     |
| TP-108,14-T-621,Continu falen,Bio-nafta | R38[D]->D341[D]->D466[O]->D9[D]->D698[D]->W77                   | 3,465E-8   | 6,458E+4        |                     | 3,986E-2     | 5,000E+0   | 5,210E+2           | 1,304E+3       | 0,000E+0  |           |               |                          | 7,175E+7     |
| TP-108,14-T-621,Continu falen,Bio-nafta | R38[D]->D341[D]->D466[O]->D9[D]->D698[D]->W77                   | 3,465E-8   | 6,458E+4        | 9,966E+3            | 2,864E-3     | 4,310E+0   |                    | 1,304E+3       | 0,000E+0  |           |               |                          | 7,175E+7     |
| TP-108,14-T-621,Topping,Bio-nafta       | R38[O]->D547[D]->D341[D]->D466[O]->D9[D]->D698[D]->W77          | 1,750E-7   | 1,474E+5        |                     | 9,096E-2     | 5,000E+0   | 1,819E+3           | 2,118E+1       | 0,000E+0  |           |               |                          | 1,637E+8     |
| TP-108,14-T-621,Topping,Bio-nafta       | R38[O]->D547[D]->D341[D]->D466[O]->D9[D]->D698[D]->W77          | 1,750E-7   | 1,474E+5        | 3,480E+4            | 1,000E-2     | 4,310E+0   |                    | 2,118E+1       | 0,000E+0  |           |               |                          | 1,637E+8     |
| TP-108,14-T-621,Topping,Bio-nafta       | R38[O]->D547[D]->D341[D]->D466[O]->D9[D]->D698[D]->W77          | 7,500E-8   | 1,464E+5        |                     | 9,039E-2     | 5,000E+0   | 1,808E+3           | 2,111E+1       | 0,000E+0  |           |               |                          | 1,627E+8     |
| TP-108,14-T-621,Topping,Bio-nafta       | R38[O]->D547[D]->D341[D]->D466[O]->D9[D]->D698[D]->W77          | 7,500E-8   | 1,464E+5        | 3,458E+4            | 9,937E-3     | 4,310E+0   |                    | 2,111E+1       | 0,000E+0  |           |               |                          | 1,627E+8     |
| TP-108,14-T-621,Topping,Bio-nafta       | R38[O]->D547[O]->D332[D]->D341[D]->D466[O]->D9[D]->D698[D]->W77 | 1,750E-8   | 1,474E+5        |                     | 9,096E-2     | 5,000E+0   | 1,819E+3           | 2,118E+1       | 0,000E+0  |           |               |                          | 1,637E+8     |
| TP-108,14-T-621,Topping,Bio-nafta       | R38[O]->D547[O]->D332[D]->D341[D]->D466[O]->D9[D]->D698[D]->W77 | 1,750E-8   | 1,474E+5        | 3,480E+4            | 1,000E-2     | 4,310E+0   |                    | 2,118E+1       | 0,000E+0  |           |               |                          | 1,637E+8     |
| TP-108,14-T-621,Topping,Bio-nafta       | R38[O]->D547[O]->D332[D]->D341[D]->D466[O]->D9[D]->D698[D]->W77 | 7,500E-9   | 1,464E+5        |                     | 9,039E-2     | 5,000E+0   | 1,808E+3           | 2,111E+1       | 0,000E+0  |           |               |                          | 1,627E+8     |

| Group                                 | Afstroomroute   | Frequentie | Massa uitstroom | Volume contaminatie | MSI Factored | Weegfactor | Oever Contaminatie | Uitstroom tijd | Bluswater | RWZI      |               |                          | LC50 gewogen |
|---------------------------------------|---|------------|-----------------|---------------------|--------------|------------|--------------------|----------------|-----------|-----------|---------------|--------------------------|--------------|
|                                       |   |            |                 |                     |              |            |                    |                |           | inhibitie | overbelasting | Actief slib beïnvloeding |              |
|                                       |   | [j-1]      | [kg]            | [m3]                |              |            | [m]                | [s]            | [m3]      |           |               |                          | [m3]         |
| TP-108,14-T-621,Topping,Bio-nafta     | R38[O]->D547[O]->D332[D]->D341[D]->D466[O]->D9[D]->D698[D]->W77 | 7,500E-9   | 1,464E+5        | 3,458E+4            | 9,937E-3     | 4,310E+0   |                    | 2,111E+1       | 0,000E+0  |           |               |                          | 1,627E+8     |
| TP-108,14-T-601C,Instantaan falen,DLB | R38[D]->D341[D]->D466[O]->D9[D]->D698[D]->W77                   | 3,465E-8   | 8,791E+5        |                     | 4,757E-1     | 5,000E+0   | 9,514E+3           | 4,443E+1       | 0,000E+0  |           |               |                          | 9,768E+7     |
| TP-108,14-T-601C,Instantaan falen,DLB | R38[D]->D341[D]->D466[O]->D9[D]->D698[D]->W77                   | 3,465E-8   | 8,791E+5        | 2,177E+4            | 6,257E-3     | 4,310E+0   |                    | 4,443E+1       | 0,000E+0  |           |               |                          | 9,768E+7     |
| TP-108,14-T-601C,Instantaan falen,DLB | R38[D]->D341[D]->D466[O]->D9[D]->D698[O]->D704[O]->W77          | 3,119E-7   | 5,711E+5        |                     | 3,090E-1     | 5,000E+0   | 6,181E+3           | 2,887E+1       | 0,000E+0  |           |               |                          | 6,346E+7     |
| TP-108,14-T-601C,Instantaan falen,DLB | R38[D]->D341[D]->D466[O]->D9[D]->D698[O]->D704[O]->W77          | 3,119E-7   | 5,711E+5        | 1,414E+4            | 4,064E-3     | 4,310E+0   |                    | 2,887E+1       | 0,000E+0  |           |               |                          | 6,346E+7     |
| TP-108,14-T-601C,Instantaan falen,DLB | R38[D]->D341[D]->D466[O]->D9[D]->D698[D]->W77                   | 1,485E-8   | 8,779E+5        |                     | 4,751E-1     | 5,000E+0   | 9,501E+3           | 4,442E+1       | 0,000E+0  |           |               |                          | 9,754E+7     |
| TP-108,14-T-601C,Instantaan falen,DLB | R38[D]->D341[D]->D466[O]->D9[D]->D698[D]->W77                   | 1,485E-8   | 8,779E+5        | 2,174E+4            | 6,248E-3     | 4,310E+0   |                    | 4,442E+1       | 0,000E+0  |           |               |                          | 9,754E+7     |
| TP-108,14-T-601C,Instantaan falen,DLB | R38[D]->D341[D]->D466[O]->D9[D]->D698[O]->D704[O]->W77          | 1,337E-7   | 5,699E+5        |                     | 3,084E-1     | 5,000E+0   | 6,168E+3           | 2,884E+1       | 0,000E+0  |           |               |                          | 6,332E+7     |
| TP-108,14-T-601C,Instantaan falen,DLB | R38[D]->D341[D]->D466[O]->D9[D]->D698[O]->D704[O]->W77          | 1,337E-7   | 5,699E+5        | 1,411E+4            | 4,056E-3     | 4,310E+0   |                    | 2,884E+1       | 0,000E+0  |           |               |                          | 6,332E+7     |
| TP-108,14-T-601C,Continu falen,DLB    | R38[D]->D341[D]->D466[O]->D9[D]->D698[D]->W77                   | 3,465E-8   | 1,308E+6        |                     | 7,079E-1     | 5,000E+0   | 1,100E+3           | 2,239E+4       | 0,000E+0  |           |               |                          | 1,454E+8     |
| TP-108,14-T-601C,Continu falen,DLB    | R38[D]->D341[D]->D466[O]->D9[D]->D698[D]->W77                   | 3,465E-8   | 1,308E+6        | 2,517E+3            | 7,232E-4     | 4,310E+0   |                    | 2,239E+4       | 0,000E+0  |           |               |                          | 1,454E+8     |
| TP-108,14-T-601C,Continu falen,DLB    | R38[D]->D341[D]->D466[O]->D9[D]->D698[O]->D704[O]->W77          | 3,119E-7   | 1,000E+6        |                     | 5,413E-1     | 5,000E+0   | 1,100E+3           | 1,712E+4       | 0,000E+0  |           |               |                          | 1,111E+8     |
| TP-108,14-T-601C,Continu falen,DLB    | R38[D]->D341[D]->D466[O]->D9[D]->D698[O]->D704[O]->W77          | 3,119E-7   | 1,000E+6        | 2,517E+3            | 7,232E-4     | 4,310E+0   |                    | 1,712E+4       | 0,000E+0  |           |               |                          | 1,111E+8     |
| TP-108,14-T-601C,Continu falen,DLB    | R38[D]->D341[D]->D466[O]->D9[D]->D698[D]->W77                   | 1,485E-8   | 7,499E+5        |                     | 4,058E-1     | 5,000E+0   | 6,968E+2           | 2,026E+4       | 0,000E+0  |           |               |                          | 8,333E+7     |
| TP-108,14-T-601C,Continu falen,DLB    | R38[D]->D341[D]->D466[O]->D9[D]->D698[D]->W77                   | 1,485E-8   | 7,499E+5        | 1,595E+3            | 4,582E-4     | 4,310E+0   |                    | 2,026E+4       | 0,000E+0  |           |               |                          | 8,333E+7     |
| TP-108,14-T-601C,Continu falen,DLB    | R38[D]->D341[D]->D466[O]->D9[D]->D698[O]->D704[O]->W77          | 1,337E-7   | 4,419E+5        |                     | 2,391E-1     | 5,000E+0   | 6,968E+2           | 1,194E+4       | 0,000E+0  |           |               |                          | 4,911E+7     |
| TP-108,14-T-601C,Continu falen,DLB    | R38[D]->D341[D]->D466[O]->D9[D]->D698[O]->D704[O]->W77          | 1,337E-7   | 4,419E+5        | 1,595E+3            | 4,582E-4     | 4,310E+0   |                    | 1,194E+4       | 0,000E+0  |           |               |                          | 4,911E+7     |
| TP-108,14-T-601C,Continu falen,DLB    | R38[D]->D341[D]->D466[D]->D473[O]->D9[D]->D698[D]->W77          | 1,040E-8   | 4,043E+5        |                     | 2,188E-1     | 5,000E+0   | 4,029E+2           | 1,889E+4       | 0,000E+0  |           |               |                          | 4,492E+7     |
| TP-108,14-T-601C,Continu falen,DLB    | R38[D]->D341[D]->D466[D]->D473[O]->D9[D]->D698[D]->W77          | 1,040E-8   | 4,043E+5        | 9,220E+2            | 2,649E-4     | 4,310E+0   |                    | 1,889E+4       | 0,000E+0  |           |               |                          | 4,492E+7     |
| TP-108,14-T-601C,Continu falen,DLB    | R38[D]->D341[D]->D466[D]->D473[O]->D9[D]->D698[O]->D704[O]->W77 | 9,356E-8   | 9,630E+4        |                     | 5,211E-2     | 5,000E+0   | 4,029E+2           | 4,499E+3       | 0,000E+0  |           |               |                          | 1,070E+7     |
| TP-108,14-T-601C,Continu falen,DLB    | R38[D]->D341[D]->D466[D]->D473[O]->D9[D]->D698[O]->D704[O]->W77 | 9,356E-8   | 9,630E+4        | 9,220E+2            | 2,649E-4     | 4,310E+0   |                    | 4,499E+3       | 0,000E+0  |           |               |                          | 1,070E+7     |

| Group                                 | Afstroomroute  | Frequentie | Massa uitstroom | Volume contaminatie | MSI Factored | Weegfactor | Oever Contaminatie | Uitstroom tijd | Bluswater | RWZI      |               |                          | LC50 gewogen |
|---------------------------------------|--|------------|-----------------|---------------------|--------------|------------|--------------------|----------------|-----------|-----------|---------------|--------------------------|--------------|
|                                       |  |            |                 |                     |              |            |                    |                |           | inhibitie | overbelasting | Actief slib beïnvloeding |              |
|                                       |  | [j-1]      | [kg]            | [m3]                |              |            | [m]                | [s]            | [m3]      |           |               |                          | [m3]         |
| TP-108,14-T-601C,Topping,DLB          | R38[O]->D547[D]->D341[D]->D466[O]->D9[D]->D698[D]->W77                   | 1,750E-7   | 1,737E+6        |                     | 9,401E-1     | 5,000E+0   | 1,880E+4           | 5,097E+1       | 0,000E+0  |           |               |                          | 1,930E+8     |
| TP-108,14-T-601C,Topping,DLB          | R38[O]->D547[D]->D341[D]->D466[O]->D9[D]->D698[D]->W77                   | 1,750E-7   | 1,737E+6        | 4,303E+4            | 1,236E-2     | 4,310E+0   |                    | 5,097E+1       | 0,000E+0  |           |               |                          | 1,930E+8     |
| TP-108,14-T-601C,Topping,DLB          | R38[O]->D547[D]->D341[D]->D466[O]->D9[D]->D698[O]->D704[O]->W77          | 1,575E-6   | 1,429E+6        |                     | 7,735E-1     | 5,000E+0   | 1,547E+4           | 4,193E+1       | 0,000E+0  |           |               |                          | 1,588E+8     |
| TP-108,14-T-601C,Topping,DLB          | R38[O]->D547[D]->D341[D]->D466[O]->D9[D]->D698[O]->D704[O]->W77          | 1,575E-6   | 1,429E+6        | 3,540E+4            | 1,017E-2     | 4,310E+0   |                    | 4,193E+1       | 0,000E+0  |           |               |                          | 1,588E+8     |
| TP-108,14-T-601C,Topping,DLB          | R38[O]->D547[D]->D341[D]->D466[O]->D9[D]->D698[D]->W77                   | 7,500E-8   | 1,736E+6        |                     | 9,395E-1     | 5,000E+0   | 1,879E+4           | 5,096E+1       | 0,000E+0  |           |               |                          | 1,929E+8     |
| TP-108,14-T-601C,Topping,DLB          | R38[O]->D547[D]->D341[D]->D466[O]->D9[D]->D698[D]->W77                   | 7,500E-8   | 1,736E+6        | 4,300E+4            | 1,236E-2     | 4,310E+0   |                    | 5,096E+1       | 0,000E+0  |           |               |                          | 1,929E+8     |
| TP-108,14-T-601C,Topping,DLB          | R38[O]->D547[D]->D341[D]->D466[O]->D9[D]->D698[O]->D704[O]->W77          | 6,750E-7   | 1,428E+6        |                     | 7,728E-1     | 5,000E+0   | 1,546E+4           | 4,192E+1       | 0,000E+0  |           |               |                          | 1,587E+8     |
| TP-108,14-T-601C,Topping,DLB          | R38[O]->D547[D]->D341[D]->D466[O]->D9[D]->D698[O]->D704[O]->W77          | 6,750E-7   | 1,428E+6        | 3,537E+4            | 1,016E-2     | 4,310E+0   |                    | 4,192E+1       | 0,000E+0  |           |               |                          | 1,587E+8     |
| TP-108,14-T-601C,Topping,DLB          | R38[O]->D547[O]->D332[D]->D341[D]->D466[O]->D9[D]->D698[D]->W77          | 1,750E-8   | 1,737E+6        |                     | 9,401E-1     | 5,000E+0   | 1,880E+4           | 5,097E+1       | 0,000E+0  |           |               |                          | 1,930E+8     |
| TP-108,14-T-601C,Topping,DLB          | R38[O]->D547[O]->D332[D]->D341[D]->D466[O]->D9[D]->D698[D]->W77          | 1,750E-8   | 1,737E+6        | 4,303E+4            | 1,236E-2     | 4,310E+0   |                    | 5,097E+1       | 0,000E+0  |           |               |                          | 1,930E+8     |
| TP-108,14-T-601C,Topping,DLB          | R38[O]->D547[O]->D332[D]->D341[D]->D466[O]->D9[D]->D698[O]->D704[O]->W77 | 1,575E-7   | 1,429E+6        |                     | 7,735E-1     | 5,000E+0   | 1,547E+4           | 4,193E+1       | 0,000E+0  |           |               |                          | 1,588E+8     |
| TP-108,14-T-601C,Topping,DLB          | R38[O]->D547[O]->D332[D]->D341[D]->D466[O]->D9[D]->D698[O]->D704[O]->W77 | 1,575E-7   | 1,429E+6        | 3,540E+4            | 1,017E-2     | 4,310E+0   |                    | 4,193E+1       | 0,000E+0  |           |               |                          | 1,588E+8     |
| TP-108,14-T-601C,Topping,DLB          | R38[O]->D547[O]->D332[D]->D341[D]->D466[O]->D9[D]->D698[D]->W77          | 7,500E-9   | 1,736E+6        |                     | 9,395E-1     | 5,000E+0   | 1,879E+4           | 5,096E+1       | 0,000E+0  |           |               |                          | 1,929E+8     |
| TP-108,14-T-601C,Topping,DLB          | R38[O]->D547[O]->D332[D]->D341[D]->D466[O]->D9[D]->D698[D]->W77          | 7,500E-9   | 1,736E+6        | 4,300E+4            | 1,236E-2     | 4,310E+0   |                    | 5,096E+1       | 0,000E+0  |           |               |                          | 1,929E+8     |
| TP-108,14-T-601C,Topping,DLB          | R38[O]->D547[O]->D332[D]->D341[D]->D466[O]->D9[D]->D698[O]->D704[O]->W77 | 6,750E-8   | 1,428E+6        |                     | 7,728E-1     | 5,000E+0   | 1,546E+4           | 4,192E+1       | 0,000E+0  |           |               |                          | 1,587E+8     |
| TP-108,14-T-601C,Topping,DLB          | R38[O]->D547[O]->D332[D]->D341[D]->D466[O]->D9[D]->D698[O]->D704[O]->W77 | 6,750E-8   | 1,428E+6        | 3,537E+4            | 1,016E-2     | 4,310E+0   |                    | 4,192E+1       | 0,000E+0  |           |               |                          | 1,587E+8     |
| TP-108,14-T-601B,Instantaan falen,DLB | R38[D]->D341[D]->D466[O]->D9[D]->D698[D]->W77                            | 3,465E-8   | 8,791E+5        |                     | 4,757E-1     | 5,000E+0   | 9,514E+3           | 4,443E+1       | 0,000E+0  |           |               |                          | 9,768E+7     |

| Group                                 | Afstroomroute   | Frequentie | Massa uitstroom | Volume contaminatie | MSI Factored | Weegfactor | Oever Contaminatie | Uitstroom tijd | Bluswater | RWZI      |               |                          | LC50 gewogen |
|---------------------------------------|---|------------|-----------------|---------------------|--------------|------------|--------------------|----------------|-----------|-----------|---------------|--------------------------|--------------|
|                                       |   | [j-1]      | [kg]            | [m3]                |              |            | [m]                | [s]            | [m3]      | inhibitie | overbelasting | Actief slib beïnvloeding | [m3]         |
| TP-108,14-T-601B,Instantaan falen,DLB | R38[D]->D341[D]->D466[O]->D9[D]->D698[D]->W77                   | 3,465E-8   | 8,791E+5        | 2,177E+4            | 6,257E-3     | 4,310E+0   |                    | 4,443E+1       | 0,000E+0  |           |               |                          | 9,768E+7     |
| TP-108,14-T-601B,Instantaan falen,DLB | R38[D]->D341[D]->D466[O]->D9[D]->D698[O]->D704[O]->W77          | 3,119E-7   | 5,711E+5        |                     | 3,090E-1     | 5,000E+0   | 6,181E+3           | 2,887E+1       | 0,000E+0  |           |               |                          | 6,346E+7     |
| TP-108,14-T-601B,Instantaan falen,DLB | R38[D]->D341[D]->D466[O]->D9[D]->D698[O]->D704[O]->W77          | 3,119E-7   | 5,711E+5        | 1,414E+4            | 4,064E-3     | 4,310E+0   |                    | 2,887E+1       | 0,000E+0  |           |               |                          | 6,346E+7     |
| TP-108,14-T-601B,Instantaan falen,DLB | R38[D]->D341[D]->D466[O]->D9[D]->D698[D]->W77                   | 1,485E-8   | 8,779E+5        |                     | 4,751E-1     | 5,000E+0   | 9,501E+3           | 4,442E+1       | 0,000E+0  |           |               |                          | 9,754E+7     |
| TP-108,14-T-601B,Instantaan falen,DLB | R38[D]->D341[D]->D466[O]->D9[D]->D698[D]->W77                   | 1,485E-8   | 8,779E+5        | 2,174E+4            | 6,248E-3     | 4,310E+0   |                    | 4,442E+1       | 0,000E+0  |           |               |                          | 9,754E+7     |
| TP-108,14-T-601B,Instantaan falen,DLB | R38[D]->D341[D]->D466[O]->D9[D]->D698[O]->D704[O]->W77          | 1,337E-7   | 5,699E+5        |                     | 3,084E-1     | 5,000E+0   | 6,168E+3           | 2,884E+1       | 0,000E+0  |           |               |                          | 6,332E+7     |
| TP-108,14-T-601B,Instantaan falen,DLB | R38[D]->D341[D]->D466[O]->D9[D]->D698[O]->D704[O]->W77          | 1,337E-7   | 5,699E+5        | 1,411E+4            | 4,056E-3     | 4,310E+0   |                    | 2,884E+1       | 0,000E+0  |           |               |                          | 6,332E+7     |
| TP-108,14-T-601B,Continu falen,DLB    | R38[D]->D341[D]->D466[O]->D9[D]->D698[D]->W77                   | 3,465E-8   | 1,308E+6        |                     | 7,079E-1     | 5,000E+0   | 9,898E+3           | 2,488E+3       | 0,000E+0  |           |               |                          | 1,454E+8     |
| TP-108,14-T-601B,Continu falen,DLB    | R38[D]->D341[D]->D466[O]->D9[D]->D698[D]->W77                   | 3,465E-8   | 1,308E+6        | 2,265E+4            | 6,509E-3     | 4,310E+0   |                    | 2,488E+3       | 0,000E+0  |           |               |                          | 1,454E+8     |
| TP-108,14-T-601B,Continu falen,DLB    | R38[D]->D341[D]->D466[O]->D9[D]->D698[O]->D704[O]->W77          | 3,119E-7   | 1,000E+6        |                     | 5,413E-1     | 5,000E+0   | 9,898E+3           | 1,902E+3       | 0,000E+0  |           |               |                          | 1,111E+8     |
| TP-108,14-T-601B,Continu falen,DLB    | R38[D]->D341[D]->D466[O]->D9[D]->D698[O]->D704[O]->W77          | 3,119E-7   | 1,000E+6        | 2,265E+4            | 6,509E-3     | 4,310E+0   |                    | 1,902E+3       | 0,000E+0  |           |               |                          | 1,111E+8     |
| TP-108,14-T-601B,Continu falen,DLB    | R38[D]->D341[D]->D466[O]->D9[D]->D698[D]->W77                   | 1,485E-8   | 1,246E+6        |                     | 6,743E-1     | 5,000E+0   | 9,495E+3           | 2,470E+3       | 0,000E+0  |           |               |                          | 1,385E+8     |
| TP-108,14-T-601B,Continu falen,DLB    | R38[D]->D341[D]->D466[O]->D9[D]->D698[D]->W77                   | 1,485E-8   | 1,246E+6        | 2,173E+4            | 6,244E-3     | 4,310E+0   |                    | 2,470E+3       | 0,000E+0  |           |               |                          | 1,385E+8     |
| TP-108,14-T-601B,Continu falen,DLB    | R38[D]->D341[D]->D466[O]->D9[D]->D698[O]->D704[O]->W77          | 1,337E-7   | 9,382E+5        |                     | 5,077E-1     | 5,000E+0   | 9,495E+3           | 1,860E+3       | 0,000E+0  |           |               |                          | 1,042E+8     |
| TP-108,14-T-601B,Continu falen,DLB    | R38[D]->D341[D]->D466[O]->D9[D]->D698[O]->D704[O]->W77          | 1,337E-7   | 9,382E+5        | 2,173E+4            | 6,244E-3     | 4,310E+0   |                    | 1,860E+3       | 0,000E+0  |           |               |                          | 1,042E+8     |
| TP-108,14-T-601B,Topping,DLB          | R38[O]->D547[D]->D341[D]->D466[O]->D9[D]->D698[D]->W77          | 1,750E-7   | 1,737E+6        |                     | 9,401E-1     | 5,000E+0   | 1,880E+4           | 5,097E+1       | 0,000E+0  |           |               |                          | 1,930E+8     |
| TP-108,14-T-601B,Topping,DLB          | R38[O]->D547[D]->D341[D]->D466[O]->D9[D]->D698[D]->W77          | 1,750E-7   | 1,737E+6        | 4,303E+4            | 1,236E-2     | 4,310E+0   |                    | 5,097E+1       | 0,000E+0  |           |               |                          | 1,930E+8     |
| TP-108,14-T-601B,Topping,DLB          | R38[O]->D547[D]->D341[D]->D466[O]->D9[D]->D698[O]->D704[O]->W77 | 1,575E-6   | 1,429E+6        |                     | 7,735E-1     | 5,000E+0   | 1,547E+4           | 4,193E+1       | 0,000E+0  |           |               |                          | 1,588E+8     |
| TP-108,14-T-601B,Topping,DLB          | R38[O]->D547[D]->D341[D]->D466[O]->D9[D]->D698[O]->D704[O]->W77 | 1,575E-6   | 1,429E+6        | 3,540E+4            | 1,017E-2     | 4,310E+0   |                    | 4,193E+1       | 0,000E+0  |           |               |                          | 1,588E+8     |
| TP-108,14-T-601B,Topping,DLB          | R38[O]->D547[D]->D341[D]->D466[O]->D9[D]->D698[D]->W77          | 7,500E-8   | 1,736E+6        |                     | 9,395E-1     | 5,000E+0   | 1,879E+4           | 5,096E+1       | 0,000E+0  |           |               |                          | 1,929E+8     |
| TP-108,14-T-601B,Topping,DLB          | R38[O]->D547[D]->D341[D]->D466[O]->D9[D]->D698[D]->W77          | 7,500E-8   | 1,736E+6        | 4,300E+4            | 1,236E-2     | 4,310E+0   |                    | 5,096E+1       | 0,000E+0  |           |               |                          | 1,929E+8     |

| Group                                 | Afstroomroute  | Frequentie | Massa uitstroom | Volume contaminatie | MSI Factored | Weegfactor | Oever Contaminatie | Uitstroom tijd | Bluswater | RWZI      |               |                          | LC50 gewogen |
|---------------------------------------|--|------------|-----------------|---------------------|--------------|------------|--------------------|----------------|-----------|-----------|---------------|--------------------------|--------------|
|                                       |  |            |                 |                     |              |            |                    |                |           | inhibitie | overbelasting | Actief slib beïnvloeding |              |
|                                       |  | [j-1]      | [kg]            | [m3]                |              |            | [m]                | [s]            | [m3]      |           |               |                          | [m3]         |
| TP-108,14-T-601B,Topping,DLB          | R38[O]->D547[D]->D341[D]->D466[O]->D9[D]->D698[O]->D704[O]->W77          | 6,750E-7   | 1,428E+6        |                     | 7,728E-1     | 5,000E+0   | 1,546E+4           | 4,192E+1       | 0,000E+0  |           |               |                          | 1,587E+8     |
| TP-108,14-T-601B,Topping,DLB          | R38[O]->D547[D]->D341[D]->D466[O]->D9[D]->D698[O]->D704[O]->W77          | 6,750E-7   | 1,428E+6        | 3,537E+4            | 1,016E-2     | 4,310E+0   |                    | 4,192E+1       | 0,000E+0  |           |               |                          | 1,587E+8     |
| TP-108,14-T-601B,Topping,DLB          | R38[O]->D547[O]->D332[D]->D341[D]->D466[O]->D9[D]->D698[D]->W77          | 1,750E-8   | 1,737E+6        |                     | 9,401E-1     | 5,000E+0   | 1,880E+4           | 5,097E+1       | 0,000E+0  |           |               |                          | 1,930E+8     |
| TP-108,14-T-601B,Topping,DLB          | R38[O]->D547[O]->D332[D]->D341[D]->D466[O]->D9[D]->D698[D]->W77          | 1,750E-8   | 1,737E+6        | 4,303E+4            | 1,236E-2     | 4,310E+0   |                    | 5,097E+1       | 0,000E+0  |           |               |                          | 1,930E+8     |
| TP-108,14-T-601B,Topping,DLB          | R38[O]->D547[O]->D332[D]->D341[D]->D466[O]->D9[D]->D698[O]->D704[O]->W77 | 1,575E-7   | 1,429E+6        |                     | 7,735E-1     | 5,000E+0   | 1,547E+4           | 4,193E+1       | 0,000E+0  |           |               |                          | 1,588E+8     |
| TP-108,14-T-601B,Topping,DLB          | R38[O]->D547[O]->D332[D]->D341[D]->D466[O]->D9[D]->D698[O]->D704[O]->W77 | 1,575E-7   | 1,429E+6        | 3,540E+4            | 1,017E-2     | 4,310E+0   |                    | 4,193E+1       | 0,000E+0  |           |               |                          | 1,588E+8     |
| TP-108,14-T-601B,Topping,DLB          | R38[O]->D547[O]->D332[D]->D341[D]->D466[O]->D9[D]->D698[D]->W77          | 7,500E-9   | 1,736E+6        |                     | 9,395E-1     | 5,000E+0   | 1,879E+4           | 5,096E+1       | 0,000E+0  |           |               |                          | 1,929E+8     |
| TP-108,14-T-601B,Topping,DLB          | R38[O]->D547[O]->D332[D]->D341[D]->D466[O]->D9[D]->D698[D]->W77          | 7,500E-9   | 1,736E+6        | 4,300E+4            | 1,236E-2     | 4,310E+0   |                    | 5,096E+1       | 0,000E+0  |           |               |                          | 1,929E+8     |
| TP-108,14-T-601B,Topping,DLB          | R38[O]->D547[O]->D332[D]->D341[D]->D466[O]->D9[D]->D698[O]->D704[O]->W77 | 6,750E-8   | 1,428E+6        |                     | 7,728E-1     | 5,000E+0   | 1,546E+4           | 4,192E+1       | 0,000E+0  |           |               |                          | 1,587E+8     |
| TP-108,14-T-601B,Topping,DLB          | R38[O]->D547[O]->D332[D]->D341[D]->D466[O]->D9[D]->D698[O]->D704[O]->W77 | 6,750E-8   | 1,428E+6        | 3,537E+4            | 1,016E-2     | 4,310E+0   |                    | 4,192E+1       | 0,000E+0  |           |               |                          | 1,587E+8     |
| TP-108,14-T-601A,Instantaan falen,DLB | R38[D]->D341[D]->D466[O]->D9[D]->D698[D]->W77                            | 3,465E-8   | 8,791E+5        |                     | 4,757E-1     | 5,000E+0   | 9,514E+3           | 4,443E+1       | 0,000E+0  |           |               |                          | 9,768E+7     |
| TP-108,14-T-601A,Instantaan falen,DLB | R38[D]->D341[D]->D466[O]->D9[D]->D698[D]->W77                            | 3,465E-8   | 8,791E+5        | 2,177E+4            | 6,257E-3     | 4,310E+0   |                    | 4,443E+1       | 0,000E+0  |           |               |                          | 9,768E+7     |
| TP-108,14-T-601A,Instantaan falen,DLB | R38[D]->D341[D]->D466[O]->D9[D]->D698[O]->D704[O]->W77                   | 3,119E-7   | 5,711E+5        |                     | 3,090E-1     | 5,000E+0   | 6,181E+3           | 2,887E+1       | 0,000E+0  |           |               |                          | 6,346E+7     |
| TP-108,14-T-601A,Instantaan falen,DLB | R38[D]->D341[D]->D466[O]->D9[D]->D698[O]->D704[O]->W77                   | 3,119E-7   | 5,711E+5        | 1,414E+4            | 4,064E-3     | 4,310E+0   |                    | 2,887E+1       | 0,000E+0  |           |               |                          | 6,346E+7     |
| TP-108,14-T-601A,Instantaan falen,DLB | R38[D]->D341[D]->D466[O]->D9[D]->D698[D]->W77                            | 1,485E-8   | 8,779E+5        |                     | 4,751E-1     | 5,000E+0   | 9,501E+3           | 4,442E+1       | 0,000E+0  |           |               |                          | 9,754E+7     |
| TP-108,14-T-601A,Instantaan falen,DLB | R38[D]->D341[D]->D466[O]->D9[D]->D698[D]->W77                            | 1,485E-8   | 8,779E+5        | 2,174E+4            | 6,248E-3     | 4,310E+0   |                    | 4,442E+1       | 0,000E+0  |           |               |                          | 9,754E+7     |
| TP-108,14-T-601A,Instantaan falen,DLB | R38[D]->D341[D]->D466[O]->D9[D]->D698[O]->D704[O]->W77                   | 1,337E-7   | 5,699E+5        |                     | 3,084E-1     | 5,000E+0   | 6,168E+3           | 2,884E+1       | 0,000E+0  |           |               |                          | 6,332E+7     |
| TP-108,14-T-601A,Instantaan falen,DLB | R38[D]->D341[D]->D466[O]->D9[D]->D698[O]->D704[O]->W77                   | 1,337E-7   | 5,699E+5        | 1,411E+4            | 4,056E-3     | 4,310E+0   |                    | 2,884E+1       | 0,000E+0  |           |               |                          | 6,332E+7     |
| TP-108,14-T-601A,Continu falen,DLB    | R38[D]->D341[D]->D466[O]->D9[D]->D698[D]->W77                            | 3,465E-8   | 1,308E+6        |                     | 7,079E-1     | 5,000E+0   | 9,898E+3           | 2,488E+3       | 0,000E+0  |           |               |                          | 1,454E+8     |

| Group                              | Afstroomroute  | Frequentie | Massa uitstroom | Volume contaminatie | MSI Factored | Weegfactor | Oever Contaminatie | Uitstroom tijd | Bluswater | RWZI      |               |                          | LC50 gewogen |
|------------------------------------|--|------------|-----------------|---------------------|--------------|------------|--------------------|----------------|-----------|-----------|---------------|--------------------------|--------------|
|                                    |  |            |                 |                     |              |            |                    |                |           | inhibitie | overbelasting | Actief slib beïnvloeding |              |
|                                    |  | [j-1]      | [kg]            | [m3]                |              |            | [m]                | [s]            | [m3]      |           |               |                          | [m3]         |
| TP-108,14-T-601A,Continu falen,DLB | R38[D]->D341[D]->D466[O]->D9[D]->D698[D]->W77                            | 3,465E-8   | 1,308E+6        | 2,265E+4            | 6,509E-3     | 4,310E+0   |                    | 2,488E+3       | 0,000E+0  |           |               |                          | 1,454E+8     |
| TP-108,14-T-601A,Continu falen,DLB | R38[D]->D341[D]->D466[O]->D9[D]->D698[O]->D704[O]->W77                   | 3,119E-7   | 1,000E+6        |                     | 5,413E-1     | 5,000E+0   | 9,898E+3           | 1,902E+3       | 0,000E+0  |           |               |                          | 1,111E+8     |
| TP-108,14-T-601A,Continu falen,DLB | R38[D]->D341[D]->D466[O]->D9[D]->D698[O]->D704[O]->W77                   | 3,119E-7   | 1,000E+6        | 2,265E+4            | 6,509E-3     | 4,310E+0   |                    | 1,902E+3       | 0,000E+0  |           |               |                          | 1,111E+8     |
| TP-108,14-T-601A,Continu falen,DLB | R38[D]->D341[D]->D466[O]->D9[D]->D698[D]->W77                            | 1,485E-8   | 1,246E+6        |                     | 6,743E-1     | 5,000E+0   | 9,495E+3           | 2,470E+3       | 0,000E+0  |           |               |                          | 1,385E+8     |
| TP-108,14-T-601A,Continu falen,DLB | R38[D]->D341[D]->D466[O]->D9[D]->D698[D]->W77                            | 1,485E-8   | 1,246E+6        | 2,173E+4            | 6,244E-3     | 4,310E+0   |                    | 2,470E+3       | 0,000E+0  |           |               |                          | 1,385E+8     |
| TP-108,14-T-601A,Continu falen,DLB | R38[D]->D341[D]->D466[O]->D9[D]->D698[O]->D704[O]->W77                   | 1,337E-7   | 9,382E+5        |                     | 5,077E-1     | 5,000E+0   | 9,495E+3           | 1,860E+3       | 0,000E+0  |           |               |                          | 1,042E+8     |
| TP-108,14-T-601A,Continu falen,DLB | R38[D]->D341[D]->D466[O]->D9[D]->D698[O]->D704[O]->W77                   | 1,337E-7   | 9,382E+5        | 2,173E+4            | 6,244E-3     | 4,310E+0   |                    | 1,860E+3       | 0,000E+0  |           |               |                          | 1,042E+8     |
| TP-108,14-T-601A,Topping,DLB       | R38[O]->D547[D]->D341[D]->D466[O]->D9[D]->D698[D]->W77                   | 1,750E-7   | 1,737E+6        |                     | 9,401E-1     | 5,000E+0   | 1,880E+4           | 5,097E+1       | 0,000E+0  |           |               |                          | 1,930E+8     |
| TP-108,14-T-601A,Topping,DLB       | R38[O]->D547[D]->D341[D]->D466[O]->D9[D]->D698[D]->W77                   | 1,750E-7   | 1,737E+6        | 4,303E+4            | 1,236E-2     | 4,310E+0   |                    | 5,097E+1       | 0,000E+0  |           |               |                          | 1,930E+8     |
| TP-108,14-T-601A,Topping,DLB       | R38[O]->D547[D]->D341[D]->D466[O]->D9[D]->D698[O]->D704[O]->W77          | 1,575E-6   | 1,429E+6        |                     | 7,735E-1     | 5,000E+0   | 1,547E+4           | 4,193E+1       | 0,000E+0  |           |               |                          | 1,588E+8     |
| TP-108,14-T-601A,Topping,DLB       | R38[O]->D547[D]->D341[D]->D466[O]->D9[D]->D698[O]->D704[O]->W77          | 1,575E-6   | 1,429E+6        | 3,540E+4            | 1,017E-2     | 4,310E+0   |                    | 4,193E+1       | 0,000E+0  |           |               |                          | 1,588E+8     |
| TP-108,14-T-601A,Topping,DLB       | R38[O]->D547[D]->D341[D]->D466[O]->D9[D]->D698[D]->W77                   | 7,500E-8   | 1,736E+6        |                     | 9,395E-1     | 5,000E+0   | 1,879E+4           | 5,096E+1       | 0,000E+0  |           |               |                          | 1,929E+8     |
| TP-108,14-T-601A,Topping,DLB       | R38[O]->D547[D]->D341[D]->D466[O]->D9[D]->D698[D]->W77                   | 7,500E-8   | 1,736E+6        | 4,300E+4            | 1,236E-2     | 4,310E+0   |                    | 5,096E+1       | 0,000E+0  |           |               |                          | 1,929E+8     |
| TP-108,14-T-601A,Topping,DLB       | R38[O]->D547[D]->D341[D]->D466[O]->D9[D]->D698[O]->D704[O]->W77          | 6,750E-7   | 1,428E+6        |                     | 7,728E-1     | 5,000E+0   | 1,546E+4           | 4,192E+1       | 0,000E+0  |           |               |                          | 1,587E+8     |
| TP-108,14-T-601A,Topping,DLB       | R38[O]->D547[D]->D341[D]->D466[O]->D9[D]->D698[O]->D704[O]->W77          | 6,750E-7   | 1,428E+6        | 3,537E+4            | 1,016E-2     | 4,310E+0   |                    | 4,192E+1       | 0,000E+0  |           |               |                          | 1,587E+8     |
| TP-108,14-T-601A,Topping,DLB       | R38[O]->D547[O]->D332[D]->D341[D]->D466[O]->D9[D]->D698[D]->W77          | 1,750E-8   | 1,737E+6        |                     | 9,401E-1     | 5,000E+0   | 1,880E+4           | 5,097E+1       | 0,000E+0  |           |               |                          | 1,930E+8     |
| TP-108,14-T-601A,Topping,DLB       | R38[O]->D547[O]->D332[D]->D341[D]->D466[O]->D9[D]->D698[D]->W77          | 1,750E-8   | 1,737E+6        | 4,303E+4            | 1,236E-2     | 4,310E+0   |                    | 5,097E+1       | 0,000E+0  |           |               |                          | 1,930E+8     |
| TP-108,14-T-601A,Topping,DLB       | R38[O]->D547[O]->D332[D]->D341[D]->D466[O]->D9[D]->D698[O]->D704[O]->W77 | 1,575E-7   | 1,429E+6        |                     | 7,735E-1     | 5,000E+0   | 1,547E+4           | 4,193E+1       | 0,000E+0  |           |               |                          | 1,588E+8     |



| Group                                  | Afstroomroute  | Frequentie | Massa uitstroom | Volume contaminatie | MSI Factored | Weegfactor | Oever Contaminatie | Uitstroom tijd | Bluswater | RWZI      |               |                          | LC50 gewogen |
|--|--|------------|-----------------|---------------------|--------------|------------|--------------------|----------------|-----------|-----------|---------------|--------------------------|--------------|
|  |  | [j-1]      | [kg]            | [m3]                |              |            | [m]                | [s]            | [m3]      | inhibitie | overbelasting | Actief slib beïnvloeding | [m3]         |
| TP-108,14-T-601A,Topping,DLB           | R38[O]->D547[O]->D332[D]->D341[D]->D466[O]->D9[D]->D698[O]->D704[O]->W77 | 1,575E-7   | 1,429E+6        | 3,540E+4            | 1,017E-2     | 4,310E+0   |                    | 4,193E+1       | 0,000E+0  |           |               |                          | 1,588E+8     |
| TP-108,14-T-601A,Topping,DLB           | R38[O]->D547[O]->D332[D]->D341[D]->D466[O]->D9[D]->D698[D]->W77          | 7,500E-9   | 1,736E+6        |                     | 9,395E-1     | 5,000E+0   | 1,879E+4           | 5,096E+1       | 0,000E+0  |           |               |                          | 1,929E+8     |
| TP-108,14-T-601A,Topping,DLB           | R38[O]->D547[O]->D332[D]->D341[D]->D466[O]->D9[D]->D698[D]->W77          | 7,500E-9   | 1,736E+6        | 4,300E+4            | 1,236E-2     | 4,310E+0   |                    | 5,096E+1       | 0,000E+0  |           |               |                          | 1,929E+8     |
| TP-108,14-T-601A,Topping,DLB           | R38[O]->D547[O]->D332[D]->D341[D]->D466[O]->D9[D]->D698[O]->D704[O]->W77 | 6,750E-8   | 1,428E+6        |                     | 7,728E-1     | 5,000E+0   | 1,546E+4           | 4,192E+1       | 0,000E+0  |           |               |                          | 1,587E+8     |
| TP-108,14-T-601A,Topping,DLB           | R38[O]->D547[O]->D332[D]->D341[D]->D466[O]->D9[D]->D698[O]->D704[O]->W77 | 6,750E-8   | 1,428E+6        | 3,537E+4            | 1,016E-2     | 4,310E+0   |                    | 4,192E+1       | 0,000E+0  |           |               |                          | 1,587E+8     |
| TP-108,14-T-621,Kleine brand,Bio-nafta | R38[D]->D341[D]->D466[D]->D473[D]->D29[D]->D751[B]->W765                 | 4,500E-10  | 1,238E+5        |                     | 1,699E-2     | 1,111E+0   | 5,224E+1           | 2,880E+4       | 8,490E+2  | ja (BWZI) |               | ja (BWZI)                | 1,376E+8     |
| TP-108,14-T-621,Kleine brand,Bio-nafta | R38[D]->D341[D]->D466[D]->D473[D]->D29[D]->D751[B]->W765                 | 4,500E-10  | 1,238E+5        | 1,858E+7            | 1,238E+0     | 1,000E+0   |                    | 2,880E+4       | 8,490E+2  | ja (BWZI) |               | ja (BWZI)                | 1,376E+8     |
| TP-108,14-T-621,Kleine brand,Bio-nafta | R38[D]->D341[D]->D466[D]->D473[D]->D29[D]->D751[B]->W765                 | 4,500E-10  | 1,238E+5        |                     | 0,000E+0     | 1,000E+0   |                    | 2,880E+4       | 8,490E+2  | ja (BWZI) |               | ja (BWZI)                | 1,376E+8     |
| TP-108,14-T-601C,Kleine brand,DLB      | R38[D]->D341[D]->D466[D]->D473[D]->D29[D]->D751[B]->W765                 | 4,500E-10  | 1,948E+5        |                     | 2,343E-2     | 1,111E+0   | 7,936E+1           | 2,880E+4       | 3,012E+3  | ja (BWZI) |               | ja (BWZI)                | 2,165E+7     |
| TP-108,14-T-601C,Kleine brand,DLB      | R38[D]->D341[D]->D466[D]->D473[D]->D29[D]->D751[B]->W765                 | 4,500E-10  | 1,948E+5        | 2,923E+7            | 1,948E+0     | 1,000E+0   |                    | 2,880E+4       | 3,012E+3  | ja (BWZI) |               | ja (BWZI)                | 2,165E+7     |
| TP-108,14-T-601C,Kleine brand,DLB      | R38[D]->D341[D]->D466[D]->D473[D]->D29[D]->D751[B]->W765                 | 4,500E-10  | 1,948E+5        |                     | 0,000E+0     | 1,000E+0   |                    | 2,880E+4       | 3,012E+3  | ja (BWZI) |               | ja (BWZI)                | 2,165E+7     |
| TP-108,14-T-601C,Kleine brand,DLB      | R38[D]->D341[D]->D466[D]->D473[D]->D29[D]->D751[B]->W765                 | 4,500E-10  | 2,218E+5        |                     | 2,667E-2     | 1,111E+0   | 8,468E+1           | 2,880E+4       | 4,101E+3  | ja (BWZI) |               | ja (BWZI)                | 2,464E+7     |
| TP-108,14-T-601C,Kleine brand,DLB      | R38[D]->D341[D]->D466[D]->D473[D]->D29[D]->D751[B]->W765                 | 4,500E-10  | 2,218E+5        | 3,327E+7            | 2,218E+0     | 1,000E+0   |                    | 2,880E+4       | 4,101E+3  | ja (BWZI) |               | ja (BWZI)                | 2,464E+7     |
| TP-108,14-T-601C,Kleine brand,DLB      | R38[D]->D341[D]->D466[D]->D473[D]->D29[D]->D751[B]->W765                 | 4,500E-10  | 2,218E+5        |                     | 0,000E+0     | 1,000E+0   |                    | 2,880E+4       | 4,101E+3  | ja (BWZI) |               | ja (BWZI)                | 2,464E+7     |
| TP-108,14-T-601B,Kleine brand,DLB      | R38[D]->D341[D]->D466[D]->D473[D]->D29[D]->D751[B]->W765                 | 4,500E-10  | 1,948E+5        |                     | 2,343E-2     | 1,111E+0   | 7,936E+1           | 2,880E+4       | 3,012E+3  | ja (BWZI) |               | ja (BWZI)                | 2,165E+7     |
| TP-108,14-T-601B,Kleine brand,DLB      | R38[D]->D341[D]->D466[D]->D473[D]->D29[D]->D751[B]->W765                 | 4,500E-10  | 1,948E+5        | 2,923E+7            | 1,948E+0     | 1,000E+0   |                    | 2,880E+4       | 3,012E+3  | ja (BWZI) |               | ja (BWZI)                | 2,165E+7     |

| Group                                      | Afstroomroute  | Frequentie | Massa uitstroom | Volume contaminatie | MSI Factored | Weegfactor | Oever Contaminatie | Uitstroom tijd | Bluswater | RWZI      |               |                          | LC50 gewogen |
|--|--|------------|-----------------|---------------------|--------------|------------|--------------------|----------------|-----------|-----------|---------------|--------------------------|--------------|
|  |  |            |                 |                     |              |            |                    |                |           | inhibitie | overbelasting | Actief slib beïnvloeding |              |
|  |  | [j-1]      | [kg]            | [m3]                |              |            | [m]                | [s]            | [m3]      |           |               |                          | [m3]         |
| TP-108,14-T-601B,Kleine brand,DLB          | R38[D]->D341[D]->D466[D]->D473[D]->D29[D]->D751[B]->W765 | 4,500E-10  | 1,948E+5        |                     | 0,000E+0     | 1,000E+0   |                    | 2,880E+4       | 3,012E+3  | ja (BWZI) |               | ja (BWZI)                | 2,165E+7     |
| TP-108,14-T-601B,Kleine brand,DLB          | R38[D]->D341[D]->D466[D]->D473[D]->D29[D]->D751[B]->W765 | 4,500E-10  | 2,218E+5        |                     | 2,667E-2     | 1,111E+0   | 8,468E+1           | 2,880E+4       | 4,101E+3  | ja (BWZI) |               | ja (BWZI)                | 2,464E+7     |
| TP-108,14-T-601B,Kleine brand,DLB          | R38[D]->D341[D]->D466[D]->D473[D]->D29[D]->D751[B]->W765 | 4,500E-10  | 2,218E+5        | 3,327E+7            | 2,218E+0     | 1,000E+0   |                    | 2,880E+4       | 4,101E+3  | ja (BWZI) |               | ja (BWZI)                | 2,464E+7     |
| TP-108,14-T-601B,Kleine brand,DLB          | R38[D]->D341[D]->D466[D]->D473[D]->D29[D]->D751[B]->W765 | 4,500E-10  | 2,218E+5        |                     | 0,000E+0     | 1,000E+0   |                    | 2,880E+4       | 4,101E+3  | ja (BWZI) |               | ja (BWZI)                | 2,464E+7     |
| TP-108,14-T-601A,Kleine brand,DLB          | R38[D]->D341[D]->D466[D]->D473[D]->D29[D]->D751[B]->W765 | 4,500E-10  | 1,948E+5        |                     | 2,343E-2     | 1,111E+0   | 7,936E+1           | 2,880E+4       | 3,012E+3  | ja (BWZI) |               | ja (BWZI)                | 2,165E+7     |
| TP-108,14-T-601A,Kleine brand,DLB          | R38[D]->D341[D]->D466[D]->D473[D]->D29[D]->D751[B]->W765 | 4,500E-10  | 1,948E+5        | 2,923E+7            | 1,948E+0     | 1,000E+0   |                    | 2,880E+4       | 3,012E+3  | ja (BWZI) |               | ja (BWZI)                | 2,165E+7     |
| TP-108,14-T-601A,Kleine brand,DLB          | R38[D]->D341[D]->D466[D]->D473[D]->D29[D]->D751[B]->W765 | 4,500E-10  | 1,948E+5        |                     | 0,000E+0     | 1,000E+0   |                    | 2,880E+4       | 3,012E+3  | ja (BWZI) |               | ja (BWZI)                | 2,165E+7     |
| TP-108,14-T-601A,Kleine brand,DLB          | R38[D]->D341[D]->D466[D]->D473[D]->D29[D]->D751[B]->W765 | 4,500E-10  | 2,218E+5        |                     | 2,667E-2     | 1,111E+0   | 8,468E+1           | 2,880E+4       | 4,101E+3  | ja (BWZI) |               | ja (BWZI)                | 2,464E+7     |
| TP-108,14-T-601A,Kleine brand,DLB          | R38[D]->D341[D]->D466[D]->D473[D]->D29[D]->D751[B]->W765 | 4,500E-10  | 2,218E+5        | 3,327E+7            | 2,218E+0     | 1,000E+0   |                    | 2,880E+4       | 4,101E+3  | ja (BWZI) |               | ja (BWZI)                | 2,464E+7     |
| TP-108,14-T-601A,Kleine brand,DLB          | R38[D]->D341[D]->D466[D]->D473[D]->D29[D]->D751[B]->W765 | 4,500E-10  | 2,218E+5        |                     | 0,000E+0     | 1,000E+0   |                    | 2,880E+4       | 4,101E+3  | ja (BWZI) |               | ja (BWZI)                | 2,464E+7     |
| TP-108,14-T-621,Instantaan falen,Bio-nafta | R38[D]->D341[D]->D466[D]->D473[D]->D29[D]->D751[B]->W765 | 4,500E-8   | 8,982E+4        |                     | 1,232E-2     | 1,111E+0   | 4,449E+1           | 2,880E+4       | 0,000E+0  | ja (BWZI) |               | ja (BWZI)                | 9,980E+7     |
| TP-108,14-T-621,Instantaan falen,Bio-nafta | R38[D]->D341[D]->D466[D]->D473[D]->D29[D]->D751[B]->W765 | 4,500E-8   | 8,982E+4        | 1,347E+7            | 8,982E-1     | 1,000E+0   |                    | 2,880E+4       | 0,000E+0  | ja (BWZI) |               | ja (BWZI)                | 9,980E+7     |
| TP-108,14-T-621,Instantaan falen,Bio-nafta | R38[D]->D341[D]->D466[D]->D473[D]->D29[D]->D751[B]->W765 | 4,500E-8   | 8,982E+4        |                     | 0,000E+0     | 1,000E+0   |                    | 2,880E+4       | 0,000E+0  | ja (BWZI) |               | ja (BWZI)                | 9,980E+7     |
| TP-108,14-T-621,Continu falen,Bio-nafta    | R38[D]->D341[D]->D466[D]->D473[D]->D29[D]->D751[B]->W765 | 4,455E-8   | 1,726E+5        |                     | 2,368E-2     | 1,111E+0   | 6,167E+1           | 2,880E+4       | 0,000E+0  | ja (BWZI) |               | ja (BWZI)                | 1,918E+8     |
| TP-108,14-T-621,Continu falen,Bio-nafta    | R38[D]->D341[D]->D466[D]->D473[D]->D29[D]->D751[B]->W765 | 4,455E-8   | 1,726E+5        | 1,539E+3            | 1,026E-4     | 1,000E+0   |                    | 2,880E+4       | 0,000E+0  | ja (BWZI) |               | ja (BWZI)                | 1,918E+8     |
| TP-108,14-T-621,Continu falen,Bio-nafta    | R38[D]->D341[D]->D466[D]->D473[D]->D29[D]->D751[B]->W765 | 4,455E-8   | 1,227E+0        |                     | 0,000E+0     | 1,000E+0   |                    | 1,407E+5       | 0,000E+0  | ja (BWZI) |               | ja (BWZI)                | 1,363E+3     |

| Group                                       | Afstroomroute  | Frequentie | Massa uitstroom | Volume contaminatie | MSI Factored | Weegfactor | Oever Contaminatie | Uitstroom tijd | Bluswater | RWZI      |               |                          | LC50 gewogen |
|---|--|------------|-----------------|---------------------|--------------|------------|--------------------|----------------|-----------|-----------|---------------|--------------------------|--------------|
|   |  | [j-1]      | [kg]            | [m3]                |              |            | [m]                | [s]            | [m3]      | inhibitie | overbelasting | Actief slib beïnvloeding | [m3]         |
| TP-108,14-T-621,Topping,Bio-nafta           | R38[O]->D547[D]->D341[D]->D466[D]->D473[D]->D29[D]->D751[B]->W765          | 2,250E-7   | 1,089E+5        |                     | 1,494E-2     | 1,111E+0   | 4,899E+1           | 2,880E+4       | 0,000E+0  | ja (BWZI) |               | ja (BWZI)                | 1,210E+8     |
| TP-108,14-T-621,Topping,Bio-nafta           | R38[O]->D547[D]->D341[D]->D466[D]->D473[D]->D29[D]->D751[B]->W765          | 2,250E-7   | 1,089E+5        | 9,710E+2            | 6,473E-5     | 1,000E+0   |                    | 2,880E+4       | 0,000E+0  | ja (BWZI) |               | ja (BWZI)                | 1,210E+8     |
| TP-108,14-T-621,Topping,Bio-nafta           | R38[O]->D547[D]->D341[D]->D466[D]->D473[D]->D29[D]->D751[B]->W765          | 2,250E-7   | 7,745E-1        |                     | 0,000E+0     | 1,000E+0   |                    | 1,407E+5       | 0,000E+0  | ja (BWZI) |               | ja (BWZI)                | 8,605E+2     |
| TP-108,14-T-621,Topping,Bio-nafta           | R38[O]->D547[O]->D332[D]->D341[D]->D466[D]->D473[D]->D29[D]->D751[B]->W765 | 2,250E-8   | 1,089E+5        |                     | 1,494E-2     | 1,111E+0   | 4,899E+1           | 2,880E+4       | 0,000E+0  | ja (BWZI) |               | ja (BWZI)                | 1,210E+8     |
| TP-108,14-T-621,Topping,Bio-nafta           | R38[O]->D547[O]->D332[D]->D341[D]->D466[D]->D473[D]->D29[D]->D751[B]->W765 | 2,250E-8   | 1,089E+5        | 9,710E+2            | 6,473E-5     | 1,000E+0   |                    | 2,880E+4       | 0,000E+0  | ja (BWZI) |               | ja (BWZI)                | 1,210E+8     |
| TP-108,14-T-621,Topping,Bio-nafta           | R38[O]->D547[O]->D332[D]->D341[D]->D466[D]->D473[D]->D29[D]->D751[B]->W765 | 2,250E-8   | 7,745E-1        |                     | 0,000E+0     | 1,000E+0   |                    | 1,407E+5       | 0,000E+0  | ja (BWZI) |               | ja (BWZI)                | 8,605E+2     |
| TP-108,14-T-611B,Instantaan falen,Bio-nafta | R38[D]->D341[D]->D466[D]->D473[D]->D29[D]->D751[B]->W765                   | 4,500E-8   | 7,011E+4        |                     | 9,617E-3     | 1,111E+0   | 3,931E+1           | 2,880E+4       | 0,000E+0  | ja (BWZI) |               | ja (BWZI)                | 7,790E+7     |
| TP-108,14-T-611B,Instantaan falen,Bio-nafta | R38[D]->D341[D]->D466[D]->D473[D]->D29[D]->D751[B]->W765                   | 4,500E-8   | 7,011E+4        | 1,052E+7            | 7,011E-1     | 1,000E+0   |                    | 2,880E+4       | 0,000E+0  | ja (BWZI) |               | ja (BWZI)                | 7,790E+7     |
| TP-108,14-T-611B,Instantaan falen,Bio-nafta | R38[D]->D341[D]->D466[D]->D473[D]->D29[D]->D751[B]->W765                   | 4,500E-8   | 7,011E+4        |                     | 0,000E+0     | 1,000E+0   |                    | 2,880E+4       | 0,000E+0  | ja (BWZI) |               | ja (BWZI)                | 7,790E+7     |
| TP-108,14-T-611B,Continu falen,Bio-nafta    | R38[D]->D341[D]->D466[D]->D473[D]->D29[D]->D751[B]->W765                   | 4,500E-8   | 8,486E+4        |                     | 1,164E-2     | 1,111E+0   | 4,324E+1           | 2,880E+4       | 0,000E+0  | ja (BWZI) |               | ja (BWZI)                | 9,428E+7     |
| TP-108,14-T-611B,Continu falen,Bio-nafta    | R38[D]->D341[D]->D466[D]->D473[D]->D29[D]->D751[B]->W765                   | 4,500E-8   | 8,486E+4        | 1,273E+7            | 8,486E-1     | 1,000E+0   |                    | 2,880E+4       | 0,000E+0  | ja (BWZI) |               | ja (BWZI)                | 9,428E+7     |
| TP-108,14-T-611B,Continu falen,Bio-nafta    | R38[D]->D341[D]->D466[D]->D473[D]->D29[D]->D751[B]->W765                   | 4,500E-8   | 8,486E+4        |                     | 0,000E+0     | 1,000E+0   |                    | 2,880E+4       | 0,000E+0  | ja (BWZI) |               | ja (BWZI)                | 9,428E+7     |
| TP-108,14-T-611B,Topping,Bio-nafta          | R38[O]->D547[D]->D341[D]->D466[D]->D473[D]->D29[D]->D751[B]->W765          | 2,250E-7   | 9,962E+4        |                     | 1,367E-2     | 1,111E+0   | 4,685E+1           | 2,880E+4       | 0,000E+0  | ja (BWZI) |               | ja (BWZI)                | 1,107E+8     |
| TP-108,14-T-611B,Topping,Bio-nafta          | R38[O]->D547[D]->D341[D]->D466[D]->D473[D]->D29[D]->D751[B]->W765          | 2,250E-7   | 9,962E+4        | 1,494E+7            | 9,962E-1     | 1,000E+0   |                    | 2,880E+4       | 0,000E+0  | ja (BWZI) |               | ja (BWZI)                | 1,107E+8     |
| TP-108,14-T-611B,Topping,Bio-nafta          | R38[O]->D547[D]->D341[D]->D466[D]->D473[D]->D29[D]->D751[B]->W765          | 2,250E-7   | 9,962E+4        |                     | 0,000E+0     | 1,000E+0   |                    | 2,880E+4       | 0,000E+0  | ja (BWZI) |               | ja (BWZI)                | 1,107E+8     |
| TP-108,14-T-611B,Topping,Bio-nafta          | R38[O]->D547[O]->D332[D]->D341[D]->D466[D]->D473[D]->D29[D]->D751[B]->W765 | 2,250E-8   | 9,962E+4        |                     | 1,367E-2     | 1,111E+0   | 4,685E+1           | 2,880E+4       | 0,000E+0  | ja (BWZI) |               | ja (BWZI)                | 1,107E+8     |

| Group                                       | Afstroomroute  | Frequentie | Massa uitstroom | Volume contaminatie | MSI Factored | Weegfactor | Oever Contaminatie | Uitstroom tijd | Bluswater | RWZI      |               |                          | LC50 gewogen |
|---|--|------------|-----------------|---------------------|--------------|------------|--------------------|----------------|-----------|-----------|---------------|--------------------------|--------------|
|   |  | [j-1]      | [kg]            | [m3]                |              |            | [m]                | [s]            | [m3]      | inhibitie | overbelasting | Actief slib beïnvloeding | [m3]         |
| TP-108,14-T-611B,Topping,Bio-nafta          | R38[O]->D547[O]->D332[D]->D341[D]->D466[D]->D473[D]->D29[D]->D751[B]->W765 | 2,250E-8   | 9,962E+4        | 1,494E+7            | 9,962E-1     | 1,000E+0   |                    | 2,880E+4       | 0,000E+0  | ja (BWZI) |               | ja (BWZI)                | 1,107E+8     |
| TP-108,14-T-611B,Topping,Bio-nafta          | R38[O]->D547[O]->D332[D]->D341[D]->D466[D]->D473[D]->D29[D]->D751[B]->W765 | 2,250E-8   | 9,962E+4        |                     | 0,000E+0     | 1,000E+0   |                    | 2,880E+4       | 0,000E+0  | ja (BWZI) |               | ja (BWZI)                | 1,107E+8     |
| TP-108,14-T-611A,Instantaan falen,Bio-nafta | R38[D]->D341[D]->D466[D]->D473[D]->D29[D]->D751[B]->W765                   | 4,500E-8   | 7,011E+4        |                     | 9,617E-3     | 1,111E+0   | 3,931E+1           | 2,880E+4       | 0,000E+0  | ja (BWZI) |               | ja (BWZI)                | 7,790E+7     |
| TP-108,14-T-611A,Instantaan falen,Bio-nafta | R38[D]->D341[D]->D466[D]->D473[D]->D29[D]->D751[B]->W765                   | 4,500E-8   | 7,011E+4        | 1,052E+7            | 7,011E-1     | 1,000E+0   |                    | 2,880E+4       | 0,000E+0  | ja (BWZI) |               | ja (BWZI)                | 7,790E+7     |
| TP-108,14-T-611A,Instantaan falen,Bio-nafta | R38[D]->D341[D]->D466[D]->D473[D]->D29[D]->D751[B]->W765                   | 4,500E-8   | 7,011E+4        |                     | 0,000E+0     | 1,000E+0   |                    | 2,880E+4       | 0,000E+0  | ja (BWZI) |               | ja (BWZI)                | 7,790E+7     |
| TP-108,14-T-611A,Continu falen,Bio-nafta    | R38[D]->D341[D]->D466[D]->D473[D]->D29[D]->D751[B]->W765                   | 4,500E-8   | 8,486E+4        |                     | 1,164E-2     | 1,111E+0   | 4,324E+1           | 2,880E+4       | 0,000E+0  | ja (BWZI) |               | ja (BWZI)                | 9,428E+7     |
| TP-108,14-T-611A,Continu falen,Bio-nafta    | R38[D]->D341[D]->D466[D]->D473[D]->D29[D]->D751[B]->W765                   | 4,500E-8   | 8,486E+4        | 1,273E+7            | 8,486E-1     | 1,000E+0   |                    | 2,880E+4       | 0,000E+0  | ja (BWZI) |               | ja (BWZI)                | 9,428E+7     |
| TP-108,14-T-611A,Continu falen,Bio-nafta    | R38[D]->D341[D]->D466[D]->D473[D]->D29[D]->D751[B]->W765                   | 4,500E-8   | 8,486E+4        |                     | 0,000E+0     | 1,000E+0   |                    | 2,880E+4       | 0,000E+0  | ja (BWZI) |               | ja (BWZI)                | 9,428E+7     |
| TP-108,14-T-611A,Topping,Bio-nafta          | R38[O]->D547[D]->D341[D]->D466[D]->D473[D]->D29[D]->D751[B]->W765          | 2,250E-7   | 9,962E+4        |                     | 1,367E-2     | 1,111E+0   | 4,685E+1           | 2,880E+4       | 0,000E+0  | ja (BWZI) |               | ja (BWZI)                | 1,107E+8     |
| TP-108,14-T-611A,Topping,Bio-nafta          | R38[O]->D547[D]->D341[D]->D466[D]->D473[D]->D29[D]->D751[B]->W765          | 2,250E-7   | 9,962E+4        | 1,494E+7            | 9,962E-1     | 1,000E+0   |                    | 2,880E+4       | 0,000E+0  | ja (BWZI) |               | ja (BWZI)                | 1,107E+8     |
| TP-108,14-T-611A,Topping,Bio-nafta          | R38[O]->D547[D]->D341[D]->D466[D]->D473[D]->D29[D]->D751[B]->W765          | 2,250E-7   | 9,962E+4        |                     | 0,000E+0     | 1,000E+0   |                    | 2,880E+4       | 0,000E+0  | ja (BWZI) |               | ja (BWZI)                | 1,107E+8     |
| TP-108,14-T-611A,Topping,Bio-nafta          | R38[O]->D547[O]->D332[D]->D341[D]->D466[D]->D473[D]->D29[D]->D751[B]->W765 | 2,250E-8   | 9,962E+4        |                     | 1,367E-2     | 1,111E+0   | 4,685E+1           | 2,880E+4       | 0,000E+0  | ja (BWZI) |               | ja (BWZI)                | 1,107E+8     |
| TP-108,14-T-611A,Topping,Bio-nafta          | R38[O]->D547[O]->D332[D]->D341[D]->D466[D]->D473[D]->D29[D]->D751[B]->W765 | 2,250E-8   | 9,962E+4        | 1,494E+7            | 9,962E-1     | 1,000E+0   |                    | 2,880E+4       | 0,000E+0  | ja (BWZI) |               | ja (BWZI)                | 1,107E+8     |
| TP-108,14-T-611A,Topping,Bio-nafta          | R38[O]->D547[O]->D332[D]->D341[D]->D466[D]->D473[D]->D29[D]->D751[B]->W765 | 2,250E-8   | 9,962E+4        |                     | 0,000E+0     | 1,000E+0   |                    | 2,880E+4       | 0,000E+0  | ja (BWZI) |               | ja (BWZI)                | 1,107E+8     |
| TP-108,14-T-601C,Instantaan falen,DLB       | R38[D]->D341[D]->D466[D]->D473[D]->D29[D]->D751[B]->W765                   | 4,455E-8   | 1,244E+5        |                     | 1,496E-2     | 1,111E+0   | 6,342E+1           | 2,880E+4       | 0,000E+0  | ja (BWZI) |               | ja (BWZI)                | 1,382E+7     |
| TP-108,14-T-601C,Instantaan falen,DLB       | R38[D]->D341[D]->D466[D]->D473[D]->D29[D]->D751[B]->W765                   | 4,455E-8   | 1,244E+5        | 1,946E+2            | 1,298E-5     | 1,000E+0   |                    | 2,880E+4       | 0,000E+0  | ja (BWZI) |               | ja (BWZI)                | 1,382E+7     |

| Group                                 | Afstroomroute  | Frequentie | Massa uitstroom | Volume contaminatie | MSI Factored | Weegfactor | Oever Contaminatie | Uitstroom tijd | Bluswater | RWZI      |               |                          | LC50 gewogen |
|---------------------------------------|--|------------|-----------------|---------------------|--------------|------------|--------------------|----------------|-----------|-----------|---------------|--------------------------|--------------|
|                                       |  |            |                 |                     |              |            |                    |                |           | inhibitie | overbelasting | Actief slib beïnvloeding |              |
|                                       |  | [j-1]      | [kg]            | [m3]                |              |            | [m]                | [s]            | [m3]      |           |               |                          | [m3]         |
| TP-108,14-T-601C,Instantaan falen,DLB | R38[D]->D341[D]->D466[D]->D473[D]->D29[D]->D751[B]->W765                   | 4,455E-8   | 1,298E+0        |                     | 0,000E+0     | 1,000E+0   |                    | 9,588E+4       | 0,000E+0  | ja (BWZI) |               | ja (BWZI)                | 1,442E+2     |
| TP-108,14-T-601C,Continu falen,DLB    | R38[D]->D341[D]->D466[D]->D473[D]->D29[D]->D751[B]->W765                   | 4,455E-8   | 6,815E+5        |                     | 8,195E-2     | 1,111E+0   | 1,484E+2           | 2,880E+4       | 0,000E+0  | ja (BWZI) |               | ja (BWZI)                | 7,572E+7     |
| TP-108,14-T-601C,Continu falen,DLB    | R38[D]->D341[D]->D466[D]->D473[D]->D29[D]->D751[B]->W765                   | 4,455E-8   | 6,815E+5        | 1,066E+3            | 7,108E-5     | 1,000E+0   |                    | 2,880E+4       | 0,000E+0  | ja (BWZI) |               | ja (BWZI)                | 7,572E+7     |
| TP-108,14-T-601C,Continu falen,DLB    | R38[D]->D341[D]->D466[D]->D473[D]->D29[D]->D751[B]->W765                   | 4,455E-8   | 7,108E+0        |                     | 0,000E+0     | 1,000E+0   |                    | 9,588E+4       | 0,000E+0  | ja (BWZI) |               | ja (BWZI)                | 7,898E+2     |
| TP-108,14-T-601C,Topping,DLB          | R38[O]->D547[D]->D341[D]->D466[D]->D473[D]->D29[D]->D751[B]->W765          | 2,250E-7   | 1,245E+5        |                     | 1,497E-2     | 1,111E+0   | 6,343E+1           | 2,880E+4       | 0,000E+0  | ja (BWZI) |               | ja (BWZI)                | 1,383E+7     |
| TP-108,14-T-601C,Topping,DLB          | R38[O]->D547[D]->D341[D]->D466[D]->D473[D]->D29[D]->D751[B]->W765          | 2,250E-7   | 1,245E+5        | 1,947E+2            | 1,298E-5     | 1,000E+0   |                    | 2,880E+4       | 0,000E+0  | ja (BWZI) |               | ja (BWZI)                | 1,383E+7     |
| TP-108,14-T-601C,Topping,DLB          | R38[O]->D547[D]->D341[D]->D466[D]->D473[D]->D29[D]->D751[B]->W765          | 2,250E-7   | 1,298E+0        |                     | 0,000E+0     | 1,000E+0   |                    | 9,588E+4       | 0,000E+0  | ja (BWZI) |               | ja (BWZI)                | 1,442E+2     |
| TP-108,14-T-601C,Topping,DLB          | R38[O]->D547[O]->D332[D]->D341[D]->D466[D]->D473[D]->D29[D]->D751[B]->W765 | 2,250E-8   | 1,245E+5        |                     | 1,497E-2     | 1,111E+0   | 6,343E+1           | 2,880E+4       | 0,000E+0  | ja (BWZI) |               | ja (BWZI)                | 1,383E+7     |
| TP-108,14-T-601C,Topping,DLB          | R38[O]->D547[O]->D332[D]->D341[D]->D466[D]->D473[D]->D29[D]->D751[B]->W765 | 2,250E-8   | 1,245E+5        | 1,947E+2            | 1,298E-5     | 1,000E+0   |                    | 2,880E+4       | 0,000E+0  | ja (BWZI) |               | ja (BWZI)                | 1,383E+7     |
| TP-108,14-T-601C,Topping,DLB          | R38[O]->D547[O]->D332[D]->D341[D]->D466[D]->D473[D]->D29[D]->D751[B]->W765 | 2,250E-8   | 1,298E+0        |                     | 0,000E+0     | 1,000E+0   |                    | 9,588E+4       | 0,000E+0  | ja (BWZI) |               | ja (BWZI)                | 1,442E+2     |
| TP-108,14-T-601B,Instantaan falen,DLB | R38[D]->D341[D]->D466[D]->D473[D]->D29[D]->D751[B]->W765                   | 4,455E-8   | 1,244E+5        |                     | 1,496E-2     | 1,111E+0   | 6,342E+1           | 2,880E+4       | 0,000E+0  | ja (BWZI) |               | ja (BWZI)                | 1,382E+7     |
| TP-108,14-T-601B,Instantaan falen,DLB | R38[D]->D341[D]->D466[D]->D473[D]->D29[D]->D751[B]->W765                   | 4,455E-8   | 1,244E+5        | 1,946E+2            | 1,298E-5     | 1,000E+0   |                    | 2,880E+4       | 0,000E+0  | ja (BWZI) |               | ja (BWZI)                | 1,382E+7     |
| TP-108,14-T-601B,Instantaan falen,DLB | R38[D]->D341[D]->D466[D]->D473[D]->D29[D]->D751[B]->W765                   | 4,455E-8   | 1,298E+0        |                     | 0,000E+0     | 1,000E+0   |                    | 9,588E+4       | 0,000E+0  | ja (BWZI) |               | ja (BWZI)                | 1,442E+2     |
| TP-108,14-T-601B,Continu falen,DLB    | R38[D]->D341[D]->D466[D]->D473[D]->D29[D]->D751[B]->W765                   | 4,455E-8   | 1,853E+5        |                     | 2,228E-2     | 1,111E+0   | 7,739E+1           | 2,880E+4       | 0,000E+0  | ja (BWZI) |               | ja (BWZI)                | 2,058E+7     |
| TP-108,14-T-601B,Continu falen,DLB    | R38[D]->D341[D]->D466[D]->D473[D]->D29[D]->D751[B]->W765                   | 4,455E-8   | 1,853E+5        | 2,898E+2            | 1,932E-5     | 1,000E+0   |                    | 2,880E+4       | 0,000E+0  | ja (BWZI) |               | ja (BWZI)                | 2,058E+7     |
| TP-108,14-T-601B,Continu falen,DLB    | R38[D]->D341[D]->D466[D]->D473[D]->D29[D]->D751[B]->W765                   | 4,455E-8   | 1,932E+0        |                     | 0,000E+0     | 1,000E+0   |                    | 9,588E+4       | 0,000E+0  | ja (BWZI) |               | ja (BWZI)                | 2,147E+2     |

| Group                                 | Afstroomroute  | Frequentie | Massa uitstroom | Volume contaminatie | MSI Factored | Weegfactor | Oever Contaminatie | Uitstroom tijd | Bluswater | RWZI      |               |                          | LC50 gewogen |
|---------------------------------------|--|------------|-----------------|---------------------|--------------|------------|--------------------|----------------|-----------|-----------|---------------|--------------------------|--------------|
|                                       |  | [j-1]      | [kg]            | [m3]                |              |            | [m]                | [s]            | [m3]      | inhibitie | overbelasting | Actief slib beïnvloeding | [m3]         |
| TP-108,14-T-601B,Topping,DLB          | R38[O]->D547[D]->D341[D]->D466[D]->D473[D]->D29[D]->D751[B]->W765          | 2,250E-7   | 1,245E+5        |                     | 1,497E-2     | 1,111E+0   | 6,343E+1           | 2,880E+4       | 0,000E+0  | ja (BWZI) |               | ja (BWZI)                | 1,383E+7     |
| TP-108,14-T-601B,Topping,DLB          | R38[O]->D547[D]->D341[D]->D466[D]->D473[D]->D29[D]->D751[B]->W765          | 2,250E-7   | 1,245E+5        | 1,947E+2            | 1,298E-5     | 1,000E+0   |                    | 2,880E+4       | 0,000E+0  | ja (BWZI) |               | ja (BWZI)                | 1,383E+7     |
| TP-108,14-T-601B,Topping,DLB          | R38[O]->D547[D]->D341[D]->D466[D]->D473[D]->D29[D]->D751[B]->W765          | 2,250E-7   | 1,298E+0        |                     | 0,000E+0     | 1,000E+0   |                    | 9,588E+4       | 0,000E+0  | ja (BWZI) |               | ja (BWZI)                | 1,442E+2     |
| TP-108,14-T-601B,Topping,DLB          | R38[O]->D547[O]->D332[D]->D341[D]->D466[D]->D473[D]->D29[D]->D751[B]->W765 | 2,250E-8   | 1,245E+5        |                     | 1,497E-2     | 1,111E+0   | 6,343E+1           | 2,880E+4       | 0,000E+0  | ja (BWZI) |               | ja (BWZI)                | 1,383E+7     |
| TP-108,14-T-601B,Topping,DLB          | R38[O]->D547[O]->D332[D]->D341[D]->D466[D]->D473[D]->D29[D]->D751[B]->W765 | 2,250E-8   | 1,245E+5        | 1,947E+2            | 1,298E-5     | 1,000E+0   |                    | 2,880E+4       | 0,000E+0  | ja (BWZI) |               | ja (BWZI)                | 1,383E+7     |
| TP-108,14-T-601B,Topping,DLB          | R38[O]->D547[O]->D332[D]->D341[D]->D466[D]->D473[D]->D29[D]->D751[B]->W765 | 2,250E-8   | 1,298E+0        |                     | 0,000E+0     | 1,000E+0   |                    | 9,588E+4       | 0,000E+0  | ja (BWZI) |               | ja (BWZI)                | 1,442E+2     |
| TP-108,14-T-601A,Instantaan falen,DLB | R38[D]->D341[D]->D466[D]->D473[D]->D29[D]->D751[B]->W765                   | 4,455E-8   | 1,244E+5        |                     | 1,496E-2     | 1,111E+0   | 6,342E+1           | 2,880E+4       | 0,000E+0  | ja (BWZI) |               | ja (BWZI)                | 1,382E+7     |
| TP-108,14-T-601A,Instantaan falen,DLB | R38[D]->D341[D]->D466[D]->D473[D]->D29[D]->D751[B]->W765                   | 4,455E-8   | 1,244E+5        | 1,946E+2            | 1,298E-5     | 1,000E+0   |                    | 2,880E+4       | 0,000E+0  | ja (BWZI) |               | ja (BWZI)                | 1,382E+7     |
| TP-108,14-T-601A,Instantaan falen,DLB | R38[D]->D341[D]->D466[D]->D473[D]->D29[D]->D751[B]->W765                   | 4,455E-8   | 1,298E+0        |                     | 0,000E+0     | 1,000E+0   |                    | 9,588E+4       | 0,000E+0  | ja (BWZI) |               | ja (BWZI)                | 1,442E+2     |
| TP-108,14-T-601A,Continu falen,DLB    | R38[D]->D341[D]->D466[D]->D473[D]->D29[D]->D751[B]->W765                   | 4,455E-8   | 1,853E+5        |                     | 2,228E-2     | 1,111E+0   | 7,739E+1           | 2,880E+4       | 0,000E+0  | ja (BWZI) |               | ja (BWZI)                | 2,058E+7     |
| TP-108,14-T-601A,Continu falen,DLB    | R38[D]->D341[D]->D466[D]->D473[D]->D29[D]->D751[B]->W765                   | 4,455E-8   | 1,853E+5        | 2,898E+2            | 1,932E-5     | 1,000E+0   |                    | 2,880E+4       | 0,000E+0  | ja (BWZI) |               | ja (BWZI)                | 2,058E+7     |
| TP-108,14-T-601A,Continu falen,DLB    | R38[D]->D341[D]->D466[D]->D473[D]->D29[D]->D751[B]->W765                   | 4,455E-8   | 1,932E+0        |                     | 0,000E+0     | 1,000E+0   |                    | 9,588E+4       | 0,000E+0  | ja (BWZI) |               | ja (BWZI)                | 2,147E+2     |
| TP-108,14-T-601A,Topping,DLB          | R38[O]->D547[D]->D341[D]->D466[D]->D473[D]->D29[D]->D751[B]->W765          | 2,250E-7   | 1,245E+5        |                     | 1,497E-2     | 1,111E+0   | 6,343E+1           | 2,880E+4       | 0,000E+0  | ja (BWZI) |               | ja (BWZI)                | 1,383E+7     |
| TP-108,14-T-601A,Topping,DLB          | R38[O]->D547[D]->D341[D]->D466[D]->D473[D]->D29[D]->D751[B]->W765          | 2,250E-7   | 1,245E+5        | 1,947E+2            | 1,298E-5     | 1,000E+0   |                    | 2,880E+4       | 0,000E+0  | ja (BWZI) |               | ja (BWZI)                | 1,383E+7     |
| TP-108,14-T-601A,Topping,DLB          | R38[O]->D547[D]->D341[D]->D466[D]->D473[D]->D29[D]->D751[B]->W765          | 2,250E-7   | 1,298E+0        |                     | 0,000E+0     | 1,000E+0   |                    | 9,588E+4       | 0,000E+0  | ja (BWZI) |               | ja (BWZI)                | 1,442E+2     |
| TP-108,14-T-601A,Topping,DLB          | R38[O]->D547[O]->D332[D]->D341[D]->D466[D]->D473[D]->D29[D]->D751[B]->W765 | 2,250E-8   | 1,245E+5        |                     | 1,497E-2     | 1,111E+0   | 6,343E+1           | 2,880E+4       | 0,000E+0  | ja (BWZI) |               | ja (BWZI)                | 1,383E+7     |

| Group                        | Afstroomroute  | Frequentie | Massa uitstroom | Volume contaminatie | MSI Factored | Weegfactor | Oever Contaminatie | Uitstroom tijd | Bluswater | RWZI      |               |                          | LC50 gewogen |
|------------------------------|--|------------|-----------------|---------------------|--------------|------------|--------------------|----------------|-----------|-----------|---------------|--------------------------|--------------|
|                              |  |            |                 |                     |              |            |                    |                |           | inhibitie | overbelasting | Actief slib beïnvloeding |              |
|                              |  | [j-1]      | [kg]            | [m3]                |              |            | [m]                | [s]            | [m3]      |           |               |                          | [m3]         |
| TP-108,14-T-601A,Topping,DLB | R38[O]->D547[O]->D332[D]->D341[D]->D466[D]->D473[D]->D29[D]->D751[B]->W765 | 2,250E-8   | 1,245E+5        | 1,947E+2            | 1,298E-5     | 1,000E+0   |                    | 2,880E+4       | 0,000E+0  | ja (BWZI) |               | ja (BWZI)                | 1,383E+7     |
| TP-108,14-T-601A,Topping,DLB | R38[O]->D547[O]->D332[D]->D341[D]->D466[D]->D473[D]->D29[D]->D751[B]->W765 | 2,250E-8   | 1,298E+0        |                     | 0,000E+0     | 1,000E+0   |                    | 9,588E+4       | 0,000E+0  | ja (BWZI) |               | ja (BWZI)                | 1,442E+2     |

### 4.3 Unit Scheepsverlading

| Group   | Afstroomroute | Frequentie | Massa uitstroom | Volume contaminatie | MSI Factored | Weegfactor | Oever Contaminatie | Uitstroom tijd | Bluswater | RWZI      |               |                          | LC50 gewogen |
|---|---------------|------------|-----------------|---------------------|--------------|------------|--------------------|----------------|-----------|-----------|---------------|--------------------------|--------------|
|   |               |            |                 |                     |              |            |                    |                |           | inhibitie | overbelasting | Actief slib beïnvloeding |              |
|   |               | [j-1]      | [kg]            | [m3]                |              |            | [m]                | [s]            | [m3]      |           |               |                          | [m3]         |
| Scheepsverlading,,Lekkage overslag schip,Ruwe grondstof | R102[D]->W77  | 3,272E-5   | 7,005E+0        |                     | 3,243E-6     | 5,000E+0   | 2,226E+0           | 2,000E+1       | 0,000E+0  |           |               |                          | 7,783E+3     |
| Scheepsverlading,,Lekkage overslag schip,Ruwe grondstof | R102[D]->W77  | 3,272E-5   | 7,005E+0        | 1,051E+3            | 3,019E-4     | 4,310E+0   |                    | 2,000E+1       | 0,000E+0  |           |               |                          | 7,783E+3     |
| Scheepsverlading,,Breuk overslag schip,Ruwe grondstof   | R102[D]->W77  | 3,272E-6   | 7,005E+2        |                     | 3,243E-4     | 5,000E+0   | 2,226E+1           | 2,000E+1       | 0,000E+0  |           |               |                          | 7,783E+5     |
| Scheepsverlading,,Breuk overslag schip,Ruwe grondstof   | R102[D]->W77  | 3,272E-6   | 7,005E+2        | 1,241E+2            | 3,565E-5     | 4,310E+0   |                    | 2,000E+1       | 0,000E+0  |           |               |                          | 7,783E+5     |
| Scheepsverlading,,Aanvaring, groot,Ruwe grondstof       | R102[D]->W77  | 8,844E-6   | 6,750E+4        |                     | 3,125E-2     | 5,000E+0   | 6,250E+2           | 1,800E+3       | 0,000E+0  |           |               |                          | 7,500E+7     |
| Scheepsverlading,,Aanvaring, groot,Ruwe grondstof       | R102[D]->W77  | 8,844E-6   | 6,750E+4        | 1,195E+4            | 3,435E-3     | 4,310E+0   |                    | 1,800E+3       | 0,000E+0  |           |               |                          | 7,500E+7     |
| Scheepsverlading,,Aanvaring, klein,Ruwe grondstof       | R102[D]->W77  | 1,769E-5   | 2,700E+4        |                     | 1,250E-2     | 5,000E+0   | 2,500E+2           | 1,800E+3       | 0,000E+0  |           |               |                          | 3,000E+7     |
| Scheepsverlading,,Aanvaring, klein,Ruwe grondstof       | R102[D]->W77  | 1,769E-5   | 2,700E+4        | 4,782E+3            | 1,374E-3     | 4,310E+0   |                    | 1,800E+3       | 0,000E+0  |           |               |                          | 3,000E+7     |
| Scheepsverlading,,Lekkage overslag schip,Bio-nafta      | R102[D]->W77  | 1,985E-5   | 5,254E+0        |                     | 3,243E-6     | 5,000E+0   | 2,226E+0           | 2,000E+1       | 0,000E+0  |           |               |                          | 5,837E+3     |
| Scheepsverlading,,Lekkage overslag schip,Bio-nafta      | R102[D]->W77  | 1,985E-5   | 5,254E+0        | 7,880E+2            | 2,264E-4     | 4,310E+0   |                    | 2,000E+1       | 0,000E+0  |           |               |                          | 5,837E+3     |
| Scheepsverlading,,Breuk overslag schip,Bio-nafta        | R102[D]->W77  | 1,985E-6   | 5,254E+2        |                     | 3,243E-4     | 5,000E+0   | 2,226E+1           | 2,000E+1       | 0,000E+0  |           |               |                          | 5,837E+5     |
| Scheepsverlading,,Breuk overslag schip,Bio-nafta        | R102[D]->W77  | 1,985E-6   | 5,254E+2        | 1,241E+2            | 3,565E-5     | 4,310E+0   |                    | 2,000E+1       | 0,000E+0  |           |               |                          | 5,837E+5     |
| Scheepsverlading,,Aanvaring, groot,Bio-nafta            | R102[D]->W77  | 2,684E-6   | 5,063E+4        |                     | 3,125E-2     | 5,000E+0   | 2,960E+2           | 1,800E+3       | 0,000E+0  |           |               |                          | 5,625E+7     |
| Scheepsverlading,,Aanvaring, groot,Bio-nafta            | R102[D]->W77  | 2,684E-6   | 5,063E+4        | 5,662E+3            | 1,627E-3     | 4,310E+0   |                    | 1,800E+3       | 0,000E+0  |           |               |                          | 5,625E+7     |
| Scheepsverlading,,Aanvaring, klein,Bio-nafta            | R102[D]->W77  | 5,367E-6   | 2,025E+4        |                     | 1,250E-2     | 5,000E+0   | 9,510E+1           | 1,800E+3       | 0,000E+0  |           |               |                          | 2,250E+7     |
| Scheepsverlading,,Aanvaring, klein,Bio-nafta            | R102[D]->W77  | 5,367E-6   | 2,025E+4        | 2,265E+3            | 6,508E-4     | 4,310E+0   |                    | 1,800E+3       | 0,000E+0  |           |               |                          | 2,250E+7     |
| Scheepsverlading,,Lekkage overslag schip,DLB            | R102[D]->W77  | 8,570E-5   | 5,993E+0        |                     | 3,243E-6     | 5,000E+0   | 2,226E+0           | 2,000E+1       | 0,000E+0  |           |               |                          | 6,659E+2     |
| Scheepsverlading,,Lekkage overslag schip,DLB            | R102[D]->W77  | 8,570E-5   | 5,993E+0        | 8,989E+2            | 2,583E-4     | 4,310E+0   |                    | 2,000E+1       | 0,000E+0  |           |               |                          | 6,659E+2     |
| Scheepsverlading,,Breuk overslag schip,DLB              | R102[D]->W77  | 8,570E-6   | 5,993E+2        |                     | 3,243E-4     | 5,000E+0   | 2,226E+1           | 2,000E+1       | 0,000E+0  |           |               |                          | 6,659E+4     |
| Scheepsverlading,,Breuk overslag schip,DLB              | R102[D]->W77  | 8,570E-6   | 5,993E+2        | 1,484E+1            | 4,265E-6     | 4,310E+0   |                    | 2,000E+1       | 0,000E+0  |           |               |                          | 6,659E+4     |
| Scheepsverlading,,Aanvaring, groot,DLB                  | R102[D]->W77  | 7,928E-6   | 5,775E+4        |                     | 3,125E-2     | 5,000E+0   | 6,039E+2           | 1,800E+3       | 0,000E+0  |           |               |                          | 6,417E+6     |
| Scheepsverlading,,Aanvaring, groot,DLB                  | R102[D]->W77  | 7,928E-6   | 5,775E+4        | 1,382E+3            | 3,971E-4     | 4,310E+0   |                    | 1,800E+3       | 0,000E+0  |           |               |                          | 6,417E+6     |



| Group                                  | Afstroomroute | Frequentie | Massa uitstroom | Volume contaminatie | MSI Factored | Weegfactor | Oever Contaminatie | Uitstroom tijd | Bluswater | RWZI      |               |                          | LC50 gewogen |
|--|---------------|------------|-----------------|---------------------|--------------|------------|--------------------|----------------|-----------|-----------|---------------|--------------------------|--------------|
|  |               | [j-1]      | [kg]            | [m3]                |              |            | [m]                | [s]            | [m3]      | inhibitie | overbelasting | Actief slib beïnvloeding | [m3]         |
| Scheepsverlading,,Aanvaring, klein,DLB | R102[D]->W77  | 1,586E-5   | 2,310E+4        |                     | 1,250E-2     | 5,000E+0   | 2,415E+2           | 1,800E+3       | 0,000E+0  |           |               |                          | 2,567E+6     |
| Scheepsverlading,,Aanvaring, klein,DLB | R102[D]->W77  | 1,586E-5   | 2,310E+4        | 5,528E+2            | 1,588E-4     | 4,310E+0   |                    | 1,800E+3       | 0,000E+0  |           |               |                          | 2,567E+6     |

## 4.4 Unit Leiding Bio-nafta II

| Group  | Afstroomroute | Frequentie | Massa uitstroom | Volume contaminatie | MSI Factored | Weegfactor | Oever Contaminatie | Uitstroom tijd | Bluswater | RWZI      |               |                          | LC50 gewogen |
|--|---------------|------------|-----------------|---------------------|--------------|------------|--------------------|----------------|-----------|-----------|---------------|--------------------------|--------------|
|  |               |            |                 |                     |              |            |                    |                |           | inhibitie | overbelasting | Actief slib beïnvloeding |              |
|  |               | [j-1]      | [kg]            | [m3]                |              |            | [m]                | [s]            | [m3]      |           |               |                          | [m3]         |
| Leiding Bio-nafta II,,Leidingbreuk,Bio-nafta   | R171[B]->W77  | 5,096E-4   | 8,939E+3        |                     | 5,518E-3     | 5,000E+0   | 9,182E+1           | 1,200E+2       | 0,000E+0  |           |               |                          | 9,932E+6     |
| Leiding Bio-nafta II,,Leidingbreuk,Bio-nafta   | R171[B]->W77  | 5,096E-4   | 8,939E+3        | 2,111E+3            | 6,066E-4     | 4,310E+0   |                    | 1,200E+2       | 0,000E+0  |           |               |                          | 9,932E+6     |
| Leiding Bio-nafta II,,Leidinglekkage,Bio-nafta | R171[B]->W77  | 3,360E-3   | 1,918E+3        |                     | 1,184E-3     | 5,000E+0   | 4,253E+1           | 1,200E+2       | 0,000E+0  |           |               |                          | 2,131E+6     |
| Leiding Bio-nafta II,,Leidinglekkage,Bio-nafta | R171[B]->W77  | 3,360E-3   | 1,918E+3        | 4,529E+2            | 1,301E-4     | 4,310E+0   |                    | 1,200E+2       | 0,000E+0  |           |               |                          | 2,131E+6     |

## 4.5 Unit Leiding DLB II

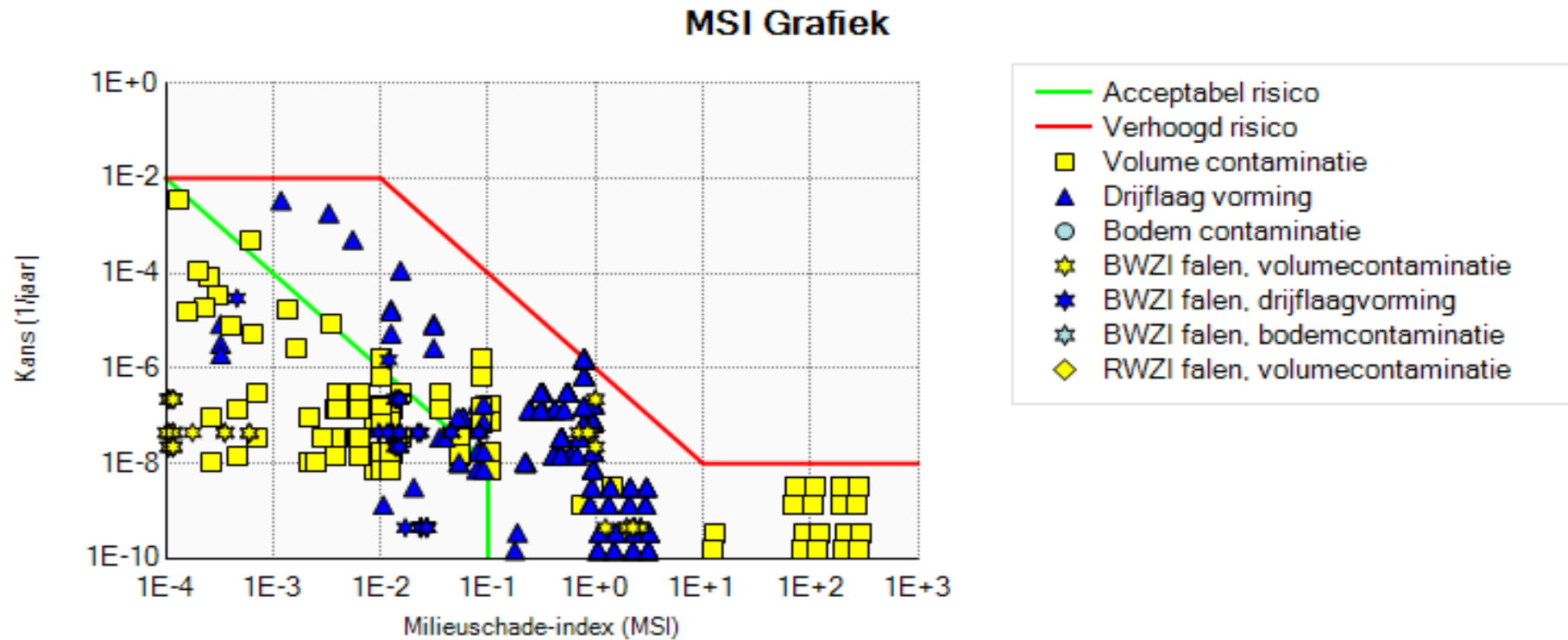
| Group                              | Afstroomroute | Frequentie | Massa uitstroom | Volume contaminatie | MSI Factored | Weegfactor | Oever Contaminatie | Uitstroom tijd | Bluswater | RWZI      |               |                          | LC50 gewogen |
|------------------------------------|---------------|------------|-----------------|---------------------|--------------|------------|--------------------|----------------|-----------|-----------|---------------|--------------------------|--------------|
|                                    |               |            |                 |                     |              |            |                    |                |           | inhibitie | overbelasting | Actief slib beïnvloeding |              |
|                                    |               | [j-1]      | [kg]            | [m3]                |              |            | [m]                | [s]            | [m3]      |           |               |                          | [m3]         |
| Leiding DLB II,,Leidingbreuk,DLB   | R174[B]->W77  | 1,140E-4   | 2,833E+4        |                     | 1,533E-2     | 5,000E+0   | 3,066E+2           | 1,200E+2       | 0,000E+0  |           |               |                          | 3,147E+6     |
| Leiding DLB II,,Leidingbreuk,DLB   | R174[B]->W77  | 1,140E-4   | 2,833E+4        | 7,015E+2            | 2,016E-4     | 4,310E+0   |                    | 1,200E+2       | 0,000E+0  |           |               |                          | 3,147E+6     |
| Leiding DLB II,,Leidinglekkage,DLB | R174[B]->W77  | 1,829E-3   | 6,077E+3        |                     | 3,289E-3     | 5,000E+0   | 7,088E+1           | 1,200E+2       | 0,000E+0  |           |               |                          | 6,752E+5     |
| Leiding DLB II,,Leidinglekkage,DLB | R174[B]->W77  | 1,829E-3   | 6,077E+3        | 1,505E+2            | 4,325E-5     | 4,310E+0   |                    | 1,200E+2       | 0,000E+0  |           |               |                          | 6,752E+5     |

## 4.6 Unit HEFA-unit

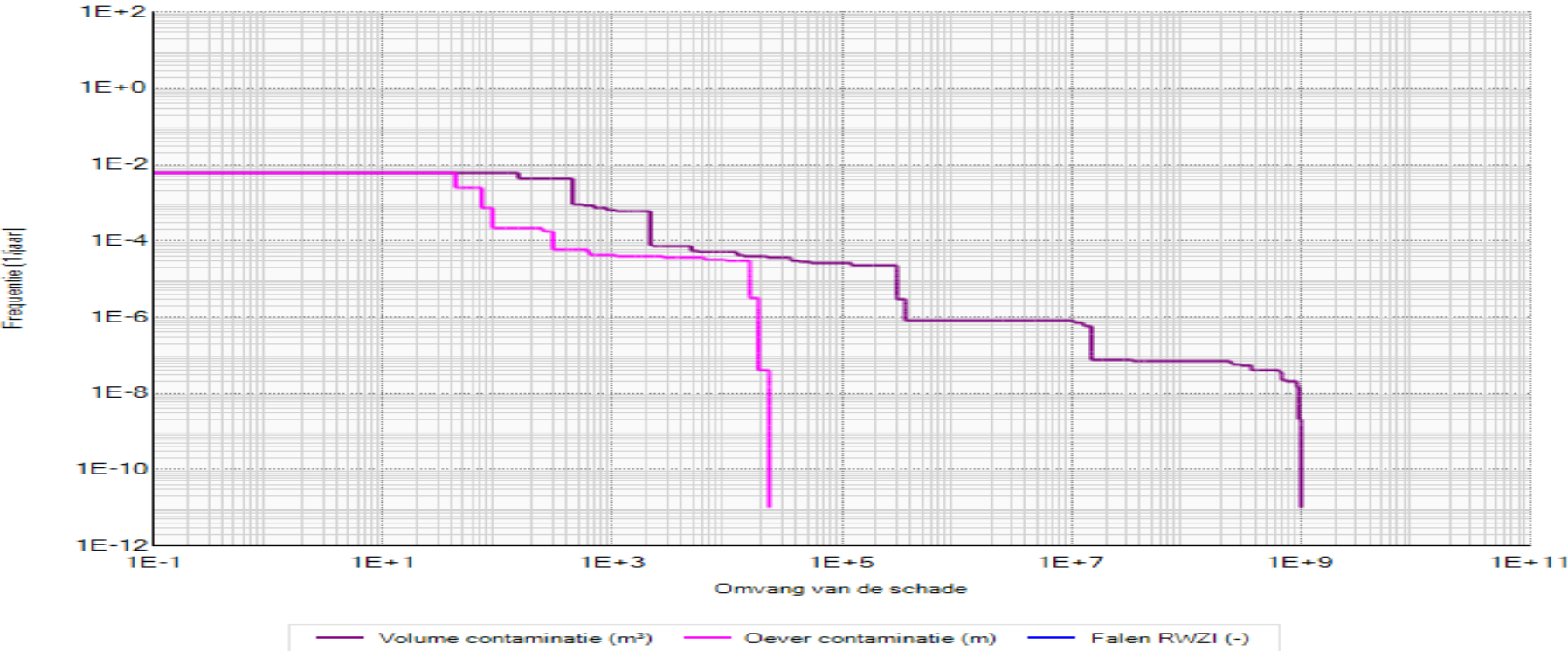
| Group   | Afstroomroute                                    | Frequentie | Massa uitstroom | Volume contaminatie | MSI Factored | Weegfactor | Oever Contaminatie | Uitstroom tijd | Bluswater | RWZI      |               |                          | LC50 gewogen |
|---|--|------------|-----------------|---------------------|--------------|------------|--------------------|----------------|-----------|-----------|---------------|--------------------------|--------------|
|   |  |            |                 |                     |              |            |                    |                |           | inhibitie | overbelasting | Actief slib beïnvloeding |              |
|   |  | [j-1]      | [kg]            | [m3]                |              |            | [m]                | [s]            | [m3]      |           |               |                          | [m3]         |
| HEFA-unit,02-C-202,Instantaan falen,Receptnr 1: Tussenproduct (C.Reactor: 02-C-202) | R115[D]->D357[D]->D473[D]->D29[D]->D751[B]->W765 | 1,500E-6   | 8,639E+4        |                     | 1,185E-2     | 1,111E+0   | 4,363E+1           | 2,880E+4       | 0,000E+0  | ja (BWZI) |               | ja (BWZI)                | 9,599E+7     |
| HEFA-unit,02-C-202,Instantaan falen,Receptnr 1: Tussenproduct (C.Reactor: 02-C-202) | R115[D]->D357[D]->D473[D]->D29[D]->D751[B]->W765 | 1,500E-6   | 8,639E+4        | 7,701E+2            | 5,134E-5     | 1,000E+0   |                    | 2,880E+4       | 0,000E+0  | ja (BWZI) |               | ja (BWZI)                | 9,599E+7     |
| HEFA-unit,02-C-202,Instantaan falen,Receptnr 1: Tussenproduct (C.Reactor: 02-C-202) | R115[D]->D357[D]->D473[D]->D29[D]->D751[B]->W765 | 1,500E-6   | 6,142E-1        |                     | 0,000E+0     | 1,000E+0   |                    | 1,407E+5       | 0,000E+0  | ja (BWZI) |               | ja (BWZI)                | 6,824E+2     |
| HEFA-unit,02-C-202,Continu falen,Receptnr 1: Tussenproduct (C.Reactor: 02-C-202)    | R115[D]->D357[D]->D473[D]->D29[D]->D751[B]->W765 | 2,997E-5   | 3,346E+3        |                     | 4,589E-4     | 1,111E+0   | 8,586E+0           | 2,880E+4       | 0,000E+0  | ja (BWZI) |               |                          | 3,717E+6     |
| HEFA-unit,02-C-202,Continu falen,Receptnr 1: Tussenproduct (C.Reactor: 02-C-202)    | R115[D]->D357[D]->D473[D]->D29[D]->D751[B]->W765 | 2,997E-5   | 3,346E+3        | 2,982E+1            | 1,988E-6     | 1,000E+0   |                    | 2,880E+4       | 0,000E+0  | ja (BWZI) |               |                          | 3,717E+6     |
| HEFA-unit,02-C-202,Continu falen,Receptnr 1: Tussenproduct (C.Reactor: 02-C-202)    | R115[D]->D357[D]->D473[D]->D29[D]->D751[B]->W765 | 2,997E-5   | 2,379E-2        |                     | 0,000E+0     | 1,000E+0   |                    | 1,000E+0       | 0,000E+0  | ja (BWZI) |               |                          | 2,643E+1     |

## 5. Grafieken: cumulatieve resultaten

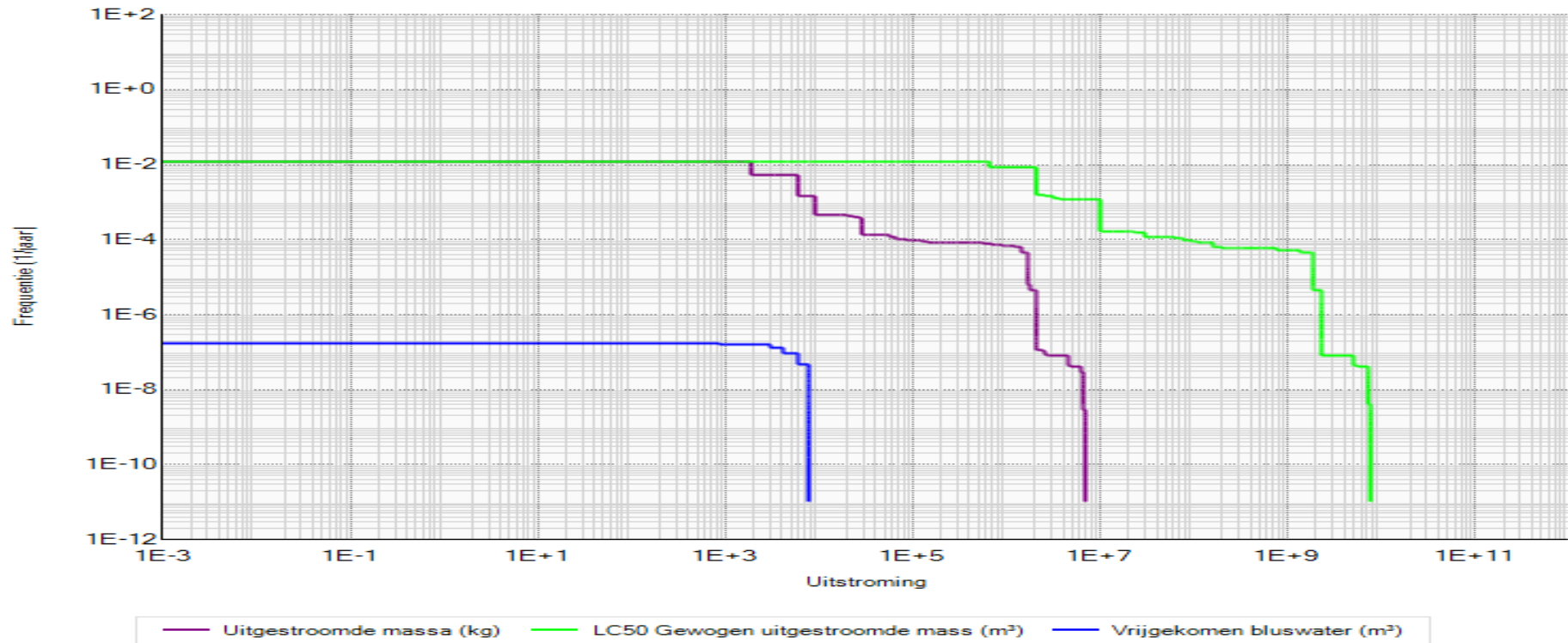
### 5.1 MSI Grafiek



## 5.2 Milieurisico's



### 5.3 Uitstromingen



The subreport 'subreport7' could not be found at the specified location SubReport7. Please verify that the subreport has been published and that the name is correct.







---

## 7. Overzicht doorstroom units

---

### 7.1 Hemelwaterriool

| Eigenschap             | Waarde                  | Eenheid |
|------------------------|-------------------------|---------|
| Afsluiter(doorstromen) | Afvoer zonder afsluiter |         |
| Afsluiter(bufferen)    | Geen afvoer             |         |
| Bergend volume         | 10                      | m3      |
| Bufferend volume       | 10                      | m3      |
| Naam                   | Hemelwaterriool         |         |
| Omschrijving           | Hemelwaterriool         |         |

---

### 7.2 Persriool externe verwerker

| Eigenschap             | Waarde                      | Eenheid |
|------------------------|-----------------------------|---------|
| Afsluiter(doorstromen) | Afvoer zonder afsluiter     |         |
| Afsluiter(bufferen)    | Geen afvoer                 |         |
| Bergend volume         | 1                           | m3      |
| Bufferend volume       | 1                           | m3      |
| Naam                   | Persriool externe verwerker |         |
| Omschrijving           | Persriool externe verwerker |         |

---

### 7.3 TP-108 opvang

| Eigenschap             | Waarde                 | Eenheid |
|------------------------|------------------------|---------|
| Afsluiter(doorstromen) | Handbediend (gesloten) |         |
| Afsluiter(bufferen)    | Geen afvoer            |         |
| Bergend volume         | 6925                   | m3      |
| Bufferend volume       | 6925                   | m3      |
| Naam                   | TP-108 opvang          |         |
| Omschrijving           | TP-108 opvang          |         |

---

### 7.4 Schoonafvalwaterriool

| Eigenschap             | Waarde                    | Eenheid |
|------------------------|---------------------------|---------|
| Afsluiter(doorstromen) | Afvoer zonder afsluiter   |         |
| Afsluiter(bufferen)    | Geen afvoer               |         |
| Bergend volume         | 98                        | m3      |
| Bufferend volume       | 98                        | m3      |
| Naam                   | Schoonafvalwaterriool     |         |
| Omschrijving           | Schoonafvalwaterriool [1] |         |

## 7.5 Procesafvalwaterriool

| Eigenschap             | Waarde                    | Eenheid |
|------------------------|---------------------------|---------|
| Afsluiter(doorstromen) | Afvoer zonder afsluiter   |         |
| Afsluiter(bufferen)    | Geen afvoer               |         |
| Bergend volume         | 16                        | m3      |
| Bufferend volume       | 16                        | m3      |
| Naam                   | Procesafvalwaterriool     |         |
| Omschrijving           | Procesafvalwaterriool [2] |         |

## 7.6 Schoonafvalwaterput

| Eigenschap            | Waarde  | Eenheid |
|-----------------------|---|---------|
| Capaciteit pomp       | 100   | m3/u    |
| Pomptype              | Handbediend op afstand<br>(pomp uit)              |         |
| Bergend volume        | 400   | m3      |
| Volume activeren pomp | 120   | m3      |
| Naam                  | Schoonafvalwaterput                               |         |
| Omschrijving          | Bassin potentieel verontreinigd<br>hemelwater [1] |         |

## 7.7 Procesafvalwaterput

| Eigenschap            | Waarde                            | Eenheid |
|-----------------------|-----------------------------------|---------|
| Capaciteit pomp       | 100                               | m3/u    |
| Pomptype              | Handbediend op afstand (pomp uit) |         |
| Bergend volume        | 480                               | m3      |
| Volume activeren pomp | 120                               | m3      |
| Naam                  | Procesafvalwaterput               |         |
| Omschrijving          | Bassin proces afvalwater [1]      |         |

### 7.8 Opvang schip / kade

| Eigenschap             | Waarde              | Eenheid |
|------------------------|---------------------|---------|
| Afsluiter(doorstromen) | Geen afvoer         |         |
| Afsluiter(bufferen)    | Geen afvoer         |         |
| Bergend volume         | 1                   | m3      |
| Bufferend volume       | 1                   | m3      |
| Naam                   | Opvang schip / kade |         |
| Omschrijving           | Opvang schip / kade |         |

### 7.9 TP-101 opvang

| Eigenschap             | Waarde                 | Eenheid |
|------------------------|------------------------|---------|
| Afsluiter(doorstromen) | Handbediend (gesloten) |         |
| Afsluiter(bufferen)    | Geen afvoer            |         |
| Bergend volume         | 7950                   | m3      |
| Bufferend volume       | 7950                   | m3      |
| Naam                   | TP-101 opvang          |         |
| Omschrijving           | TP-101 opvang          |         |

### 7.10 Afstroming terrein / tankput [2]

| Eigenschap   | Waarde                           | Eenheid |
|--------------|----------------------------------|---------|
| Kans top     | 50                               | o/o     |
| Naam         | Afstroming terrein / tankput [2] |         |
| Omschrijving | 50% / 50%                        |         |

### 7.11 Afstroming terrein / tankput [1]

| Eigenschap   | Waarde                           | Eenheid |
|--------------|----------------------------------|---------|
| Kans top     | 50                               | o/o     |
| Naam         | Afstroming terrein / tankput [1] |         |
| Omschrijving | 50% / 50%                        |         |

### 7.12 Vetafscheider

| Eigenschap             | Waarde        | Eenheid |
|------------------------|---------------|---------|
| Afsluiter(doorstromen) | Geen afvoer   |         |
| Afsluiter(bufferen)    | Automatisch   |         |
| Bergend volume         | 2,5           | m3      |
| Bufferend volume       | 2,5           | m3      |
| Naam                   | Vetafscheider |         |
| Omschrijving           | Vetafscheider |         |

### 7.13 Sluiten afsluiters

| Eigenschap   | Waarde   | Eenheid |
|--------------|--|---------|
| Kans top     | 90   | o/o     |
| Naam         | Sluiten afsluiters                               |         |
| Omschrijving | Operator ingrijpen - sluiten afsluiter watergang |         |

### 7.14 Afsluitbare sloot

| Eigenschap             | Waarde            | Eenheid |
|------------------------|-------------------|---------|
| Afsluiter(doorstromen) | Geen afvoer       |         |
| Afsluiter(bufferen)    | Geen afvoer       |         |
| Bergend volume         | 400               | m3      |
| Bufferend volume       | 400               | m3      |
| Naam                   | Afsluitbare sloot |         |
| Omschrijving           | Afsluitbare sloot |         |

### 7.15 Externe verwerker

| Eigenschap       | Waarde            | Eenheid |
|------------------|-------------------|---------|
| Type zuivering   | Aeroob laagbelast |         |
| Volume           | 6000              | m3      |
| Ontwerpbelasting | 100000            | v.e.    |
| Debiet           | 150               | m3/u    |
| Influent TZV     | 1                 | g/l     |
| Naam             | Externe verwerker |         |
| Omschrijving     | Externe verwerker |         |

---

## 8. Overzicht Watersystemen

---

### 8.1 Oosterhornkanaal

| Eigenschap              | Waarde           | Eenheid |
|-------------------------|------------------|---------|
| Breedte                 | 60               | m       |
| Diepte                  | 5,8              | m       |
| Dispersie X             | 20               |         |
| Dispersie Y             | 0,3              |         |
| Stroomsnelheid          | 0,02             | m/s     |
| Haven aanwezig          | Ja               |         |
| Lengte haven            | 3000             | m       |
| Breedte haven           | 60               | m       |
| Dispersie in haven      | 20               |         |
| Afstand tot hoofdstroom | 200              | m       |
| Naam                    | Oosterhornkanaal |         |
| Omschrijving            | Oosterhornkanaal |         |

## 8.2 Zeehavenkanaal

| Eigenschap                  | Waarde         | Eenheid |
|-----------------------------|----------------|---------|
| Breedte                     | 270            | m       |
| Diepte                      | 10             | m       |
| Getijgemiddelde Dispersie x | 0,5            |         |
| Getijgemiddelde Dispersie y | 0,5            |         |
| Stroomsnelheid              | 0,5            | m/s     |
| Haven aanwezig              | Nee            |         |
| Lengte haven                | Niet ingevuld  | m       |
| Breedte haven               | Niet ingevuld  | m       |
| Dispersie in haven          | Niet ingevuld  |         |
| Afstand tot hoofdstroom     | Niet ingevuld  | m       |
| Naam                        | Zeehavenkanaal |         |
| Omschrijving                | Zeehavenkanaal |         |



---

## 9. Overzicht Stoffen

---

### 9.1 Ruwe grondstof

| Eigenschap                       | Waarde         | Eenheid           |
|----------------------------------|----------------|-------------------|
| Naam                             | Ruwe grondstof |                   |
| Systeemstof                      | 0              |                   |
| Vn-nummer                        |                |                   |
| CAS nummer                       |                |                   |
| LC50 vis                         | 9,000E-1       | mg/l              |
| Blootstellingsduur LC50 vis      | 9,600E+1       | uur               |
| EC50 Daphnia                     | 9,000E-1       | mg/l              |
| Blootstellingsduur EC50 Daphnia  | 4,800E+1       | uur               |
| IC50 alg                         | 9,000E-1       | mg/l              |
| Blootstellingsduur IC50 alg      | 7,200E+1       | uur               |
| IC50 bacterie                    | 9,000E+0       | mg/l              |
| Blootstellingsduur IC50 bacterie | 9,600E+1       | uur               |
| BZV                              | 3,000E+0       |                   |
| Molecuulmassa (per mol)          | 1,200E+2       | g                 |
| Dichtheid                        | 9,000E+2       | kg/m <sup>3</sup> |
| Oplosbaarheid                    | 5,000E+0       | g/l               |
| LogPOW(a)                        |                |                   |
| Dampdruk                         | 5,000E-3       | kPa               |
| Vlampunt                         | K4             |                   |

## 9.2 Hernieuwbare diesel

| Eigenschap                       | Waarde              | Eenheid           |
|----------------------------------|---------------------|-------------------|
| Naam                             | Hernieuwbare diesel |                   |
| Systeemstof                      | 0                   |                   |
| Vn-nummer                        |                     |                   |
| CAS nummer                       |                     |                   |
| LC50 vis                         | 1,001E+3            | mg/l              |
| Blootstellingsduur LC50 vis      | 9,600E+1            | uur               |
| EC50 Daphnia                     | 1,001E+3            | mg/l              |
| Blootstellingsduur EC50 Daphnia  | 4,800E+1            | uur               |
| IC50 alg                         | 1,001E+3            | mg/l              |
| Blootstellingsduur IC50 alg      | 7,200E+1            | uur               |
| IC50 bacterie                    | 1,001E+4            | mg/l              |
| Blootstellingsduur IC50 bacterie | 9,600E+1            | uur               |
| BZV                              | 3,000E+0            |                   |
| Molecuulmassa (per mol)          | 8,000E+1            | g                 |
| Dichtheid                        | 1,000E+3            | kg/m <sup>3</sup> |
| Oplosbaarheid                    | 5,000E+0            | g/l               |
| LogPOW(a)                        |                     |                   |
| Dampdruk                         | 8,700E-2            | kPa               |
| Vlampunt                         | K3                  |                   |

### 9.3 Schone grondstof

| Eigenschap                       | Waarde           | Eenheid           |
|----------------------------------|------------------|-------------------|
| Naam                             | Schone grondstof |                   |
| Systeemstof                      | 0                |                   |
| Vn-nummer                        |                  |                   |
| CAS nummer                       |                  |                   |
| LC50 vis                         | 9,000E-1         | mg/l              |
| Blootstellingsduur LC50 vis      | 9,600E+1         | uur               |
| EC50 Daphnia                     | 9,000E-1         | mg/l              |
| Blootstellingsduur EC50 Daphnia  | 4,800E+1         | uur               |
| IC50 alg                         | 9,000E-1         | mg/l              |
| Blootstellingsduur IC50 alg      | 7,200E+1         | uur               |
| IC50 bacterie                    | 9,000E+0         | mg/l              |
| Blootstellingsduur IC50 bacterie | 9,600E+1         | uur               |
| BZV                              | 3,000E+0         |                   |
| Molecuulmassa (per mol)          | 1,100E+2         | g                 |
| Dichtheid                        | 9,000E+2         | kg/m <sup>3</sup> |
| Oplosbaarheid                    | 5,000E+0         | g/l               |
| LogPOW(a)                        |                  |                   |
| Dampdruk                         | 3,000E-1         | kPa               |
| Vlampunt                         | K2               |                   |

## 9.4 DLB

| Eigenschap                       | Waarde   | Eenheid           |
|----------------------------------|----------|-------------------|
| Naam                             | DLB      |                   |
| Systeemstof                      | 0        |                   |
| Vn-nummer                        |          |                   |
| CAS nummer                       |          |                   |
| LC50 vis                         | 9,000E+0 | mg/l              |
| Blootstellingsduur LC50 vis      | 9,600E+1 | uur               |
| EC50 Daphnia                     | 9,000E+0 | mg/l              |
| Blootstellingsduur EC50 Daphnia  | 4,800E+1 | uur               |
| IC50 alg                         | 9,000E+0 | mg/l              |
| Blootstellingsduur IC50 alg      | 7,200E+1 | uur               |
| IC50 bacterie                    | 9,000E+1 | mg/l              |
| Blootstellingsduur IC50 bacterie | 9,600E+1 | uur               |
| BZV                              | 3,000E+0 |                   |
| Molecuulmassa (per mol)          | 9,900E+1 | g                 |
| Dichtheid                        | 7,700E+2 | kg/m <sup>3</sup> |
| Oplosbaarheid                    | 5,000E+0 | g/l               |
| LogPOW(a)                        |          |                   |
| Dampdruk                         | 3,000E-1 | kPa               |
| Vlampunt                         | K2       |                   |

## 9.5 Bio-nafta

| Eigenschap                       | Waarde    | Eenheid           |
|----------------------------------|-----------|-------------------|
| Naam                             | Bio-nafta |                   |
| Systeemstof                      | 0         |                   |
| Vn-nummer                        |           |                   |
| CAS nummer                       |           |                   |
| LC50 vis                         | 9,000E-1  | mg/l              |
| Blootstellingsduur LC50 vis      | 9,600E+1  | uur               |
| EC50 Daphnia                     | 9,000E-1  | mg/l              |
| Blootstellingsduur EC50 Daphnia  | 4,800E+1  | uur               |
| IC50 alg                         | 9,000E-1  | mg/l              |
| Blootstellingsduur IC50 alg      | 7,200E+1  | uur               |
| IC50 bacterie                    | 9,000E+0  | mg/l              |
| Blootstellingsduur IC50 bacterie | 9,600E+1  | uur               |
| BZV                              | 3,000E+0  |                   |
| Molecuulmassa (per mol)          | 9,900E+1  | g                 |
| Dichtheid                        | 6,750E+2  | kg/m <sup>3</sup> |
| Oplosbaarheid                    | 5,000E+0  | g/l               |
| LogPOW(a)                        | 1,000E+0  |                   |
| Dampdruk                         | 3,000E+0  | kPa               |
| Vlampunt                         | K2        |                   |

## 9.6 Nafta

| Eigenschap                       | Waarde   | Eenheid           |
|----------------------------------|----------|-------------------|
| Naam                             | Nafta    |                   |
| Systeemstof                      | 0        |                   |
| Vn-nummer                        |          |                   |
| CAS nummer                       |          |                   |
| LC50 vis                         | 9,000E-1 | mg/l              |
| Blootstellingsduur LC50 vis      | 9,600E+1 | uur               |
| EC50 Daphnia                     | 9,000E-1 | mg/l              |
| Blootstellingsduur EC50 Daphnia  | 4,800E+1 | uur               |
| IC50 alg                         | 9,000E-1 | mg/l              |
| Blootstellingsduur IC50 alg      | 7,200E+1 | uur               |
| IC50 bacterie                    | 9,000E+0 | mg/l              |
| Blootstellingsduur IC50 bacterie | 9,600E+1 | uur               |
| BZV                              | 3,000E+0 |                   |
| Molecuulmassa (per mol)          | 9,900E+1 | g                 |
| Dichtheid                        | 6,750E+2 | kg/m <sup>3</sup> |
| Oplosbaarheid                    | 5,000E+0 | g/l               |
| LogPOW(a)                        | 1,000E+0 |                   |
| Dampdruk                         | 3,000E+0 | kPa               |
| Vlampunt                         | K2       |                   |

## 9.7 Natriumhydroxide 45%

| Eigenschap                       | Waarde               | Eenheid           |
|----------------------------------|----------------------|-------------------|
| Naam                             | Natriumhydroxide 45% |                   |
| Systeemstof                      | 0                    |                   |
| Vn-nummer                        |                      |                   |
| CAS nummer                       |                      |                   |
| LC50 vis                         | 9,867E+1             | mg/l              |
| Blootstellingsduur LC50 vis      | 9,600E+1             | uur               |
| EC50 Daphnia                     | 9,867E+1             | mg/l              |
| Blootstellingsduur EC50 Daphnia  | 4,800E+1             | uur               |
| IC50 alg                         | 9,867E+1             | mg/l              |
| Blootstellingsduur IC50 alg      | 7,200E+1             | uur               |
| IC50 bacterie                    | 2,400E+2             | mg/l              |
| Blootstellingsduur IC50 bacterie | 9,600E+1             | uur               |
| BZV                              | 0,000E+0             |                   |
| Molecuulmassa (per mol)          | 4,000E+1             | g                 |
| Dichtheid                        | 1,480E+3             | kg/m <sup>3</sup> |
| Oplosbaarheid                    | 1,000E+3             | g/l               |
| LogPOW(a)                        |                      |                   |
| Dampdruk                         | 2,400E+0             | kPa               |
| Vlampunt                         | K4                   |                   |

## 9.8 Citroenzuur 50%

| Eigenschap                       | Waarde          | Eenheid           |
|----------------------------------|-----------------|-------------------|
| Naam                             | Citroenzuur 50% |                   |
| Systeemstof                      | 0               |                   |
| Vn-nummer                        |                 |                   |
| CAS nummer                       |                 |                   |
| LC50 vis                         | 4,400E+2        | mg/l              |
| Blootstellingsduur LC50 vis      | 9,600E+1        | uur               |
| EC50 Daphnia                     | 4,400E+2        | mg/l              |
| Blootstellingsduur EC50 Daphnia  | 7,200E+1        | uur               |
| IC50 alg                         | 4,400E+2        | mg/l              |
| Blootstellingsduur IC50 alg      | 9,600E+1        | uur               |
| IC50 bacterie                    | 1,210E+3        | mg/l              |
| Blootstellingsduur IC50 bacterie | 9,600E+1        | uur               |
| BZV                              | 5,300E-1        |                   |
| Molecuulmassa (per mol)          | 1,921E+2        | g                 |
| Dichtheid                        | 1,469E+3        | kg/m <sup>3</sup> |
| Oplosbaarheid                    | 1,330E+3        | g/l               |
| LogPOW(a)                        |                 |                   |
| Dampdruk                         | 1,000E+0        | kPa               |
| Vlampunt                         | K4              |                   |



## 9.9 Zoutzuur 35%

| Eigenschap                       | Waarde       | Eenheid           |
|----------------------------------|--------------|-------------------|
| Naam                             | Zoutzuur 35% |                   |
| Systeemstof                      | 0            |                   |
| Vn-nummer                        |              |                   |
| CAS nummer                       |              |                   |
| LC50 vis                         | 1,240E+2     | mg/l              |
| Blootstellingsduur LC50 vis      | 9,600E+1     | uur               |
| EC50 Daphnia                     | 1,240E+2     | mg/l              |
| Blootstellingsduur EC50 Daphnia  | 4,800E+1     | uur               |
| IC50 alg                         | 1,240E+2     | mg/l              |
| Blootstellingsduur IC50 alg      | 7,200E+1     | uur               |
| IC50 bacterie                    | 3,281E+2     | mg/l              |
| Blootstellingsduur IC50 bacterie | 9,600E+1     | uur               |
| BZV                              | 0,000E+0     |                   |
| Molecuulmassa (per mol)          | 3,646E+1     | g                 |
| Dichtheid                        | 1,189E+3     | kg/m <sup>3</sup> |
| Oplosbaarheid                    | 1,000E+3     | g/l               |
| LogPOW(a)                        |              |                   |
| Dampdruk                         | 1,900E+1     | kPa               |
| Vlampunt                         | K4           |                   |

## 9.10 Modelstof additief - drijver

| Eigenschap                       | Waarde                       | Eenheid           |
|----------------------------------|------------------------------|-------------------|
| Naam                             | Modelstof additief - drijver |                   |
| Systeemstof                      | 0                            |                   |
| Vn-nummer                        |                              |                   |
| CAS nummer                       |                              |                   |
| LC50 vis                         | 3,000E-1                     | mg/l              |
| Blootstellingsduur LC50 vis      | 9,600E+1                     | uur               |
| EC50 Daphnia                     | 3,000E-1                     | mg/l              |
| Blootstellingsduur EC50 Daphnia  | 4,800E+1                     | uur               |
| IC50 alg                         | 3,000E-1                     | mg/l              |
| Blootstellingsduur IC50 alg      | 7,200E+1                     | uur               |
| IC50 bacterie                    | 1,000E+1                     | mg/l              |
| Blootstellingsduur IC50 bacterie | 9,600E+1                     | uur               |
| BZV                              | 1,500E+0                     |                   |
| Molecuulmassa (per mol)          | 1,000E+2                     | g                 |
| Dichtheid                        | 9,400E+2                     | kg/m <sup>3</sup> |
| Oplosbaarheid                    | 5,000E+0                     | g/l               |
| LogPOW(a)                        | 0,000E+0                     |                   |
| Dampdruk                         | 5,000E-1                     | kPa               |
| Vlampunt                         | K4                           |                   |

## 9.11 Modelstof additief - oplosbaar

| Eigenschap                       | Waarde                         | Eenheid           |
|----------------------------------|--------------------------------|-------------------|
| Naam                             | Modelstof additief - oplosbaar |                   |
| Systeemstof                      | 0                              |                   |
| Vn-nummer                        |                                |                   |
| CAS nummer                       |                                |                   |
| LC50 vis                         | 3,000E-1                       | mg/l              |
| Blootstellingsduur LC50 vis      | 9,600E+1                       | uur               |
| EC50 Daphnia                     | 3,000E-1                       | mg/l              |
| Blootstellingsduur EC50 Daphnia  | 4,800E+1                       | uur               |
| IC50 alg                         | 3,000E-1                       | mg/l              |
| Blootstellingsduur IC50 alg      | 7,200E+1                       | uur               |
| IC50 bacterie                    | 1,000E+1                       | mg/l              |
| Blootstellingsduur IC50 bacterie | 9,600E+1                       | uur               |
| BZV                              | 1,500E+0                       |                   |
| Molecuulmassa (per mol)          | 1,000E+2                       | g                 |
| Dichtheid                        | 1,200E+3                       | kg/m <sup>3</sup> |
| Oplosbaarheid                    | 1,000E+3                       | g/l               |
| LogPOW(a)                        |                                |                   |
| Dampdruk                         | 5,000E-1                       | kPa               |
| Vlampunt                         | K4                             |                   |

## 9.12 MDEA

| Eigenschap                       | Waarde   | Eenheid           |
|----------------------------------|----------|-------------------|
| Naam                             | MDEA     |                   |
| Systeemstof                      | 0        |                   |
| Vn-nummer                        |          |                   |
| CAS nummer                       |          |                   |
| LC50 vis                         | 1,466E+3 | mg/l              |
| Blootstellingsduur LC50 vis      | 9,600E+1 | uur               |
| EC50 Daphnia                     | 2,330E+2 | mg/l              |
| Blootstellingsduur EC50 Daphnia  | 4,800E+1 | uur               |
| IC50 alg                         | 3,700E+1 | mg/l              |
| Blootstellingsduur IC50 alg      | 7,200E+1 | uur               |
| IC50 bacterie                    | 4,100E+2 | mg/l              |
| Blootstellingsduur IC50 bacterie | 9,600E+1 | uur               |
| BZV                              | 0,000E+0 |                   |
| Molecuulmassa (per mol)          | 1,192E+2 | g                 |
| Dichtheid                        | 1,038E+3 | kg/m <sup>3</sup> |
| Oplosbaarheid                    | 1,000E+3 | g/l               |
| LogPOW(a)                        |          |                   |
| Dampdruk                         | 1,000E-3 | kPa               |
| Vlampunt                         | K4       |                   |

## 10. Legenda

| Unit | Naam                        | Omschrijving                                   |
|------|-----------------------------|--|
| D9   | Hemelwaterriool             | Hemelwaterriool                                |
| D29  | Persriool externe verwerker | Persriool externe verwerker                    |
| R34  | TP-101                      | TP-101   |
| R38  | TP-108                      | TP-108   |
| W77  | Oosterhornkanaal            | Oosterhornkanaal                               |
| R86  | Verlaadplaats TP-101        | Verlaadplaats TP-101                           |
| R102 | Scheepsverlading            | Steiger  |
| R115 | HEFA-unit                   | HEFA-unit                                      |
| R150 | Leiding ruwe grondstof      | Leiding ruwe grondstof                         |
| R159 | Leiding schone grondstof    | Leiding schone grondstof                       |
| R165 | Leiding DLB I               | Leiding DLB I                                  |
| R168 | Leiding Bio-nafta I         | Leiding Bio-nafta I                            |
| R171 | Leiding Bio-nafta II        | Leiding Bio-nafta II                           |
| R174 | Leiding DLB II              | Leiding DLB II                                 |
| R199 | TP-104                      | TP-104   |
| R205 | Verlaadplaats TP-104        | Verlaadplaats TP-104                           |
| D332 | TP-108 opvang               | TP-108 opvang                                  |
| D341 | Schoonafvalwaterriool       | Schoonafvalwaterriool [1]                      |
| D357 | Procesafvalwaterriool       | Procesafvalwaterriool [2]                      |
| D466 | Schoonafvalwaterput         | Bassin potentieel verontreinigd hemelwater [1] |
| D473 | Procesafvalwaterput         | Bassin proces afvalwater [1]                   |
| D482 | Opvang schip / kade         | Opvang schip / kade                            |
| R491 | IBC-container [1]           | IBC-container [1]                              |
| D504 | TP-101 opvang               | TP-101 opvang                                  |

| Unit | Naam                             | Omschrijving                                     |
|------|----------------------------------|--|
| D547 | Afstroming terrein / tankput [2] | 50% / 50%  |
| D573 | Afstroming terrein / tankput [1] | 50% / 50%  |
| R634 | Voorbehandeling                  | Voorbehandeling                                  |
| D651 | Vetafscheider                    | Vetafscheider                                    |
| R663 | IBC-container [2]                | IBC-container [2]                                |
| R685 | Leiding citroenzuur 50 %         | Leiding citroenzuur 50 %                         |
| D698 | Sluiten afsluiters               | Operator ingrijpen - sluiten afsluiter watergang |
| D704 | Afsluitbare sloot                | Afsluitbare sloot                                |
| R718 | Tanktainer                       | Tanktainer                                       |
| R732 | Verlaadplaats TP-108             | Verlaadplaats TP-108                             |
| D751 | Externe verwerker                | Externe verwerker                                |
| W765 | Zeehavenkanaal                   | Zeehavenkanaal                                   |